

วงจรกรองกำลังแอกทีฟแบบขนานสามเฟสโดยใช้โครงข่ายประสาทเทียม  
และตัวประมวลผลสัญญาณดิจิทัล

A THREE-PHASE SHUNT ACTIVE POWER FILTER BASED ON  
NEURAL NETWORKS AND DIGITAL SIGNAL PROCESSOR



ลิขิต ชูทรัพย์  
LIKIT CHOOSUB

วิทยานิพนธ์นี้เป็นส่วนหนึ่งของการศึกษาตามหลักสูตรปริญญาวิศวกรรมศาสตรมหาบัณฑิต

สาขาวิชาวิศวกรรมไฟฟ้า

จพ.  
ศ 4/32

บัณฑิตวิทยาลัย

2547 สถาบันเทคโนโลยีพระจอมเกล้าเจ้าคุณทหารลาดกระบัง

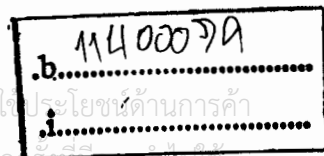
เลขหมู่.....

พ.ศ. 2547

เลขทะเบียน..... 51837

ISBN 974-970-938-1

วัน,เดือน,ปี 30 ก.ค. 2547



เพื่อให้บริการใช้งานเพื่อการศึกษาเท่านั้น ไม่อนุญาตให้นำไปเผยแพร่โดยไม่ได้รับอนุญาต

ไม่ว่ากรณีใดๆทั้งสิ้น อีกทั้งห้ามมิให้ดัดแปลงเนื้อหา และต้องอ้างอิงถึงเจ้าของเอกสารทุกครั้งที่มีการนำไปใช้

**A THREE-PHASE SHUNT ACTIVE POWER FILTER BASED ON  
NEURAL NETWORKS AND DIGITAL SIGNAL PROCESSOR**



**A THESIS SUBMITTED IN PARTIAL FULFILLMENT  
OF THE REQUIREMENT FOR THE DEGREE OF  
MASTER OF ENGINEERING IN ELECTRICAL ENGINEERING  
SCHOOL OF GRADUATE STUDIES  
KING MONGKUT'S INSTITUTE OF TECHNOLOGY LADKRABANG**

**2004**

**ISBN 974-970-938-1**

เอกสารนี้เป็นเอกสารที่สงวนไว้สำหรับการใช้งานเพื่อการศึกษาเท่านั้น ไม่อนุญาตให้นำไปใช้ประโยชน์ด้านการค้า  
ไม่ว่ากรณีใดๆทั้งสิ้น อีกทั้งห้ามมิให้ดัดแปลงเนื้อหา และต้องอ้างอิงถึงเจ้าของเอกสารทุกครั้งที่มีการนำไปใช้



**COPYRIGHT 2004**

**SCHOOL OF GRADUATE STUDIES**

**KING MONGKUT'S INSTITUTE OF TECHNOLOGY LADKRABANG**

เอกสารนี้เป็นเอกสารที่สงวนไว้สำหรับการใช้งานเพื่อการศึกษาเท่านั้น ไม่อนุญาตให้นำไปใช้ประโยชน์ด้านการค้า  
ไม่ว่ากรณีใดๆทั้งสิ้น อีกทั้งห้ามมิให้ดัดแปลงเนื้อหา และต้องอ้างอิงถึงเจ้าของเอกสารทุกครั้งที่มีการนำไปใช้

หัวข้อวิทยานิพนธ์	วงจรกรองกำลังแอกทีฟแบบขนานสามเฟสโดยใช้โครงข่ายประสาทเทียมและตัวประมวลผลสัญญาณดิจิทัล
นักศึกษา	นายลิขิต ชูทรัพย์
รหัสนักศึกษา	44061026
ปริญญา	วิศวกรรมศาสตรมหาบัณฑิต
สาขาวิชา	วิศวกรรมไฟฟ้า
พ.ศ.	2547
อาจารย์ผู้ควบคุมวิทยานิพนธ์	รศ. ดร. วิจิตร กิณเรศ

### บทคัดย่อ

วิทยานิพนธ์นี้นำเสนอการวิเคราะห์และออกแบบวงจรกรองกำลังแอกทีฟแบบขนานสำหรับโหลดไม่เชิงเส้นในระบบ 3 เฟส 4 สาย ที่ใช้การตรวจจับกระแสด้วยโครงข่ายประสาทเทียม จุดประสงค์หลักของวงจรกรองกำลังแอกทีฟเพื่อใช้ในการกำจัดกระแสฮาร์โมนิก, ปรับปรุงค่าตัวประกอบกำลังให้ดีขึ้นและแก้ปัญหากรณีโหลดไม่สมดุล ซึ่งข้อดีของเทคนิคนี้คือจะได้สัญญาณขาขึ้นที่ความถี่มูลฐานอย่างแท้จริงโดยไม่ทำให้เกิดการเลื่อนเฟสทางสัญญาณ, มีโครงสร้างที่ง่ายต่อการปรับแต่งและสามารถปรับตัวในสภาวะโหลดแบบต่างๆ ได้ดี นอกจากนี้ในงานวิจัยได้ทำการประยุกต์ใช้โครงข่ายประสาทเทียมในส่วนของการควบคุมกระแส เพื่อทำการเปรียบเทียบกับการควบคุมกระแสแบบขอบเขตฮิสเตอร์รีซีตพบว่าการควบคุมกระแสแบบโครงข่ายประสาทเทียมมีข้อดีกว่า เนื่องจากการควบคุมกระแสแบบนี้มีการสวิทช์ที่น้อยกว่าจึงเป็นผลให้เกิดการสูญเสียในการสวิทช์ที่น้อยกว่า ทั้งนี้ในงานวิจัยยังได้นำตัวควบคุมแบบพีไอมาใช้ในการรักษาระดับแรงดันให้คงที่

วิทยานิพนธ์นี้ได้ทำการออกแบบและจำลองการทำงานของวงจรโดยใช้โปรแกรม Matlab เพื่อนำมาศึกษาก่อนที่จะนำไปใช้งานจริงรวมทั้งเพื่อใช้ตรวจสอบว่าผลการทดลองจริงถูกต้องตามที่ได้ออกแบบไว้ โดยส่วนควบคุมการทำงานได้ใช้ตัวประมวลผลทางสัญญาณดิจิทัล (DSP) ในการประมวลผลทั้งหมด

ในตอนท้ายได้นำเครื่องต้นแบบวงจรกรองกำลังแอกทีฟที่ออกแบบไว้ไปทำการทดสอบกับระบบ 3 เฟส 4 สาย ที่ต่ออยู่กับโหลดชนิดไม่เป็นเชิงเส้นอาทิเช่น วงจรเรียงกระแสแบบไดโอด วงจรไทรสเตอร์ที่มีการปรับมุมจุดชนวน เพื่อทำการทดสอบการทำงานของวงจรกรองกำลังแอกทีฟ นอกจากนี้ได้ทำการทดสอบการทำงานภายใต้การตอบสนองที่สภาวะชั่วคราวแบบขั้น รวมทั้งได้ทดสอบการทำงานของวงจรมีที่ระบบต่ออยู่กับโหลดแบบไม่สมดุลและกรณีแหล่งจ่ายของระบบเกิดการไม่สมดุลด้วย จากผลทดสอบพบว่าการทำงานของวงจรที่ออกแบบปรากฏผลเป็นที่น่าพอใจ

<b>Thesis Title</b>	A Three-Phase Shunt Active Power Filter based on Neural Networks and Digital Signal Processor
<b>Student</b>	Mr. Likit Choosub
<b>Student ID.</b>	44061026
<b>Degree</b>	Master of Engineering in Electrical Engineering
<b>Programme</b>	Electrical Engineering
<b>Year</b>	2004
<b>Thesis Advisor</b>	Assoc.Prof.Dr. Vijit Kinnares

### ABSTRACT

This thesis presents analysis and design of a shunt active power filter for the three-phase four-wire non-linear load system. Harmonic components of the current are detected by Artificial Neural Network (ANN). The main objectives of the active filter are to eliminate harmonics components, to improve the power factor and to correct the unbalanced voltage problem. Advantages of using ANN are the achievement of the fundamental sinusoidal current without harmfully phase shift and simplicity in adjustment and adaptability to various load conditions. Compare to the hysteresis current control, the system has lower switching frequency. The dc link voltage is maintained by the PI controller. The computer simulation is performed to compare with the experimental results. The control units are implemented in the digital signal processor (DSP).

A prototype is built and tested with non-linear loads such as a diode rectifier and the thyristor circuit to observe the compensation operation. Also the tests are performed under various conditions such as step transient response, unbalance load and unbalance source to see the reliability. The results are giving satisfaction.

# กิตติกรรมประกาศ

ผู้วิจัยขอขอบพระคุณ รศ.ดร. วิจิตร กิณเรศ อาจารย์ที่ผู้ควบคุมวิทยานิพนธ์เป็นอย่างสูง ที่ได้ให้คำปรึกษา และแนะนำต่างๆ จนกระทั่งงานวิทยานิพนธ์เล่มนี้สำเร็จลงได้

ขอขอบพระคุณภาควิชาวิศวกรรมไฟฟ้า และห้องสมุดคณะวิศวกรรมศาสตร์ที่เป็นแหล่งสนับสนุนทางด้านตำรา เอกสารอ้างอิง รวมทั้งเครื่องมือ และอุปกรณ์ในการทำวิจัย

ขอขอบคุณท่านอาจารย์ ชัยทัต มณีอินทร์ อาจารย์ภาควิชาวิศวกรรมไฟฟ้า ที่ให้ความรู้และอนุเคราะห์เกี่ยวกับข้อมูลการศึกษาที่เกี่ยวกับงานวิจัย และแนะนำอุปกรณ์การทำงานที่เกี่ยวกับงานวิจัยตลอด

ขอขอบคุณ พี่ๆ เพื่อนๆ และน้องๆ ทุกคนที่อยู่ประจำอาคารภาควิชาวิศวกรรมไฟฟ้าที่มีส่วนช่วยเหลือในการทำวิทยานิพนธ์

คุณค่าและประโยชน์ที่บังเกิดความรู้แก่ท่านที่ต้องการศึกษาหาข้อมูลจากวิทยานิพนธ์เล่มนี้ ผู้เขียนขอขอบแต่ คุณบิดา มารดา และผู้มีพระคุณทุกท่าน

ลิขิต ชูทรัพย์



# สารบัญ

หน้า

บทคัดย่อภาษาไทย .....	I
บทคัดย่อภาษาอังกฤษ .....	II
กิตติกรรมประกาศ .....	III
สารบัญ .....	IV
สารบัญตาราง .....	IX
สารบัญรูป .....	X
บทที่ 1 บทนำ	
1.1 ความเป็นมาและความสำคัญของปัญหา.....	1
1.2 ความมุ่งหมายและวัตถุประสงค์.....	3
1.3 วิธีการศึกษาและวิจัย.....	3
1.4 ขอบเขตของวิทยานิพนธ์.....	4
1.5 โครงสร้างของวิทยานิพนธ์.....	5
1.6 ประโยชน์ที่ได้จากวิทยานิพนธ์.....	5
บทที่ 2 ทฤษฎีการกำจัดกระแสฮาร์โมนิกและการวิเคราะห์คุณภาพรูปคลื่นกระแส	
2.1 บทนำ.....	6
2.2 ประเภทวงจรรอกำลังไฟฟ้า.....	6
2.2.1 วงจรรอกำลังพาสซีฟ.....	6
2.2.2 วงจรรอกำลังแอกทีฟ.....	7
2.2.2.1 วงจรรอกำลังแอกทีฟแบบขนาน.....	8
2.2.2.2 วงจรรอกำลังแอกทีฟแบบอนุกรม.....	8
2.3 การชดเชยกำลังงานรีแอกทีฟ.....	10
2.3.1 การปรับปรุงตัวประกอบกำลัง.....	10
2.3.2 ประโยชน์จากการชดเชยกำลังรีแอกทีฟ.....	12
2.4 การประเมินสมรรถนะของวงจรรอกำลังแอกทีฟด้วยค่าดัชนีคุณภาพ.....	13
2.4.1 แรงดันและกระแสมูลฐานอาร์.เอ็ม.เอส.....	13
2.4.2 แรงดันและกระแสอาร์.เอ็ม.เอส.....	13
2.4.3 ค่าตัวประกอบกำลังด้านเข้า.....	13

เอกสารนี้เป็นเอกสารที่สงวนไว้สำหรับการใช้งานเพื่อการศึกษาเท่านั้น ไม่อนุญาตให้拿去ไปใช้ประโยชน์ด้านการค้า  
ไม่ว่ากรณีใดๆทั้งสิ้น อีกทั้งยังมีให้ดัดแปลงเนื้อหา IV และต้องอ้างอิงถึงเจ้าของเอกสารทุกครั้งที่มีการนำไปใช้

# สารบัญ(ต่อ)

หน้า

2.4.4	ค่าตัวประกอบความผิดพลาด.....	13
2.4.5	ค่าตัวประกอบความผิดพลาดรวมของฮาร์โมนิค.....	13
2.5	สรุป.....	14
<b>บทที่ 3 ทฤษฎีพื้นฐาน โครงข่ายประสาทเทียม</b>		
3.1	บทนำ.....	15
3.2	ลักษณะ โครงสร้างเซลล์ประสาททางชีววิทยา.....	15
3.3	โครงข่ายประสาทเทียม.....	16
3.4	สถาปัตยกรรมโครงข่ายประสาทเทียม.....	17
3.4.1	โครงข่ายประสาทเทียมชนิดชั้นเดียว.....	18
3.4.2	โครงข่ายประสาทเทียมชนิดหลายชั้น.....	18
3.4.3	โครงข่ายประสาทเทียมชนิดแข่งขัน.....	19
3.5	การฝึกสอน โครงข่ายประสาทเทียม.....	19
3.5.1	การฝึกสอนแบบซูปเปอร์ไวส์.....	19
3.5.2	การฝึกสอนแบบอันซูปเปอร์ไวส์.....	20
3.5.3	การฝึกสอนแบบเสริม.....	20
3.5.4	ฟังก์ชันการเร่งเร็วโดยรวม.....	21
3.6	โครงข่ายประสาทเทียมแบบเชิงเส้นที่ปรับตัวเองได้.....	22
3.6.1	สัญญาณอินพุตและค่าถ่วงน้ำหนัก.....	22
3.6.2	ฟังก์ชันประเมินผลและเส้น โค้งการเรียนรู้.....	24
3.6.3	กระบวนการค่าเฉลี่ยกำลังสองต่ำสุด.....	26
3.6.4	การลู่เข้าของเวกเตอร์ค่าถ่วงน้ำหนัก.....	28
3.6.5	การประยุกต์ใช้ระบบปรับตัวเองเชิงเส้นในการกำจัดสัญญาณรบกวน.....	29
3.7	การเรียนรู้แบบแพร่กลับ.....	32
3.7.1	ตัวแปรต่างๆที่ใช้ในการเรียนรู้แบบแพร่กลับ.....	34
3.7.2	ขั้นตอนในกระบวนการเรียนรู้แบบแพร่กลับ.....	35
3.8	บทสรุป.....	37

# สารบัญ(ต่อ)

หน้า

บทที่ 4 การวิเคราะห์และออกแบบวงจรรอกกำลังแอกทีฟแบบขนาน	
4.1 บทนำ.....	38
4.2 การวิเคราะห์และหลักการสร้างกระแสอ้างอิง.....	38
4.3 การประยุกต์ใช้โครงข่ายประสาทเทียมในการตรวจจับกระแสฮาร์โมนิก.....	39
4.4 หลักการทำงานของวงจรรอกกำลังแอกทีฟ.....	43
4.4.1 การวิเคราะห์เทคนิคการควบคุมแบบขอบเขตฮิสเตอร์รีซิส.....	44
4.4.2 หลักการทำงานของโหมดการสวิตช์.....	47
4.4.2.1 โหมดการทำงานที่ 1.....	47
4.4.2.2 โหมดการทำงานที่ 2.....	48
4.4.2.3 โหมดการทำงานที่ 3.....	48
4.4.2.4 โหมดการทำงานที่ 4.....	49
4.5 การประยุกต์ใช้โครงข่ายประสาทเทียมกับวงจรควบคุมกระแส.....	49
4.6 การควบคุมระดับแรงดันเชื่อม โยงไฟตรงและแรงดันจุดกึ่งกลางไฟตรงให้คงที่.....	54
4.6.1 การควบคุมระดับแรงดันเชื่อม โยงไฟตรงให้คงที่.....	55
4.6.2 การควบคุมระดับแรงดันจุดกึ่งกลางไฟตรง.....	59
4.7 ผลการจำลองการทำงาน.....	61
4.8 บทสรุป.....	68
บทที่ 5 การออกแบบและสร้างวงจร	
5.1 บทนำ.....	69
5.2 การออกแบบและสร้างวงจรแปลงผันพลังงาน.....	70
5.2.1 ตัวเก็บประจุไฟตรง.....	70
5.2.2 ตัวเหนี่ยวนำกรอกกระแส.....	70
5.2.3 วงจรสวิตช์กำลัง.....	71
5.3 การออกแบบและสร้างวงจรประวิงเวลา.....	72
5.4 การออกแบบวงจรตรวจจับกระแสเกิน.....	74
5.5 การออกแบบวงจรป้องกันภาคกำลัง.....	75
5.6 การออกแบบวงจรตรวจจับสัญญาณของวงจรควบคุม.....	75

เอกสารนี้เป็นเอกสารที่สงวนไว้สำหรับการใช้งานเพื่อการศึกษาเท่านั้น ไม่อนุญาตให้นำไปใช้ประโยชน์ด้านการค้า  
ไม่ว่ากรณีใดๆทั้งสิ้น อีกทั้งห้ามมิให้ดัดแปลงเนื้อหา และต้องอ้างอิงถึงเจ้าของเอกสารทุกครั้งที่มีการนำไปใช้

# สารบัญ(ต่อ)

หน้า

5.6.1	วงจรตรวจจับระดับแรงดัน.....	76
5.6.1.1	วงจรตรวจจับระดับแรงดัน ไฟสลับ.....	76
5.6.1.2	วงจรตรวจจับระดับแรงดัน ไฟตรง.....	77
5.6.2	วงจรตรวจจับกระแส.....	78
5.7	ตัวประมวลผลสัญญาณดิจิทัล.....	78
5.7.1	สถาปัตยกรรมของ TMS320LF2406A.....	79
5.8	การออกแบบโครงสร้างทางซอฟต์แวร์สำหรับการควบคุม.....	80
5.8.1	โปรแกรมการแปลงสัญญาณอะนาลอกเป็นดิจิทัล.....	81
5.8.2	โปรแกรมการตรวจจับกระแสฮาร์โมนิก.....	82
5.8.3	โปรแกรมตัวควบคุมแบบพีไอ.....	83
5.8.4	โปรแกรมส่วนควบคุมและสร้างกระแส.....	84
5.9	สรุป.....	84
<b>บทที่ 6 ผลการทดสอบการทำงานของวงจรรองกำลังแอกทีฟ</b>		
6.1	บทนำ.....	85
6.2	ผลการทดลองการตรวจจับกระแสฮาร์โมนิกด้วย โครงข่ายประสาทเทียมของวงจรรองกำลังแอกทีฟ.....	85
6.3	ผลการทดลองวงจรรองกำลังแอกทีฟในกรณีโหลดชนิดต่างๆ.....	88
6.3.1	กรณีโหลดสมดุล.....	88
6.3.2	กรณีโหลดไม่สมดุล.....	94
6.3.3	กรณีแหล่งจ่ายแรงดันไม่สมดุล.....	95
6.4	ผลการตอบสนองชั่วคราวของการทำงาน.....	97
6.5	ผลการทดลองระบบรักษาระดับแรงดันไฟตรง.....	98
6.6	การประเมินสมรรถนะของวงจรรองกำลังแอกทีฟ.....	99
6.7	สรุป.....	105
<b>บทที่ 7 บทสรุปและข้อเสนอแนะ</b>		
7.1	สรุปผลการวิจัย.....	106
7.2	ข้อเสนอแนะในการพัฒนางานวิจัยต่อไป.....	107

เอกสารนี้เป็นเอกสารที่สงวนไว้สำหรับการศึกษาเท่านั้น เมื่ออนุญาตให้เผยแพร่โดยไม่เสียค่าใช้จ่าย

ไม่ว่ากรณีใดๆทั้งสิ้น อีกทั้งห้ามมิให้คัดลอกเนื้อหา และต้องอ้างอิงถึงเจ้าของเอกสารทุกครั้งที่มีการนำไปใช้

# สารบัญ(ต่อ)

	หน้า
เอกสารอ้างอิง.....	108
ภาคผนวก ก.....	110
ภาคผนวก ข.....	113
ภาคผนวก ค.....	115
ภาคผนวก ง.....	144
ภาคผนวก จ.....	147
ประวัติผู้เขียน.....	155



# สารบัญตาราง

ตารางที่	หน้า
1.1 มาตรฐานข้อกำหนดฮาร์โมนิก IEC 61000-3-2 Class A.....	4
2.1 เปรียบเทียบวงจรกรองแพสซีฟและแอกทีฟ.....	9
2.2 เปรียบเทียบวงจรกรองกำลังแอกทีฟแบบขนานและอนุกรม.....	10
2.3 นิยามของดัชนีและประมาณที่กำหนดคุณสมบัติและคุณภาพรูปคลื่นและกระแสอินพุท.....	14
4.1 เงื่อนไขการเปลี่ยนแปลงแรงดันของตัวเก็บประจุ.....	49
4.2 รูปแบบอินพุทและสัญญาณที่ต้องการที่ใช้ในการสอน โครงข่ายประสาทเทียม.....	52
6.1 การทดลองวงจรกรองกำลังแอกทีฟที่มีโหลดเป็นวงจรไดโอดเรียงกระแสชนิดสามเฟสแบบเต็มคลื่น.....	99
6.2 การทดลองวงจรกรองกำลังแอกทีฟที่มีโหลดเป็นวงจรทรিসเตอร์ที่มีมุมจุดชนวน 30 องศา.....	100
6.3 การทดลองวงจรกรองกำลังแอกทีฟที่มีโหลดเป็นวงจรทรিসเตอร์ที่มีมุมจุดชนวน 60 องศา.....	101
6.4 การทดลองวงจรกรองกำลังแอกทีฟในสถานะต่างๆ ในช่วงก่อนทำการชดเชยกระแสฮาร์โมนิก.....	102
6.5 การทดลองวงจรกรองกำลังแอกทีฟในสถานะต่างๆ ในช่วงหลังทำการชดเชยกระแสฮาร์โมนิก.....	103
6.6 เปรียบเทียบปริมาณฮาร์โมนิกกรณีโหลดวงจรเรียงกระแสชนิดสามเฟสแบบเต็มคลื่น.....	103
6.7 เปรียบเทียบปริมาณฮาร์โมนิกกรณีโหลดวงจรเรียงกระแสทรিসเตอร์ที่มีมุมจุดชนวน 30 องศา.....	104
6.8 เปรียบเทียบปริมาณฮาร์โมนิกกรณีโหลดวงจรเรียงกระแสทรিসเตอร์ที่มีมุมจุดชนวน 60 องศา.....	105

# สารบัญรูป

รูปที่	หน้า
1.1 วงจรกรองกำลังแอกทีฟขนานแบบ 3 เฟส 3 สาย.....	2
1.2 วงจรกรองกำลังแอกทีฟขนานแบบ 3 เฟส 4 สาย.....	3
2.1 วงจรกรองกำลังพาสซีฟแบบต่อขนานกับโหลดไม่เชิงเส้น.....	7
2.2 วงจรกรองกำลังพาสซีฟแบบต่ออนุกรมกับโหลดไม่เชิงเส้น.....	7
2.3 ลักษณะวงจรกรองกำลังแอกทีฟแบบขนาน.....	8
2.4 ลักษณะวงจรกรองกำลังแอกทีฟแบบอนุกรม.....	9
2.5 การปรับปรุงตัวประกอบกำลังไฟฟ้า.....	11
3.1 (ก) แสดงส่วนประกอบของเซลล์ประสาท (ข) แสดงจุดถ่ายสัญญาณ (Signal Transmission) จากเซลล์ประสาทหนึ่ง : ไปยังเซลล์ประสาทตัวอื่นๆ.....	16
3.2 โครงข่ายประสาทเทียมที่สร้างขึ้นร่วมกับฟังก์ชันการเร่งเร็ว.....	17
3.3 โครงข่ายประสาทเทียมชนิดชั้นเดียว.....	18
3.4 โครงข่ายประสาทเทียมชนิดหลายชั้น.....	18
3.5 โครงข่ายประสาทเทียมชนิดชั้นแข่งขัน.....	19
3.6 แสดงระบบการฝึกสอนแบบซูปเปอร์ไวส์ (Supervised Learning).....	20
3.7 แสดงระบบการฝึกสอนแบบอันซูปเปอร์ไวส์ (Unsupervised Learning).....	20
3.8 แสดงระบบการฝึกสอนแบบเสริม (Reinforcement Learning).....	20
3.9 (ก) ฟังก์ชันเอกลิคยณ์ (ข) ฟังก์ชันแบบขั้น ไบนารี (ค) ฟังก์ชันซิกมอยด์ไบนารี (ง) ฟังก์ชันซิกมอยด์โพลาร์.....	21
3.10 รูปแบบของโครงข่ายประสาทเทียมแบบเชิงเส้นที่ปรับตัวเอง.....	22
3.11 ปรับตัวเองเชิงเส้นแบบตัวกรองทรานซ์เวอร์ซอลที่มีอินพุตเดียว.....	23
3.12 การปรับตัวเองเชิงเส้นแบบหลายอินพุต.....	23
3.13 ระบบการปรับตัวเองเชิงเส้นแบบหลายอินพุตกับผลตอบสนองที่ต้องการและค่าผิดพลาด.....	24
3.14 พื้นที่ผิวค่าผิดพลาด 2 มิติ.....	25
3.15 ตัวอย่างเส้นโค้งการเรียนรู้.....	25
3.16 การลู่เข้าของระบบเมื่อรู้ค่าเกรเดียนท์ที่แน่นอน.....	27
3.17 การลู่เข้าของระบบเมื่อใช้การประมาณค่าเกรเดียนท์.....	28

1

# สารบัญรูป(ต่อ)

รูปที่	หน้า
3.18	แสดงเส้นทางพื้นผิวค่าผิดพลาดและการปรับตัวของค่าถ่วงน้ำหนักเมื่อวิธี ค่าเฉลี่ยยกกำลังสองน้อยที่สุด.....29
3.19	หลักการของระบบกำจัดสัญญาณรบกวนปรับตัวเองเชิงเส้น.....30
3.20	การเรียนรู้แบบแพร่กลับที่มีจำนวนชั้นซ่อน 1 ชั้น.....33
3.21	ผังการทำงานของการเรียนรู้แบบแพร่กลับ.....37
4.1	วงจรพื้นฐานของวงจรกรองกำลังแอกทิฟแบบขนาน.....38
4.2	การประยุกต์ใช้โครงข่ายประสาทเทียมในตรวจจับกระแสฮาร์โมนิก.....40
4.3	โครงสร้างของโครงข่ายประสาทเทียมที่นำมาใช้ตรวจจับกระแสฮาร์โมนิก.....40
4.4	โครงสร้างของการตรวจจับกระแสฮาร์โมนิกที่เฟส A.....42
4.5	โครงสร้างวงจรกำลังของวงจรกรองกำลังแอกทิฟ 3 เฟส 4 สาย ที่ใช้ในงานวิจัย.....43
4.6	สัญญาณกระแสและการสวิตช์ของการควบคุมกระแสแบบติดตามขอบเขตฮิสเตอร์รีซิส.....44
4.7	รูปคลื่นกระแสของอินเวอร์เตอร์ตามสภาวะโหมคการควบคุมของสวิตช์.....47
4.8	การทำงานของสวิตช์ในโหมคการทำงานที่ 1.....47
4.9	การทำงานของสวิตช์ในโหมคการทำงานที่ 2.....48
4.10	การทำงานของสวิตช์ในโหมคการทำงานที่ 3.....48
4.11	การทำงานของสวิตช์ในโหมคการทำงานที่ 4.....49
4.12	(ก) การควบคุมกระแสโดยใช้วิธีขอบเขตฮิสเตอร์รีซิส (ข) การควบคุมกระแสโดยใช้วิธีโครงข่ายประสาทเทียม.....50
4.13	โครงสร้างของโครงข่ายประสาทเทียมที่นำมาใช้กับวงจรควบคุมกระแส.....50
4.14	แผนภาพของรูปในการสอนของการควบคุมกระแสที่ใช้โครงข่ายประสาทเทียม.....51
4.15	โครงข่ายประสาทเทียมที่ได้หลังจากทำการฝึกสอนแล้ว.....53
4.16	โครงสร้างของวงจรกรองกำลังแอกทิฟแบบขนาน 3 เฟส 4 สาย ที่มีการรักษาระดับ แรงดันไฟตรง.....54
4.17	บล็อกไดอะแกรมส่วนควบคุมแรงดันไฟตรงที่ใช้ในการออกแบบ.....56
4.18	บล็อกไดอะแกรมส่วนควบคุมระดับแรงดันไฟตรงหลังจากประมาณเป็นระบบเชิงเส้น.....56
4.19	แผนภูมิโบเคชของระบบเมื่อยังไม่รวมส่วนควบคุมพีไอ.....57
4.20	ช่วงปลอดภัยเชิงอัตราขยายและช่วงปลอดภัยเชิงเฟสของระบบควบคุมแรงดันไฟตรง.....58

# สารบัญรูป(ต่อ)

รูปที่	หน้า
4.21	ผลการตอบสนองของระบบการรักษาไฟตรงที่มีสัญญาณอินพุทเป็นสัญญาณยูนิตสเต็ป.....58
4.22	การไหลของกระแสที่ศูนย์เพื่อควบคุมแรงดันจุดกึ่งกลางไฟตรง.....59
4.23	บล็อกไดอะแกรมของการควบคุมแรงดันจุดกึ่งกลางไฟตรง.....60
4.24	ช่วงปลอดภัยเชิงอัตราขยายและช่วงปลอดภัยเชิงเฟสของระบบควบคุมแรงดันที่จุดกึ่งกลางไฟตรง.....61
4.25	ผลการตอบสนองของระบบการรักษาระดับไฟตรงจุดกึ่งกลางที่มีสัญญาณอินพุทเป็นสัญญาณยูนิตสเต็ป.....61
4.26	รูปแบบของวงจรรอกำล้างไฟฟ้าแอกทีฟแบบขนานที่ใช้ในการจำลองการทำงานด้วยโปรแกรม Matlab & Simulink.....62
4.27	ผลการจำลองการทำงานในส่วนของการตรวจจับกระแสฮาร์โมนิกที่ใช้โครงข่ายประสาทเทียม ของวงจรรอกำล้างแอกทีฟที่มีอัตราการเรียนรู้ต่างกันแล้วทำการเพิ่มโหลดที่เวลา 1 วินาที.....63
4.28	โมเดลการจำลองการทำงานของตัวควบคุมกระแส.....64
4.29	ผลการจำลองการทำงานของวงจรรอกำล้างแอกทีฟในช่วงสภาวะคงตัวที่ใช้ตัวควบคุมกระแสแบบติดตามขอบเขตฮิสเตอร์รีซิส.....65
4.30	ผลการจำลองการทำงานของวงจรรอกำล้างแอกทีฟในช่วงสภาวะคงตัวที่ใช้ตัวควบคุมกระแสโครงข่ายประสาทเทียม.....66
4.31	การแรงดันการสวิตช์และกระแสชดเชยของวงจรรอกำล้างแอกทีฟ.....66
4.32	แรงดันบัสไฟตรง.....67
4.33	ผลการตอบสนองของวงจรรอกำล้างแอกทีฟที่มีการเพิ่ม โหลดอย่างฉับพลัน.....68
5.1	โครงสร้างส่วนประกอบของวงจรรอกำล้างแอกทีฟแบบขนาน 3 เฟส 4 สาย.....69
5.2	โครงสร้างไอจีบีทีโมดูลกำลังเบอร์ PM25RSB120 (IPM).....71
5.3	วงจรแยกกราวด์ก่อนเข้าสู่ชุดขับเคลื่อนไอจีบีทีกำลัง.....72
5.4	วงจรสร้างช่วงการประวิงเวลา (Dead time).....73
5.5	วงจรตรวจจับกระแสเกิน.....74
5.6	วงจรป้องกันภาคกำลัง.....75
5.7	วงจรตรวจจับแรงดันไฟสลับ.....77
5.8	วงจรตรวจจับแรงดันไฟตรง.....77

# สารบัญรูป(ต่อ)

รูปที่	หน้า
5.9	วงจรตรวจจับกระแส.....78
5.10	โครงสร้างของตัวประมวลผลสัญญาณดิจิทัลเบอร์ TMS320LF2406A .....80
5.11	โครงสร้างโปรแกรมหลักที่ใช้ในการควบคุมของวงจรรอกำลังแอกทีฟ.....81
5.12	โครงสร้างโปรแกรมที่ใช้ในแปลงสัญญาณอะนาลอกเป็นดิจิทัล.....82
5.13	โครงสร้างโปรแกรมการตรวจจับกระแสฮาร์โมนิกทั้ง 3 เฟส.....82
5.14	โครงสร้างหลักการทำงานของโปรแกรมตัวควบคุมแบบพีไอ.....83
5.15	(ก) โครงสร้างโปรแกรมที่ใช้ในการควบคุมกระแสแบบขอบเขตฮิสเตอร์รีชีส (ข) โครงสร้างโปรแกรมที่ใช้ในการควบคุมกระแสแบบโครงข่ายประสาทเทียม.....84
6.1	การหาค่ากระแสฮาร์โมนิกของวงจรรอกำลังแอกทีฟที่ใช้โครงข่ายประสาทเทียมจากตัว ประมวลผลทางดิจิทัล และค่าถ่วงน้ำหนักในกรณีที่มีค่าอัตราการเรียนรู้ต่างกัน.....86
6.2	การตอบสนองชั่วคราวของกระแสโหลดแบบฉับพลันและค่าถ่วงน้ำหนักในกรณีมี อัตราการเรียนรู้ที่ต่างกัน.....88
6.3	ผลการประมวลผลของตัวประมวลผลสัญญาณดิจิทัลและการชดเชยกระแสจริงของกระแส เฟส A กรณีโหลดเป็นวงจร ไดโอดเรียงกระแสชนิดสามเฟสแบบเต็มคลื่น.....89
6.4	รูปคลื่นกระแสและแรงดันที่จุดต่างๆ ในกรณีโหลดเป็นวงจร ไดโอดเรียงกระแสชนิด สามเฟสแบบเต็มคลื่น.....90
6.5	สเปกตรากะแสแหล่งจ่ายที่ได้จากรูปที่ 6.4 (ก) และรูปที่ 6.4 (ข) ตามลำดับ.....90
6.6	ผลการประมวลผลของตัวประมวลผลสัญญาณดิจิทัลและการชดเชยกระแสจริง ของกระแสเฟส A กรณีโหลดเป็นวงจร ทรินสเตอร์ที่มีการปรับมุมจุดชนวนไว้ที่ 30 องศา...91
6.7	รูปคลื่นกระแสและแรงดันที่จุดต่างๆ ในกรณีโหลดเป็นวงจร ทรินสเตอร์ที่มีการปรับ มุมจุดชนวนไว้ที่ 30 องศา.....92
6.8	สเปกตรากะแสแหล่งจ่ายที่ได้จากรูปที่ 6.7 (ก) และรูปที่ 6.7 (ข) ตามลำดับ.....92
6.9	ผลการประมวลผลของตัวประมวลผลสัญญาณดิจิทัลและการชดเชยกระแสจริงของ กระแสเฟส A กรณีโหลดเป็นวงจร ทรินสเตอร์ที่มีการปรับมุมจุดชนวนไว้ที่ 30 องศา.....92
6.10	รูปคลื่นกระแสและแรงดันที่จุดต่างๆ ในกรณีโหลดเป็นวงจร ทรินสเตอร์ที่มีการปรับมุม จุดชนวนไว้ที่ 60 องศา.....93
6.11	สเปกตรากะแสแหล่งจ่ายที่ได้จากรูปที่ 6.10 (ก) และรูปที่ 6.10 (ข) ตามลำดับ.....94

## สารบัญรูป(ต่อ)

รูปที่	หน้า
6.12	รูปคลื่นกระแสและแรงดันที่จุดต่างๆในกรณีโหลดเกิดการไม่สมดุล.....95
6.13	รูปคลื่นกระแสและแรงดันที่จุดต่างๆในกรณีแหล่งจ่ายแรงดันเกิดการไม่สมดุล 1 เฟส.....96
6.14	รูปคลื่นกระแสและแรงดันที่จุดต่างๆในกรณีแหล่งจ่ายแรงดันเกิดการไม่สมดุล 2 เฟส.....96
6.15	ผลตอบสนองของสถานะชั่วคราวขณะเพิ่มกระแสโหลดแบบฉับพลันที่มีโหลดเป็นวงจร ไดโอดเรียงกระแสชนิดสามเฟสแบบเต็มคลื่น.....97
6.16	ผลตอบสนองของสถานะชั่วคราวขณะเพิ่มกระแสโหลดแบบฉับพลันที่มีโหลดเป็นวงจร ไทรสเตอร์ที่มีการปรับมุมจุดชนวนแบบเต็มคลื่นซึ่งปรับมุมจุดชนวนที่ 30 องศา.....97
6.17	ที่มีการปรับมุมจุดชนวนแบบเต็มคลื่นซึ่งปรับมุมจุดชนวนที่ 30 องศา ที่มีการปรับ มุมจุดชนวนแบบเต็มคลื่นซึ่งปรับมุมจุดชนวนที่ 60 องศา.....98
6.18	ผลการทำงานของระบบรักษาระดับไฟตรง.....98



# บทที่ 1

## บทนำ

### 1.1 ความเป็นมาและความสำคัญของปัญหา

ในปัจจุบันเทคโนโลยีและอุปกรณ์อิเล็กทรอนิกส์กำลังอาทิเช่น วงจรเรียงกระแส, อินเวอร์เตอร์ ฯลฯ ได้เข้ามามีบทบาทอย่างมากในวงการอุตสาหกรรม แต่อย่างไรก็ตามอุปกรณ์อิเล็กทรอนิกส์กำลังเหล่านี้ก่อให้เกิดฮาร์โมนิกขึ้นมาในระบบไฟฟ้ากำลัง[1] การที่กระแสไฟฟ้าจากแหล่งจ่ายอินพุตมีองค์ประกอบของฮาร์โมนิก ซึ่งจะส่งผลกระทบต่ออุปกรณ์ไฟฟ้าที่เกี่ยวข้อง เช่น การทำงานผิดพลาดไปจากปกติ, การทำงานทำได้ไม่เต็มพิกัด, อาจส่งผลให้อายุการใช้งานของอุปกรณ์ต่ำกว่ามาตรฐาน และรบกวนการทำงานของอุปกรณ์อื่นๆที่อยู่ใกล้เคียงเป็นต้น ซึ่งพอจำแนกได้ดังต่อไปนี้

1. สายส่งและชุดตัวเก็บประจุไฟฟ้า จะเกิดความเครียดไดอิเล็กตริกสูงกว่าปกติทำให้อายุการใช้งานสั้นลง เกิดความผิดพลาดของระบบไฟฟ้าได้ง่าย หากระบบไฟฟ้านั้นมีสายนิวทรัลจะ ทำให้มีกระแสฮาร์โมนิกไหลในสายนิวทรัลเพิ่มขึ้น และกระแสฮาร์โมนิกยังสามารถทำให้สภาพความนำไฟฟ้าของสายตัวนำไฟฟ้าลดลงเนื่องจากปรากฏการณ์ทางผิว

2. หม้อแปลงไฟฟ้าเกิดการอิ่มตัวได้เมื่อจ่ายกระแสไฟฟ้าที่ผิดเพี้ยน ไปจากรูปคลื่นไซน์ ทำให้การสูญเสียในขดลวดหม้อแปลงไฟฟ้าเพิ่มขึ้น เนื่องจากมีกระแสไหลวนเพิ่มขึ้น การป้อนกระแสไฟฟ้าที่มีองค์ประกอบฮาร์โมนิกปนอยู่ให้กับหม้อแปลงไฟฟ้า จึงเป็นเหตุให้หม้อแปลงไฟฟ้าไม่สามารถทำงานได้เต็มพิกัดที่กำหนด ดังนั้นจะต้องมีการลดขนาดพิกัดลง

3. มอเตอร์ไฟฟ้าที่มีกระแสฮาร์โมนิกไหลในขดลวดสเตเตอร์ จะทำให้อุณหภูมิขณะทำงานสูงกว่าปกติเนื่องจากกระแสไหลวนสูงขึ้น และแรงดันฮาร์โมนิกยังก่อให้เกิดการสั่นสะเทือนกับตัวมอเตอร์ส่งผลกระทบต่อเพลาและแบร็ง จึงทำให้อายุการใช้งานจริงของมอเตอร์ต่ำกว่าปกติ

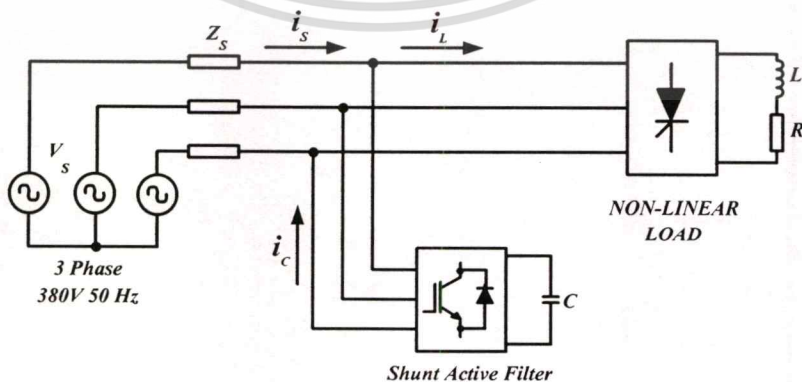
4. อุปกรณ์ป้องกันในระบบไฟฟ้าเช่น ฟิวส์ เซอร์กิตเบรกเกอร์ หรือ สวิตช์เกียร์ทำงานผิดไปจากคุณลักษณะการทำงานปกติ เช่น ตัดวงจรก่อนที่จะถึงค่าที่ตั้งไว้หรือไม่ทำงานเมื่อถึงจุดทำงานที่ตั้งไว้

5. ระบบสื่อสาร เครื่องมือแพทย์ และอุปกรณ์ในระบบควบคุมบางประเภทที่มีความไวในการทำงานสูงอาจถูกรบกวนจากคลื่นแม่เหล็กไฟฟ้า (EMI: electromagnetic interference) และจากคลื่นความถี่วิทยุ (RFI: radio frequency interference) ที่เกิดจากการสวิตช์ด้วยความเร็วสูงของสวิตซ์อิเล็กทรอนิกส์ทำให้คุณภาพการสื่อสารลดลง จนถึงขั้นที่ระบบการสื่อสารนั้นไม่สามารถใช้งานได้

สำหรับแนวทางในการแก้ปัญหาของฮาร์โมนิกที่ผ่านมา ได้มีการนำเอาวงจรกรองกำลังแบบพาสซีฟเข้ามาติดตั้ง เพื่อที่จะกรองกระแสฮาร์โมนิกออกไปจากระบบ แต่การใช้วงจรกรองกำลังแบบพาสซีฟนั้นก็ยังมีข้อจำกัดอยู่หลายประการดังนี้[2]

1. คุณสมบัติการกรองของวงจรกรองแบบพาสซีฟจะขึ้นอยู่กับอิมพีแดนซ์ของแหล่งจ่ายกำลังไฟฟ้า ซึ่งอาจมีการเปลี่ยนแปลงได้หากโครงสร้างของระบบกำลังมีการเปลี่ยนแปลง
2. วงจรกรองแบบพาสซีฟหนึ่งชุดเหมาะกับกระแสฮาร์โมนิกเพียงอันดับเดียวเท่านั้น
3. มีความซับซ้อนในการออกแบบเนื่องจากวงจรกรองแบบพาสซีฟจำเป็นต้องใช้อุปกรณ์ที่มีความแม่นยำสูง และจะต้องมีขนาดที่ใหญ่พอต่อการรับกระแสฮาร์โมนิก
4. อาจเกิดกระแสสูงไหลระหว่างแหล่งจ่ายกับวงจรกรองเมื่อเกิดรีโซแนนซ์ขนานกับอิมพีแดนซ์ของแหล่งจ่ายเมื่อมองจากทางด้านโหลด จึงทำให้อุปกรณ์ต่างๆในระบบเสียหายได้เนื่องจากเกิดแรงดันตกคร่อมโหลดสูง

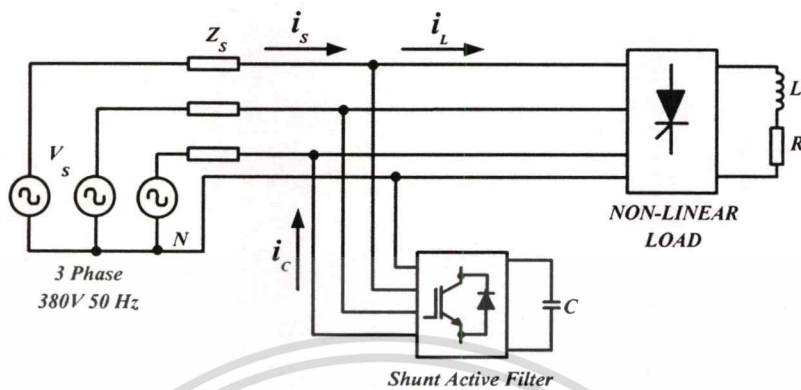
จากข้อจำกัดของวงจรกรองแบบพาสซีฟดังกล่าวจึงได้มีการพัฒนานำเอาวงจรกรองแบบแอคทีฟเข้ามาใช้ในการแก้ปัญหาระบบไฟฟ้า ซึ่งวงจรกรองแบบแอคทีฟจะต่อขนานกับโหลด แล้วทำตัวเสมือนแหล่งจ่ายกระแสที่ผลิตกระแสในส่วนของฮาร์โมนิก ขึ้นมาหักล้างกับกระแสฮาร์โมนิกที่เกิดขึ้นจากโหลด จึงเป็นผลทำให้กระแสจากแหล่งจ่ายมีรูปร่างลักษณะใกล้เคียงชายน้ามากขึ้น โดยวงจรกรองเหล่านี้ส่วนใหญ่จะเป็นการแก้ปัญหาให้กับระบบไฟฟ้ากำลังชนิด 3 เฟส 3 สายซึ่งมีวงจรดังรูปที่ 1.1 อย่างไรก็ตามในการใช้งานทางด้านอุตสาหกรรมหรือระบบจำหน่ายทั่วไปมักจะเป็นระบบไฟฟ้าแบบ 3 เฟส 4 สาย ซึ่งมีฮาร์โมนิกปะปนอยู่ด้วยจึงเป็นผลให้เกิดปัญหากระแสเกินในสายนิวทรัล หรือที่ขั้วต่อของหม้อแปลงระบบจำหน่ายเป็นผลให้เกิดความร้อนสูงเกิน การแก้ปัญหาระบบไฟฟ้ากำลัง 3 เฟส 4 สาย จะไม่สามารถใช้วงจรกรองแอคทีฟแบบ 3 สายที่ไม่มีสายต่อกับนิวทรัลได้[3] เพราะว่ากระแสฮาร์โมนิกบางส่วนในสายเฟสจะไม่ถูกชดเชย และขนาดของกระแสฮาร์โมนิกในสายนิวทรัลก็ไม่ได้ลดลง



รูปที่ 1.1 วงจรกรองกำลังแอคทีฟขนานแบบ 3 เฟส 3 สาย

เอกสารนี้เป็นเอกสารที่สงวนไว้สำหรับการใช้งานเพื่อการศึกษาเท่านั้น ไม่อนุญาตให้นำไปใช้ประโยชน์ด้านการค้า ไม่ว่าจะกรณีใดๆทั้งสิ้น อีกทั้งห้ามมิให้ตัดแปลงเนื้อหา และต้องอ้างอิงถึงเจ้าของเอกสารทุกครั้งที่มีการนำไปใช้

ดังนั้นในวิจัยนี้จึงนำเสนอวงจรกรองแอกทีฟสำหรับระบบ 3 เฟส 4 สาย ซึ่งใช้กับแบบที่สายนิวทรัลต่อร่วมกับจุดกึ่งกลางของไฟตรง และใช้การตรวจจับกระแสฮาร์โมนิกทางด้านโหลด 3 สาย โดยมีวงจรดังรูปที่ 1.2



รูปที่ 1.2 วงจรกรองกำลังแอกทีฟขนานแบบ 3 เฟส 4 สาย

## 1.2 ความมุ่งหมาย และวัตถุประสงค์

งานวิจัยนี้นำเสนอการวิเคราะห์ และออกแบบวงจรกรองกำลังไฟฟ้าแอกทีฟแบบขนานเพื่อใช้กับระบบไฟฟ้าชนิด 3 เฟส 4 สาย ซึ่งใช้การตรวจจับกระแสด้วยวิธีโครงข่ายประสาทเทียมทางด้านโหลด เพื่อทำการหากระแสชดเชยของระบบที่มีโหลดชนิดไม่เป็นเชิงเส้นและทำการประยุกต์ใช้โครงข่ายประสาทเทียมเข้ามามีกับการควบคุมการสร้างกระแสของวงจรกรองกำลังแอกทีฟ

## 1.3 วิธีการศึกษาและวิจัย

- 1.3.1 ค้นคว้า ศึกษาข้อมูล จากบทความ และตำราที่สามารถให้ข้อมูลเกี่ยวกับวิธีการกำจัดฮาร์โมนิกในระบบไฟฟ้าแบบต่างๆ
- 1.3.2 ศึกษาทฤษฎีโครงข่ายประสาทเทียมเพื่อนำมาประยุกต์ใช้กับวงจรกรองกำลังแอกทีฟ
- 1.3.3 จำลองการทำงานของวงจรกรองกำลังแอกทีฟแบบขนานด้วย โปรแกรมคอมพิวเตอร์ (Matlab-Simulink) เพื่อทดสอบทฤษฎีในการหากระแสฮาร์โมนิก และการควบคุมกระแสของวงจรกรองแอกทีฟด้วยวิธีโครงข่ายประสาทเทียม
- 1.3.4 สร้างวงจรต้นแบบขึ้นมาเพื่อทำการศึกษา และแก้ไขส่วนบกพร่อง
- 1.3.5 สรุปและวิจารณ์ผลการทดลอง

## 1.4 ขอบเขตของวิทยานิพนธ์

วิทยานิพนธ์นี้มีวัตถุประสงค์เพื่อทำการศึกษาวิธีการกำจัดกระแสฮาร์โมนิกด้วยวงจรกรองกำลังแอกทีฟแบบขนานที่ใช้การตรวจจับกระแสด้วยโครงข่ายประสาทเทียม โดยใช้กับระบบไฟฟ้ากำลังแบบ 3 เฟส 4 สาย ที่มีโหลดเป็นวงจรเรียงกระแสสามเฟสและวงจรไทรสเตอร์แบบปรับมุมจุดชนวน ที่พิกัด 3 kVA ขนาดแรงดัน 380 V โดยที่วงจรสามารถทำงานได้ทั้งในกรณีที่กระแสโหลดสมดุลและไม่สมดุล รวมทั้งสามารถทำงานได้ในกรณีที่แรงดันเกิดการไม่สมดุลด้วย ซึ่งกระแสอินพุททางด้านแหล่งจ่ายหลังทำการชดเชยแล้วจะต้องมีค่าไม่เกินมาตรฐาน IEC 61000-3-2 (2000-08) Class A ในการเลือกใช้มาตรฐาน IEC 61000-3-2 เนื่องจากเป็นมาตรฐานที่มีการใช้อย่างแพร่หลาย และใช้งานได้ง่าย คือ เราจะทราบค่ากระแสฮาร์โมนิกที่สอดคล้องตามมาตรฐานได้จากการเทียบสัดส่วนจากค่ากระแสฐาน 16 A ดังตารางที่ 1.1

ตารางที่ 1.1 มาตรฐานข้อกำหนดฮาร์โมนิก IEC 61000-3-2 Class A

Harmonic Order N	Maximum permissible Harmonic current (A)
Odd Harmonics	
3	2.30
5	1.14
7	0.77
9	0.40
11	0.33
13	0.21
$15 < n < 39$	0.15 (15/n)
Even Harmonics	
2	1.08
4	0.43
6	0.30
$8 < n < 40$	0.23 (8/n)

## 1.5 โครงสร้างของวิทยานิพนธ์

วิทยานิพนธ์นี้นำเสนอการวิเคราะห์และออกแบบวงจรรอกกำลังแอคทีฟแบบขนานที่มีการชดเชยกระแสฮาร์โมนิกในระบบ 3 เฟส 4 สาย โดยมีรายละเอียดเนื้อหาที่กล่าวถึงในวิทยานิพนธ์แบ่งเป็น 7 บท ดังต่อไปนี้

บทที่ 1 กล่าวถึงความเป็นมาและความสำคัญของปัญหา จุดมุ่งหมายและวัตถุประสงค์ของการศึกษา ขั้นตอน ขอบเขต ตลอดจนประโยชน์ที่ได้จากการวิจัย

บทที่ 2 กล่าวถึงทฤษฎีการกำจัดกระแสฮาร์โมนิกในแบบต่างๆ การวิเคราะห์รูปคลื่นสัญญาณ การประเมินกระแสด้วยค่าดัชนีคุณภาพ และสเปกตร้าฮาร์โมนิกของกระแสอินพุททางด้านแหล่งจ่าย

บทที่ 3 กล่าวถึงรายละเอียดของทฤษฎีโครงข่ายประสาทเทียมชนิดต่างๆ ข้อดีของโครงข่ายประสาทเทียม รวมทั้งการประยุกต์ใช้งานของโครงข่ายประสาทเทียม

บทที่ 4 วิเคราะห์และออกแบบพารามิเตอร์ที่มีผลต่อการทำงานของวงจรรอกกำลังแอคทีฟแบบขนาน พร้อมทั้งจำลองการทำงานด้วยโปรแกรม Matlab-Simulink

บทที่ 5 วงจรกำลัง และวงจรควบคุมการทำงานของวงจรรอกกำลังแอคทีฟแบบขนาน มีการอธิบายวงจรควบคุมในแต่ละส่วนและหลักการสร้างในเชิงปฏิบัติ ตลอดจนเทคนิคต่างๆ ในการแก้ปัญหาที่เกิดขึ้นในวงจร

บทที่ 6 การทดลองและผลการทดลองของวงจรรอกกำลังแอคทีฟแบบขนาน ที่ทำการทดสอบกับโหลดชนิดต่างๆ การเปรียบเทียบคุณสมบัติของวงจรรอก ของกระแสอินพุททางด้านแหล่งจ่ายตามมาตรฐาน IEC 61000-3-2 Class A

บทที่ 7 บทสรุปและข้อเสนอแนะ

## 1.6 ประโยชน์ที่ได้จากวิทยานิพนธ์

- 1.6.1 เป็นเทคนิคใหม่ที่ใช้ในการตรวจจับกระแสฮาร์โมนิกของวงจรรอกกำลังแอคทีฟ อีกทั้งยังเป็นแนวทางในการพัฒนาวิธีการกำจัดกระแสฮาร์โมนิกสำหรับระบบไฟฟ้าแบบ 3 เฟส 4 สาย
- 1.6.2 เป็นข้อมูลทางเทคนิคในการประยุกต์การใช้งานของตัวประมวลผลสัญญาณดิจิทัล TMS320LF2406 สำหรับวงจรรอกกำลังแอคทีฟ
- 1.6.3 ผลการศึกษาและวิจัย สามารถที่จะนำไปพัฒนาต่อเพื่อนำใช้งานจริงในภาคอุตสาหกรรมอุตสาหกรรมได้
- 1.6.4 เป็นแนวทางพื้นฐานในการศึกษาถึงวิธีการกำจัดฮาร์โมนิก และสามารถเข้าใจถึงข้อดีและข้อเสียเมื่อเปรียบเทียบกับการใช้งานวงจรรอกแบบอื่น ๆ

เอกสารนี้เป็นเอกสารที่สงวนไว้สำหรับการใช้งานเพื่อการศึกษาเท่านั้น ไม่อนุญาตให้นำไปใช้ประโยชน์ด้านการค้า ไม่ว่าจะกรณีใดๆทั้งสิ้น อีกทั้งห้ามมิให้คัดลอกเนื้อหา และต้องอ้างอิงถึงเจ้าของเอกสารทุกครั้งที่มีการนำไปใช้

## บทที่ 2

# ทฤษฎีการกำจัดกระแสฮาร์โมนิกและการวิเคราะห์คุณภาพ รูปคลื่นกระแส

### 2.1 บทนำ

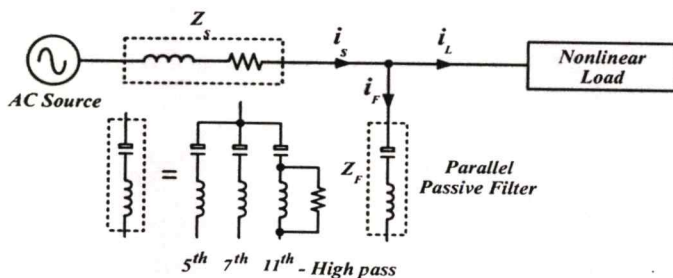
บทนี้จะกล่าวถึงรายละเอียดของหลักการและทฤษฎีที่ใช้ในการกำจัดกระแสฮาร์โมนิกดังที่ได้กล่าวมาแล้วในบทที่ 1 โดยในบทนี้จะกล่าวถึงวิธีการกำจัดกระแสฮาร์โมนิกด้วยวงจรกรองชนิดต่างๆ ได้แก่ วงจรกรองกำลังพาสซีฟ, วงจรกรองกำลังแอกทีฟทั้งแบบขนานและแบบอนุกรม รวมถึงการวิเคราะห์คุณภาพรูปคลื่นกระแสอินพุททางด้านแหล่งจ่ายที่เกิดการผิดเพี้ยนเนื่องจากฮาร์โมนิกเพื่อใช้เป็นข้อมูลในการออกแบบวงจรกรองต่อไป

### 2.2 ประเภทวงจรกรองกำลังไฟฟ้า

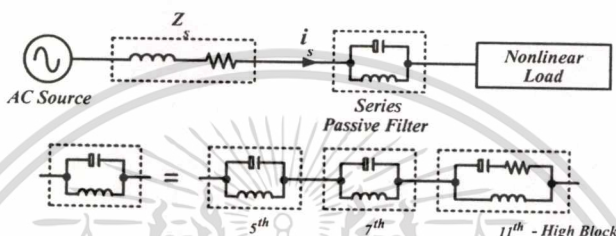
โดยทั่วไปวงจรกรองกำลังไฟฟ้านิยมใช้ในการกำจัดกระแสฮาร์โมนิกนั้นสามารถจำแนกได้เป็น 2 ชนิด คือ แบบพาสซีฟและแบบแอกทีฟ

#### 2.2.1 วงจรกรองกำลังพาสซีฟ

วงจรกรองกำลังในยุคแรกเริ่มจะมีลักษณะเป็น วงจรกรองกำลังพาสซีฟ (passive filter) หรือเรียกอีกอย่างว่า “ฟิลเตอร์แบงก์ (filter bank)” ลักษณะของวงจรกรองกำลังพาสซีฟจะเป็นวงจรที่แสดงคุณสมบัติค่าอิมพีแดนซ์ต่ำที่กระแสฮาร์โมนิกลำดับต่างๆ โดยจะนำไปต่อในลักษณะขนานหรืออนุกรมกับวงจรที่มีโหลดชนิดไม่เป็นเชิงเส้นเพื่อให้กระแสฮาร์โมนิกไหลมาที่วงจรกรองกำลังพาสซีฟ และไม่ไหลไปยังอินพุทของแหล่งจ่ายไฟ ซึ่งจะต้องคำนวณค่าของตัวเก็บประจุและตัวเหนี่ยวนำที่แน่นอน เพื่อทำหน้าที่กำจัดกระแสฮาร์โมนิกลำดับใดลำดับหนึ่ง ซึ่งวงจรกรองกำลังพาสซีฟจะประพุดิตัวเป็นค่าอิมพีแดนซ์ต่ำกรณีเป็นแบบขนาน ส่วนกรณีที่เป็นแบบอนุกรมจะประพุดิตัวเป็นค่าอิมพีแดนซ์สูง ที่ความถี่ฮาร์โมนิกที่ต้องการกำจัดจึงทำให้กระแสฮาร์โมนิกลดลงแสดงดังรูปที่ 2.1 และรูปที่ 2.2 เป็นวงจรกรองพาสซีฟแบบขนานและอนุกรมกับโหลดชนิดไม่เป็นเชิงเส้นตามลำดับ



รูปที่ 2.1 วงจรกรองกำลังพาสซีฟแบบต่อขนานกับโหลดชนิดไม่เป็นเชิงเส้น



รูปที่ 2.2 วงจรกรองกำลังพาสซีฟแบบต่ออนุกรมกับโหลดชนิดไม่เป็นเชิงเส้น

### 2.2.2 วงจรกรองกำลังแอกทีฟ

วงจรกรองกำลังแอกทีฟ คือ วงจรที่มีคุณสมบัติในการกำจัดกระแสหรือแรงดันฮาร์โมนิกในระบบไฟฟ้า โดยทำการควบคุมวงจรแปลงผันกำลังงาน (Power Converter) ที่เชื่อมต่อระหว่างแหล่งจ่ายไฟฟ้ากับโหลดที่สร้างฮาร์โมนิกให้กับระบบ โดยวงจรกรองแอกทีฟจะทำหน้าที่จ่ายแรงดันหรือกระแสป้อนเข้าสู่ระบบอย่างเหมาะสม จึงทำให้กระแสฮาร์โมนิกไม่ไหลย้อนกลับไปแหล่งจ่ายหรือแก้ไขความเพี้ยนของแรงดันในระบบได้ วงจรกรองกำลังแอกทีฟโดยทั่วไปจะประกอบด้วยส่วนหลักๆ คือ

1. ส่วนตรวจจับกระแสหรือแรงดันฮาร์โมนิก ส่วนนี้จะทำหน้าที่คอยตรวจจับกระแสหรือแรงดันของระบบ แล้วจึงนำมาทำการคำนวณหาค่าองค์ประกอบฮาร์โมนิกในระบบโดยอาศัยวิธีการต่างๆ
2. ส่วนควบคุมค่ากระแสหรือแรงดันฮาร์โมนิกที่คำนวณได้จากส่วนของการตรวจจับ ซึ่งส่วนนี้จะถูกนำมาใช้ในการกำหนดค่าแรงดันหรือกระแสของวงจรกรองกำลัง โดยวงจรจะต้องจ่ายกระแสหรือแรงดันเข้าสู่ระบบเพื่อทำการกำจัดฮาร์โมนิกตามที่ต้องการ
3. วงจรแปลงผันกำลัง จะเป็นส่วนที่ทำการควบคุมแรงดันหรือกระแสของวงจรกรองให้มีค่าเป็นไปตามที่ส่วนควบคุมกำหนด โดยวงจรในส่วนนี้ทั่วไปแล้วจะเป็นวงจรอินเวอร์เตอร์ที่ทำหน้าที่แปลงแรงดันไฟตรงเชื่อมโยงให้เป็นแรงดันไฟสลับซึ่งใช้เทคนิคของการปรับความกว้าง

เอกสารนี้เป็นเอกสารที่สงวนไว้สำหรับการใช้งานเพื่อการศึกษาเท่านั้น ไม่อนุญาตให้นำไปเผยแพร่โดยไม่ได้รับอนุญาต

ไม่ว่ากรณีใดๆทั้งสิ้น อีกทั้งห้ามมิให้ตัดแปลงเนื้อหา และต้องอ้างอิงถึงเจ้าของเอกสารทุกครั้งที่มีการนำไปใช้

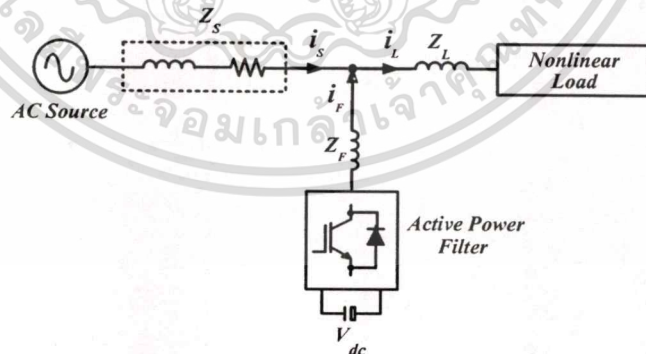
พัลส์ และมีวงรอบการควบคุมกระแสรวมอยู่ด้วย สวิตช์กำลังที่ใช้ส่วนใหญ่จะเป็น IGBT (Insulated Gate Bipolar Transistor) หรือ GTO (Gate Turn- Off Transistor) โดยมีความถี่ในการสวิตช์จะอยู่ที่ประมาณ 1 – 20 kHz.

4. วงจรเชื่อมต่อระหว่างอินเวอร์เตอร์กับแหล่งจ่าย เนื่องจากวงจรรอกำลังแอกทีฟจะมีการเชื่อมต่อกันระหว่างแหล่งจ่ายไฟผ่านตัวเหนี่ยวนำ และวงจรรอกำลังแอกทีฟจะมีความถี่การสวิตช์ในกรณีที่ใช้กับระดับแรงดันสูงก็อาจมีการต่อผ่านหม้อแปลงหรือตัวเก็บประจุเพื่อลดขนาดแรงดันที่ตัวอุปกรณ์อิเล็กทรอนิกส์กำลังลง

วงจรรอกำลังแอกทีฟมีข้อดีหลายประการเมื่อเทียบกับวงจรรอกำลังพาสซีฟประกอบกับปัญหาฮาร์โมนิกที่เพิ่มมากขึ้นและราคาอุปกรณ์ที่มีแนวโน้มลดลง จึงทำให้มีการนำเอาวงจรรอกำลังแอกทีฟเข้ามาใช้เป็นจำนวนเพิ่มมากขึ้น ซึ่งคุณสมบัติการกรองของวงจรรอกำลังแอกทีฟจะอยู่ในระดับ 80-95% ซึ่งเราสามารถจำแนกชนิดของวงจรรอกำลังแอกทีฟตามวิธีการติดตั้งได้เป็น 2 ชนิด คือ

### 2.2.2.1 วงจรรอกำลังแอกทีฟแบบขนาน

วงจรรอกำลังแอกทีฟที่ต่อแบบขนานเป็นวงจรที่ได้รับความนิยมค่อนข้างสูงในการกำจัดสัญญาณกระแสฮาร์โมนิก, ชดเชยกำลังไฟฟ้ารีแอกทีฟและทำให้กระแสไฟในแต่ละเฟสสมดุลกัน ซึ่งลักษณะการต่อวงจรรอกำลังแอกทีฟแบบขนานแสดงได้ดังรูป 2.3 โดยวงจรรอกำลังจะประพืดตัวเป็นแหล่งจ่ายกระแส ที่จ่ายกระแสฮาร์โมนิกในทิศทางตรงกันข้ามกับกระแสฮาร์โมนิกจากโหลดหรือกล่าวอีกนัยหนึ่ง คือ วงจรรอกำลังแอกทีฟจะจ่ายกระแสฮาร์โมนิกให้กับโหลดแทนแหล่งจ่าย



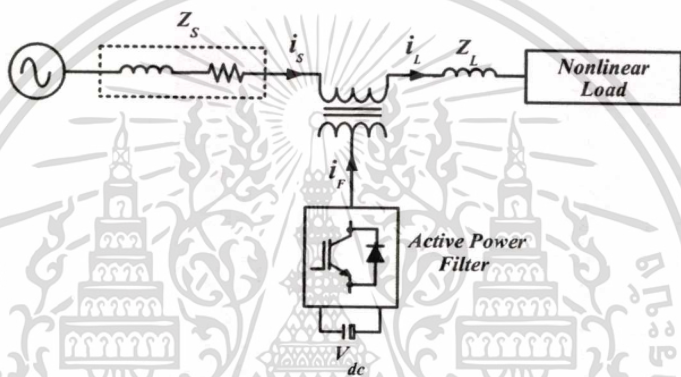
รูปที่ 2.3 ลักษณะวงจรรอกำลังแอกทีฟแบบขนาน

### 2.2.2.2 วงจรรอกำลังแอกทีฟแบบอนุกรม

วงจรรอกำลังแอกทีฟแบบอนุกรมจะมีลักษณะคล้ายกับวงจรรอกำลังแอกทีฟแบบขนาน ต่างกันตรงที่การต่อกับจุดต่อร่วม คือ วงจรรอกำลังแอกทีฟแบบขนานจะต่อกับจุดต่อร่วม

โดยตรงแต่วงจรรอกำลังแอกทีฟแบบอนุกรมจะต่อกับจุดต่อร่วมผ่านทางหม้อแปลง โดยไม่ว่ากรณีใดๆทั้งสิ้น อีกทั้งห้ามมิให้ตัดแปลงเนื้อหา และต้องอ้างอิงถึงเจ้าของเอกสารทุกครั้งที่มีการนำไปใช้

จุดต่อร่วมจะอยู่ระหว่างแหล่งจ่ายกับโหลดชนิดไม่เป็นเชิงเส้นดังรูปที่ 2.4 วงจรกรองกำลังแอกทีฟแบบอนุกรมจะใช้เพื่อกำจัดสัญญาณแรงดันฮาร์โมนิกส์, รักษาสมมูลและคงค่าแรงดันไฟฟ้าที่ขั้วของด้านโหลดหรือด้านแหล่งจ่าย วงจรกรองแบบอนุกรมนี้จะทำการตรวจจับกระแสฮาร์โมนิกที่ไหลในระบบแล้วนำไปสร้างแรงดันของวงจรกรองที่มีเฟสตรงกันกับกระแสฮาร์โมนิก วงจรกรองจึงประพฤติตัวเสมือนความต้านทานค่าสูงเฉพาะที่ความถี่ฮาร์โมนิก จึงทำให้กระแสฮาร์โมนิกจะถูกกั้นไม่ให้ไหลไปยังแหล่งจ่ายได้ ในทางกลับกันกระแสฮาร์โมนิกจากแหล่งจ่ายก็ไม่สามารถไหลไปทางด้านโหลดด้วย ซึ่งจะช่วยแก้ปัญหาในกรณีที่แหล่งจ่ายมีความเพี้ยนของแรงดันและโหลดมีอิมพีแดนซ์ที่ความถี่ฮาร์โมนิกต่ำ วงจรกรองกำลังแอกทีฟแบบอนุกรมจึงทำหน้าที่เป็นตัวแยกฮาร์โมนิกระหว่างแหล่งจ่ายกับโหลด สำหรับข้อดีและข้อเสียของวงจรกรองแต่ละชนิดสามารถแสดงได้ตามตารางที่ 2.1



รูป 2.4 ลักษณะวงจรกรองกำลังแอกทีฟแบบอนุกรม

ตารางที่ 2.1 เปรียบเทียบวงจรกรองกำลังพาสซีฟและแอกทีฟ[4]

คุณสมบัติ	วงจรกรองกำลังพาสซีฟ	วงจรกรองกำลังแอกทีฟ
การกำจัดฮาร์โมนิก	แยกกำจัดแต่ละลำดับได้ แต่ต้องติดตั้งวงจรกรองเรียบลำดับต่ำเสมอเพื่อป้องกันการเกิดรีโซแนนซ์	แยกกำจัดลำดับใดๆก็ได้ (ไม่ต้องเรียง) หรือจะกำจัดหมดก็ได้
ความสามารถในการกำจัดฮาร์โมนิก	ขึ้นอยู่กับค่าอิมพีแดนซ์ของแหล่งจ่าย ออกแบบให้ค่า Q สูงยาก	ไม่ขึ้นอยู่กับค่าอิมพีแดนซ์ของแหล่งจ่าย
ความเปลี่ยนแปลงของความถี่แหล่งจ่าย	คุณสมบัติการกรองลดลง โดยเฉพาะเมื่อค่า Q สูง	คุณสมบัติไม่เปลี่ยนแปลง
ปัญหาเรโซแนนซ์กับอิมพีแดนซ์แหล่งจ่าย	อาจเกิดเรโซแนนซ์แบบขนานเมื่อมองจากโหลดหรือ เกิดเรโซแนนซ์แบบอนุกรมเมื่อมองจากแหล่งจ่ายทำให้เกิดกระแส และแรงดันเกินในวงจร	มีโอกาสเกิดเรโซแนนซ์แบบขนานเมื่อมองจากโหลดได้น้อยกว่า

เอกสารนี้เป็นเอกสารที่สงวนไว้สำหรับใช้ในงานเพื่อการศึกษาเท่านั้น ไม่อนุญาตให้นำไปใช้ประโยชน์ด้านธุรกิจ

ไม่ว่ากรณีใดๆทั้งสิ้น อีกทั้งห้ามมิให้ตัดแปลงเนื้อหา และต้องอ้างอิงถึงเจ้าของเอกสารทุกครั้งที่มีการนำไปใช้

ตารางที่ 2.1(ต่อ) เปรียบเทียบวงจรรอกำลังพาสซีฟและแอคทีฟ

คุณสมบัติ	วงจรรอกำลังพาสซีฟ	วงจรรอกำลังแอคทีฟ
ปริมาณกำลังงานรีแอคทีฟ	จ่ายกำลังงานรีแอคทีฟเสมอ ซึ่งอาจเกินความต้องการ	สามารถเลือกให้จ่ายกำลังงานรีแอคทีฟหรือไม่จ่ายก็ได้ตามที่ผู้ใช้กำหนด
การวิเคราะห์อิมพีแดนซ์ของระบบ	ต้องวิเคราะห์อย่างละเอียด	ในกรณีทั่วไปไม่จำเป็น
การออกแบบ	ต้องออกแบบเป็นกรณีๆไป	ในกรณีทั่วไปใช้ได้ไม่ต้องออกแบบ
ขนาด	ใหญ่	เล็กกว่า
ราคา	ถูกกว่า	แพงกว่า

ตารางที่ 2.2 เปรียบเทียบวงจรรอกำลังแอคทีฟแบบขนานและอนุกรม

คุณสมบัติ	วงจรรอกำลังแอคทีฟแบบขนาน	วงจรรอกำลังแอคทีฟแบบอนุกรม
ขนาดกระแส/แรงดัน	แก้ไขได้เฉพาะกรณีที่โหลดมีอิมพีแดนซ์สูงเทียบกับแหล่งจ่าย	แก้ไขได้โดยอาศัยวงจรรอกำลังพาสซีฟช่วย
แรงดันแหล่งจ่ายมีฮาร์โมนิก	แก้ไขไม่ได้	แก้ไขได้
ความน่าเชื่อถือ	สูงเพราะต่อขนานกับระบบเหมือนโหลดทั่วไป	ต่ำเพราะต้องต่ออนุกรมกับระบบ
หลักการทำงาน	ทำตัวเป็นแหล่งจ่ายกระแส	ทำตัวเป็นแหล่งจ่ายแรงดัน

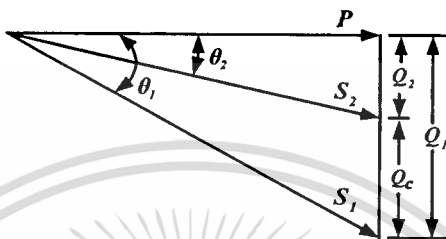
### 2.3 การชดเชยกำลังงานรีแอคทีฟ

เนื่องจากโหลดในระบบจำหน่ายส่วนใหญ่จะมีตัวประกอบกำลังแบบล่าช้า (lagging) ดังนั้นกระแสโหลดจะมีค่ามากขึ้นกว่าที่ต้องการกำลังไฟฟ้าจริงจากแหล่งจ่ายเพียงอย่างเดียว นอกจากนี้กำลังไฟฟ้าจริงเท่านั้นที่ใช้ประโยชน์ในการเปลี่ยนรูปพลังงานส่วนกระแสโหลดที่เกิดจะเป็นส่วนที่สูญเสียเปล่า ซึ่งไม่เพียงแต่จะต้องเสียค่าใช้จ่ายในการใช้สายที่มีขนาดใหญ่แล้วยังก่อเกิดความสูญเสียในรูปพลังงานความร้อนที่สายอีกด้วย ด้วยเหตุนี้จำเป็นต้องติดตั้งอุปกรณ์ที่สามารถจ่ายกำลังไฟฟารีแอคทีฟเพิ่มเติมจากการจ่ายไฟของการไฟฟ้า

#### 2.3.1 การปรับปรุงตัวประกอบกำลัง

โดยทั่วไปการปรับปรุงตัวประกอบกำลังนิยมใช้ตัวเก็บประจุ เพราะมีราคาค่อนข้างถูก ไม่ต้องทำการบำรุงรักษาและมีกำลังสูญเสียในตัวเองต่ำมาก โดยจะทำการควบคุมให้ตัวเอกสารนี้เป็นเอกสารที่สงวนไว้สำหรับการใช้งานเพื่อการศึกษาเท่านั้น ไม่อนุญาตให้นำไปใช้ประโยชน์ด้านการค้า ไม่ว่าจะกรณีใดๆทั้งสิ้น อีกทั้งห้ามมิให้คัดแปลงเนื้อหา และต้องอ้างอิงถึงเจ้าของเอกสารทุกครั้งที่มีการนำไปใช้

เก็บประจุจ่ายกำลังไฟฟ้าให้มีค่ากำลังไฟฟารีแอกทีฟใกล้เคียงกับที่โหลดต้องการจนทำให้ค่าตัวประกอบกำลังใกล้เคียงหนึ่ง แต่จะมีปัญหาเมื่อมีการใช้โหลดที่ไม่เป็นเชิงเส้นอาจทำให้เกิดสถานะเรโซแนนซ์ขึ้น ซึ่งจะทำให้เกิดการขยายของกระแสฮาร์โมนิกที่ไหลในระบบจำหน่าย จนเกินค่าพิคคของโหลดต่างๆที่ต่อรวมอยู่ เป็นผลทำให้โหลดต่างๆได้รับความเสียหาย ดังนั้นจึงใช้ตัวกรองกระแสฮาร์โมนิกแทนตัวเก็บประจุเพราะตัวกรองกระแสฮาร์โมนิกจะทำหน้าที่ทั้งการชดเชยกำลังรีแอกทีฟและจำกัดกระแสฮาร์โมนิกที่ไหลเข้าระบบจำหน่ายได้



### รูปที่ 2.5 การปรับปรุงตัวประกอบกำลังไฟฟ้า

จากรูปที่ 2.5 สามเหลี่ยมกำลังของโหลดประกอบด้วยกำลังไฟฟ้าจริง ( $P$ ) กำลังไฟฟารีแอกทีฟแบบล่าหลัง ( $Q$ ) และกำลังไฟฟ้าปรากฏ ( $S$ ) จากความสัมพันธ์สามารถหาค่าตัวประกอบกำลัง ได้ดังสมการ

$$\cos \theta_1 = \frac{P}{S_1} \quad (2.1)$$

เมื่อต่อตัวกรองกระแสฮาร์โมนิกขนานกับโหลด ทำให้ค่าตัวประกอบกำลังถูกปรับปรุง เปลี่ยนจาก  $\cos \theta_1$  เป็น  $\cos \theta_2$  โดยที่

$$\begin{aligned} \cos \theta_2 &= \frac{P}{S_2} \\ &= \frac{P}{[P^2 + (Q_1 - Q_c)^2]^{1/2}} \end{aligned} \quad (2.2)$$

จากรูปที่ 2.5 จะได้ว่ากำลังไฟฟ้าปรากฏและกำลังไฟฟารีแอกทีฟมีค่าลดลงจาก  $S_1$  เป็น  $S_2$  และเปลี่ยนจาก  $Q_1$  เป็น  $Q_2$  (โดยการจ่ายกำลังงานรีแอกทีฟของ  $Q_c$ ) ตามลำดับ ซึ่งทำให้กระแสรวมทั้งหมดลดลง จึงทำให้ระบบจำหน่ายไฟฟ้ามีคุณภาพและประสิทธิภาพดีขึ้น

### 2.3.2 ประโยชน์จากการชดเชยกำลังรีแอกทีฟ

1. หม้อแปลงไฟฟ้าสามารถรับโหลดได้เพิ่มขึ้น เมื่อปรับปรุงค่าตัวประกอบกำลังของระบบให้สูงขึ้น จะทำให้กระแสของระบบลดลง นั่นคือกำลังไฟฟ้าปรากฏของโหลดรวมลดลง ทำให้ระบบสามารถจ่ายโหลดได้มากขึ้น ค่ากำลังไฟฟ้าปรากฏที่เพิ่มขึ้นคือ

$$kVA = kW \times \left( \frac{1}{\cos\theta_1} - \frac{1}{\cos\theta_2} \right) \quad (2.3)$$

2. ปรับปรุงระดับแรงดันของระบบจำหน่ายดีขึ้นและลดแรงดันตกคร่อมในสายส่งหม้อแปลง

3. กำลังสูญเสียของระบบลดลง เนื่องจากกำลังสูญเสียในสายตัวนำไฟฟ้าของระบบเป็นสัดส่วนกับกำลังสองของกระแส เมื่อปรับปรุงค่าตัวประกอบกำลังให้สูงขึ้นจึงทำให้กระแสลดลง ดังนั้นกำลังสูญเสียจึงเป็นสัดส่วนกลับกับค่าตัวประกอบกำลังสอง

$$\%P_{loss} = \frac{PF_1}{PF_2} \times 100\% \quad (2.4)$$

$$\% \Delta P_{loss} = \left( 1 - \frac{PF_1}{PF_2} \right) \times 100\% \quad (2.5)$$

$$\%P_{loss2} = P_{loss1} \times \left( 1 - \frac{PF_1}{PF_2} \right) \quad (2.6)$$

เมื่อ	$PF_1$	คือ	ค่าตัวประกอบกำลังก่อนทำการปรับปรุง
	$PF_2$	คือ	ค่าตัวประกอบกำลังหลังทำการปรับปรุง
	$P_{loss1}$	คือ	กำลังไฟฟ้าสูญเสียก่อนทำการปรับปรุง
	$P_{loss2}$	คือ	กำลังไฟฟ้าสูญเสียหลังทำการปรับปรุง

กำลังสูญเสียในสายไฟฟ้า  $= I^2 R$  ดังนั้นเมื่อกระแสลดลงทำให้กำลังสูญเสียในสายลดลงด้วย

4. กำลังสูญเสียในหม้อแปลงลดลง กำลังสูญเสียในหม้อแปลงประกอบด้วย 2 ส่วน

คือ กำลังสูญเสียในแกนเหล็ก และกำลังสูญเสียในขดลวดทองแดง ซึ่งกำลังสูญเสียในขดลวดค่า  
ไม่ว่ากรณีใดๆทั้งสิ้น อีกทั้งห้ามมิให้ตัดแปลงเนื้อหา และต้องอ้างอิงถึงเจ้าของเอกสารทุกครั้งที่มีการนำไปใช้

ทองแดงนี้จะแปรผันตามกระแสกำลังสอง เมื่อปรับปรุงค่าตัวประกอบกำลังให้สูงขึ้นแล้ว กระแสที่ไหลผ่านหม้อแปลงจะลดลงทำให้กำลังสูญเสียเนื่องจากความต้านทานในขดลวดทองแดงลดลง

5. ลดขนาดสายส่งกำลังและสายของหม้อแปลงให้มีขนาดเล็กลง
6. ไม่ต้องเสียค่าปรับให้การไฟฟ้า ฯ

## 2.4 การประเมินสมรรถนะของวงจรรอกำลังแอกทีฟด้วยค่าดัชนีคุณภาพ

ดัชนีคุณภาพที่ใช้ในงานวิจัยนี้เพื่อทำการประเมินสัญญาณกระแสอินพุททางด้านแหล่งจ่าย และเป็นตัวบ่งชี้ถึงสมรรถนะของวงจรรอกำลังในการกำจัดกระแสฮาร์โมนิคประกอบด้วย

### 2.4.1 แรงดันและกระแสมูลฐานอาร์.เอ็ม.เอส

ค่า อาร์.เอ็ม.เอส.ขององค์ประกอบความถี่มูลฐานของแรงดัน ( $V_{rms}$ ) และกระแส ( $I_{rms}$ ) เป็นค่าระดับแรงดันและกระแสอาร์.เอ็ม.เอส. ที่ความถี่มูลฐานซึ่งเป็นความถี่ของระบบส่งจ่าย องค์ประกอบนี้เป็นองค์ประกอบที่สร้างกำลังไฟฟ้าและเป็นองค์ประกอบที่ต้องการใช้งาน

### 2.4.2 แรงดันและกระแสฮาร์โมนิค

ค่าอาร์.เอ็ม.เอส.ของแรงดัน ( $V_{rms}$ ) และกระแส ( $I_{rms}$ ) อินพุทเป็นค่าระดับแรงดันและกระแสฮาร์โมนิคของสัญญาณอินพุท ซึ่งเป็นค่ารวมขององค์ประกอบทุกตัวทั้งความถี่มูลฐานและฮาร์โมนิค

### 2.4.3 ค่าตัวประกอบกำลังด้านเข้า (Input Power Factor : PF)

ลักษณะรูปคลื่นกระแสและมุมต่างเฟสของกระแสและแรงดันจะเป็นตัวกำหนดค่าตัวประกอบกำลังของวงจร ซึ่งโดยรวมแล้วค่าตัวประกอบกำลังของวงจรจะเป็นตัวบ่งชี้ถึงประสิทธิภาพของวงจร กล่าวคือ ถ้าคิดที่กำลังไฟฟ้า (Watt) เดียวกันวงจรที่มีค่า PF สูงจะมีกระแสไหลในวงจรน้อยกว่าวงจรที่มีค่า PF ต่ำ ดังนั้นวงจรที่มีค่า PF สูง ทำให้สามารถลดพิக்கกระแสของอุปกรณ์ที่ต่อรวมในระบบลงได้ โดยยังคงสามารถจ่ายกำลังไฟฟ้าเท่าเดิม

### 2.4.4 ค่าตัวประกอบความผิดเพี้ยน (Distortion Factor : DF)

สำหรับค่า DF ที่นิยามในวิทยานิพนธ์นี้ เป็นค่าตัวประกอบความผิดเพี้ยนซึ่งหาได้จากอัตราส่วนของกระแสอินพุท อาร์.เอ็ม.เอส. ที่ความถี่มูลฐานต่อกระแส อาร์.เอ็ม.เอส. ที่รวมผลของฮาร์โมนิคโดยอัตราส่วนจะมีค่าสูงสุดเท่ากับ 1 นั้นหมายถึงสัญญาณนั้นไม่มีความผิดเพี้ยน ส่วนกรณีที่ค่าตัวประกอบความผิดเพี้ยนมีค่าต่ำ ๆ แสดงว่าเกิดการผิดเพี้ยนของสัญญาณกระแสมาก

### 2.4.5 ค่าองค์ประกอบความผิดเพี้ยนรวมของฮาร์โมนิก (Total Harmonic Distortion : THD )

ค่า Total Harmonic Distortion ของกระแส (*THD*) เป็นดัชนีที่ใช้ในการบ่งชี้ถึงความผิดเพี้ยนของรูปคลื่นสัญญาณกระแสอินพุตทางด้านแหล่งจ่ายที่แตกต่างไปจากองค์ประกอบกระแสความถี่มูลฐานในการหาค่า *THD*, นี้จะต้องอาศัยการวิเคราะห์โดยใช้ทฤษฎีฟูเรียร์ เพื่อทำการหาองค์ประกอบความถี่มูลฐานและฮาร์โมนิกของรูปคลื่นสัญญาณกระแสอินพุตทางด้านแหล่งจ่ายจึงสามารถนำไปเข้าสู่ตราและหาค่าออกมาได้ โดยค่าดัชนีคุณภาพสามารถสรุปได้ดังตารางที่ 2.3

ตารางที่ 2.3 นิยามของดัชนีและประมาณที่กำหนดคุณสมบัติและคุณภาพรูปคลื่นกระแสอินพุต

ค่า	นิยาม	ค่า	นิยาม
$V_{rms}$	$\frac{V_{peak}}{\sqrt{2}}$	$I_{rms}$	$\frac{I_{peak}}{\sqrt{2}}$
$V_{rms}$	$\sqrt{\sum_{h=1}^{\infty} V_h^2}$	$I_{rms}$	$\sqrt{\sum_{h=1}^{\infty} I_h^2}$
$PF$	$\frac{I_{rms}}{I_{rms}} \cos \phi$	$DF$	$\frac{I_{rms}}{I_{rms}}$
$\% THD_1$	$\frac{100}{I_1} \sqrt{\sum_{n=2}^{\infty} I_n^2}$		

- เมื่อ  $V_h$  คือ ขนาดของแรงดันไฟฟ้าที่ฮาร์โมนิกอันดับที่  $h$   
 $I_h$  คือ ขนาดของกระแสไฟฟ้าที่ฮาร์โมนิกอันดับที่  $h$   
 $DF$  คือ ค่าตัวประกอบความผิดเพี้ยนของกระแส (Distortion Factor)  
 $PF$  คือ ค่าตัวประกอบกำลังไฟฟ้าทางด้านอินพุต (Input Power Factor)  
 $THD_1$  คือ ค่าองค์ประกอบความผิดเพี้ยนรวมกระแสฮาร์โมนิก (Total Harmonics Distortion)

## 2.5 สรุป

ในบทนี้ได้กล่าวถึงทฤษฎีและหลักการกำจัดกระแสฮาร์โมนิกด้วยวงจรกรองกำลังแบบต่างๆ ซึ่งได้แก่ วงจรกรองกำลังแบบขนาน วงจรกรองกำลังแบบอนุกรม รวมทั้งข้อดีและข้อเสียของวงจรกรองกำลังทั้งสองชนิด ในส่วนของการชดเชยกำลังงานรีแอกทีฟได้ทำการอธิบายถึงหลักการปรับปรุงตัวประกอบกำลังให้ดีขึ้นและประโยชน์ของการชดเชยค่ากำลังงานรีแอกทีฟ ในการวิเคราะห์คุณภาพของรูปคลื่นจะเป็นการอธิบายถึงนิยามต่างๆเพื่อเป็นการประเมินค่าสัญญาณทางไฟฟ้า ซึ่งบทต่อไปจะกล่าวถึงทฤษฎีของโครงข่ายประสาทเทียมเพื่อนำไปประยุกต์ใช้ในการตรวจจับกระแสฮาร์โมนิกในระบบต่อไป

## บทที่ 3

# ทฤษฎีพื้นฐานโครงข่ายประสาทเทียม

### 3.1 บทนำ

ในบทนี้จะกล่าวถึงทฤษฎีและความเป็นมาของโครงข่ายประสาทเทียม (Neural Network) หรือที่เรียกอีกชื่อหนึ่งว่า “ นิวรอลเน็ตเวิร์ค ” ซึ่งบทนี้จะกล่าวถึงโครงข่ายประสาทของสิ่งมีชีวิต และโครงข่ายประสาทเทียม รวมทั้งข้อดีที่ได้จากการเรียนรู้และจดจำโดยโครงข่ายประสาทซึ่งเป็นวิธีการที่เลียนแบบโครงสร้างภายในให้คล้ายคลึงกับเซลล์สมองของมนุษย์ถึงแม้จะไม่ดีเท่าสมองของมนุษย์

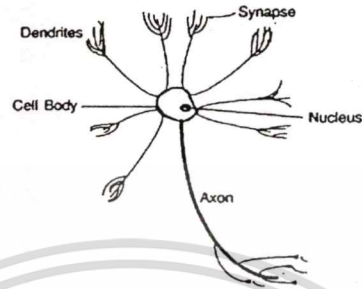
ความแตกต่างระหว่างคอมพิวเตอร์ธรรมดา กับ โครงข่ายประสาทเทียมอย่างหนึ่งคือ ในคอมพิวเตอร์ธรรมดา เมื่อต้องการให้การทำงานอย่างใดอย่างหนึ่งสามารถทำได้โดยการสร้างโปรแกรม แต่ในทางตรงข้ามโครงข่ายประสาทเทียมเมื่อต้องการให้ทำงานอย่างใดสามารถทำได้โดยการสอน (Training) ซึ่งการฝึกสอนนี้จะทำให้โครงข่ายประสาทเทียมนำบทเรียนที่ได้เข้าไปเก็บในโครงสร้างของประสาทเทียมและจากนั้นจะถูกเรียกกลับขึ้นมาใช้เมื่ออยู่ในระหว่างประมวลผล โดยคุณสมบัติและความสามารถที่เป็นประโยชน์ของโครงข่ายประสาทเทียม

1. มีความยืดหยุ่นสูงจนสามารถจำลองขบวนการของปัญหาใดๆก็ได้
2. มีความสามารถในการจำชุดของคู่อินพุตและเอาต์พุตที่มีความซับซ้อนมากจนสามารถจำลองแบบในเชิงความน่าจะเป็นได้
3. มีความสามารถในการปรับตัวเข้ากับสิ่งแวดล้อมได้ดี
4. มีความสามารถในการตอบสนองข้อมูลที่ไม่เคยเห็น

### 3.2 ลักษณะโครงสร้างเซลล์ประสาททางชีววิทยา

ระบบประสาทของมนุษย์ประกอบด้วยเซลล์ประสาทประมาณ  $10^{11}$  เซลล์ โดยแต่ละเซลล์จะประกอบด้วย 3 ส่วนใหญ่ๆ คือ เซลล์ประสาทหรือโซมา (Cell body or Soma) เดนไดรต์ (Dendrite) และแอกซอน (Axon) แสดงได้ดังรูปที่ 3.1(ก) เซลล์ประสาทหรือโซมาจะประกอบด้วยนิวเคลียส (Nucleus) ส่วนเดนไดรต์ (Dendrite) จะเป็นแขนงต่อออกจากเซลล์ประสาทที่มีหลายจุด และเมื่อออกจากเซลล์ประสาทก็จะแยกแขนงออกไปอีก สำหรับแอกซอนเป็นส่วนที่หนาและยาวต่อออกจากเซลล์ประสาทไปหาเซลล์ประสาทอื่นๆที่ทำงานร่วมกัน เซลล์ประสาทหนึ่งเซลล์จะมีแอกซอนเพียงอันเดียวเท่านั้น แต่จะมีเดนไดรต์มาก สำหรับระบบการทำงานสัญญาณจะเข้ามาหาเซลล์ประสาททางเดนไดรต์ ด้วยจุดเชื่อมที่เรียกว่า Synapse จะถูกนำมารวมกันโดยจะมีค่า Threshold ค่าหนึ่ง หากผลรวมของสัญญาณนั้นมีค่ามากกว่า Threshold แล้วเซลล์ประสาทก็จะส่งสัญญาณ

ขนาดหนึ่ง โดยผ่านทางแอกซอนออกไปหาเซลล์ประสาทตัวอื่นๆ แสดงดังรูปที่ 3.1(ข) ลักษณะการจัดเรียงชั้นและการเชื่อมโยงระหว่างเซลล์ประสาทในสมองของมนุษย์นั้นมีการจัดเรียงที่ซับซ้อนนอกนั้นยังมีการเรียนรู้ตลอดเวลา ฉะนั้นจึงยากที่จะสร้างโมเดลขึ้นมาเพื่อทำการเลียนแบบการทำงานของเซลล์ประสาทในสมองมนุษย์ให้ได้อย่างสมบูรณ์ครบถ้วน



รูปที่ 3.1 (ก) ส่วนประกอบของเซลล์ประสาท

(ข) แสดงจุดถ่ายสัญญาณ (Signal Transmission) จากเซลล์ประสาทหนึ่งไปยังเซลล์ประสาทเซลล์อื่นๆ

### 3.3 โครงข่ายประสาทเทียม

โครงข่ายประสาทเทียมนั้นได้จำลองการทำงานเพียงบางส่วนของเซลล์ประสาทในสมองมนุษย์โดยที่เซลล์ประสาทจะรับข้อมูลอินพุตจากเซลล์ประสาทอื่นๆ โดยที่แต่ละเซลล์จะมีจุดเชื่อมโยงระหว่างอินพุตและเอาต์พุตดังรูปที่ 3.2 ซึ่งแสดงลักษณะโครงสร้างของการจำลองโครงข่ายประสาทในหนึ่งเซลล์ประสาท ซึ่งมี  $m$  อินพุต คือ  $x_1, x_2, x_3, \dots, x_m$  และมี 1 เอาต์พุต คือ  $y$  ส่วนของอินพุตที่เข้ามาจะมีการเชื่อมโยงด้วยค่าน้ำหนัก (weight) คือ  $w_{i,1}, w_{i,2}, w_{i,3}, \dots, w_{i,m}$  ซึ่งสามารถปรับค่าได้ ในส่วนที่ทำหน้าที่รวมเอาอินพุตที่เข้ามานั้นเราสามารถเขียนได้ดังนี้

เอกสารนี้เป็นเอกสารที่สงวนไว้สำหรับการใช้ net ในที่  $w_{i,1}x_1 + w_{i,2}x_2 + \dots + w_{i,m}x_m$  ให้นำไปใช้ประโยชน์ตาม (3.1) ถ้า

ไม่ว่ากรณีใดๆทั้งสิ้น อีกทั้งห้ามมิให้ตัดแปลงเนื้อหา และต้องอ้างอิงถึงเจ้าของเอกสารทุกครั้งที่มีการนำไปใช้

หรืออาจเขียนเป็นรูปของเวกเตอร์[5]จะได้ดังนี้

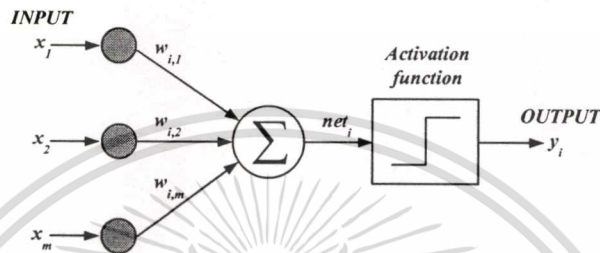
$$NET = XW \quad (3.2)$$

โดยที่

$X$  คือ เวกเตอร์อินพุต

$W$  คือ เวกเตอร์ของค่าน้ำหนัก

$NET$  คือ เวกเตอร์ผลรวมจากอินพุตคูณกับค่าน้ำหนัก



รูปที่ 3.2 โครงข่ายประสาทเทียมที่สร้างขึ้นร่วมกับฟังก์ชันการเร่งเร็ว

ในแต่ละโครงข่ายประสาทเทียมจะมีสถานะภายในที่เรียกว่า “ ฟังก์ชันการเร่งเร็ว ” (Activation function or Threshold function) ฟังก์ชันการเร่งเร็วต่างๆ ไปจะมีหลายรูปแบบซึ่งอาจมีลักษณะเป็นสมการเชิงเส้นหรือไม่เป็นเชิงเส้น

$$y_i = F(net_i) = F\left(\sum_{j=1}^{\infty} w_{ij} x_j\right) \quad (3.3)$$

โดยที่  $F(.)$  เป็น Activation function หรือ Threshold function

### 3.4 สถาปัตยกรรมโครงข่ายประสาทเทียม

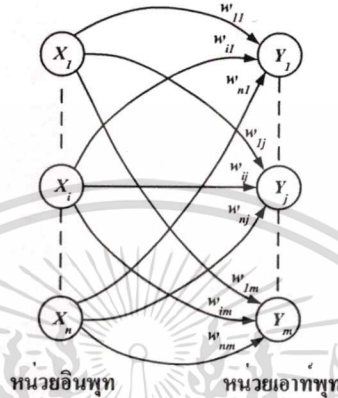
การจัดการของโครงข่ายประสาทเทียมภายในชั้น รูปแบบการเชื่อมต่อภายในและระหว่างชั้นเราเรียกว่า “ สถาปัตยกรรมโครงข่าย ” โดยทั่วไปโครงข่ายประสาทเทียมทั้งหลายประกอบด้วยชั้นอินพุต ซึ่งภายในแต่ละหน่วย (Unit) จะได้รับการเร่งเร็วเท่ากับสัญญาณอินพุตภายนอก โครงข่ายประสาทเทียมมักจะถูกจัดแบ่งเป็นโครงข่ายชั้นเดียวหรือหลายชั้น การกำหนดจำนวนของชั้น ส่วนที่เป็นหน่วยอินพุตจะไม่ถูกนับว่าเป็นหนึ่งชั้น ทั้งนี้เพราะว่าในส่วนนี้จะไม่มีการคำนวณสำหรับจำนวนของชั้นในโครงข่ายสามารถแบ่งได้เป็นจำนวนของชั้นน้ำหนักที่เชื่อมต่อระหว่างโครงข่ายประสาทเทียม โดยสถาปัตยกรรมของโครงข่ายประสาทเทียม สามารถจัดแบ่งได้ตามลักษณะโครงสร้างของโครงข่าย หรือจัดแบ่งตามกระบวนการเรียนรู้ ซึ่งในหัวข้อนี้สามารถจำแนกตามลักษณะโครงสร้างที่ประกอบกันเป็นโครงข่ายประสาทเทียมได้เป็น 3 ประเภท[6]ดังนี้

เอกสารนี้เป็นเอกสารที่สงวนไว้สำหรับการใช้งานเพื่อการศึกษาเท่านั้น ไม่อนุญาตให้นำไปใช้ประโยชน์ด้านการค้า

ไม่ว่ากรณีใดๆทั้งสิ้น อีกทั้งห้ามมิให้ตัดแปลงเนื้อหา และต้องอ้างอิงถึงเจ้าของเอกสารทุกครั้งที่มีการนำไปใช้

### 3.4.1 โครงข่ายประสาทเทียมชนิดชั้นเดียว (Single Layer)

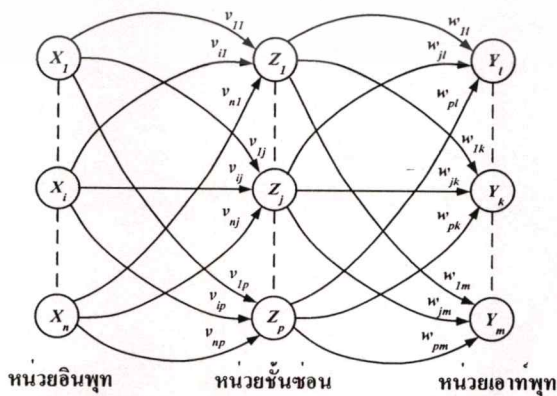
สถาปัตยกรรมของโครงข่ายประสาทเทียมชนิดนี้จะมีน้ำหนักเชื่อมต่อหนึ่งชั้นแสดงได้ดังรูปที่ 3.3 ประกอบด้วยหน่วยอินพุต ( $X_1, \dots, X_i, \dots, X_n$ ) เชื่อมต่ออยู่กับหน่วยเอาต์พุต ( $Y_1, \dots, Y_i, \dots, Y_m$ ) โดยมีน้ำหนักหนึ่งชั้น เป็นส่วนที่ปรับระดับสัญญาณอินพุต ค่าน้ำหนักที่ได้จะเป็นอิสระต่อกันไม่ส่งผลกระทบต่อค่าปรับค่าน้ำหนักตัวอื่น มักใช้กับการประมวลผลข้อมูลไม่ซับซ้อนมากนัก



รูปที่ 3.3 โครงข่ายประสาทเทียมชนิดชั้นเดียว

### 3.4.2 โครงข่ายประสาทเทียมชนิดหลายชั้น (Multi Layer)

สถาปัตยกรรมของโครงข่ายประสาทเทียมชนิดนี้เป็นโครงข่ายที่มีโหนดหลายชั้น เชื่อมต่อกันอยู่ระหว่างหน่วยอินพุตกับหน่วยเอาต์พุต ดังแสดงในรูปที่ 3.4 โดยมีชั้นซ่อนเป็นตัวเชื่อมระหว่างสองหน่วย โครงข่ายชนิดหลายชั้นสามารถใช้วิเคราะห์ปัญหาที่ซับซ้อนได้ดีกว่าโครงข่ายชนิดชั้นเดียว แต่การฝึกสอนอาจจะยุ่งยากกว่า ถึงอย่างไรก็ตามในการฝึกสอนอาจได้รับผลสำเร็จมากกว่า เป็นเพราะว่าในบางครั้งการแก้ปัญหของโครงข่ายชนิดชั้นเดียว ไม่สามารถรับการฝึกสอนได้อย่างถูกต้องทุกปัญหา

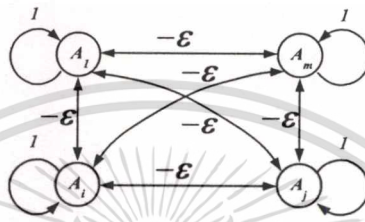


รูปที่ 3.4 โครงข่ายประสาทเทียมชนิดหลายชั้น

เอกสารนี้เป็นเอกสารสงวนลิขสิทธิ์สำหรับการใช้งานเพื่อการศึกษาเท่านั้น ไม่อนุญาตให้นำไปใช้ประโยชน์ด้านการค้า ไม่ว่าจะกรณีใดๆทั้งสิ้น อีกทั้งห้ามมิให้ตัดแปลงเนื้อหา และต้องอ้างอิงถึงเจ้าของเอกสารทุกครั้งที่มีการนำไปใช้

### 3.4.3 โครงข่ายประสาทเทียมชนิดแข่งขัน (Competitive Layer)

ลักษณะชั้นแข่งขันในส่วนนี้จะมีจำนวนของโครงข่ายประสาทเทียมมาก การเชื่อมต่อภายในระหว่างโครงข่ายประสาทเทียมด้วยกันในชั้นแข่งขันนี้มีสถาปัตยกรรมแสดงในรูปที่ 3.5 โครงข่ายย่อยที่ประกอบกันเป็นโครงข่ายใหญ่ จะเชื่อมต่อกันภายในด้วยน้ำหนัก  $(-ε)$  แต่โครงข่ายย่อยจะมีสถาปัตยกรรมภายในของตัวเอง เมื่อโครงข่ายย่อยประมวลผลภายในแล้วก็จะส่งสัญญาณเอาต์พุตไปยังสัญญาณอินพุตของโครงข่ายอื่น โดยอ่านค่าน้ำหนัก  $(-ε)$  จนกระทั่งเหลือเพียงโครงข่ายย่อยโครงข่ายเดียวที่ให้ค่าสัญญาณเอาต์พุตไม่เท่ากับศูนย์



รูปที่ 3.5 โครงข่ายประสาทเทียมชนิดชั้นแข่งขัน

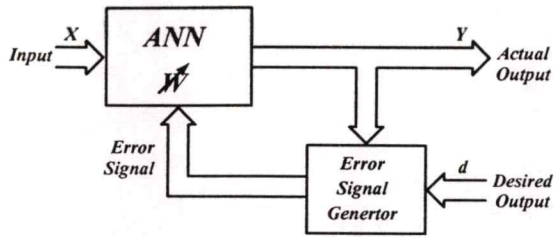
### 3.5 การฝึกสอนโครงข่ายประสาทเทียม

การกำหนดน้ำหนักของโครงข่ายประสาทเทียม มีวิธีการกำหนดค่าเริ่มต้นของน้ำหนัก (ในช่วงการฝึกสอน) เป็นการหาค่าน้ำหนักที่เหมาะสมให้แก่โครงข่าย ที่สามารถฝึกสอนให้โครงข่ายประสาทเทียมเกิดการเรียนรู้ได้ โดยการป้อนอินพุตและเอาต์พุตตัวอย่างที่ถูกต้องให้กับโครงข่ายประสาทเทียมแต่ละเซลล์และโครงข่ายประสาทเทียมจะมีกระบวนการปรับค่าน้ำหนักในระบบให้สอดคล้องกับกลุ่มตัวอย่างของชุดข้อมูลอินพุตที่จุดเชื่อมโยงค่าน้ำหนักจะถูกปรับแต่งเป็นไปตามฟังก์ชันการทำงานของระบบ ตามลักษณะพิเศษของกลุ่มตัวอย่างที่ป้อนให้ ขั้นตอนนี้จำเป็นมากที่จะแบ่งแยกคุณลักษณะของโครงข่ายประสาทเทียม กระบวนการฝึกสอนจำแนกออกเป็น 3 กลุ่มใหญ่ๆ คือ การฝึกสอนแบบซูปเปอร์ไวส์ (Supervised Training), การฝึกสอนแบบอันซูปเปอร์ไวส์ (Unsupervised Training) และ การฝึกสอนแบบเสริม (Reinforcement Learning)

#### 3.5.1 การฝึกสอนแบบซูปเปอร์ไวส์ (Supervised Training)

เป็นการฝึกสอนแบบจับคู่กันระหว่างอินพุตและเอาต์พุตเป้าหมายที่ต้องการเราเรียกว่า “Input - Output pairs” ที่มีความสัมพันธ์กัน โดยระบบการฝึกสอนแบบนี้แสดงได้ดังรูปที่ 3.6 ถ้าให้  $(x_1, d_1), (x_2, d_2), \dots, (x_k, d_k)$  เป็นจำนวนคู่ที่ทำการฝึกสอนในเมื่อแต่ละอินพุต  $x_k$  ถูกส่งเข้ามาฝึกสอนในโครงข่ายประสาทเทียม เอาต์พุตจริง  $y_k$  ที่คำนวณออกมาจะถูกเอาไปเปรียบเทียบกับเป้าหมาย  $d_k$  เพื่อหาค่าผิดพลาดที่เกิดขึ้น จากนั้นจึงนำค่าที่ผิดพลาดป้อนกลับไปยังโครงข่ายเพื่อปรับค่าน้ำหนักทำให้ค่าเอาต์พุตจริง  $y_k$  มีแนวโน้มใกล้เคียงกับค่าเอาต์พุตเป้าหมาย  $d_k$  โดยขั้นตอนการคำนวณ

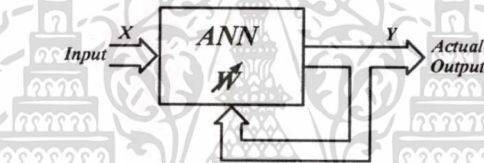
ไม่ว่ากรณีใดๆทั้งสิ้น อีกทั้งห้ามมิให้ตัดแปลงเนื้อหา และต้องอ้างอิงถึงเจ้าของเอกสารทุกครั้งที่มีการนำไปใช้



รูปที่ 3.6 ระบบการฝึกสอนแบบซูปเปอร์ไวส์ (Supervised Learning)

### 3.5.2 การฝึกสอนแบบอันซูปเปอร์ไวส์ (Unsupervised Training)

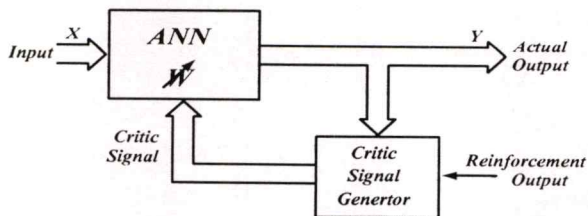
เป็นการฝึกสอน โดยไม่ต้องการเอาที่พุทเป้าหมายเข้ามาช่วยในการตัดสินใจแสดงดังรูปที่ 3.7 ซึ่งจุดการฝึกสอนจะมีเพียงอินพุทเท่านั้น ระบบการฝึกสอนในโครงข่ายจะมีการคำนวณปรับเปลี่ยนค่าของน้ำหนักเพื่อให้ได้เอาที่พุทคงที่ การคำนวณนี้เรียกว่า “Self organizing”



รูปที่ 3.7 ระบบการฝึกสอนแบบอันซูปเปอร์ไวส์ (Unsupervised Learning)

### 3.5.3 การฝึกสอนแบบเสริม (Reinforcement Learning)

การฝึกสอนแบบซูปเปอร์ไวส์ นั้นคือแต่ละอินพุทที่เข้ามาเราได้กำหนดเอาที่พุทเป้าหมายเป็นคู่ไว้ก่อนดังได้กล่าวมาแล้วในตอนต้น แต่บางครั้งเอาที่พุทจริงที่ออกมาอาจมีค่าผิดพลาดมากเกินไป ในกรณีนี้จะมีเพียงบิตหนึ่งอันเดียวเท่านั้นของข้อมูลที่จะป้อนกลับไปเพื่อชี้บอกว่าเอาที่พุทจริงถูกต้องหรือผิดพลาด การฝึกสอนแบบนี้เรียกว่า “Reinforcement Learning” โดยระบบการทำงานสามารถแสดงได้ดังรูปที่ 3.8 ซึ่งข้อมูลที่ป้อนกลับไปเรียกว่า “Reinforcement Signal”



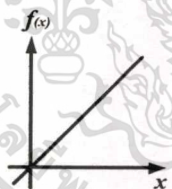
รูปที่ 3.8 ระบบการฝึกสอนแบบเสริม (Reinforcement Learning)

เอกสารนี้เป็นเอกสารที่สงวนไว้สำหรับการใช้งานเพื่อการศึกษาเท่านั้น ไม่อนุญาตให้นำไปใช้ประโยชน์ด้านการค้า ไม่ว่าจะกรณีใดๆทั้งสิ้น อีกทั้งห้ามมิให้ตัดแปลงเนื้อหา และต้องอ้างอิงถึงเจ้าของเอกสารทุกครั้งที่มีการนำไปใช้

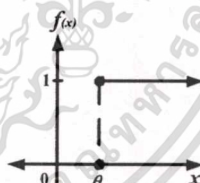
### 3.5.4 ฟังก์ชันการเร่งเร้าโดยรวม

การดำเนินการขั้นพื้นฐานของเซลล์โครงข่ายประสาทเทียม โดยรวมแล้วจะเกี่ยวข้องกับสัญญาณอินพุตที่ทำให้น้ำหนักได้รับการปรับตัวแล้วส่งผลไปยังเอาต์พุต สำหรับรูปที่ 3.9 (ก) เราฟังก์ชันนี้เรียกว่า “ฟังก์ชันเอกลักษณ์” (Identity function)

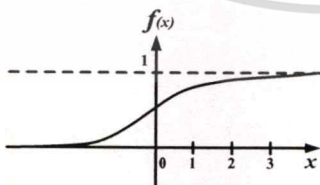
โครงข่ายส่วนมากจะใช้ฟังก์ชันแบบขั้น ที่เราใช้กันทั่วไปจะมีอยู่ 3 แบบ คือแบบฟังก์ชันไบนารี(Binary) ซึ่งฟังก์ชันแบบนี้มีค่าที่เป็นได้คือ 0 หรือ 1 โดยถ้าสัญญาณอินพุตที่รับเข้ามามีค่าน้อยกว่า  $\theta$  ค่าเอาต์พุตที่ออกจากฟังก์ชันจะมีค่าเป็น 0 แต่ถ้าสัญญาณอินพุตที่รับเข้ามามีค่ามากกว่า  $\theta$  ค่าเอาต์พุตที่ออกจากฟังก์ชันจะมีค่าเป็น 1 แสดงได้ดังรูปที่ 3.9 (ข) ส่วนฟังก์ชันต่อมาจะมีชื่อเรียกว่า ฟังก์ชันซิกมอยด์ โดยจะมีลักษณะเป็นเส้นโค้งรูป S ซึ่งเป็นฟังก์ชันการเร่งเร้าที่นำมาใช้ประโยชน์มากสำหรับในการใช้ฝึกสอนให้กับโครงข่ายประสาทเทียม ขอบเขตของฟังก์ชันการเร่งเร้าที่แสดงในรูปที่ 3.9 (ค) เราเรียกฟังก์ชันชนิดนี้ว่า “ซิกมอยด์ไบนารี.” (Binary Sigmoid) ซึ่งรูปจะเห็นมีค่าอยู่ในช่วง 0 ถึง 1 โดยมีสมการเป็น  $f(x) = 1/(1+e^{-x})$  และในรูปที่ 3.9 (ง) มีขอบเขตของฟังก์ชันอยู่ในช่วง  $-1,1$  เรียกฟังก์ชันการเร่งเร้านี้ว่า “ซิกมอยด์ไบโพลาร์” (Bipolar Sigmoid) ซึ่งมีสมการเป็น  $f(x) = [2/(1+e^{-x})]-1$  ในกรณีที่จะระบุว่าฟังก์ชันการเร่งเร้าใดนั้นมีคุณสมบัติที่ดีที่สุดคงเป็นไปได้ยาก เนื่องจากโครงข่ายประสาทเทียมมีโครงข่ายไม่แน่นอน นั่นก็หมายความว่าในโครงข่ายหนึ่งจะใช้กับปัญหาหนึ่งได้ดีที่สุดเท่านั้น เพราะฉะนั้นการเลือกฟังก์ชันการเร่งเร้าแบบใดจะต้องพิจารณาให้เหมาะสมกับปัญหานั้น ๆ ด้วย



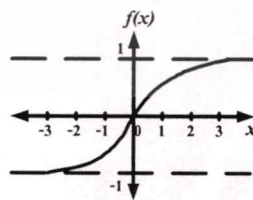
(ก)



(ข)



(ค)



(ง)

รูปที่ 3.9 (ก) ฟังก์ชันเอกลักษณ์

(ข) ฟังก์ชันแบบขั้นไบนารี

(ค) ฟังก์ชันซิกมอยด์ไบนารี

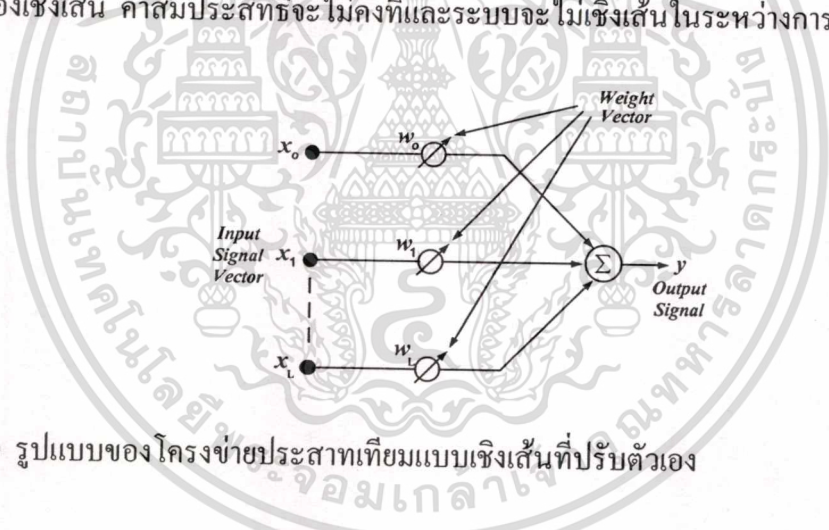
(ง) ฟังก์ชันซิกมอยด์ไบโพลาร์

เอกสารนี้เป็นเอกสารที่สงวนไว้สำหรับการใช้งานเพื่อการศึกษาเท่านั้น ไม่อนุญาตให้นำไปใช้ประโยชน์ด้านการค้าไม่ว่ากรณีใดๆทั้งสิ้น อีกทั้งห้ามให้คัดลอกเนื้อหา และต้องอ้างอิงถึงเจ้าของเอกสารทุกครั้งที่มีการนำไปใช้

### 3.6 โครงข่ายประสาทเทียมแบบเชิงเส้นที่ปรับตัวเอง (ADALINE)

โครงข่ายประสาทเทียมแบบเชิงเส้นที่ปรับตัวเอง[7] “ Adaline (Adaptive Linear Neuron)” เป็นโครงข่ายประสาทเทียมแบบหนึ่งโดยตัวรวมในการปรับตัวเองเชิงเส้นนั้น เป็นพื้นฐานของวิธีการทางการประมวลผลสัญญาณแบบปรับตัวเอง (Adaptive Signal Processing) ซึ่งจะง่ายต่อการวิเคราะห์และเข้าใจ

พิจารณาจากรูปที่ 3.10 เป็นรูปแบบทั่วไปของการรวมในการปรับตัวเองเชิงเส้นที่มีเวกเตอร์สัญญาณอินพุต (Input Signal Vector) ที่ประกอบไปด้วยส่วนประกอบภายในเวกเตอร์ คือ  $x_0, x_1, \dots, x_L$  โดยที่เวกเตอร์อินพุตจะสัมพันธ์กับเวกเตอร์ค่าถ่วงน้ำหนัก (Weight Vector) ที่มีส่วนประกอบภายในเวกเตอร์ คือ  $w_0, w_1, \dots, w_L$  เมื่อทำการคูณเวกเตอร์ทั้งสองด้วยกันแล้ว จะได้ออกมาเป็นค่าสเกลล่า คือ เอาท์พุท  $y$  ขั้นตอนที่ระบบทำการปรับค่าถ่วงน้ำหนักเราจะเรียกว่า “การปรับตัวเองเชิงเส้น” และขณะที่เวลา  $t = k$  ในขณะนั้นการปรับตัวเองของน้ระบบจะเป็นแบบเชิงเส้นเพราะว่าค่าถ่วงน้ำหนักจะคงที่ที่เวลานั้นๆ ดังนั้นสัญญาณเอาท์พุทจะเป็นการรวมกันแบบเชิงเส้นของส่วนประกอบเวกเตอร์สัญญาณ แต่อย่างไรก็ตามเมื่อค่าสัมประสิทธิ์อยู่ในระหว่างการปรับตัวเองเชิงเส้น ค่าสัมประสิทธิ์จะไม่คงที่และระบบจะไม่เชิงเส้นในระหว่างการปรับตัวเอง



รูปที่ 3.10 รูปแบบของ โครงข่ายประสาทเทียมแบบเชิงเส้นที่ปรับตัวเอง

#### 3.6.1 สัญญาณอินพุตและค่าถ่วงน้ำหนัก (Input Signal and Weight Vectors)

ในการพิจารณารูปแบบทั่วไปของการรวมของการปรับตัวเองเชิงเส้นดังรูปที่ 3.10 จะเห็นว่าอินพุตที่เข้าจะเหมือนมี  $L+1$  แห่่ง แต่ในทางปฏิบัตินั้นอาจจะเป็นการสุ่มตัวอย่างสัญญาณจากแหล่งกำเนิดเพียงแหล่งเดียว แต่ทำการสุ่มตัวอย่างมาจำนวน  $L+1$  ครั้งแทนเป็นค่าอินพุตที่  $x_0$  ถึง  $x_L$

เราจะแบ่งสัญญาณอินพุตที่เข้ามาเป็นแบบหลายอินพุต (Multiple Input) และแบบอินพุตเดี่ยว (Single Input) ซึ่งแสดงได้เป็น

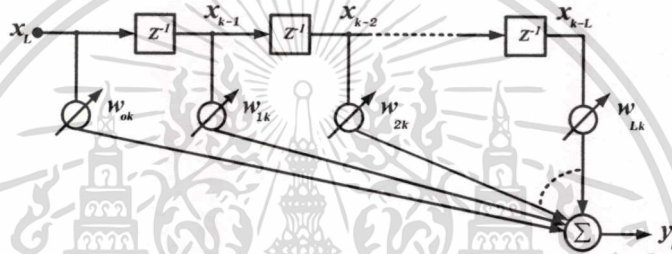
$$\text{แบบหลายอินพุต} : X_k = [x_{0k} \quad x_{1k} \quad \dots \quad x_{Lk}]^T \tag{3.4}$$

$$\text{แบบอินพุตเดี่ยว} : X_k = [x_{0k} \quad x_{1k} \quad \dots \quad x_{Lk}]^T \tag{3.5}$$

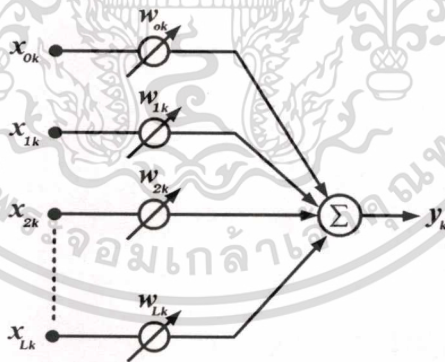
เอกสารนี้เป็นเอกสารที่สงวนไว้สำหรับใช้กันเพื่อการศึกษาเท่านั้น เมื่อคุณอ่านให้นำไปใช้ประโยชน์ค่า (3.5) คำ  
ไม่ว่ากรณีใดๆทั้งสิ้น อีกทั้งห้ามมิให้ตัดแปลงเนื้อหา และต้องอ้างอิงถึงเจ้าของเอกสารทุกครั้งที่มีการนำไปใช้

ในที่นี้  $T$  คือทรานส์โพส (Transpose) ของเมตริกซ์ จึงทำให้  $X_k$  เป็นเมตริกซ์คอลัมน์และค่า  $k$  คือ จำนวนครั้งในการสุ่มตัวอย่างที่เวลา  $t = k$  ดังนั้นในกรณีแบบหลายอินพุท จะเป็นการสุ่มตัวอย่างจากอินพุทหลายแหล่งโดยในเวกเตอร์จะเก็บข้อมูลที่เวลาเดียวกัน แต่สำหรับกรณีที่อินพุทเดียวจะเป็นการสุ่มตัวอย่างจากสัญญาณแหล่งเดียวกัน แต่ถูกหน่วงสัญญาณไปเท่ากับเวลาที่ใช้ในการอ่านสัญญาณแต่ละครั้ง

ในกรณีที่อินพุทเดียวเราอาจจะมี การเพิ่มเติมด้วยตัวรวมที่ปรับตัวเชิงเส้นและอุปกรณ์การหน่วงสัญญาณหนึ่งหน่วยเวลาเข้าไปด้วยดังรูปที่ 3.11 มาประกอบกันซึ่งเรียกว่า “ตัวกรองปรับตัวเองแบบทรานส์เวอร์ซอล (Adaptive Transversal Filter)” ซึ่งตัวห้อย  $k$  ที่เพิ่มเข้ามาที่ค่าถ่วงน้ำหนัก  $w$  เพื่อแสดงให้เห็นว่าตัวกรองแบบนี้แปรตามเวลา



รูปที่ 3.11 การปรับตัวเองเชิงเส้นแบบตัวกรองทรานส์เวอร์ซอลที่มีอินพุทเดียว



รูปที่ 3.12 การปรับตัวเองเชิงเส้นแบบหลายอินพุท

เราจะเขียนความสัมพันธ์ของอินพุทและเอาต์พุททั้งสองกรณีได้โดย

$$\text{แบบอินพุทเดียว} \quad : \quad y_k = \sum_{l=0}^L w_{lk} x_{k-l} \tag{3.6}$$

$$\text{แบบหลายอินพุท} \quad : \quad y_k = \sum_{l=0}^L w_{lk} x_{lk} \tag{3.7}$$

เอกสารนี้เป็นเอกสารที่สงวนไว้สำหรับการใช้งานเพื่อการศึกษาเท่านั้น ไม่อนุญาตให้นำไปใช้ประโยชน์ด้านการค้า ไม่ว่ากรณีใดๆทั้งสิ้น อีกทั้งห้ามมิให้ตัดแปลงเนื้อหา และต้องอ้างอิงถึงเจ้าของเอกสารทุกครั้งที่มีการนำไปใช้

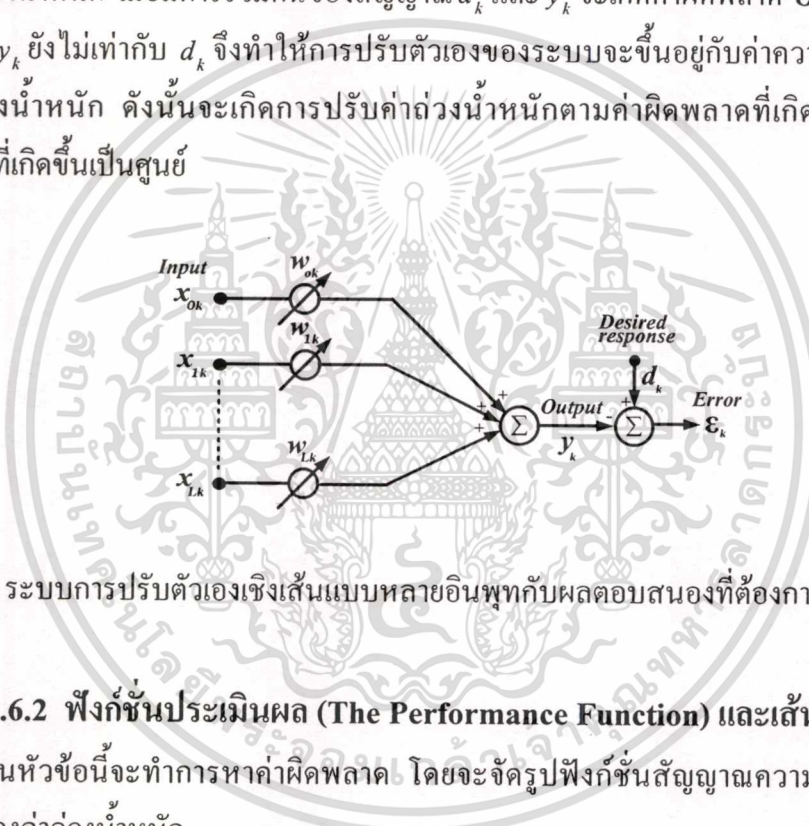
แล้วเราจะได้เวกเตอร์ค่าถ่วงน้ำหนักดังนี้

$$W_k = [w_{0k} \quad w_{1k} \quad \cdots \quad w_{Lk}]^T \quad (3.8)$$

จากสมการ (3.6) และสมการ (3.7) จะได้ความสัมพันธ์

$$y_k = X_k^T W_k = W_k^T X_k \quad (3.9)$$

พิจารณาจากรูปที่ 3.13 จะเห็นว่ารูปแบบของการปรับตัวเองเชิงเส้นจะปรับตัวเองจนให้ได้ลักษณะของการตอบสนองดีที่สุดและพบว่าสัญญาณเอาต์พุต  $y_k$  นั้นจะขึ้นอยู่กับสัญญาณอินพุตและค่าถ่วงน้ำหนัก เมื่อมีการรวมกันของสัญญาณ  $d_k$  และ  $y_k$  จะเกิดค่าผิดพลาด  $\epsilon_k$  ขึ้น ถ้าสัญญาณเอาต์พุต  $y_k$  ยังไม่เท่ากับ  $d_k$  จึงทำให้การปรับตัวเองของระบบจะขึ้นอยู่กับค่าความผิดพลาดที่มีผลต่อค่าถ่วงน้ำหนัก ดังนั้นจะเกิดการปรับค่าถ่วงน้ำหนักตามค่าผิดพลาดที่เกิดขึ้นจนกระทั่งค่าผิดพลาดที่เกิดขึ้นเป็นศูนย์



รูปที่ 3.13 ระบบการปรับตัวเองเชิงเส้นแบบหลายอินพุตกับผลตอบสนองที่ต้องการและค่าผิดพลาด

### 3.6.2 ฟังก์ชันประเมินผล (The Performance Function) และเส้นโค้งการเรียนรู้

ในหัวข้อนี้จะทำการหาค่าผิดพลาด โดยจะจัดรูปฟังก์ชันสัญญาณความผิดพลาดให้เป็นฟังก์ชันของค่าถ่วงน้ำหนัก

จากรูปที่ 3.13 สัญญาณความผิดพลาดที่เวลา  $k$  จะได้

$$\epsilon_k = d_k - y_k \quad (3.10)$$

แทนค่า  $y_k$  ด้วยสมการที่ (3.9)

$$\epsilon_k = d_k - X_k^T W = d_k - W^T X_k \quad (3.11)$$

ยกกำลังสองทั้งหมด

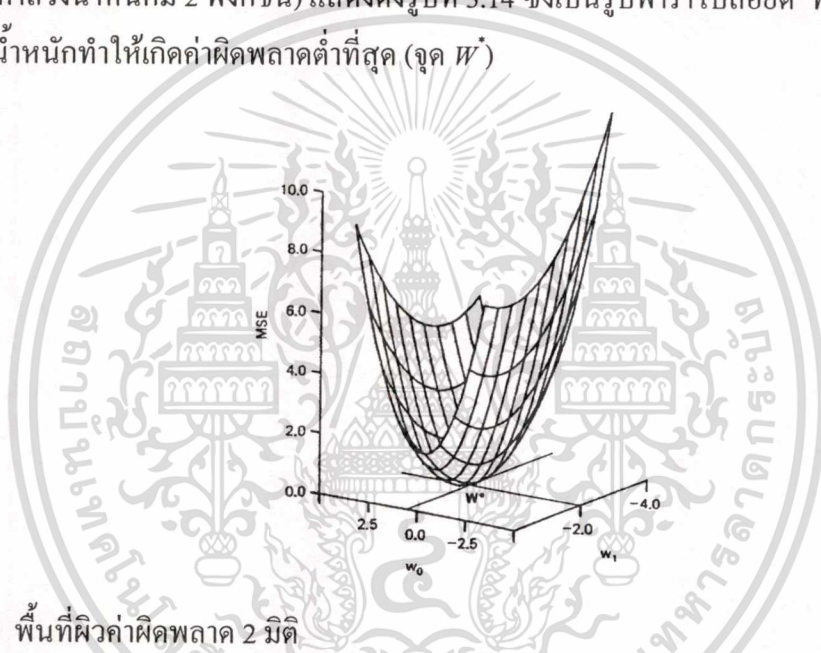
$$\epsilon_k^2 = d_k^2 - W^T X_k X_k^T W - 2d_k X_k^T W \quad (3.12)$$

เอกสารนี้เป็นเอกสารที่สงวนไว้สำหรับการใช้งานเพื่อการศึกษาเท่านั้น ไม่อนุญาตให้นำไปใช้ประโยชน์ด้านการค้าไม่ว่ากรณีใดๆทั้งสิ้น อีกทั้งห้ามมิให้คัดแปลงเนื้อหา และต้องอ้างอิงถึงเจ้าของเอกสารทุกครั้งที่มีการนำไปใช้

โดยสมมุติว่า  $\mathcal{E}_k$ ,  $d_k$  และ  $X_k$  มีค่าคงที่ทางสถิติ (stastiscatiocally stationary) และเมื่ออาศัยการใช้ค่าคาดหวัง (expected value) ทั้งสองข้างของสมการ ซึ่งค่าความผิดพลาดเฉลี่ยกำลังสอง (mean-square error) คือ ค่าคาดหวังของความผิดพลาดกำลังสอง

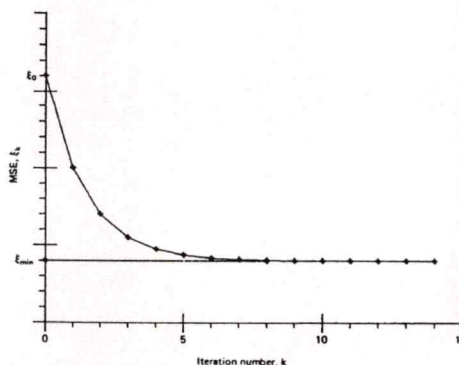
$$MSE \cong E[\mathcal{E}_k^2] = E[d_k^2] + W^T E[X_k X_k^T] W - 2E[d_k X_k^T] W \quad (3.13)$$

ซึ่งในระบบปรับตัวเองเชิงเส้นเราต้องการปรับค่าถ่วงน้ำหนัก เพื่อให้ค่าความผิดพลาดเฉลี่ยกำลังสองนี้น้อยที่สุดและจากสมการข้างต้นจะพบว่า ค่าความผิดพลาดเฉลี่ยกำลังสองเป็นฟังก์ชันของค่าถ่วงน้ำหนักกำลังสอง โดยตัวอย่างของฟังก์ชันความผิดพลาดเฉลี่ยกำลังสองแบบสองมิติ (ค่าถ่วงน้ำหนักมี 2 ฟังก์ชัน) แสดงดังรูปที่ 3.14 ซึ่งเป็นรูปพาราโบลอยด์ ที่มีก้นด้วยเป็นจุดที่ค่าถ่วงน้ำหนักทำให้เกิดค่าผิดพลาดต่ำที่สุด (จุด  $W^*$ )



รูปที่ 3.14 พื้นผิวค่าผิดพลาด 2 มิติ

ค่าความผิดพลาดเฉลี่ยกำลังสองในสมการที่(3.13)ควรมีค่าลดลงเรื่อยๆในขณะที่ระบบปรับสภาวะทำงาน ซึ่งรูปกราฟของค่าผิดพลาดเฉลี่ยกำลังที่เป็นฟังก์ชันของจำนวนการทำซ้ำ ( $k$ ) เรียกว่า “เส้นโค้งการเรียนรู้ (learning curve)” เนื่องจากเส้นโค้งนี้แสดงความสามารถของระบบในการตามสัญญาณผลตอบสนองที่ต้องการ ตัวอย่างของเส้นโค้งการเรียนรู้แสดงได้ดังรูปที่ 3.15



เอกสารรูปที่ 3.15 ตัวอย่างเส้นโค้งการเรียนรู้เพื่อการศึกษาเท่านั้น ไม่อนุญาตให้นำไปใช้ประโยชน์ด้านการค้าไม่ว่ากรณีใดๆทั้งสิ้น อีกทั้งห้ามมิให้คัดแปลงเนื้อหา และต้องอ้างอิงถึงเจ้าของเอกสารทุกครั้งที่มีการนำไปใช้

### 3.6.3 กระบวนการค่าเฉลี่ยกำลังสองต่ำสุด (Least Mean Square Error)

ในหัวข้อที่ผ่านมาได้กล่าวถึงฟังก์ชันการประเมินผล ซึ่งเป็นฟังก์ชันของค่าถ่วงน้ำหนัก และได้กล่าวถึงการทำงานของระบบปรับตัวเองเชิงเส้น โดยทำการปรับตัวแปรต่างๆ เพื่อให้การทำงานของระบบเข้าสู่จุดต่ำสุดของฟังก์ชันการประเมินผล ในหัวข้อนี้จะพิจารณาวิธีการเข้าสู่จุดต่ำสุดของฟังก์ชันประเมินผล โดยวิธีค่าเฉลี่ยกำลังสองต่ำสุด (Least mean square algorithm) หรือ LMS algorithm โดย Widrow ได้ให้ความเห็นว่า “วิธี LMS algorithm เป็นวิธีที่ดีที่สุดสำหรับระบบที่มีโครงสร้างเป็นวงจรรวมแบบเชิงเส้น”

หลักการของการลู่เข้าสู่จุดต่ำสุดในฟังก์ชันประเมินผล (performance function) ของวงจรเชิงเส้นหรือตัวกรอง คือ ปรับค่าถ่วงน้ำหนักของตัวกรองเพื่อให้ค่าความผิดพลาดเฉลี่ย (ระหว่างผลการตอบสนองที่ต้องการกับเอาต์พุต) กำลังสองมีค่าน้อยที่สุด (mean square error) โดยปรับค่าถ่วงน้ำหนักแต่ละขณะเวลาตามทิศทางตรงข้ามกับเกรเดียนท์ของฟังก์ชันประเมินผล เขียนเป็นสมการได้ดังนี้

$$W_{k+1} = W_k - \mu \nabla_k \quad (3.14)$$

เมื่อ  $W_k$  คือ เวกเตอร์ค่าถ่วงน้ำหนักของตัวกรองที่เวลา  $t = k$

เวกเตอร์ของค่าถ่วงน้ำหนัก : 
$$W_k = [w_0(k) \quad \dots \quad w_L(k)]^T \quad (3.15)$$

เกรเดียนท์เวกเตอร์ : 
$$\nabla_k = \frac{\partial E[\mathcal{E}_k^2]}{\partial W_k} = \left[ \frac{\partial E[\mathcal{E}_k^2]}{\partial w_0(k)} \quad \dots \quad \frac{\partial E[\mathcal{E}_k^2]}{\partial w_L(k)} \right]^T \quad (3.16)$$

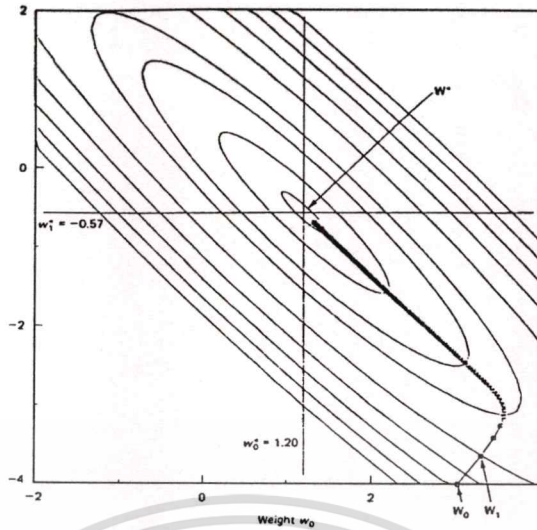
เมื่อ

$\mu$  คือ พารามิเตอร์ที่ควบคุมอัตราการลู่เข้าของระบบสู่จุดต่ำสุดของฟังก์ชันประเมินผล  
 $\mathcal{E}_k^2$  คือ ค่าผิดพลาดกำลังสองที่เวลา  $t = k$

จากสมการที่ (3.14) เห็นได้ว่าค่าถ่วงน้ำหนักจะปรับตัวเองเป็นสัดส่วนกับลบเกรเดียนท์ ( $-\nabla_k$ ) ของฟังก์ชันประเมินผล ดังนั้นเมื่อรู้ค่าเกรเดียนท์  $\nabla_k$  ที่ทุกๆ ค่า  $k$  ในระหว่างการปรับค่าถ่วงน้ำหนัก ก็จะทำให้ค่าความผิดพลาดเฉลี่ยกำลังสองมีค่าน้อยลงเรื่อยๆ จนถึงจุดที่เกรเดียนท์เป็นศูนย์ คือ เมื่อค่าความผิดพลาดเฉลี่ยกำลังสองน้อยที่สุดค่าถ่วงน้ำหนักก็จะมีค่าคงที่ เพื่อรักษาสภาพความผิดพลาดที่น้อยที่สุดนั้นไว้ ตัวอย่างของการลู่เข้าสู่จุดต่ำสุดของฟังก์ชันประเมินผล

เมื่อรู้ค่าเกรเดียนท์ที่แน่นอนจนแสดงได้ดังรูปที่ 3.16

เอกสารนี้เป็นเอกสารที่สงวนลิขสิทธิ์ของสถาบันวิจัยระบบประสาทวิทยาเท่านั้น ไม่อนุญาตให้นำไปใช้ประโยชน์ด้านการค้า  
 ไม่ว่ากรณีใดๆทั้งสิ้น อีกทั้งห้ามมิให้คัดลอกเนื้อหา และต้องอ้างอิงถึงเจ้าของเอกสารทุกครั้งที่มีการนำไปใช้



รูปที่ 3.16 การเข้าสู่ของระบบเมื่อรู้ค่าเกรเดียนท์ที่แน่นอน

ในทางปฏิบัติจริงๆ แล้ววิธีการปรับค่าถ่วงน้ำหนักตามสมการที่ (3.14) จะทำได้ยากหรือทำไม่ได้เพราะไม่สามารถที่จะรู้เกรเดียนท์ของฟังก์ชันประเมินผลได้ล่วงหน้า ดังนั้นจึงต้องใช้วิธีการประมาณค่าเกรเดียนท์ (gradient estimate) แทนในส่วนของค่าเกรเดียนท์ในสมการที่ (3.14)

การประเมินค่าเกรเดียนท์จะใช้ค่าผิดพลาดกำลังสองชั่วขณะ (instantaneous squared error) มาประมาณค่า

$$\text{Gradient estimate} : \hat{\nabla} = \frac{\partial \mathcal{E}_k}{\partial w_k} \quad (3.17)$$

แทนค่า  $\mathcal{E}_k$  จากสมการที่ (3.10) ลงในสมการ (3.17) จะได้

$$\hat{\nabla} = 2\mathcal{E}_k \frac{\partial (d_k - y_k)}{\partial w_k} \quad (3.18)$$

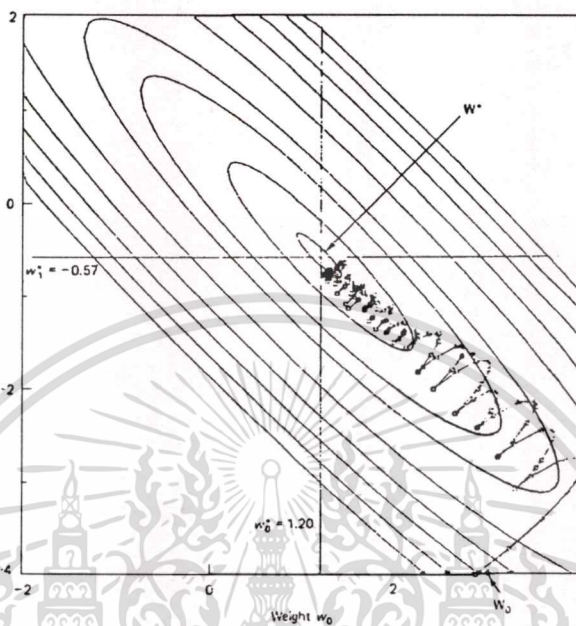
เนื่องจากผลการตอบสนองที่ต้องการ ( $d_k$ ) ไม่เป็นฟังก์ชันของค่าถ่วงน้ำหนัก และแทนค่า  $y_k$  ด้วยสมการ (3.9) จะได้

$$\hat{\nabla} = -2\mathcal{E}_k X_k \quad (3.19)$$

เมื่อ  $X_k$  เป็นเวกเตอร์ของสัญญาณอินพุต และเมื่อแทนค่า  $\hat{\nabla}$  ลงในสมการที่ (3.22) และแทน  $\nabla$  จะได้สมการที่ (3.26) ซึ่งเป็นสมการตามหลักการ LMS algorithm ของระบบปรับตัวเองเชิงเส้นที่ได้ทำการศึกษาดังนั้น

เอกสารนี้เป็นเอกสารที่สงวนไว้สำหรับการใช้  $w_{k+1} = w_k + 2\mu \mathcal{E}_k X_k$  เท่านั้น ไม่อนุญาตให้นำไปใช้ประโยชน์ด้านอื่นๆ  
ไม่ว่ากรณีใดๆทั้งสิ้น อีกทั้งห้ามมิให้คัดลอกเนื้อหา และต้องอ้างอิงถึงเจ้าของเอกสารทุกครั้งที่มีการนำไปใช้

ผลการประมาณค่าเกรเดียนต์จะทำให้การทำงานของระบบปรับตัวเองเชิงเส้นที่เหมาะสมที่สุดได้โดยตรง เพราะความผิดพลาดจากการประมาณค่าเกรเดียนต์นี้ดังรูปที่ 3.17 แสดงตัวอย่างของระบบปรับตัวเองเชิงเส้นที่ใช้การประมาณค่าเกรเดียนต์ตามสมการที่ (3.17)



รูปที่ 3.17 การลู่เข้าของระบบเมื่อใช้การประมาณค่าเกรเดียนต์

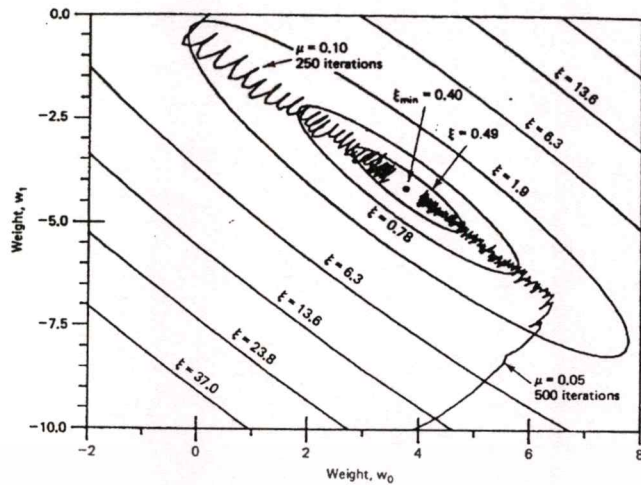
พิจารณาจากสมการที่(3.20)พบว่าระบบปรับตัวเองเชิงเส้นสามารถทำงานได้โดยที่มีสัญญาณอินพุต ( $X_k$ ) และสัญญาณผลตอบสนองที่ต้องการ ( $d_k$ ) เพื่อหาค่าความผิดพลาด ( $\mathcal{E}_k$ ) ก็จะสามารถทำงานได้ เหลือเพียงแต่กำหนดค่าพารามิเตอร์ของการลู่เข้า  $\mu$  เท่านั้น

### 3.6.4 การลู่เข้าของเวกเตอร์ค่าถ่วงน้ำหนัก

กระบวนการแบบค่าเฉลี่ยกำลังสองน้อยที่สุดนี้ ค่า  $\mu$  เป็นค่าคงที่ที่จะบอกความเร็วและเสถียรภาพในการปรับตัวเอง ดังนั้นเราจะกำหนดขอบเขตการลู่เข้าจากค่า

$$\frac{1}{\lambda_{max}} > \mu > 0 \quad (3.21)$$

โดยที่  $\lambda_{max}$  เป็นค่าไอเกนที่ใหญ่ที่สุด



รูปที่ 3.18 แสดงเส้นทางพื้นผิวค่าผิดพลาดและการปรับตัวของค่าถ่วงน้ำหนักเมื่อวิธิต่ำเฉลี่ย ยกกำลังสองน้อยที่สุด

ลองพิจารณารูปที่ 3.18 จะเป็นการเปรียบเทียบการใช้ค่า  $\mu$  ที่ต่างกันจะมีผลอย่างไรต่อการปรับตัว ซึ่งเราจะเห็นได้ว่า

กรณีแรกใช้ค่า  $\mu = 0.10$  ค่าถ่วงน้ำหนักเริ่มต้น  $w_0 = 0$ ,  $w_1 = 0$  จะใช้จำนวนรอบในการวนซ้ำ 250 รอบ

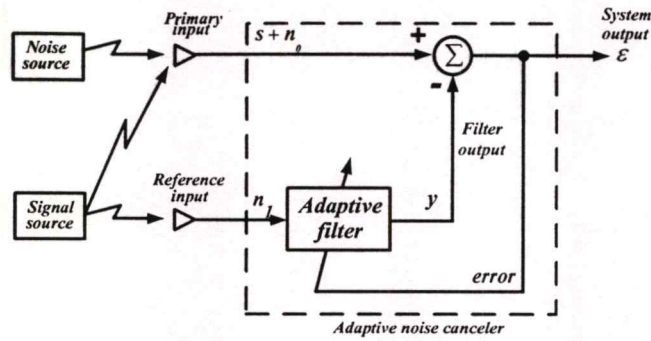
กรณีที่สองใช้ค่า  $\mu = 0.05$  ค่าถ่วงน้ำหนักเริ่มต้น  $w_0 = 4$ ,  $w_1 = -10$  จะใช้จำนวนรอบในการวนซ้ำ 500 รอบ

ซึ่งพบว่าค่า  $\mu$  มีผลต่อการปรับตัว ถ้าสังเกตจากรูป 3.18 จะเห็นว่ากรณีที่  $\mu$  มีค่ามาก จะมีการปรับตัวอย่างรวดเร็วและแต่ละครั้งจะเปลี่ยนแปลงมาก แต่ถ้าในกรณีที่  $\mu$  มีค่าน้อยจะมีการเปลี่ยนแปลงอย่างช้าๆ

ดังนั้นการเลือกค่า  $\mu$  จึงมีผลต่อการปรับตัวเป็นอย่างมาก โดยในใช้งานเราจะต้องทำการเลือกค่า  $\mu$  ให้เหมาะสมกับงานนั้นๆ

### 3.6.5 การประยุกต์ใช้ระบบปรับตัวเองเชิงเส้นในการกำจัดสัญญาณรบกวน

วงจรกำจัดสัญญาณรบกวนปรับตัวเองเชิงเส้นแบบเบื้องต้นแสดงได้ดังรูปที่ 3.19 ซึ่งอุปกรณ์รับสัญญาณ (input sensors) จะเป็นชนิดใดก็ได้



รูปที่ 3.19 หลักการของระบบกำจัดสัญญาณรบกวนปรับตัวเองเชิงเส้น

จากรูปที่ 3.19 แสดงระบบการกำจัดสัญญาณรบกวนที่ปรับตัวเองเชิงเส้น[8] โดยที่สัญญาณที่ต้องการ (signal) จะถูกส่งผ่านช่องทางสื่อสารใดๆเข้ามาทางอุปกรณ์รับสัญญาณที่ต้องการ ( $s$ ) และถูกรบกวนโดยสัญญาณรบกวน ( $n_0$ ) ที่ไม่มีความสัมพันธ์กับสัญญาณ  $s$  (signal  $s$  uncorrelated with noise  $n_0$ ) ซึ่งสัญญาณ ( $s+n_0$ ) นี้จะเข้ามาทางอินพุตหลัก (primary input) ของวงจรกำจัดสัญญาณรบกวนและในส่วนของอุปกรณ์รับตัวที่สองจะรับแต่เฉพาะสัญญาณรบกวน ( $n_1$ ) โดยที่  $n_1$  จะไม่มีความสัมพันธ์กัน (uncorrelated) กับสัญญาณที่ต้องการ แต่มีความสัมพันธ์กัน (correlated) กับสัญญาณ  $n_0$  เช่น เป็นสัญญาณรบกวนที่มาจากแหล่งเดียวกันหรือจากแหล่งที่มีลักษณะคล้ายกัน โดยที่สัญญาณ  $n_1$  นี้จะเข้ามาทางอินพุตอ้างอิง (reference input) โดยสัญญาณรบกวน  $n_1$  นี้จะถูกกรองโดยวงจรปรับตัวเองเชิงเส้น ซึ่งวงจรปรับตัวเองเชิงเส้นนี้จะพยายามทำให้เอาต์พุต  $y$  มีลักษณะใกล้เคียงกับ  $n_0$  จากนั้นสัญญาณ  $y$  จะถูกนำไปลบออกจากสัญญาณอินพุตหลัก ( $s+n_0$ ) จึงได้เป็นเอาต์พุตของระบบที่มีเท่ากับ  $(s+n_0-y)$

ถ้าเราสามารถทราบได้ล่วงหน้าถึงลักษณะของสัญญาณรบกวนและลักษณะของช่องสัญญาณที่สัญญาณรบกวนถูกส่งมายังอุปกรณ์รับอินพุตหลัก และอุปกรณ์รับอินพุตอ้างอิงก็สามารถที่จะออกแบบวงจรกรองแบบธรรมดา ที่มีค่าถ่วงน้ำหนักเป็นค่าคงที่เพื่อทำให้วงจรกรองมีค่าเอาต์พุตเป็น  $y = n_0$  และเมื่อนำเอาต์พุต  $y$  ไปลบออกจากสัญญาณอินพุตหลัก ( $s+n_0$ ) จะเหลือเพียงสัญญาณที่ต้องการ ( $s$ ) ออกที่เอาต์พุตของระบบกำจัดสัญญาณรบกวน

แต่เนื่องจากคุณสมบัติของช่องสัญญาณที่สัญญาณเดินทางผ่านมานั้น ไม่สามารถทราบได้ล่วงหน้าหรือลักษณะของช่องสัญญาณนี้เปลี่ยนแปลงตามเวลา การใช้วงจรกรองที่มีค่าถ่วงน้ำหนักคงที่ก็จะเป็นการไม่เหมาะสมถึงแม้ว่าเราจะสามารถออกแบบวงจรกรองได้ก็ตาม แต่เราก็จะยังยากที่จะปรับวงจรให้ถูกต้องตามการคำนวณทุกประการ ซึ่งวงจรที่เป็นระบบปรับตัวเองเชิงเส้นจะตัดความยุ่งยากเหล่านี้ออกไป เนื่องจากระบบจะทำการปรับตัวเองเข้าสู่จุดทำงานที่ดีที่สุดด้วยตัวเอง

จะเห็นได้ว่าสัญญาณต่างๆที่ใช้ในวงจรกำจัดสัญญาณรบกวนนี้ สัญญาณผลตอบสนองที่ต้องการ คือ สัญญาณอินพุตอ้างอิง ส่วนสัญญาณความผิดพลาดเป็นสัญญาณที่ใช้เป็นเอาต์พุตของ

ระบบ ซึ่งอาจดูสับสนแต่ถ้าพิจารณาให้ดีจะพบว่าวงจกรองนี้จะพยายามปรับตัวให้สัญญาณรบกวนหักล้างกันให้มากที่สุด โดยทำให้สัญญาณรบกวนที่ผ่านวงจกรองมีความคล้ายคลึงกับสัญญาณรบกวนที่ผสมมาในสัญญาณที่ต้องการมากที่สุด ส่วนที่เหลือจากการลบกันระหว่างสองสัญญาณนี้ จะได้แต่เฉพาะสัญญาณที่ต้องการ ดังนั้นจึงใช้สัญญาณความผิดพลาดมาเป็นเอาท์พุทของระบบ จากการใช้หลักการปรับตัวเองเชิงเส้นนี้มีข้อดีเหนือการใช้วงจกรองแบบค่าถ่วงน้ำหนักคงที่มากำจัดสัญญาณรบกวน คือ ระบบปรับตัวเองเชิงเส้นไม่จำเป็นต้องรู้ถึงลักษณะของสัญญาณใด ๆ ล่วงหน้าหรือไม่จำเป็นต้องรู้ความสัมพันธ์ระหว่างสัญญาณใด ๆ ล่วงหน้าเลย

จากรูปที่ 3.19 สมมติให้สัญญาณ  $s$ ,  $n_0$ ,  $n_1$  และ  $y$  มีคุณลักษณะทางสถิติคงที่ แล้วต่างก็มีค่าเฉลี่ยเป็นศูนย์ โดยสมมติว่าสัญญาณ  $s$  ไม่มีความสัมพันธ์กับสัญญาณ  $n_0$  แล้วสมมติว่า  $n_1$  มีความสัมพันธ์กับสัญญาณ  $n_0$  ดังนั้นเอาท์พุทจากวงจกรองจะได้

$$\mathcal{E} = s + n_0 - y \quad (3.22)$$

ยกกำลังสองสมการที่ (3.22) จะได้

$$\mathcal{E}^2 = s^2 + (n_0 - y)^2 + 2s(n_0 - y) \quad (3.23)$$

หาค่าคาดหวังทั้งสองข้างของสมการ

$$E[\mathcal{E}^2] = E[s^2] + E[(n_0 - y)^2] + 2E[s(n_0 - y)] \quad (3.24)$$

เนื่องจาก  $s$  ไม่มีความสัมพันธ์กับ  $n_0$ ,  $n_1$  และ  $y$  โดยที่ทุกสัญญาณมีค่าเฉลี่ยเป็นศูนย์

$$E[\mathcal{E}^2] = E[s^2] + E[(n_0 - y)^2] \quad (3.25)$$

ค่ากำลังงานของสัญญาณที่ต้องการ  $E[s^2]$  จะไม่เปลี่ยนแปลงจากการที่วงจกรองทำการปรับค่าถ่วงน้ำหนัก เพื่อที่จะลดค่ากำลังงานของสัญญาณความผิดพลาด  $E[\mathcal{E}^2]$  ดังนั้น กำลังงานของสัญญาณเอาท์พุทต่ำที่สุด คือ

$$E_{\min}[\mathcal{E}^2] = E[s^2] + E_{\min}[(n_0 - y)^2] \quad (3.26)$$

ดังนั้นเมื่อวงจกรองทำการปรับค่าถ่วงน้ำหนัก เพื่อให้  $E[\mathcal{E}^2]$  มีค่าต่ำที่สุด จะทำให้เฉพาะ  $E[(n_0 - y)^2]$  มีค่าต่ำที่สุด คือ ระบบอยู่ในสถานะเหมาะสมที่สุด (Optimized) หมายความว่าเอาท์พุทของวงจกรอง  $y$  เป็นค่ากำลังสองต่ำสุด (least squared estimate) และมีค่าถูกต้องที่สุดของ

สัญญาณรบกวนที่ผสมอยู่กับสัญญาณอินพุทหลักและจากการย้ายข้างของสมการที่ (3.22) จะได้อีกสมการอีกสมการที่แสดงว่าค่ากำลังงานของสัญญาณเอาท์พุทต่ำที่สุดเท่าที่จะเป็นไปได้ในการคำนวณค่า

ไม่ว่ากรณีใดๆ ทั้งสิ้น อีกทั้งห้ามมิให้คัดลอกเนื้อหา และต้องอ้างอิงถึงเจ้าของเอกสารทุกครั้งที่มีการนำไปใช้

$$\mathcal{E} - s = n_0 - y \quad (3.27)$$

เมื่อยกกำลังสอง และหาค่าคาดหวังทั้งสองข้างของสมการที่ (3.27)

$$E[(\mathcal{E} - s)^2] = E[(n_0 - y)^2] \quad (3.28)$$

การทำให้  $E[(n_0 - y)^2]$  มีค่าต่ำที่สุดจะต้องทำให้  $E[(\mathcal{E} - s)^2]$  มีค่าต่ำที่สุดด้วยดังนั้น การทำให้ระบบเข้าสู่จุดเหมาะสมที่สุด (optimize) เป็นการทำให้สัญญาณความผิดพลาด  $\mathcal{E}$  เป็นค่าประมาณค่ากำลังสองที่ดีที่สุดของสัญญาณ  $s$  ที่ต้องการดังรูปที่ 3.19

จากสมการที่ (3.22) สัญญาณผิดพลาด  $\mathcal{E}$  เป็นเอาต์พุตของวงจรกรองที่ใช้กำจัดสัญญาณรบกวน โดยทั่วไปเอาต์พุตนี้จะมีสัญญาณ  $s$  ผสมมากับสัญญาณรบกวน ( $n_0 - y$ )

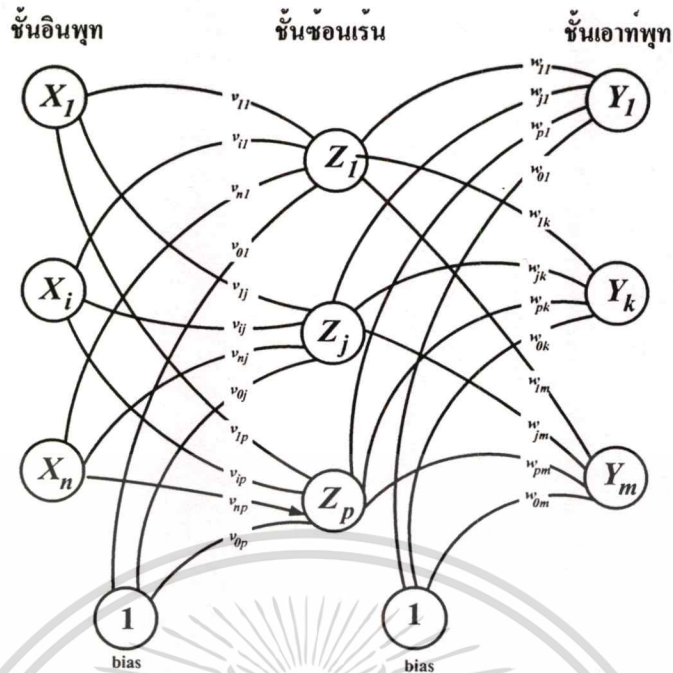
อัตราส่วนของสัญญาณต่อสัญญาณรบกวน (Signal to noise ratio) ที่เอาต์พุตของระบบกำจัดสัญญาณรบกวนแสดงได้ดังสมการ

$$S/N = E[s^2] / E[(n_0 - y)^2] \quad (3.29)$$

กำลังงานของสัญญาณรบกวนที่เอาต์พุต  $E[(n_0 - y)^2]$  จะถูกลดลงขณะที่ระบบลดกำลังงานของเอาต์พุต  $E[\mathcal{E}^2]$  แต่กำลังงานของสัญญาณที่ต้องการ  $E[s^2]$  ไม่ได้ถูกทำให้เปลี่ยนแปลงจากการทำงานของกระบวนการนี้ ดังนั้นการทำงานของระบบกำจัดสัญญาณรบกวนปรับตัวเองเชิงเส้นจึงเป็นการเพิ่มอัตราส่วนของสัญญาณต่อสัญญาณรบกวนที่เอาต์พุตของระบบ

### 3.7 การเรียนรู้แบบแพร่กลับ (Backpropagation learning)

การฝึกแบบซูปเปอร์ไวส์ ซึ่งเป็นที่นิยมและสามารถใช้งานได้ดี คือ การเรียนรู้แบบแพร่กลับเนื่องจากสามารถใช้งานได้ดีกับโครงข่ายแบบหลายชั้น โดยกระบวนการสำคัญของการเรียนรู้แบบแพร่กลับมี 3 ขั้นตอน คือ การส่งรูปแบบของอินพุตเข้าไปในโครงข่าย การคำนวณและแพร่กลับค่าผิดพลาดและการปรับค่าถ่วงน้ำหนักให้เหมาะสม[5] ดังตัวอย่างในรูปที่ 3.20



รูปที่ 3.20 การเรียนรู้แบบแพร่กลับที่มีจำนวนชั้นซ่อน 1 ชั้น

รูปที่ 3.20 แสดงตัวอย่างง่าย ๆ ของโครงข่ายประสาทเทียมแบบแพร่กลับที่มีโครงสร้างแบบหลายชั้นและมีจำนวนชั้นซ่อน (Hidden layer)  $Z$  จำนวน 1 ชั้น อยู่ระหว่างชั้นเอาต์พุต (Output layer)  $Y$  และชั้นอินพุต (Input layer)  $X$

ค่าไบแอสที่ส่งให้หน่วยเอาต์พุต  $Y_k$  แทนด้วย  $w_{0k}$  และค่าไบแอสที่ส่งให้หน่วยซ่อน  $Z_j$  แทนด้วย  $v_{0j}$  ทิศทางการไหลของสัญญาณจะไหลไปข้างหน้าเมื่ออยู่ในช่วงของการทำงานแต่เมื่ออยู่ในช่วงของการแพร่กลับสัญญาณจะไหลย้อนทิศทางเดิม

ในระหว่างสัญญาณไหลไปข้างหน้า หน่วยอินพุตแต่ละตัว ( $X_i$ ) ได้รับสัญญาณอินพุตและกระจายสัญญาณไปให้หน่วยซ่อนแต่ละตัว ( $Z_1, \dots, Z_p$ ) เพื่อทำการคำนวณหาค่าระดับการเร่งเร้า ( $z_j$ ) แล้วส่งให้หน่วยเอาต์พุตต่อไป จากนั้นหน่วยเอาต์พุตแต่ละตัว ( $Y_k$ ) จะคำนวณหาค่าระดับการเร่งเร้า ( $y_k$ ) เพื่อจัดเป็นผลตอบสนองของโครงข่ายที่มีต่อรูปแบบของอินพุตที่กำหนดให้

ในระหว่างการเรียนรู้หน่วยเอาต์พุตแต่ละตัวจะทำการเปรียบเทียบค่าระดับการเร่งเร้า ( $y_k$ ) ที่คำนวณได้กับค่าเป้าหมาย เพื่อนำไปหาค่าผิดพลาดที่หน่วยนั้น ๆ ค่าผิดพลาดนี้ใช้สัญลักษณ์เป็น  $\delta_k$  ( $k = 1, \dots, m$ ) โดยค่า  $\delta_k$  เป็นค่าผิดพลาดของหน่วยเอาต์พุต  $Y_k$  นี้จะถูกส่งกลับไปให้ทุกหน่วยในชั้นก่อนหน้า ซึ่งก็คือหน่วยซ่อนที่เชื่อมต่อกับหน่วยเอาต์พุต  $Y_k$  จากนั้นจึงนำไปปรับปรุงค่าถ่วงน้ำหนักระหว่างชั้นเอาต์พุตกับชั้นซ่อนต่อไป

ในการทำงานเดียวกันค่าผิดพลาด  $\delta_j$  ( $j = 1, \dots, p$ ) จะถูกคำนวณที่แต่ละหน่วยซ่อน ( $Z_j$ ) แต่ไม่จำเป็นต้องส่งค่ากลับไปยังชั้นอินพุต เพียงแต่นำไปปรับปรุงค่าถ่วงน้ำหนักระหว่างชั้นซ่อนและชั้นอินพุตเท่านั้น

ไม่ว่ากรณีใดๆ ทั้งสิ้น อีกทั้งห้ามมิให้คัดแปลงเนื้อหา และต้องอ้างอิงถึงเจ้าของเอกสารทุกครั้งที่มีการนำไปใช้

เมื่อได้ค่าผิดพลาด  $\delta_j$  แล้วทำการปรับปรุงค่าถ่วงน้ำหนักสำหรับทุกชั้นจะเกิดขึ้นอย่างทันที โดยการปรับปรุงค่าถ่วงน้ำหนัก  $w_{jk}$  จากหน่วยซ่อน  $Z_k$  ไปยังหน่วยเอาต์พุต  $Y_k$  ภายใต้เงื่อนไขของค่าผิดพลาด  $\delta_k$  และค่าระดับการเร่งเร็ว  $z_j$  ของหน่วยซ่อน  $Z_j$  ส่วนการปรับปรุงค่าถ่วงน้ำหนัก  $v_{ij}$  จากหน่วยอินพุต  $X_i$  ไปยังหน่วยซ่อน  $Z_k$  นั้นจะทำภายใต้เงื่อนไขของค่าผิดพลาด  $\delta_j$  และค่าระดับการเร่งเร็ว  $x_i$  ของหน่วยอินพุต

### 3.7.1 ตัวแปรต่าง ๆ ที่ใช้ในการเรียนรู้แบบแพร่กลับ

$x$  เวกเตอร์การฝึกอินพุต (input training vector) ดังสมการ

$$x = (x_1, \dots, x_i, \dots, x_n) \quad (3.30)$$

$d$  เวกเตอร์เอาต์พุตเป้าหมาย (output target vector) ดังสมการ

$$d = (d_1, \dots, d_k, \dots, d_m) \quad (3.31)$$

$\delta_k$  ค่าผิดพลาดเนื่องจากหน่วยเอาต์พุต  $Y_k$  ที่แพร่กลับมายังหน่วยซ่อน เพื่อนำไปปรับปรุงค่าถ่วงน้ำหนัก  $w_{jk}$

$\delta_j$  ค่าผิดพลาดเนื่องจากหน่วยซ่อน  $Z_j$  เพื่อนำไปปรับปรุงค่าถ่วงน้ำหนัก  $v_{ij}$

$\alpha$  อัตราการเรียนรู้

$X_i$  หน่วยอินพุตที่  $i$

$Z_j$  หน่วยซ่อนที่  $j$

$Y_k$  หน่วยเอาต์พุตที่  $k$

$v_{0j}$  ค่าไบแอสบนหน่วยซ่อนที่  $j$

$w_{ok}$  ค่าไบแอสบนหน่วยเอาต์พุตที่  $k$

อินพุตลัพท์ที่ส่งไปให้  $Z_j$  ใช้สัญลักษณ์  $z\_in_j$  โดยหาค่าได้ดังสมการที่

$$z\_in_j = v_{0j} + \sum_i x_i v_{ij} \quad (3.32)$$

สัญญาณเอาต์พุตหรือค่าระดับเร่งเร็วของ  $Z_j$  ใช้สัญลักษณ์  $z_j$  ดังสมการที่

$$z_j = f(z\_in_j) \quad (3.33)$$

อินพุตลัพท์ที่ส่งไปให้  $Y_k$  ใช้สัญลักษณ์  $y\_in_k$  หาค่าได้ดังสมการ

$$y\_in_k = w_{ok} + \sum_j z_j w_{jk} \quad (3.34)$$

เอกสารนี้เป็นเอกสารที่สงวนไว้สำหรับการใช้งานเพื่อการศึกษาเท่านั้น ไม่อนุญาตให้นำไปใช้ประโยชน์ด้านการค้า ไม่ว่าจะกรณีใดๆทั้งสิ้น อีกทั้งห้ามมิให้ดัดแปลงเนื้อหา และต้องอ้างอิงถึงเจ้าของเอกสารทุกครั้งที่มีการนำไปใช้

สัญญาณเอาท์พุท หรือค่าระดับเร่งเร็วของ  $Y_k$  ใช้สัญลักษณ์  $y_k$  ดังสมการ

$$y_k = f(y\_in_k) \quad (3.35)$$

### 3.7.2 ขั้นตอนในกระบวนการเรียนรู้ แบบแพร่กลับ

**ขั้นที่ 0** กำหนดค่าถ่วงน้ำหนักเริ่มต้น โดยทำการสุ่มค่าถ่วงน้ำหนัก

**ขั้นที่ 1** ทดสอบเงื่อนไขของการสิ้นสุดการเรียนรู้ ถ้ายังไม่เป็นไปตามเงื่อนไขที่กำหนดไว้ ให้ทำตามขั้นตอนที่ 2 ถึง 9

**ขั้นที่ 2** เลือกลำดับแต่ละคู่ของการฝึก (Training pair) แล้วทำตามขั้นตอนที่ 3 ถึง 8

- ช่วงสัญญาณไหลไปข้างหน้า

**ขั้นที่ 3** แต่ละหน่วยอินพุท ( $X_i, i = 1, \dots, n$ ) ได้รับสัญญาณอินพุท  $x_i$  และกระจายสัญญาณไปให้ชั้นถัดไป (หน่วยซ่อน)

**ขั้นที่ 4** แต่ละหน่วยซ่อน ( $Z_j, j = 1, \dots, p$ ) รวมผลคูณของค่าถ่วงน้ำหนักกับสัญญาณอินพุทตามสมการที่ (3.32) จากนั้นนำฟังก์ชันการเร่งเร็วไปคำนวณค่าสัญญาณเอาท์พุท เพื่อส่งสัญญาณนี้ให้ทุกหน่วยในชั้นถัดไป (หน่วยเอาท์พุท) ตามสมการที่ (3.33)

**ขั้นที่ 5** แต่ละหน่วยเอาท์พุท ( $Y_k, k = 1, \dots, m$ ) รวมค่าผลคูณของค่าถ่วงน้ำหนักกับสัญญาณอินพุทตามสมการที่ (3.34) จากนั้นนำฟังก์ชันการเร่งเร็วไปคำนวณหาค่าสัญญาณเอาท์พุทดังสมการที่ (3.35)

- ช่วงแพร่สัญญาณผิดพลาดกลับ

**ขั้นที่ 6** แต่ละหน่วยเอาท์พุท ( $Y_k, k = 1, \dots, m$ ) ได้รับรูปแบบเป้าหมายที่มีความสัมพันธ์กับรูปแบบการฝึกอินพุท แล้วนำไปคำนวณหาค่าผิดพลาด ( $\delta_k$ ) โดยค่า  $\delta_k$  นี้ จะถูกส่งไปยังทุกหน่วยของชั้นที่ต่ำกว่าดังสมการที่

$$\delta_k = (d_k - y_k) f'(y\_in_k) \quad (3.36)$$

คำนวณค่าถ่วงน้ำหนักที่ปรับปรุง ( $\Delta w_{jk}$ ) รวมถึงค่าไบแอสที่ปรับปรุง ( $\Delta w_{ok}$ ) เพื่อนำไปปรับปรุงค่าถ่วงน้ำหนักต่อไป ดังสมการที่ (3.37) และ (3.38)

$$\Delta w_{jk} = \alpha \delta_k z_j \quad (3.37)$$

$$\Delta w_{ok} = \alpha \delta_k \quad (3.38)$$

เอกสารนี้เป็นเอกสารที่สงวนไว้สำหรับการใช้เพื่อการศึกษาเท่านั้น ไม่อนุญาตให้นำไปใช้ประโยชน์ในการค้า  
ไม่ว่ากรณีใดๆทั้งสิ้น อีกทั้งห้ามมิให้คัดแปลงเนื้อหา และต้องอ้างอิงถึงเจ้าของเอกสารทุกครั้งที่มีการนำไปใช้

ขั้นที่ 7 แต่ละหน่วยซ้อน ( $Z_j, j = 1, \dots, p$ ) จะรวมค่าผิดพลาดอินพุทของหน่วยนั้นๆ ที่ได้รับจากชั้นที่สูงกว่า ตามความสัมพันธ์ดังสมการ

$$\delta_{in_j} = \sum_{k=1}^m \delta_k w_{jk} \quad (3.39)$$

จากนั้นนำไปคำนวณค่าผิดพลาดของแต่ละหน่วยดังสมการ

$$\delta_j = \delta_{in_j} f'(z_{in_j}) \quad (3.40)$$

แล้วนำไปคำนวณหาค่าถ่วงน้ำหนักที่ถูกต้องและค่าไบแอสที่ถูกต้องหนักดังสมการที่(3.39) และ (3.40) เพื่อนำไปปรับปรุงค่าถ่วงน้ำหนักต่อไป

$$\Delta v_{ij} = \alpha \delta_j x_i \quad (3.41)$$

$$\Delta v_{0j} = \alpha \delta_j \quad (3.42)$$

- ช่วงปรับปรุงค่าถ่วงน้ำหนักและค่าไบแอส

ขั้นที่ 8 แต่ละหน่วยเอาต์พุท ( $Y_k, k = 1, \dots, m$ ) จะทำการปรับค่าไบแอสและค่าถ่วงน้ำหนัก ( $j = 0, \dots, p$ ) ดังสมการ

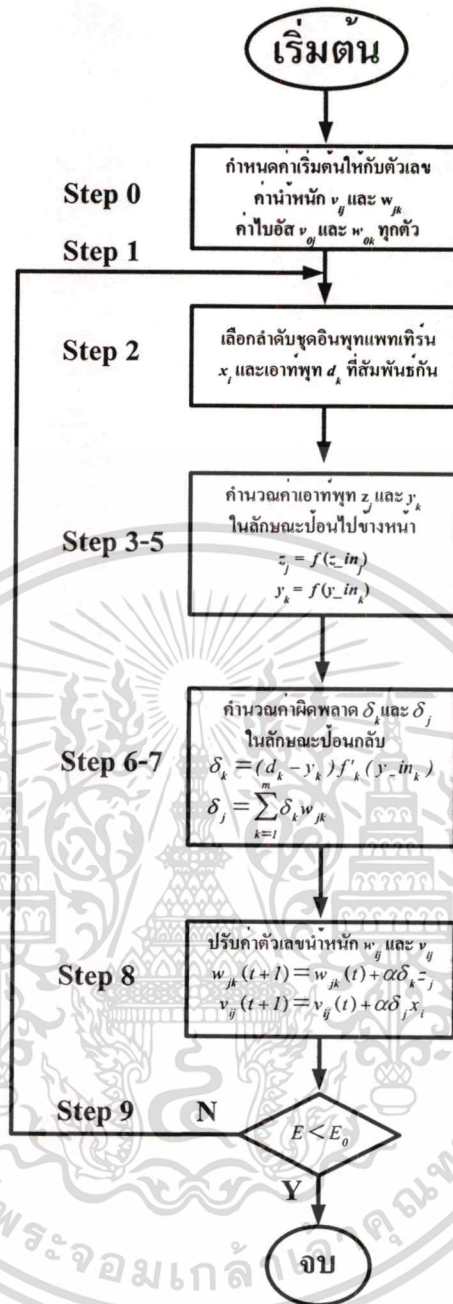
$$w_{jk}(t+1) = w_{jk}(t) + \Delta w_{jk} \quad (3.43)$$

แต่ละหน่วยซ้อน ( $Z_j, j = 1, \dots, p$ ) จะทำการปรับค่าไบแอสและค่าถ่วงน้ำหนัก ( $i = 0, \dots, n$ ) ดังสมการ

$$v_{ij}(t+1) = v_{ij}(t) + \Delta v_{ij} \quad (3.44)$$

ขั้นที่ 9 สภาวะหยุดการทดสอบ

หลังจากหาค่าถ่วงน้ำหนัก และค่าไบแอสได้แล้วสามารถหาเอาต์พุทจากค่าอินพุท และค่าถ่วงน้ำหนักและค่าไบแอสที่ได้โดยใช้สมการที่ (3.32) ถึง (3.35) โดยค่าจากสมการที่ (3.35) คือ ค่าเอาต์พุทที่ต้องการ



รูปที่ 3.21 ผังการทำงานของการเรียนรู้แบบแพร่กลับ

### 3.8 บทสรุป

บทนี้ได้กล่าวถึงทฤษฎีพื้นฐานของโครงข่ายประสาทเทียม ได้แก่ ลักษณะโครงสร้างของโครงข่ายประสาทเทียม สถาปัตยกรรมโครงข่ายประสาทเทียม รวมทั้งชนิดการฝึกสอนแก่โครงข่ายประสาทเทียม และยังได้กล่าวถึงโครงข่ายประสาทเทียมแบบเชิงเส้นที่ปรับตัวเองซึ่งจะนำประยุกต์มาใช้ในการตรวจจับกระแสฮาร์โมนิก และส่วนสุดท้ายของบทนี้ได้อธิบายถึงวิธีการฝึกสอนโครงข่ายประสาทเทียมแบบแพร่กลับ โดยจะเป็นพื้นฐานในการนำไปประยุกต์ใช้กับตัวควบคุมกระแสของวงจรรอกำถ่วงแอกทีฟในบทความต่อไป

เอกสารนี้เป็นเอกสารที่สงวนลิขสิทธิ์ของบริษัทฯ หากมีข้อสงสัย กรุณาติดต่อฝ่ายบริการลูกค้า

ไม่ว่ากรณีใดๆทั้งสิ้น อีกทั้งห้ามมิให้คัดแปลงเนื้อหา และต้องอ้างอิงถึงเจ้าของเอกสารทุกครั้งที่มีการนำไปใช้

## บทที่ 4

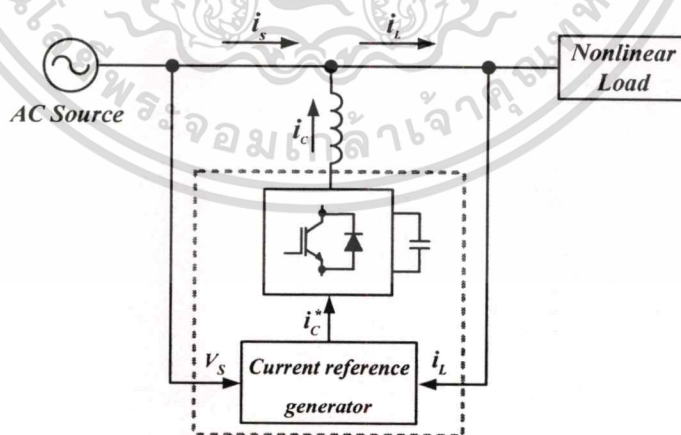
# การวิเคราะห์และออกแบบวงจรรอกำลังแอกทีฟแบบขนาน

### 4.1 บทนำ

วงจรรอกำลังแอกทีฟแบบขนานที่นำเสนอนี้เป็นวิธีหนึ่งที่ใช้ทำการกำจัดกระแสฮาร์โมนิกที่เกิดขึ้นในระบบที่ต่ออยู่กับโหลดชนิดไม่เป็นเชิงเส้น โดยวงจรรอกำลังแอกทีฟที่ออกแบบสำหรับงานวิจัยนี้จะใช้ในการชดเชยกระแสฮาร์โมนิกที่เกิดขึ้นในระบบ 3 เฟส 4 สาย ซึ่งจะกล่าวถึงการวิเคราะห์และออกแบบพารามิเตอร์ของวงจรรอกำลังแอกทีฟ รวมทั้งได้ทำการจำลองการทำงานของวงจรรอกำลังแอกทีฟด้วยโปรแกรม Matlab-Simulink เพื่อใช้ตรวจสอบการทำงานของวงจรและให้มั่นใจว่าวงจรที่ออกแบบมีความถูกต้องสอดคล้องกับทฤษฎีที่ได้ทำการวิเคราะห์ไว้

### 4.2 การวิเคราะห์และหลักการสร้างกระแสอ้างอิง

โครงสร้างพื้นฐานของวงจรรอกำลังแอกทีฟแบบขนานสามารถแสดงดังรูปที่ 4.1 โดยวงจรรอกำลังแอกทีฟจะเป็นตัวควบคุมอินเวอร์เตอร์แบบแหล่งจ่ายแรงดันไฟฟ้า ซึ่งกระแสของแหล่งที่กำเนิดกระแสได้มาจากค่าเฉลี่ยของความกว้างพัลส์สัญญาณ จากรูปที่ 4.1 จะเห็นว่าวงจรรอกำลังแอกทีฟต่ออยู่กับโหลดชนิดไม่เป็นเชิงเส้นในลักษณะขนาน โดยวงจรรอกำลังแอกทีฟจะทำการสร้างกระแสฮาร์โมนิกเพื่อที่จะไปทำการชดเชยกระแสเหล่านั้น



รูปที่ 4.1 วงจรพื้นฐานของวงจรรอกำลังแอกทีฟแบบขนาน

สมมติว่าแหล่งจ่ายแรงดันไฟฟ้าเป็นสัญญาณไซน์ ดังนั้น

เอกสารนี้เป็นเอกสารที่สงวนไว้สำหรับการใช้  $v_s(t) = v_m \sin(\omega t)$  เท่านั้น ไม่อนุญาตให้นำไปใช้ประโยชน์ด้าน (4.1) ใดๆ  
ไม่ว่ากรณีใดๆทั้งสิ้น อีกทั้งห้ามมิให้ตัดแปลงเนื้อหา และต้องอ้างอิงถึงเจ้าของเอกสารทุกครั้งที่มีการนำไปใช้

กระแสแหล่งจ่ายที่มีการผิดเพี้ยนเนื่องจากโหลดไม่เป็นเชิงเส้น โดยกระแสโหลด  $i_L(t)$  ประกอบไปด้วย 4 องค์ประกอบหลัก[9]คือ

$$i_L(t) = \sum_{n=0}^{\infty} I_n \sin(n\omega t + \phi_n) \quad (4.2)$$

โดยที่

$$\begin{aligned} i_L(t) &= I_0 + I_1 \cos\phi_1 \sin(\omega t) + I_1 \sin\phi_1 \cos(\omega t) + \sum_{n=2}^{\infty} I_n \sin(n\omega t + \phi_n) \\ &= i_0(t) + i_p(t) + i_q(t) + i_h(t) \end{aligned} \quad (4.3)$$

เมื่อ  $i_0(t)$  คือ องค์ประกอบไฟตรง

$i_p(t)$  คือ กระแสแอกทีฟ

$i_q(t)$  คือ กระแสรีแอกทีฟ

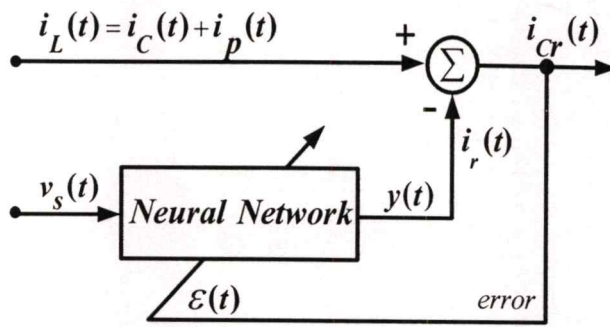
$i_h(t)$  คือ กระแสฮาร์โมนิก

จากสมการที่(4.3) พบว่าถ้าวงจรรอกำลังแอกทีฟสามารถสร้างกระแส  $i_c(t)$  ซึ่งต้องมีค่าเท่ากับผลรวมของกระแส  $i_p(t) + i_h(t)$  เป็นผลให้กระแสที่แหล่งจ่ายจะเหลือกระแสแอกทีฟเพียงอย่างเดียวที่เป็นสัญญาณรูปคลื่นลักษณะรูปไซน์และมีเฟสเดียวกันกับแหล่งจ่าย  $v_s(t)$  ดังนั้น

$$i_c(t) = i_L(t) - i_p(t) \quad (4.4)$$

### 4.3 การประยุกต์ใช้โครงข่ายประสาทเทียมในการตรวจจับกระแสฮาร์โมนิก

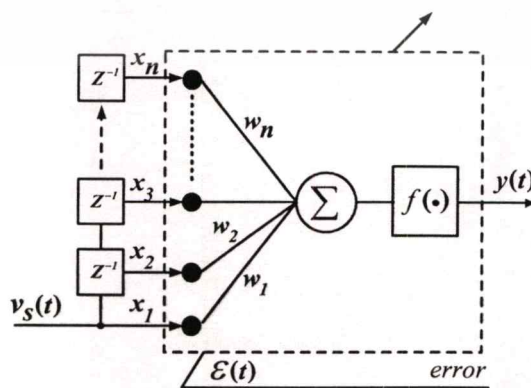
เนื่องจากระบบต่ออยู่กับโหลดชนิดไม่เป็นเชิงเส้น จึงเป็นผลให้กระแสของแหล่งจ่ายเกิดกระแสฮาร์โมนิกขึ้นในระบบ ดังนั้นในหัวข้อนี้จะเป็นการตรวจหาค่ากระแสของฮาร์โมนิกที่เกิดขึ้นในระบบ สำหรับการหาค่ากระแสฮาร์โมนิกในปัจจุบันมีอยู่หลายวิธีซึ่งมีข้อดีและข้อเสียต่าง ๆ กัน โดยงานวิจัยนี้ได้ใช้วิธีการตรวจจับกระแสฮาร์โมนิกด้วยวิธีโครงข่ายประสาทเทียม ซึ่งเป็นหลักการที่ง่าย ๆ ไม่ซับซ้อน โครงข่ายประสาทเทียมที่นำมาประยุกต์ใช้นี้เป็นกระบวนการทางสัญญาณของ Widrow – Adaptive Noise Canceling Technology (ANCT) ซึ่งเป็นเทคนิคที่ใช้แยกสัญญาณที่ต้องการผสมรวมมากับสัญญาณรบกวนซึ่งได้กล่าวไว้แล้วดังบทที่ผ่านมา ในการนำโครงข่ายประสาทเทียมเข้ามาใช้ในการตรวจจับกระแสฮาร์โมนิก[10-14]มีโครงสร้างพื้นฐานดังรูปที่ 4.2



รูปที่ 4.2 การประยุกต์ใช้โครงข่ายประสาทเทียมในตรวจจับกระแสฮาร์โมนิก

จากหลักการของเทคนิคการกำจัดสัญญาณรบกวนที่สามารถปรับตัวได้เอง เราสามารถนำไปประยุกต์ใช้กับวงจรกรองกำลังแอกทีฟ โดยแทนตัวกรองแบบปรับตัวได้ด้วยโครงข่ายประสาทเทียม (Neural Network) ซึ่งกระแส  $i_L$  จะนำมาแทนสัญญาณอินพุตหลัก ( $s+n_0$ ) ส่วนกระแส  $i_{Cr}$  เป็นสัญญาณที่ออกมาจากระบบ ( $y$ ), กระแส  $i_r$  แทนสัญญาณที่ออกมาจากโครงข่ายประสาทเทียม ( $n_0^*$ ) โดยที่สัญญาณอินพุตอ้างอิง ( $n_1$ ) จะแทนด้วยกระแสจากแหล่งจ่ายที่ต้องการซึ่งอาจสมมุติให้มีลักษณะเหมือนกับแรงดัน  $v_s$

ในส่วนของโครงข่ายประสาทเทียมที่ใช้จะเป็นแบบเชิงเส้นที่ปรับตัวได้เอง (ADALINE) ที่มีโครงสร้างของโครงข่ายประสาทเทียมแสดงดังรูปที่ 4.3 จะประกอบไปด้วย 2 ชั้น (Layer) คือ 1. ชั้นอินพุต (Input layer) 2. ชั้นเอาต์พุต (Output layer) โครงข่ายประสาทเทียมที่นำมาใช้นี้ประกอบไปด้วยสัญญาณอินพุต คือ  $x_1, x_2, x_3, \dots, x_n$  ตามลำดับ แต่ละข่ายเชื่อมโยงจะถูกเชื่อมโยงโดยค่าถ่วงน้ำหนัก (Weight) คือ  $w_1, w_2, w_3, \dots, w_n$  สำหรับโครงข่ายประสาทโดยทั่วไปนั้นค่าถ่วงน้ำหนักนี้จะถูกคูณกับสัญญาณอินพุตเพื่อส่งออกไปยังโครงข่ายประสาทเทียมถัดไป จากนั้นค่าที่รับมาจากการคูณของค่าถ่วงน้ำหนักจะนำรวมกันแล้วนำค่าที่ได้มาผ่านฟังก์ชันการเร่งเร็ว (Activation function)



รูปที่ 4.3 โครงสร้างของโครงข่ายประสาทเทียมที่นำมาใช้ตรวจจับกระแสฮาร์โมนิก

เอกสารนี้เป็นเอกสารที่สงวนไว้สำหรับการใช้งานเพื่อการศึกษาเท่านั้น ไม่อนุญาตให้นำไปใช้ประโยชน์ด้านการค้า

ไม่ว่ากรณีใดๆทั้งสิ้น อีกทั้งห้ามมิให้ดัดแปลงเนื้อหา และต้องอ้างอิงถึงเจ้าของเอกสารทุกครั้งที่มีการนำไปใช้

โดยอินพุทที่รับเข้ามาจะได้มาจากอินพุทอ้างอิง ( $v_s$ ) และค่าที่หลังจากการผ่านการหน่วงของสัญญาณ ฟังก์ชันการเร่งเร้าที่ใช้ในโครงข่ายประสาทเทียมนี้ คือ ฟังก์ชันแบบเชิงเส้น จากสมการที่ (4.4) สามารถเขียนใหม่ได้เป็น

$$i_c(t) = i_L(t) - w \cdot v_s(t) \quad (4.5)$$

เมื่อ

$$w = I_L \cdot \cos \phi_L / V_s \quad (4.6)$$

โดยที่

$$\begin{aligned} \mathcal{E}(t) &= i_{Cr} = i_L - i_r \\ &= i_c + (i_p - i_r) \end{aligned} \quad (4.7)$$

ทำการยกกำลังสองทั้งสองข้าง

$$\mathcal{E}^2(t) = i_{Cr}^2 = i_c^2 + (i_p - i_r)^2 + 2i_c(i_p - i_r) \quad (4.8)$$

ถ้า  $i_c$  และ  $i_p$  ไม่มีความสัมพันธ์กัน โดยผลจาก orthogonal [15] ทางตรีโกณมิติจะได้

$$\begin{aligned} E[\mathcal{E}^2(t)] &= E[i_{Cr}^2] = E[i_c^2] + E[(i_p - i_r)^2] + E[2i_c(i_p - i_r)] \\ &= E[i_c^2] + E[(i_p - i_r)^2] \end{aligned} \quad (4.9)$$

เมื่อโครงข่ายประสาทเทียมจะต้องปรับตัวให้มี  $E[i_{Cr}^2]$  น้อยที่สุดจะมีค่าเป็น

$$E_{min}[i_{Cr}^2] = E[i_c^2] + E_{min}[(i_p - i_r)^2] \quad (4.10)$$

ดังนั้นเอาที่พหุของโครงข่ายประสาทเทียมจะได้ค่า  $i_c$  ที่ดีที่สุดจะต้อง

$$E[i_{Cr}^2] \approx E[i_c^2] \quad (4.11)$$

จากสมการที่ (4.11) จึงสรุปได้ว่าค่ากระแส  $i_{Cr}$  มีค่าประมาณกระแส  $i_c$  และหลักการในการเรียนรู้ของโครงข่ายประสาทเทียมใช้กระบวนการ LMS ซึ่งจะทำการปรับค่าถ่วงน้ำหนักของโครงข่ายประสาทให้มีค่าผิดพลาดที่น้อยที่สุดดังสมการ

$$\text{อินพุท} \quad : \quad x(k) = [v_s(k), v_s(k-1), \dots, v_s(k-m)]^T \quad (4.12)$$

$$\text{เอาท์พุท} \quad : \quad y(k) = \sum_{i=1}^n w_i(k) \cdot x_i(k) \quad (4.13)$$

$$\text{โดยที่} \quad w(k) = w(k-1) + \eta i_c(k-1) \cdot v_s(k-1) \quad (4.14)$$

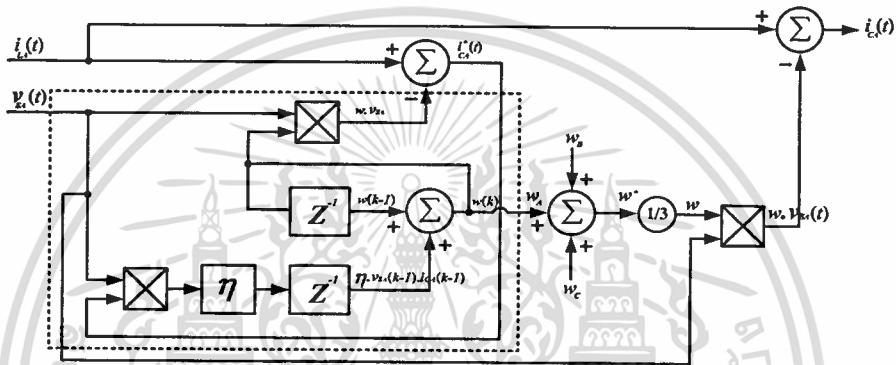
เมื่อ  $k$  คือ อันดับการหน่วงของเวลาในการสุ่มสัญญาณ

$w$  คือ ค่าถ่วงน้ำหนัก

$\eta$  คือ อัตราการเรียนรู้

การเลือกค่าอัตราการเรียนรู้เราจะออกแบบให้มีค่าอยู่ในช่วงตั้งแต่ 0.1 ถึง 1 เพราะว่าถ้าระบบมีอัตราการเรียนรู้ที่น้อยจะมีผลทำให้ระบบเข้าสู่ภาวะเสถียรภาพได้ช้า แต่ถ้าให้ระบบมีอัตราการเรียนรู้ที่มากเกินไปจะทำให้ระบบเกิดการไม่เสถียรภาพ ดังนั้นในการใช้งานเราจะต้องเลือกค่าอัตราการเรียนรู้ให้เหมาะสมกับงานนั้นๆ

$$0.1 < \eta < 1 \quad (4.15)$$



รูปที่ 4.4 โครงสร้างของการตรวจจับกระแสฮาร์โมนิกที่เฟส A

ในระบบแหล่งจ่ายกำลังแบบสามเฟสกรณีกระแส โหลดไม่สมดุล หรือ เกิดการผิดพลาดขึ้นในระบบ เราสามารถใช้หลักการอย่างง่ายๆสำหรับหาค่ากระแสฮาร์โมนิกในแต่ละเฟสของระบบ คือ สร้างระบบ โครงข่ายประสาทเทียมขึ้นมาโดยแต่ละเฟสจะทำการคำนวณหาค่ากระแสฮาร์โมนิกแยกกันในแต่ละเฟสตามปกติ เพียงแต่นำค่าถ่วงน้ำหนักที่คิดได้ในแต่ละเฟส  $w_A$ ,  $w_B$ ,  $w_C$  มาเฉลี่ยกันตามสมการที่ (4.16) ถึง (4.19) ตามลำดับ

$$i_{pA} = w \cdot v_{SA} \quad (4.16)$$

$$i_{pB} = w \cdot v_{SB} \quad (4.17)$$

$$i_{pC} = w \cdot v_{SC} \quad (4.18)$$

โดยที่

$$w = (w_A + w_B + w_C) / 3 \quad (4.19)$$

และกระแสที่ทำการชดเชยในแต่ละเฟสคือ

$$i_{CrA} = i_{LA} - i_{pA} \quad (4.20)$$

$$i_{CrB} = i_{LB} - i_{pB} \quad (4.21)$$

$$i_{CrC} = i_{LC} - i_{pC} \quad (4.22)$$

เมื่อเอกสารนี้เป็นเอกสารที่สงวนไว้สำหรับการใช้งานเพื่อการศึกษาเท่านั้น ไม่อนุญาตให้นำไปใช้ประโยชน์ด้านการค้า ไม่ว่าจะกรณีใดๆทั้งสิ้น อีกทั้งห้ามมิให้ตัดแปลงเนื้อหา และต้องอ้างอิงถึงเจ้าของเอกสารทุกครั้งที่มีการนำไปใช้

$$i_{pA} = w \cdot \sin(\omega t) \quad (4.23)$$

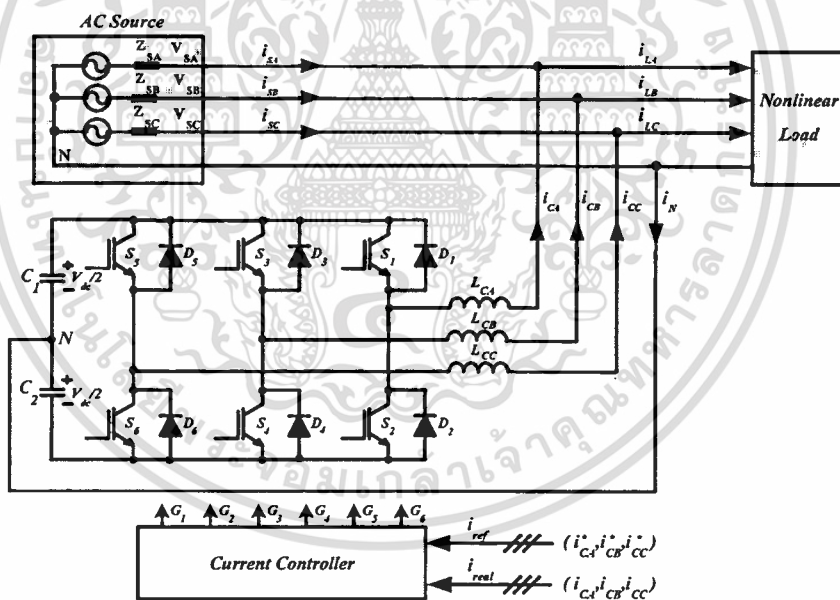
$$i_{pB} = w \cdot \sin(\omega t - 120^\circ) \quad (4.24)$$

$$i_{pC} = w \cdot \sin(\omega t - 240^\circ) \quad (4.25)$$

#### 4.4 หลักการทำงานของวงจรกรองกำลังแอกทีฟ

การทำงานของวงจรกรองกำลังแอกทีฟจะเกิดขึ้นเมื่ออุปกรณ์สวิตช์ซึ่งของวงจรอินเวอร์เตอร์เปลี่ยนสถานะสวิตช์และไดโอดจะถูกใช้เป็นส่วนควบคุมให้มีการถ่ายเทพลังงานระหว่างตัวเหนี่ยวนำและตัวเก็บประจุในรูปของการเปลี่ยนแปลงแรงดัน  $V_{dc}$  และกระแสชดเชย  $i_{cx}$  ตามลำดับ

โครงสร้างวงจรกำลังที่ใช้ในงานวิจัยนี้ประกอบไปด้วยอุปกรณ์ทำการสวิตช์ IGBT จำนวน 6 ตัว  $S_1, S_2, \dots, S_6$  ซึ่งสวิตช์  $(S_1, S_2), (S_3, S_4), (S_5, S_6)$  จะทำหน้าที่ในการควบคุมกระแสชดเชยเฟส A, เฟส B, เฟส C ตามลำดับ โดยจุดร่วมระหว่างตัวเก็บประจุ  $C_1$  และ  $C_2$  จะต่อไปยังสายนิวทรัลของระบบแสดงคังรูปที่ 4.5



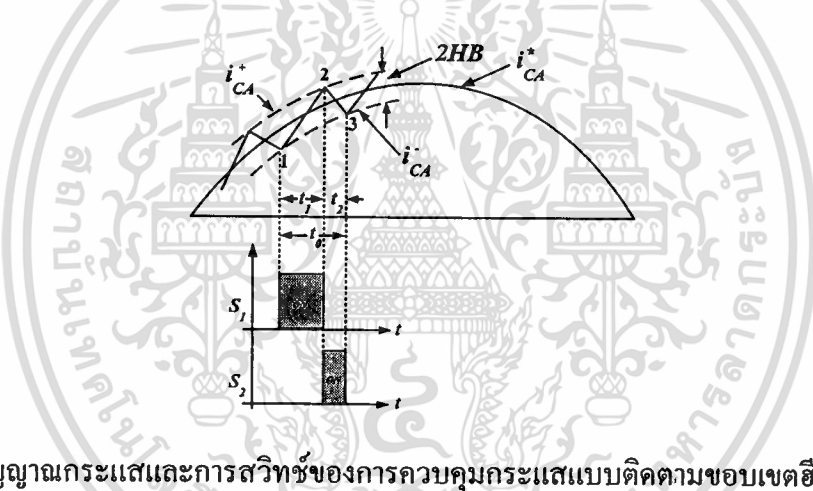
รูปที่ 4.5 โครงสร้างวงจรกำลังของวงจรกรองกำลังแอกทีฟ 3 เฟส 4 สาย ที่ใช้ในงานวิจัย

เทคนิคที่ใช้ควบคุมกระแสชดเชยของวงจรกำลังในงานวิจัยนี้จะใช้หลักการควบคุมกระแสที่ใช้โครงข่ายประสาทเทียมมาทำการเปรียบเทียบกับการควบคุมกระแสแบบติดตามขอบเขตฮิสเตอร์รีซีสแบบเดิม ซึ่งการควบคุมกระแสที่ใช้โครงข่ายประสาทเทียมคิดว่าการควบคุมกระแสแบบฮิสเตอร์รีซีสตรงที่มีการสูญเสียในการสวิตช์ที่น้อยกว่า โดยแสดงให้เห็นในหัวข้อการจำลองการทำงานของวงจรกรองกำลังแอกทีฟในส่วนท้ายสุดของบท

เอกสารนี้เป็นเอกสารที่สงวนไว้สำหรับการใช้งานเพื่อการศึกษาเท่านั้น ไม่อนุญาตให้นำไปใช้ประโยชน์ด้านการค้า ไม่ว่าจะกรณีใดๆทั้งสิ้น อีกทั้งห้ามมิให้คัดลอกเนื้อหา และต้องอ้างอิงถึงเจ้าของเอกสารทุกครั้งที่มีการนำไปใช้

#### 4.4.1 การวิเคราะห์เทคนิคการควบคุมกระแสแบบขอบเขตฮิสเตอร์รีซิส (Adaptive Hysteresis band current control)

การควบคุมกระแสที่ใช้เทคนิคการควบคุมกระแสแบบติดตามขอบเขตฮิสเตอร์รีซิสนั้นมีหลักการ คือ การนำสัญญาณอ้างอิง  $i_{CA}^*$  ที่ต้องการนำมาลบกับกระแสที่ตรวจวัดได้จริง ซึ่งจะได้สัญญาณผิดพลาด (error) แล้วจึงนำไปทำการเปรียบเทียบกับขอบเขตฮิสเตอร์รีซิส โดยเมื่อสัญญาณกระแสจริง  $i_{CA}$  มีค่ามากกว่าขอบเขตฮิสเตอร์รีซิสด้านบนสวิทช์  $S_2$  ทำงานส่วนสวิทช์  $S_1$  จะหยุดทำงานจึงเป็นผลให้กระแสมีความชันลดลง แต่ในทางกลับกันถ้ากระแสจริง  $i_{CA}$  มีค่าน้อยกว่าขอบเขตฮิสเตอร์รีซิสด้านล่างสวิทช์  $S_1$  ทำงานส่วนสวิทช์  $S_2$  จะหยุดทำงานแทน จากหลักการนี้จะกระทำซ้ำๆกันตามเงื่อนไขที่ได้กล่าวมา โดยรูปสัญญาณกระแสของการควบคุมกระแสแบบติดตามขอบเขตฮิสเตอร์รีซิส[16]สามารถแสดงได้ดังรูปที่ 4.6



รูปที่ 4.6 สัญญาณกระแสและการสวิทช์ของการควบคุมกระแสแบบติดตามขอบเขตฮิสเตอร์รีซิส

จากรูปที่ 4.6 พบว่าในการวิเคราะห์หลักการการทำงานของวิธีกควบคุมกระแสแบบติดตามขอบเขตฮิสเตอร์รีซิสจะมีอยู่สองสถานะ คือ เมื่อกระแส  $i_{CA}^+$  เดินทางจากจุดที่ 1 ไปยังจุดที่ 2 โดยกระแส  $i_{CA}$  จะวิ่งจากขอบเขตล่างไปหาขอบเขตบนจึงทำให้ความชันของกระแสเป็นบวกและจากจุดที่ 2 ไปยังจุดที่ 3 กระแส  $i_{CA}^-$  ซึ่งมีความชันเป็นลบ ดังนั้นในการวิเคราะห์จากรูปที่ 4.6 สามารถเขียนเป็นสมการที่เกิดจากการสวิทช์ที่เวลา  $t_1$  และ  $t_2$  เมื่อ  $S_1$  ทำงานและ  $S_2$  ไม่ทำงานที่เวลา  $t_1$

$$L \frac{di_{CA}^+}{dt} = V_{dc} \quad (4.26)$$

และเมื่อ  $S_2$  ทำงานและ  $S_1$  ไม่ทำงานที่เวลา  $t_2$

$$L \frac{di_{CA}^-}{dt} = -V_{dc} \quad (4.27)$$

เอกสารนี้เป็นเอกสารที่สงวนไว้สำหรับการใช้งานเพื่อการศึกษาเท่านั้น ไม่อนุญาตให้นำไปใช้ประโยชน์ด้านการค้า ไม่ว่ากรณีใดๆทั้งสิ้น อีกทั้งห้ามมิให้ตัดแปลงเนื้อหา และต้องอ้างอิงถึงเจ้าของเอกสารทุกครั้งที่มีการนำไปใช้

ดังนั้นเมื่อนำ  $t_1 + t_2$  จะได้

$$\frac{di_{CA}^+}{dt} + \frac{di_{CA}^-}{dt} = 0 \quad (4.28)$$

เมื่อ  $L$  คือ ตัวเหนี่ยวนำที่ต่ออยู่ระหว่างอินเวอร์เตอร์และแหล่งจ่าย

$i_a^+$  คือ กระแสขดเซยที่มีความชันเป็นบวกเมื่อกระแสเดินทางไปชนขอบเขตบน

$i_a^-$  คือ กระแสขดเซยที่มีความชันเป็นลบเมื่อกระแสเดินทางไปชนขอบเขตล่าง

$HB^+$  คือ ขอบเขตบนของฮิสเตอร์รีซิส

$HB^-$  คือ ขอบเขตล่างของฮิสเตอร์รีซิส

$i_{CA}^*$  คือ กระแสอ้างอิง

จากหลักการตรีโกณมิติในรูปที่ 4.6 สามารถเขียนสมการได้ดังนี้

$$\frac{di_{CA}^+}{dt} t_1 - \frac{di_{CA}^*}{dt} t_1 = 2HB \quad (4.29)$$

$$\frac{di_{CA}^-}{dt} t_2 - \frac{di_{CA}^*}{dt} t_2 = -2HB \quad (4.30)$$

$$t_1 + t_2 = T_C = \frac{1}{f_c} \quad (4.31)$$

เมื่อ  $t_1$  และ  $t_2$  คือ เวลาในการสวิตช์ของ IGBT แล้ว  $f_c$  คือ ความถี่สวิตช์ซึ่งเมื่อนำสมการที่ (4.29) และสมการที่ (4.30) มาบวกกันแล้วแทนในสมการ (4.31) สามารถเขียนเป็น

$$t_1 \frac{di_{CA}^+}{dt} + t_2 \frac{di_{CA}^-}{dt} - \frac{1}{f_c} \frac{di_{CA}^*}{dt} = 0 \quad (4.32)$$

แล้วนำสมการ (4.26) ลบกับสมการ (4.25) จะได้

$$t_1 \frac{di_{CA}^+}{dt} - t_2 \frac{di_{CA}^-}{dt} - (t_1 - t_2) \frac{di_{CA}^*}{dt} = 4HB \quad (4.33)$$

นำสมการ (4.24) แทนลงในสมการ (4.29) จะได้

$$(t_1 + t_2) \frac{di_{CA}^+}{dt} - (t_1 - t_2) \frac{di_{CA}^*}{dt} = 4HB$$

เอกสารนี้เป็นเอกสารที่สงวนไว้สำหรับการใช้งานเพื่อการศึกษาเท่านั้น ไม่อนุญาตให้นำไปใช้ประโยชน์ด้านการค้า  
ไม่ว่ากรณีใดๆทั้งสิ้น อีกทั้งห้ามมิให้ดัดแปลงเนื้อหา และต้องอ้างอิงถึงเจ้าของเอกสารทุกครั้งที่มีการนำไปใช้

$$\frac{1}{f_c} \frac{di_{CA}^+}{dt} - (t_1 - t_2) \frac{di_{CA}^*}{dt} = 4HB \quad (4.34)$$

เมื่อนำสมการ (4.21) แทนลงในสมการ (4.28) จะได้

$$t_1 - t_2 = \frac{\left( \frac{di_{CA}^*}{dt} \right)}{f_c \left( \frac{di_{CA}^+}{dt} \right)} \quad (4.35)$$

เมื่อนำสมการ (4.29) แทนในสมการ (4.30) จะได้

$$\frac{1}{f_c} \left[ \frac{di_{CA}^+}{dt} - \frac{\left( \frac{di_{CA}^*}{dt} \right)^2}{\frac{di_{CA}^+}{dt}} \right] = 4HB \quad (4.36)$$

เมื่อนำสมการ (4.22) แทนในสมการ (4.32) จะได้

$$\frac{0.25V_{dc}}{f_c L} \left[ 1 - \frac{4m^2 L^2}{V_{dc}^2} \right] = HB \quad (4.37)$$

ดังนั้น  $f_c$  มีค่าเท่ากับ

$$\frac{0.25V_{dc}}{(HB)L} \left[ 1 - \frac{4m^2 L^2}{V_{dc}^2} \right] = f_c \quad (4.38)$$

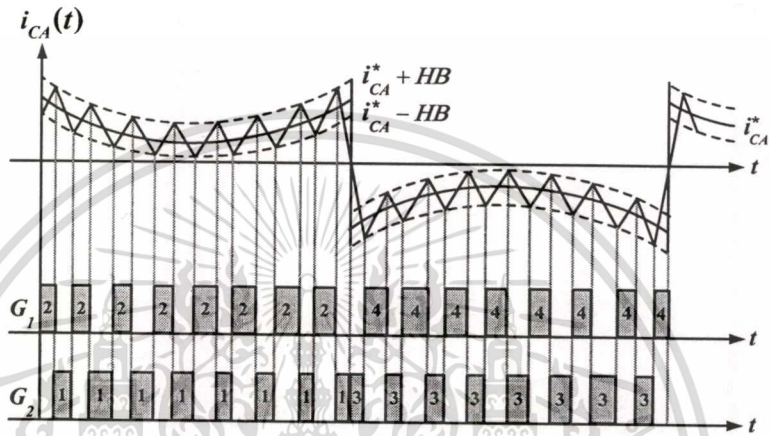
เมื่อกำหนดให้  $m = \frac{di_{CA}^*}{dt}$  คือ ความชันของกระแสอ้างอิง

จากสมการที่ (4.38) จะพบว่าขณะที่แรงดันตกคร่อมตัวเก็บประจุเป็นค่าคงที่ ดังนั้นความถี่ในการสวิตช์สูงสุดจะขึ้นอยู่กับขนาดของตัวเหนี่ยวนำและความกว้างขอบเขตฮิสเตอร์รีซิสต์ ถ้าการควบคุมกระแสแบบติดตามขอบเขตฮิสเตอร์รีซิสต์นี้มีขนาดของตัวเหนี่ยวนำและความกว้างขอบเขตฮิสเตอร์รีซิสต์มีค่าน้อยจะทำให้ความถี่ในการสวิตช์สูง ซึ่งในทางปฏิบัติไม่สามารถใช้ความถี่ในการสวิตช์สูงมากเพราะทำให้ความถี่ในการสวิตช์สูงเกินพิกัดของอุปกรณ์การสวิตช์ จึงทำให้อุปกรณ์การสวิตช์เสียหายได้ แต่ถ้าให้ขนาดของตัวเหนี่ยวนำและความกว้างขอบเขตฮิสเตอร์รีซิสต์มีค่ามาก การตอบสนองต่อการสร้างกระแสช้า ดังนั้นในการเลือกขนาดของตัวเหนี่ยวนำและความกว้างขอบเขตฮิสเตอร์รีซิสต์จะต้องเลือกให้เหมาะสม

เอกสารนี้เป็นเอกสารที่สงวนลิขสิทธิ์ไว้เพื่อใช้ในการเรียนการสอนเท่านั้น ไม่อนุญาตให้นำไปใช้ประโยชน์ด้านการค้า  
ไม่ว่ากรณีใดๆทั้งสิ้น อีกทั้งห้ามมิให้ดัดแปลงเนื้อหา และต้องอ้างอิงถึงเจ้าของเอกสารทุกครั้งที่มีการนำไปใช้

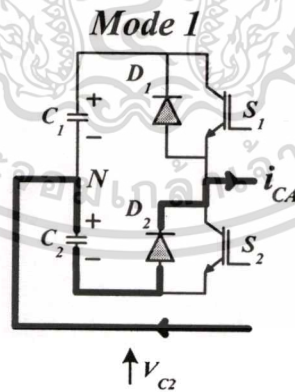
### 4.4.2 หลักการทำงานของโหมดการสวิตช์

จากรูปที่ 4.6 สามารถอธิบายหลักการทำงานของโหมดการควบคุมกระแสของสวิตช์ช่วงจรรองกำลัง แอคทีฟ โดยวงจรรองกำลังแอคทีฟนั้นจะทำการควบคุมการส่งถ่ายกำลังงานไฟฟ้าระหว่าง แหล่งจ่ายแรงดันกับอินเวอร์เตอร์ให้กระแสของอินเวอร์เตอร์  $i_{CA}$  มีมุมต่างเฟสกับแรงดันแหล่งจ่าย  $V_s$  เป็นมุม  $180^\circ$  รูปแบบการทำงานของสวิตช์แบ่งออกเป็น 4 โหมดการทำงานซึ่งสามารถ อธิบายการทำงานได้ดังรูปที่ 4.7



รูปที่ 4.7 รูปคลื่นกระแสของอินเวอร์เตอร์ตามสภาวะ โหมดการควบคุมของสวิตช์

#### 4.4.2.1 โหมดการทำงานที่ 1



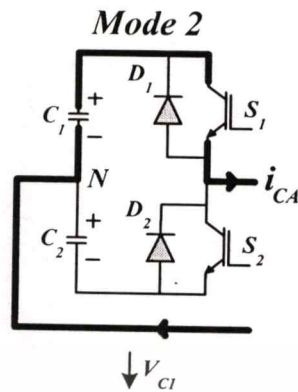
รูปที่ 4.8 การทำงานของสวิตช์ในโหมดการทำงานที่ 1

การทำงานในโหมดนี้จะทำงานในช่วงมุมของกระแส  $0^\circ$  ถึง  $180^\circ$  (ซีกบวก) ดังนั้นจะส่ง สัญญาณไปขับที่ขา  $G_2$  ของสวิตช์  $S_2$  ส่วนสวิตช์  $S_1$  จะไม่มีการส่งสัญญาณไปขับที่ขา  $G_1$  โดยที่  $V_s + V_L < V_{C1}$  จึงทำให้กระแส  $i_{CA}$  จะไหลจากตัวเก็บประจุ  $C_2$  ไปยังไดโอด  $D_1$  เป็นผลให้แรงดันที่ ตัวเก็บประจุ  $C_2$  มีค่าเพิ่มขึ้น เพราะฉะนั้นกระแสที่ไหลผ่านตัวเหนี่ยวนำ  $L$  มีอัตราการเปลี่ยนแปลง

เอกสารที่คัดลอก (di<sub>CA</sub>/dt < 0) สำหรับการใช้งานเพื่อการศึกษาเท่านั้น ไม่อนุญาตให้นำไปใช้ประโยชน์ด้านการค้า

ไม่ว่ากรณีใดๆทั้งสิ้น อีกทั้งห้ามมิให้ดัดแปลงเนื้อหา และต้องอ้างอิงถึงเจ้าของเอกสารทุกครั้งที่มีการนำไปใช้

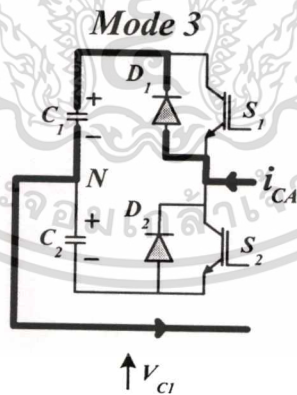
### 4.4.2.2 โหมดการทำงานที่ 2



รูปที่ 4.9 การทำงานของสวิตช์ในโหมดการทำงานที่ 2

การทำงานในโหมดนี้จะทำงานอยู่ในช่วงมุมของกระแส  $0^\circ$  ถึง  $180^\circ$  (ซีกบวก) ดังนั้นจะส่งสัญญาณไปขับที่ขา  $G_1$  ของสวิตช์  $S_1$  ส่วนสวิตช์  $S_2$  จะไม่มีการส่งสัญญาณไปขับที่ขา  $G_2$  โดยที่  $V_s + V_L < V_{CI}$  จึงทำให้กระแส  $i_{CA}$  จะไหลจากตัวเก็บประจุ  $C_1$  ไปยังสวิตช์  $S_1$  เป็นผลให้แรงดันที่ตัวเก็บประจุ  $C_1$  มีค่าลดลง เพราะฉะนั้นกระแสที่ไหลผ่านตัวเหนี่ยวนำ  $L$  มีอัตราการเปลี่ยนแปลงที่เพิ่มขึ้น ( $di_{CA}/dt > 0$ )

### 4.4.2.3 โหมดการทำงานที่ 3



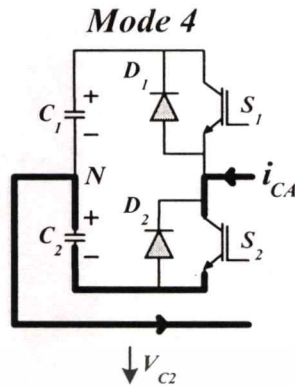
รูปที่ 4.10 การทำงานของสวิตช์ในโหมดการทำงานที่ 3

การทำงานในโหมดนี้จะทำงานอยู่ในช่วงมุมของกระแส  $180^\circ$  ถึง  $360^\circ$  (ซีกลบ) ดังนั้นจะส่งสัญญาณไปขับที่ขา  $G_1$  ของสวิตช์  $S_2$  ส่วนสวิตช์  $S_1$  จะไม่มีการส่งสัญญาณไปขับที่ขา  $G_2$  โดยที่  $V_s + V_L > V_{CI}$  จึงทำให้กระแส  $i_{CA}$  จะไหลจากไดโอด  $D_2$  ไปยังตัวเก็บประจุ  $C_2$  เป็นผลให้แรงดันที่ตัวเก็บประจุ  $C_2$  มีค่าเพิ่มขึ้น เพราะฉะนั้นกระแสที่ไหลผ่านตัวเหนี่ยวนำ  $L$  มีอัตราการเปลี่ยนแปลงที่เพิ่มขึ้น ( $di_{CA}/dt > 0$ )

เอกสารนี้เป็นเอกสารที่สงวนไว้สำหรับการใช้งานเพื่อการศึกษาเท่านั้น ไม่อนุญาตให้นำไปใช้ประโยชน์ด้านการค้า

ไม่ว่ากรณีใดๆทั้งสิ้น อีกทั้งห้ามมิให้คัดลอกเนื้อหา และต้องอ้างอิงถึงเจ้าของเอกสารทุกครั้งที่มีการนำไปใช้

#### 4.4.2.4 โหมดการทำงานที่ 4



รูปที่ 4.11 การทำงานของสวิตช์ในโหมดการทำงานที่ 4

การทำงานในโหมดนี้จะทำงานอยู่ในช่วงมุมของกระแส  $180^\circ$  ถึง  $360^\circ$  (ซีกลบ) ดังนั้นจะส่งสัญญาณไปขับที่ขา  $G_2$  ของสวิตช์  $S_2$  ส่วนสวิตช์  $S_1$  จะไม่มีการส่งสัญญาณไปขับที่ขา  $G_1$  โดยที่  $V_s + V_L > V_{C1}$  จึงทำให้กระแส  $i_{CA}$  จะไหลจากสวิตช์  $S_2$  ไปยังตัวเก็บประจุ  $C_2$  เป็นผลให้แรงดันที่ตัวเก็บประจุ  $C_2$  มีค่าลดลง เพราะฉะนั้นกระแสที่ไหลผ่านตัวเหนี่ยวนำ  $L$  มีอัตราการเปลี่ยนแปลงที่ลดลง ( $di_{CA}/dt < 0$ )

จากโหมดการทำงานของการสวิตช์ใน โหมดอินเวอร์เตอร์เราสามารถแบ่งออกเป็น 4 โหมดการทำงาน ซึ่งแต่ละโหมดการทำงานจะทำให้แรงดันที่ตัวเก็บประจุเกิดการเปลี่ยนแปลงเพิ่มขึ้นหรือลดลงขึ้นอยู่กับว่าในขณะนั้นวงจรมีการสวิตช์อยู่ในโหมดการทำงานใด โดยสามารถสรุปเงื่อนไขการเปลี่ยนแปลงแรงดันของตัวเก็บประจุได้ดังตารางที่ 4.1

ตารางที่ 4.1 เงื่อนไขการเปลี่ยนแปลงแรงดันของตัวเก็บประจุ

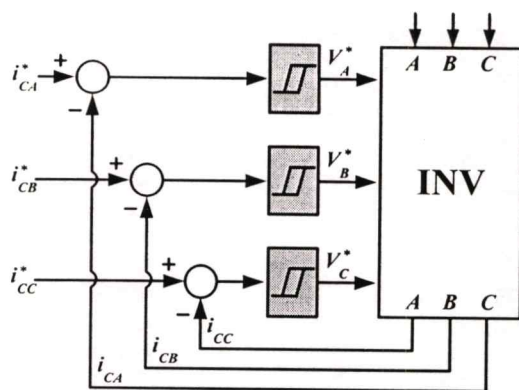
เงื่อนไข	การเปลี่ยนแปลงแรงดันของตัวเก็บประจุ
$i_{CA} > 0$ และ $di_{CA}/dt < 0$	ค่าแรงดัน $V_{C2}$ เพิ่มขึ้น
$i_{CA} < 0$ และ $di_{CA}/dt < 0$	ค่าแรงดัน $V_{C2}$ ลดลง
$i_{CA} < 0$ และ $di_{CA}/dt > 0$	ค่าแรงดัน $V_{C1}$ เพิ่มขึ้น
$i_{CA} > 0$ และ $di_{CA}/dt > 0$	ค่าแรงดัน $V_{C1}$ ลดลง

#### 4.5 การประยุกต์ใช้งานโครงข่ายประสาทเทียมกับวงจรควบคุมกระแส

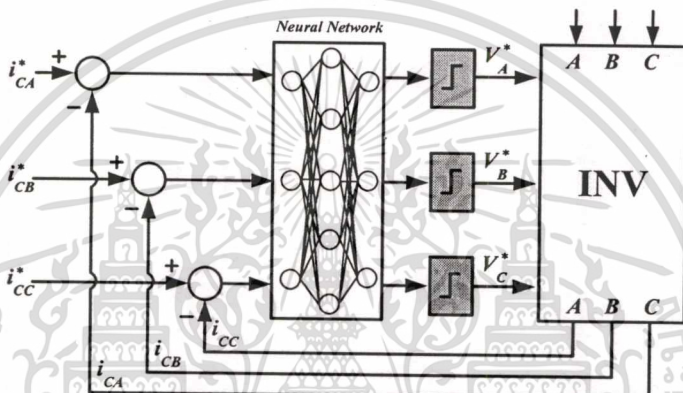
การนำโครงข่ายประสาทเทียมเข้ามาประยุกต์ใช้ในการควบคุมกระแสสำหรับงานวิจัยนี้ ยังคงใช้หลักการของการควบคุมกระแสด้วยวิธีขอบเขตฮิสเตอร์รีชีสเป็นพื้นฐานในการออกแบบ โดยการควบคุมกระแสที่ใช้ตัวเปรียบเทียบแบบฮิสเตอร์รีชีสและการควบคุมกระแสที่ใช้โครงข่าย

ประสาทเทียม [17] สามารถแสดงได้ดังรูปที่ 4.12(ก) และ 4.12(ข) ตามลำดับ

ไม่ว่ากรณีใดๆทั้งสิ้น อีกทั้งห้ามมิให้คัดแปลงเนื้อหา และต้องอ้างอิงถึงเจ้าของเอกสารทุกครั้งที่มีการนำไปใช้



(ก)

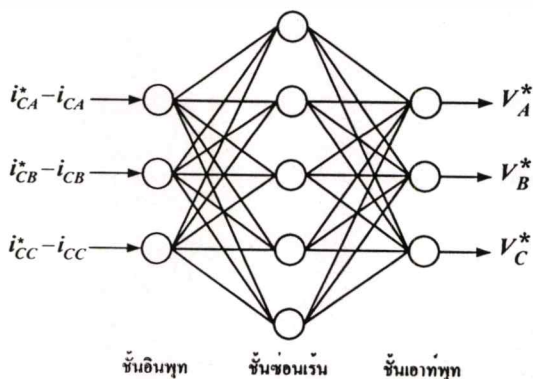


(ข)

รูปที่ 4.12 (ก) การควบคุมกระแสโดยใช้วิธีขอบเขตฮิสเตอร์รีซีต

(ข) การควบคุมกระแสโดยใช้วิธีโครงข่ายประสาทเทียม

โครงข่ายประสาทเทียมที่เลือกใช้ในงานวิจัยนี้เป็นโครงข่ายแบบป้อนไปข้างหน้า[18-19]ที่มีจำนวนชั้นอยู่ 3 ชั้น ประกอบไปด้วย ชั้นอินพุตที่มี 3 โหนด, ชั้นซ่อนเร้นที่มี 5 โหนด, ชั้นเอาต์พุตที่มี 3 โหนด แสดงดังรูปที่ 4.13 โดยให้ฟังก์ชันการเร่งเร้าเป็นแบบซิกมอยด์ไบนารี และมีการเรียนรู้แบบแพร่กลับ (Backpropagation Learning)



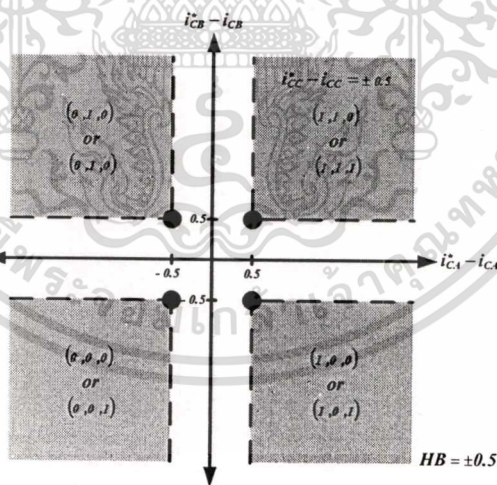
รูปที่ 4.13 โครงสร้างของโครงข่ายประสาทเทียมที่นำมาใช้กับวงจรควบคุมกระแส

ไม่ว่าการณีใดๆทั้งสิ้น อีกทั้งห้ามมิให้คัดแปลงเนื้อหา และต้องอ้างอิงถึงเจ้าของเอกสารทุกครั้งที่มีการนำไปใช้

เงื่อนไขการสอนโครงข่ายประสาทเทียมที่ใช้หลักของการควบคุมกระแสโดยวิธีติดตามขอบเขตฮิสเตอร์รีซีซีมีเงื่อนไขดังนี้

- กรณีที่ 1. ถ้า ( กระแสอ้างอิง – กระแสจริง ) > ค่าขอบเขตฮิสเตอร์รีซีซีด้านบน (สถานะเป็น '1')
- : สวิตช์กึ่งบน ( $S_7$  หรือ  $S_3$  หรือ  $S_5$ ) ของแต่ละเฟสไม่ทำงาน
  - : สวิตช์กึ่งล่าง ( $S_2$  หรือ  $S_4$  หรือ  $S_6$ ) ของแต่ละเฟสทำงาน
- กรณีที่ 2. ถ้า ( กระแสอ้างอิง – กระแสจริง ) < ค่าขอบเขตฮิสเตอร์รีซีซีด้านล่าง (สถานะเป็น '0')
- : สวิตช์กึ่งบน ( $S_7$  หรือ  $S_3$  หรือ  $S_5$ ) ของแต่ละเฟสทำงาน
  - : สวิตช์กึ่งล่าง ( $S_2$  หรือ  $S_4$  หรือ  $S_6$ ) ของแต่ละเฟสไม่ทำงาน
- กรณีที่ 3. ถ้า ( กระแสอ้างอิง – กระแสจริง ) อยู่ในช่วงขอบเขตฮิสเตอร์รีซีซี
- : สวิตช์ทุกตัวคงสถานะการทำงานเดิมไว้

โดยที่เงื่อนไขการสอนของโครงข่ายประสาทเทียมในการควบคุมกระแสจะพบว่ามีอยู่ 8 รูปแบบ ซึ่งสามารถเขียนเป็นแผนภาพ, ตารางของรูปแบบของอินพุตและสัญญาณที่ต้องการที่จะนำมาฝึกสอนโครงข่ายประสาทเทียมดังรูปที่ 4.14 และ 4.15 ตามลำดับ



รูปที่ 4.14 แผนภาพของรูปในการสอนของการควบคุมกระแสที่ใช้โครงข่ายประสาทเทียม

ตารางที่ 4.2 รูปแบบอินพุตและสัญญาณที่ต้องการที่ใช้ในการสอนโครงข่ายประสาทเทียม

รูปแบบอินพุต			รูปแบบเอาต์พุต		
$i_{CA}^* - i_{CA}$	$i_{CB}^* - i_{CB}$	$i_{CC}^* - i_{CC}$	$V_A^*$	$V_B^*$	$V_C^*$
0.5	0.5	0.5	1	1	1
0.5	0.5	-0.5	1	1	0
0.5	-0.5	0.5	1	0	1
0.5	-0.5	-0.5	1	0	0
-0.5	0.5	0.5	0	1	1
-0.5	0.5	-0.5	0	1	0
-0.5	-0.5	0.5	0	0	1
-0.5	-0.5	-0.5	0	0	0

สำหรับการสอนโครงข่ายประสาทเทียมที่ใช้วิธีแพร่ย้อนกลับในนี้ได้ใช้โปรแกรม Matlab เข้ามาช่วยในการสอนเพื่อหาค่าถ่วงน้ำหนักและค่าไบอัส ซึ่งใช้รูปแบบในการสอนโครงข่ายประสาทเทียมโดยมีรูปแบบอินพุตและสัญญาณที่ต้องการตามตารางที่ 4.2 และเขียนโปรแกรมไว้ดังภาคผนวก ข.

จากการสอนโครงข่ายประสาทเทียมด้วยโปรแกรม Matlab โดยกำหนดค่าความผิดพลาดของเอาต์พุตสำหรับการฝึกสอนให้มีค่าไม่เกิน 0.001 โดยฟังก์ชันการเร่งเร้าที่ใช้คือ “ ซิกมอยด์ ไบนารี ” ซึ่งจะได้ค่าถ่วงน้ำหนักและค่าไบอัสในชั้นต่างๆ ดังนี้

ค่าถ่วงน้ำหนัก :

$$\begin{array}{ll}
 v_{11} = 1.0655 & w_{11} = 2.6954 \\
 v_{21} = 3.3182 & w_{21} = -0.1768 \\
 v_{31} = 9.7590 & w_{31} = -9.1831 \\
 v_{12} = 3.0663 & w_{41} = -4.8092 \\
 v_{22} = -9.7246 & w_{51} = -6.4196 \\
 v_{32} = -1.6900 & w_{12} = 0.5793 \\
 v_{13} = 8.4370 & w_{22} = -8.8223 \\
 v_{23} = 6.0302 & w_{32} = 4.0854 \\
 v_{33} = -0.2576 & w_{42} = 3.2562
 \end{array}$$

เอกสารนี้เป็นเอกสารที่สงวนไว้สำหรับการใช้งานเพื่อการศึกษาเท่านั้น ไม่อนุญาตให้นำไปใช้ประโยชน์ด้านการค้า ไม่ว่าจะกรณีใดๆทั้งสิ้น อีกทั้งห้ามมิให้คัดแปลงเนื้อหา และต้องอ้างอิงถึงเจ้าของเอกสารทุกครั้งที่มีการนำไปใช้

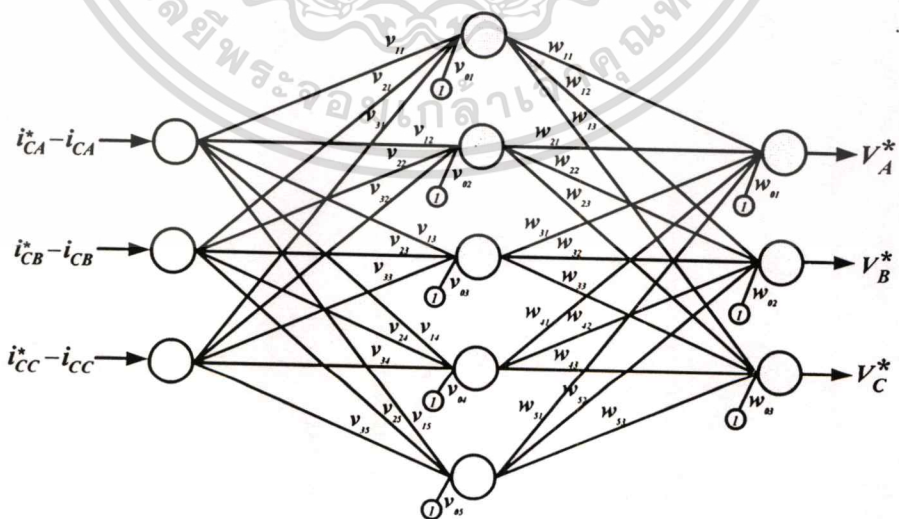
ค่าถ่วงน้ำหนัก (ต่อ) :

$v_{14} = -5.9241$	$w_{52} = 0.6252$
$v_{24} = 4.4607$	$w_{13} = 5.3768$
$v_{34} = -5.9341$	$w_{23} = -0.2512$
$v_{15} = -3.1142$	$w_{33} = -3.8054$
$v_{25} = 4.2341$	$w_{43} = -4.2034$
$v_{35} = 8.8564$	$w_{53} = 6.1852$

ค่าไบอัส :

$v_{01} = 0.4718$	$w_{01} = -0.2421$
$v_{02} = 0.1070$	$w_{02} = -0.1767$
$v_{03} = 0.3377$	$w_{03} = -1.7445$
$v_{04} = 0.1381$	
$v_{05} = 0.3691$	

ดังนั้นสามารถเขียนรูปโครงข่ายประสาทเทียมใหม่จากรูปที่ 4.12 โดยแทนค่าถ่วงน้ำหนักและค่าไบอัสที่หาได้จากรูปที่ 4.15

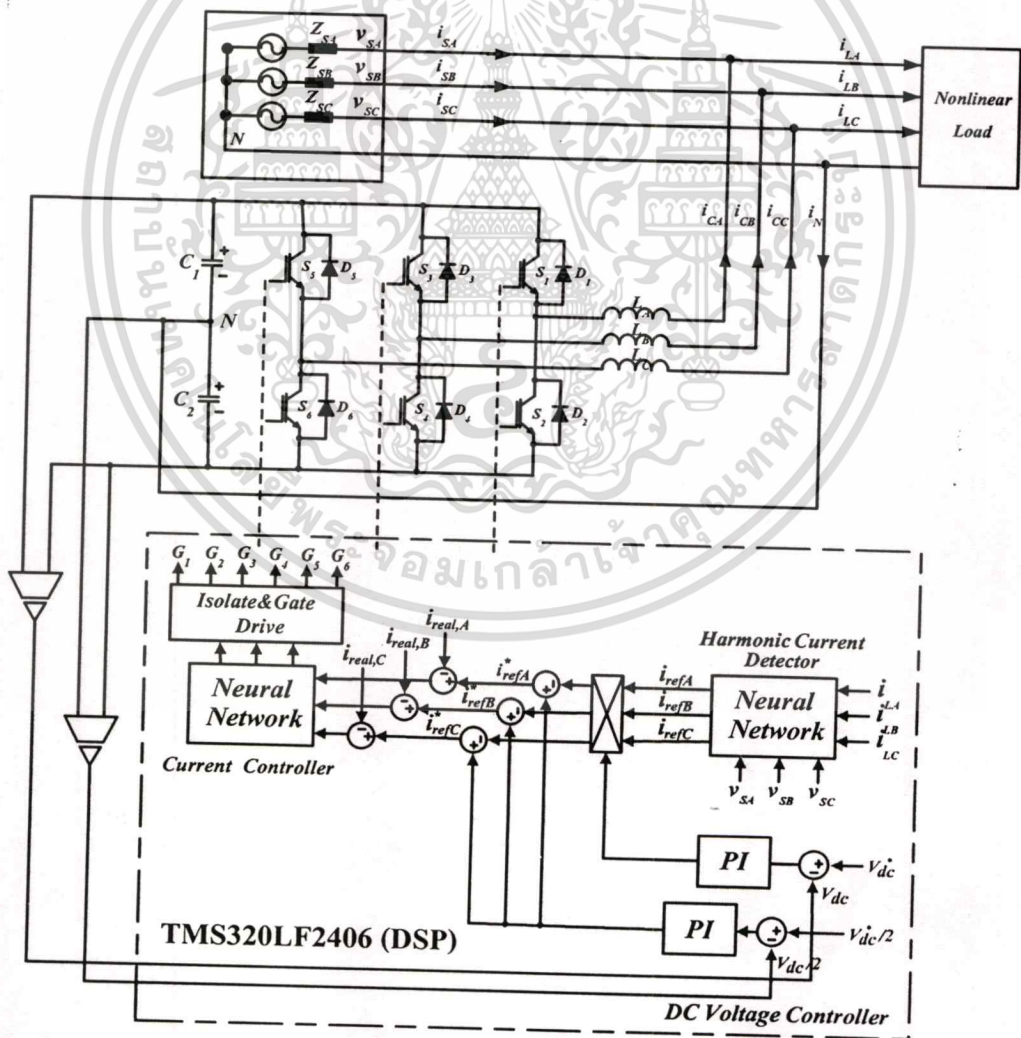


รูปที่ 4.15 โครงข่ายประสาทเทียมที่ได้หลังจากทำการฝึกสอนแล้ว

เอกสารนี้เป็นเอกสารที่สงวนไว้สำหรับการใช้งานเพื่อการศึกษาเท่านั้น ไม่อนุญาตให้นำไปใช้ประโยชน์ด้านการค้าไม่ว่ากรณีใดๆทั้งสิ้น อีกทั้งห้ามมิให้คัดแปลงเนื้อหา และต้องอ้างอิงถึงเจ้าของเอกสารทุกครั้งที่มีการนำไปใช้

### 4.6 การควบคุมระดับแรงดันเชื่อมต่อโยงไฟตรง และแรงดันจุดกึ่งกลางไฟตรงให้คงที่

การควบคุมระดับแรงดันไฟตรงของอินเวอร์เตอร์ที่ใช้ในระบบ 3 เฟส 4 สายนอกจากจะต้องควบคุมระดับแรงดันไฟตรงเชื่อมต่อโยงทั้งหมด ( $V_{dc} = V_{C1} + V_{C2}$ ) ให้มีค่าเป็นไปตามที่ต้องการแล้วยังต้องควบคุมระดับแรงดันตัวเก็บประจุทั้งกิ่งบน ( $V_{C1}$ ) และกิ่งล่าง ( $V_{C2}$ ) ให้มีค่าเท่ากันด้วย เนื่องจากถ้าเราไม่ทำการควบคุมให้ระดับแรงดันให้คงที่นั้นแรงดันของตัวเก็บประจุจะไม่คงที่และจะขึ้นอยู่กับภาระของวงจรกำลัง ถ้ากรณีที่เรไม่ทำการควบคุมแรงดันนี้อาจจะมีผลทำให้แรงดันที่ตัวเก็บประจุสูงเกินพิกัดแรงดันของตัวเก็บประจุจึงทำให้ตัวเก็บประจุเสียหายได้ แต่ในกรณีกลับกันถ้าเกิดแรงดันที่ตัวเก็บประจุมีค่าต่ำกว่าแรงดันขอด ( $V_p$ ) ของแหล่งจ่ายไฟ จะมีผลทำให้วงจรกรองกำลังแอคทีฟไม่สามารถจ่ายกระแสชดเชยได้ ดังนั้นเราจำเป็นต้องทำการออกแบบในการควบคุมระดับแรงดันไฟตรงให้คงที่ โดยโครงสร้างของวงจรกรองกำลังแอคทีฟแบบขนาน 3 เฟส 4 สาย ที่มีการรักษาระดับตรงแสดงได้ดังรูปที่ 4.16



รูปที่ 4.16 โครงสร้างของวงจรกรองกำลังแอคทีฟแบบขนาน 3 เฟส 4 สาย ที่มีการรักษาระดับ

แรงดันไฟตรง

เอกสารนี้เป็นเอกสารลิขสิทธิ์สงวนไว้สำหรับการใช้งานเพื่อการศึกษาเท่านั้น ไม่อนุญาตให้นำไปใช้ประโยชน์ด้านการค้า

ไม่ว่ากรณีใดๆทั้งสิ้น อีกทั้งห้ามมิให้ตัดแปลงเนื้อหา และต้องอ้างอิงถึงเจ้าของเอกสารทุกครั้งที่มีการนำไปใช้

#### 4.6.1 การควบคุมระดับแรงดันบัลไฟตรงเชื่อมโยงให้คงที่

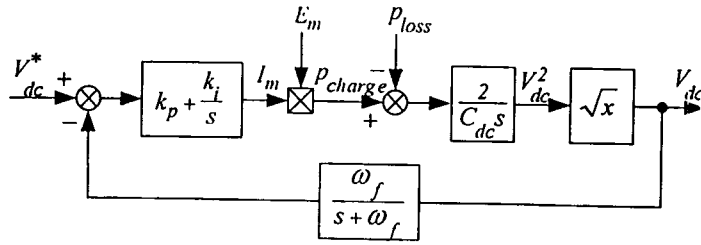
จากทฤษฎีกำลังงานรีแอกทีฟขณะใดๆจะพบว่ากำลังงานส่วนที่ทำให้เกิดกระแสฮาร์โมนิกนั้นจะเป็นองค์ประกอบไฟสลับ ดังนั้นค่ากำลังงานที่ไหลเข้าออกจากอินเวอร์เตอร์ของวงจรกรองแอกทีฟใน 1 คาบเวลาจึงมีค่าเป็นศูนย์ ด้วยเหตุนี้เองส่วนของอินเวอร์เตอร์ที่ใช้ในวงจรกรองกำลังแอกทีฟจึงไม่จำเป็นต้องมีวงจรเรียงกระแสเพื่อจ่ายกำลังงานให้กับตัวเก็บประจุไฟตรงเหมือนอินเวอร์เตอร์ทั่วไป อย่างไรก็ตามวงจรอินเวอร์เตอร์ในทางปฏิบัติจะมีกำลังสูญเสีย อันเนื่องมาจากสาเหตุต่างๆ เช่น กำลังสูญเสียจากการสวิตช์, กำลังสูญเสียขณะนำกระแสของสวิตช์กำลัง ฯลฯ จึงทำให้แรงดันไฟตรงที่ตัวเก็บประจุมักลดลงได้ ดังนั้นเราจึงมีความจำเป็นที่จะต้องดึงเอากำลังงานจากแหล่งจ่ายของการไฟฟ้าเข้ามาเพื่อทำการชดเชยกำลังที่สูญเสียไปและทำให้เราสามารถควบคุมแรงดันไฟตรงให้มีค่าเฉลี่ยคงที่และมีค่าสูงเพียงพอต่อการทำงานของอินเวอร์เตอร์ได้ โดยอินเวอร์เตอร์จะทำการสร้างแรงดันเพื่อให้วงจรกรองกำลังแอกทีฟสร้างกระแสที่มีความถี่มูลฐานที่มีเฟสเดียวกันกับแรงดันเพื่อที่จะดึงพลังงานเข้าสู่ระบบ พลังงานที่ถูกดึงเข้าสู่ระบบจะถูกนำไปสะสมในตัวเก็บประจุทำให้ค่าระดับแรงดันไฟตรงมีค่าสูงขึ้น ในขณะที่เดียวกันถ้าแรงดันไฟตรงมีค่าสูงกว่าค่าที่กำหนดวงจรกรองกำลังแอกทีฟจะสร้างกระแสที่มีความถี่มูลฐานที่มีเฟสตรงกันข้ามกับแรงดันเพื่อทำการจ่ายพลังงานออกไปจากอินเวอร์เตอร์ทำให้แรงดันไฟตรงมีค่าลดลง ดังนั้นเราสามารถเขียนโครงสร้างของวงจรกรองกำลังแอกทีฟที่มีส่วนการควบคุมแรงดันบัลไฟตรงได้ดังรูปที่ 4.16 โดยจะป้อนกลับค่าแรงดันบัลไฟตรง  $V_{dc}$  เปรียบเทียบกับค่าอ้างอิง  $V_{dc}^*$  และควบคุมผ่านตัวควบคุมพีไอ ซึ่งทำหน้าที่กำหนดค่ากระแสคำสั่งที่จำเป็นในการควบคุมแรงดัน แล้วนำค่าที่ได้จากตัวควบคุมพีไอนี้มาทำการคูณกับสัญญาณกระแสอ้างอิงฮาร์โมนิกในแต่ละเฟส ( $i_{refA}, i_{refB}, i_{refC}$ ) เพื่อเป็นกระแสอ้างอิงของส่วนตัวควบคุมกระแสต่อไป

การออกแบบตัวควบคุมพีไอจะเริ่มจากการเขียนแบบจำลองทางคณิตศาสตร์ของตัวเก็บประจุเป็นบล็อกไดอะแกรม เมื่อรวมกับบล็อกไดอะแกรมของส่วนควบคุมพีไอและวงจรกรองสัญญาณกระแสสามารถแสดงได้ดังรูปที่ 4.17 โดยการเขียนแบบจำลองทางคณิตศาสตร์ของตัวเก็บประจุเราจะอาศัยสมการพลังงาน[20]แสดงดังสมการ

$$P_{charge} - P_{loss} = E_m(t) i_{dc}(t) = V_{dc}(t) C_{dc} \frac{dV_{dc}(t)}{dt} = \frac{1}{2} C_{dc} \frac{dV_{dc}^2(t)}{dt} \quad (4.39)$$

- โดยที่  $P_{charge}$  คือ กำลังงานที่ไหลเข้าอินเวอร์เตอร์  
 $P_{loss}$  คือ กำลังงานสูญเสียต่างๆ ของอินเวอร์เตอร์  
 $i_{dc}$  คือ กระแสที่ไหลเข้าออกจากอินเวอร์เตอร์  
 $C_{dc}$  คือ ตัวเก็บประจุไฟตรง

เอกสารนี้เป็นเอกสารที่สอนในวิชา EEE311 คือ วิชาเทคนิคการคำนวณกำลังงานไฟฟ้าเท่านั้น ไม่อนุญาตให้นำไปใช้ประโยชน์ด้านการค้าไม่ว่ากรณีใดๆทั้งสิ้น อีกทั้งห้ามมิให้ดัดแปลงเนื้อหา และต้องอ้างอิงถึงเจ้าของเอกสารทุกครั้งที่มีการนำไปใช้



รูปที่ 4.17 บล็อกไดอะแกรมส่วนควบคุมแรงดันไฟตรงที่ใช้ในการออกแบบ

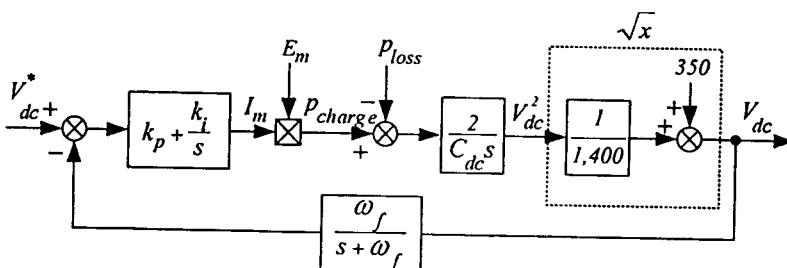
จากบล็อกไดอะแกรมจะพบว่ามีส่วนของการถอดรากที่สองซึ่งเป็นส่วนที่ไม่เชิงเส้น ทำให้เกิดความยุ่งยากในการออกแบบ ดังนั้นเราจึงจะทำการประมาณระบบให้อยู่ในรูปแบบที่เป็นเชิงเส้น (Linearization) ในช่วงการทำงานแคบๆ โดยจะใช้อนุกรมเทย์เลอร์ถึงอันดับที่ 1 ในการประมาณการถอดรากที่สองให้เป็นความสัมพันธ์เชิงเส้น ณ จุดทำงานที่  $\sqrt{x_0} = V_{dc} = 700$  V สามารถแสดงได้ดังนี้

$$\begin{aligned}
 y(x) = \sqrt{x} &= \sqrt{x_0 + \Delta x} \approx \sqrt{x_0} + \left. \frac{d\sqrt{x}}{dx} \right|_{x=x_0} \cdot \Delta x \\
 &\approx \sqrt{x_0} + \left. \frac{1}{2\sqrt{x}} \right|_{x=x_0} \cdot \Delta x \\
 &\approx \sqrt{x_0} + \frac{1}{2\sqrt{x}} \cdot (x - x_0)
 \end{aligned}
 \tag{4.40}$$

เมื่อแทนค่า  $\sqrt{x_0} = 700$  V ลงในสมการที่ (4.40) จะได้

$$\begin{aligned}
 y(x) &\approx 700 + \frac{1}{1,400} (x - 700^2) \\
 &\approx 350 + \frac{1}{1,400} x
 \end{aligned}
 \tag{4.41}$$

เมื่อประมาณเป็นเชิงเส้นแล้วสามารถเขียนเป็นบล็อกไดอะแกรมได้ดังรูปที่ 4.18 จากบล็อกไดอะแกรมสามารถเขียนฟังก์ชันโอนย้ายวงรอบเปิดได้ดังสมการ (4.42)

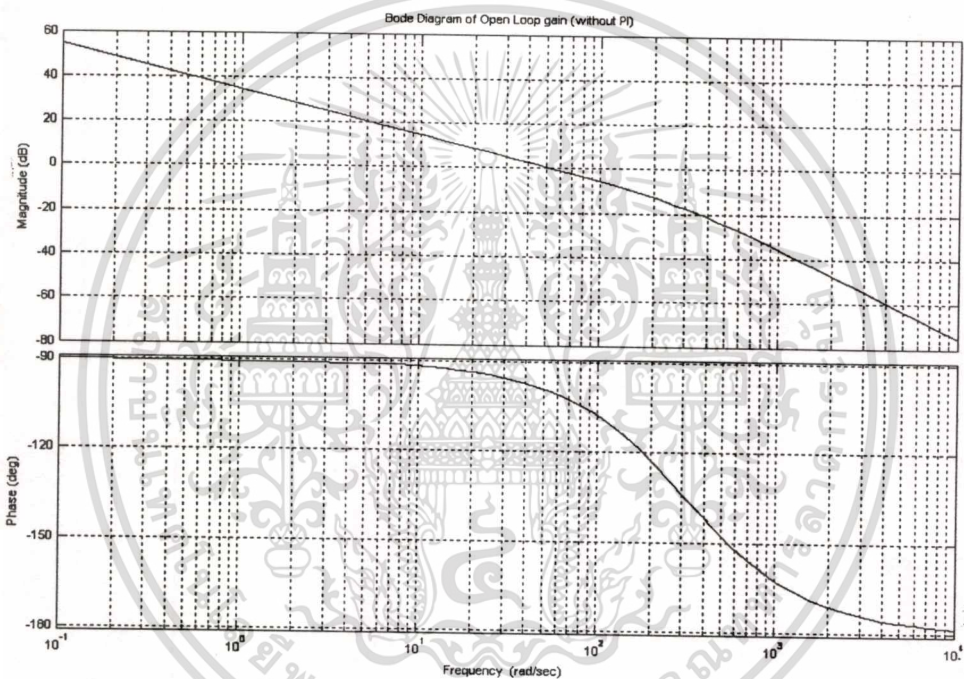


รูปที่ 4.18 บล็อกไดอะแกรมส่วนควบคุมระดับแรงดันไฟตรงหลังจากประมาณเป็นระบบเชิงเส้น

ในการหาค่า  $k_p$  และ  $k_i$  เราจะพิจารณาจากบล็อกไดอะแกรมของระบบตามรูปที่ 4.18 ซึ่งจากรูปเราจะได้ฟังก์ชันโอนย้ายวงรอบเปิดมีสมการเป็น

$$G_o(s) = \left( k_p + \frac{k_i}{s} \right) \times E_m \times \left( \frac{\omega_f}{s + \omega_f} \right) \times \left( \frac{I}{700 \cdot C_{dc} s} \right) \quad (4.42)$$

โดยที่ค่าตัวแปรต่างๆของระบบมีค่าเป็น  $C_{dc} = 10,000 \mu\text{F}$ ,  $E_m = 380 \text{ V}$ ,  $\omega_f = 100\pi \text{ rad/s}$  ซึ่งฟังก์ชันโอนย้ายวงรอบเปิดของระบบในขณะนี้ยังไม่รวมส่วนควบคุมพีไอ สามารถเขียนแผนภูมิโบเดได้ดังรูปที่ 4.19



รูปที่ 4.19 แผนภูมิโบเดของระบบเมื่อยังไม่รวมส่วนควบคุมพีไอ

เมื่อเราพิจารณาเรื่องความเร็วในการตอบสนองของระบบแล้วแล้วเราไม่ควรออกแบบให้ระบบควบคุมแรงดันไฟตรง ( $V_{dc}$ ) มีความเร็วในการตอบสนองถึงย่านความถี่ฮาร์โมนิกเพราะจะทำให้วงจรรอกำล้างแอกทีฟไม่สามารถชดเชยกระแสฮาร์โมนิกช่วงนั้นได้ ดังนั้นงานวิจัยนี้จึงเลือกความเร็วในการตอบสนองไว้ที่ประมาณ 2 วินาที โดยเลือกความถี่ตัดข้าม (cross over frequency) ที่  $\omega_0 = 12 \text{ rad/s}$  และเลือกความถี่หักมุมของตัวควบคุมพีไอ (cut off frequency =  $k_p/k_i$ ) ที่  $\omega_c = 2 \text{ rad/s}$  โดยฟังก์ชันโอนย้ายวงรอบปิดที่มีตัวควบคุมพีไอมีสมการเป็น

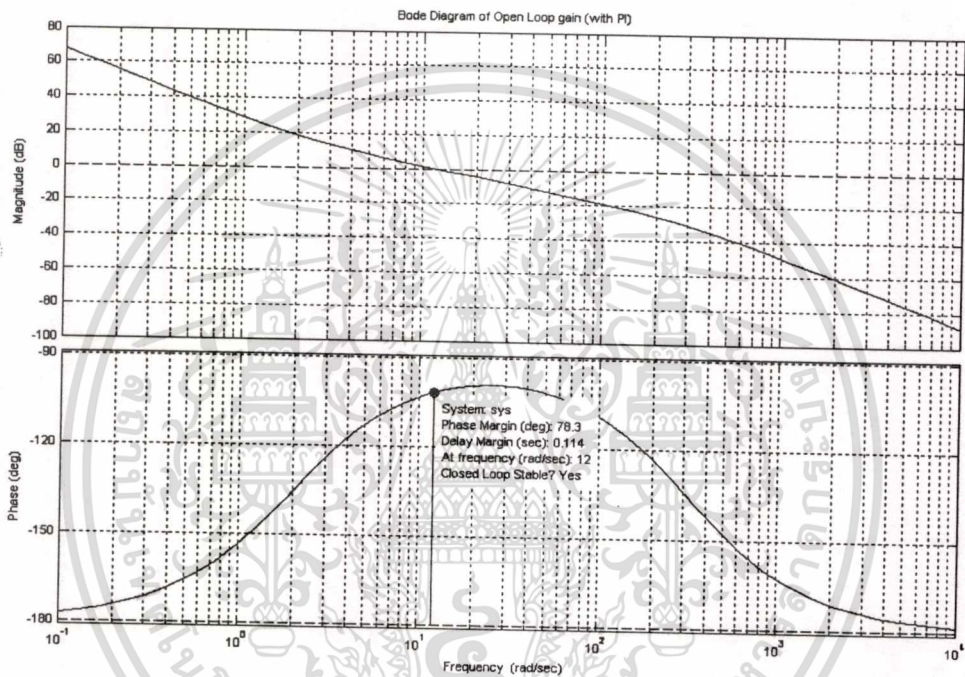
$$G_o(s) = \left( k_p + \frac{k_i}{s} \right) \times \left( \frac{17,054}{s(s+314.16)} \right) \quad (4.43)$$

เอกสารนี้เป็นเอกสารที่สงวนไว้สำหรับการใช้งานเพื่อการศึกษาเท่านั้น เมื่อนุญาตให้นำไปใช้ประโยชน์ด้านการค้าไม่ว่ากรณีใดๆทั้งสิ้น อีกทั้งห้ามมิให้ตัดแปลงเนื้อหา และต้องอ้างอิงถึงเจ้าของเอกสารทุกครั้งที่มีการนำไปใช้

เมื่อต้องการหาค่า  $k_p$  สามารถหาได้จากสมการที่ (4.43) โดยแทนค่า  $s = j\omega_0 = j12$  ที่ความถี่นี้จะมีเกณฑ์การขยายเท่ากับ 1 ดังนั้นสามารถเขียนได้เป็น

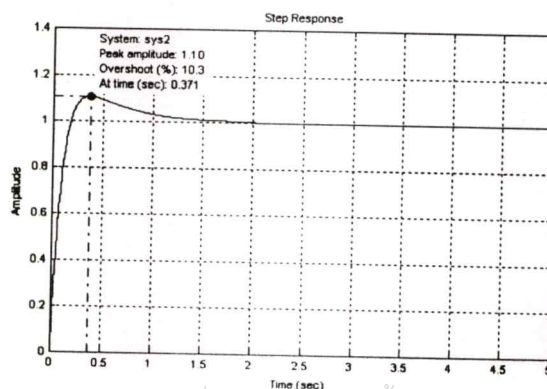
$$|G_o(j\omega_0)| = \left| \left( k_p + \frac{2k_p}{j12} \right) \times \left( \frac{17,054}{(j12)(j12 + 314.16)} \right) \right| = 1 \quad (4.44)$$

ซึ่งจะได้ค่า  $k_p = 0.21815$  และ  $k_i = 0.43631$  เมื่อทำการเขียนแผนภาพโบเดจะได้ดังรูปที่ 4.20 และพบว่าระบบมีช่วงปลอดภัยเชิงเฟสของระบบ (Phase Margin) มีค่าเท่ากับ  $78.3^\circ$



รูปที่ 4.20 ช่วงปลอดภัยเชิงอัตราขยายและช่วงปลอดภัยเชิงเฟสของระบบควบคุมแรงดันไฟตรง

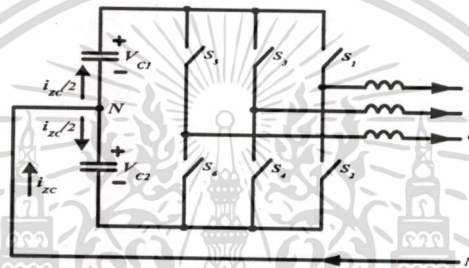
โดยผลการตอบสนองของระบบปิดที่มีการทดสอบด้วยสัญญาณยูนิตสเต็ปจะพบว่ามีการตอบสนองที่เวลา 2 วินาที ซึ่งเป็นไปตามที่ได้ออกแบบไว้ และมีค่าเปอร์เซ็นต์การโอเวอร์ชูตอยู่ที่ประมาณ 10 เปอร์เซ็นต์ ซึ่งเป็นค่าที่ยอมรับได้ในการใช้งาน แสดงได้ดังรูปที่ 4.21



เอกสารนี้เป็นเอกสารที่สงวนไว้สำหรับการใช้งานเพื่อการศึกษาเท่านั้น ไม่อนุญาตให้นำไปใช้ประโยชน์ด้านการค้า  
รูปที่ 4.21 ผลการตอบสนองของระบบการรักษาดำเนินการไฟตรงที่มีสัญญาณอินพุตเป็นสัญญาณยูนิตสเต็ป  
ไม่ว่ากรณีใดๆทั้งสิ้น อีกทั้งห้ามมิให้คัดลอกเนื้อหา และต้องอ้างอิงถึงเจ้าของเอกสารที่สงวนไว้

#### 4.6.2 การควบคุมระดับแรงดันจุดกึ่งกลางไฟตรง

ในการใช้งานวงจรกรองกำลังแอคทีฟในระบบไฟฟ้า 3 เฟส 4 สาย ที่มีสายนิวทรัลอยู่กึ่งกลางไฟตรง มีความเป็นไปได้ที่แรงดันตกคร่อมตัวเก็บประจุตัวบนและตัวล่างอาจมีค่าแรงดันต่างกันมากโดยเกิดจากการที่กระแสที่สายนิวทรัลไม่มีการควบคุม ดังนั้นเราจึงจำเป็นต้องทำการควบคุมแรงดันที่จุดกึ่งกลางไฟตรงนี้ โดยทำการควบคุมไหลของกระแสที่อยู่ในสายนิวทรัลและกำหนดให้เป็นกระแสซีเคเวนซ์ศูนย์  $i_{zc}$  ที่ไหลเข้ากึ่งกลางไฟตรง ซึ่งกระแสนี้จะแยกไหลออกเป็น 2 ส่วนคือ ที่ตัวเก็บประจุตัวบนกับที่ตัวเก็บประจุตัวล่างแสดงดังรูปที่ 4.22



รูปที่ 4.22 การไหลของกระแสซีเคเวนซ์ศูนย์เพื่อควบคุมแรงดันจุดกึ่งกลางไฟตรง

จากรูปที่ 4.23 จะพบว่า

$$V_{C1} + V_{C2} = V_{dc} \quad (4.45)$$

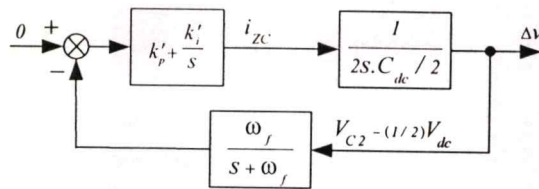
ถ้ากระแส  $i_{zc}$  ไหลเข้าดังรูป 4.22 จะทำให้แรงดัน  $V_{C2}$  เพิ่มขึ้นและแรงดันจุดกึ่งกลางไฟตรง  $V_{C1}$  จะลดลง

$$V_{C1} = V_{C1} + \Delta v \quad (4.46)$$

$$V_{C2} = V_{C2} + \Delta v \quad (4.47)$$

$$\Delta v = \frac{1}{C} \int \frac{i_{zc}}{2} dt \quad (4.48)$$

จากสมการ (4.48) เมื่อเขียนบล็อกไดอะแกรมของการควบคุมแรงดันจุดกึ่งกลางไฟตรง จะได้ดังรูปที่ 4.23



รูปที่ 4.23 บล็อกไดอะแกรมของการควบคุมแรงดันจุดกึ่งกลางไฟตรง

โดยที่

$V_{dc/2}$  คือ แรงดันที่จุดกึ่งกลางไฟตรง

$(1/2)V_{dc}$  คือ ค่าครึ่งหนึ่งของแรงดันไฟตรง

เมื่อพิจารณาในเรื่องความเร็วในการตอบสนองของการควบคุมแรงดันที่จุดกึ่งกลางไฟตรง เรามีควรวอกแบบให้มีค่าเวลาในการตอบสนองที่เร็วเกินไป เพราะจะทำให้การจ่ายกระแสซีแควนซ์ศูนย์เพื่อทำการควบคุมแรงดันจุดกึ่งกลางไฟตรงเปลี่ยนค่าเร็วเกินไป และทำให้แรงดันที่สร้างโดยวงจรกรองกำลังแอกทีฟมีค่าแกว่งเร็วตามไปด้วย โดยในงานวิจัยนี้เราจึงเลือกค่าความเร็วในการตอบสนองประมาณ 1 วินาที โดยการเลือกความถี่ตัดข้ามของฟังก์ชัน โอนย้ายวงรอบปิด  $\omega'_0 = 24 \text{ rad/s}$  และเลือกค่าความถี่หักมุมของตัวควบคุมพีไอ  $\omega'_c = 4 \text{ rad/s}$  ซึ่งเป็นค่าที่ทำให้ช่วงปลอดภัยเชิงเฟสเพียงพอในการควบคุม

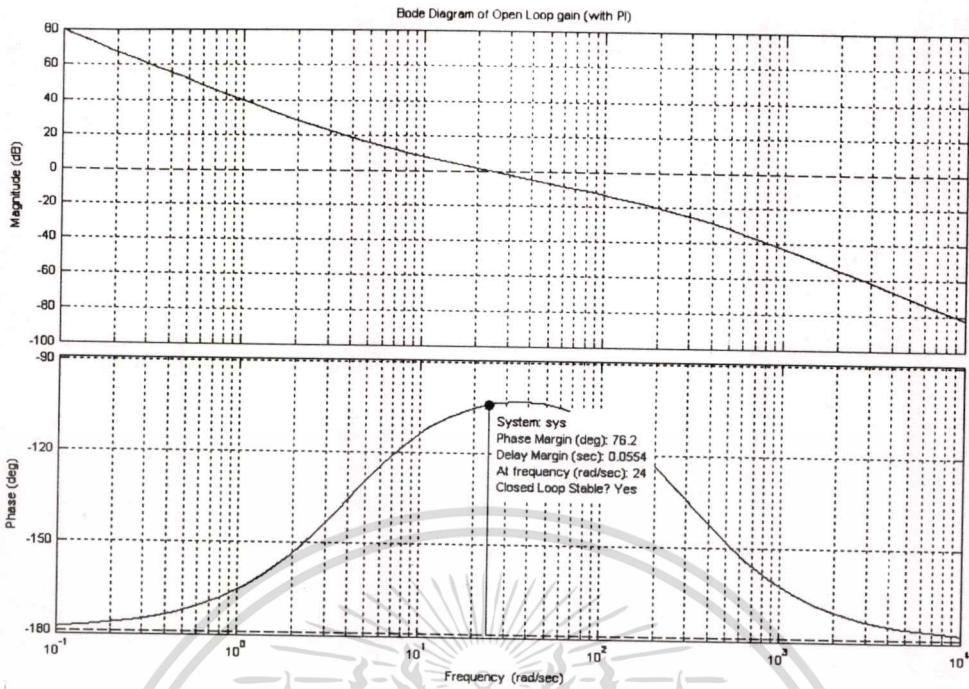
การหาค่า  $k'_p$  และ  $k'_i$  เราจะพิจารณาจาก โครงสร้างของระบบดังรูปที่ 4.23 จะได้ฟังก์ชันการโอนย้ายวงรอบปิดได้ดังสมการ

$$G_I(s) = \left( k'_p + \frac{k'_i}{s} \right) \times \left( \frac{\omega_f}{s + \omega_f} \right) \times \left( \frac{I}{2s \cdot (C_{dc} / 2)} \right) \quad (4.49)$$

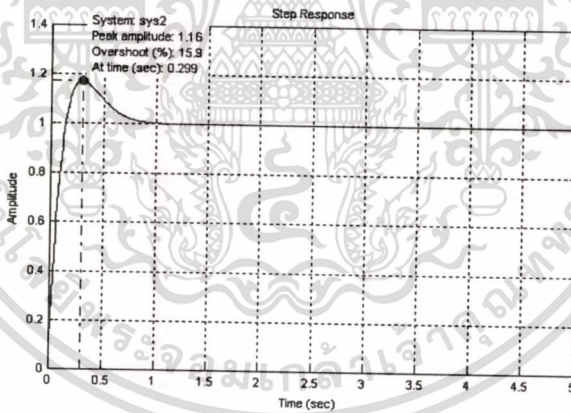
และที่จุดความถี่ตัดข้าม  $\omega_0$  จะได้ความสัมพันธ์ที่ว่า

$$\left| G_I(j\omega'_0) \right| = 1 \quad (4.50)$$

จากค่า  $k'_p = 0.11671$  และ  $k'_i = 0.47484$  ที่ได้เมื่อทำการเขียนแผนภูมิโบเดของฟังก์ชัน โอนย้ายวงรอบปิดดังรูปที่ 4.24 จะสามารถหาค่าช่วงปลอดภัยเชิงอัตราขยายและช่วงปลอดภัยเชิงเฟสเป็น  $76.2^\circ$  โดยผลการตอบสนองของระบบที่มีสัญญาณอินพุทเป็นสัญญาณยูนิตสแควร์ซึ่งมีผลการตอบสนองดังที่ได้ออกแบบไว้สามารถแสดงได้ดังรูปที่ 4.24 และรูปที่ 4.25 ตามลำดับ



รูปที่ 4.24 ช่วงปลอดภัยเชิงอัตราขยายและช่วงปลอดภัยเชิงเฟสของระบบควบคุมแรงดันที่จุดกึ่งกลางไฟตรง



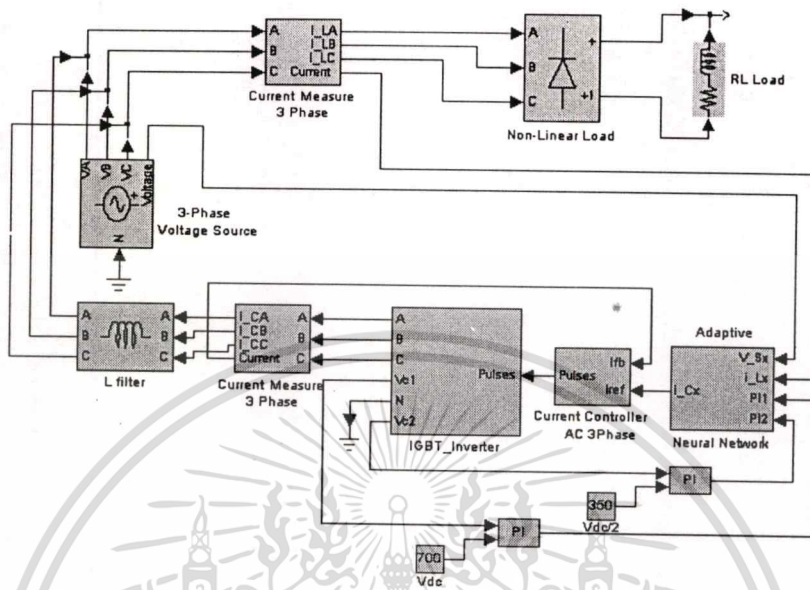
รูปที่ 4.25 ผลการตอบสนองของระบบการรักษาระดับไฟตรงจุดกึ่งกลางที่มีสัญญาณอินพุทเป็นสัญญาณยูนิตสเต็ป

4.7 ผลการจำลองการทำงาน

การจำลองของวงจรรอกำลังไฟฟ้าแอกทีฟ 3 เฟส 4 สาย แบบขนานที่ใช้การตรวจจับกระแสด้วยทฤษฎีโครงข่ายประสาทเทียมสำหรับงานวิจัยนี้ จะเป็นการจำลองโดยใช้โปรแกรม Matlab & Simulink เพื่อที่จะทำการศึกษาลักษณะการทำงานและจึงนำไปใช้ในการออกแบบวงจรจริง ซึ่งมีตัวแปร  $v_s$  (line-neutral) = 220 โวลต์,  $V_{dc}$  = 700 โวลต์,  $C_1 = C_2$  = 20,000 ไมโครฟารัด,  $L_c$  = 8.5 มิลลิเฮนรี่,  $L_s$  = 0.25 มิลลิเฮนรี่,  $R_c$  = 0.1 โอห์ม,  $R_s$  = 0.05 โอห์ม ที่มีโหลดเป็นวงจรไดโอดเรียงกระแส

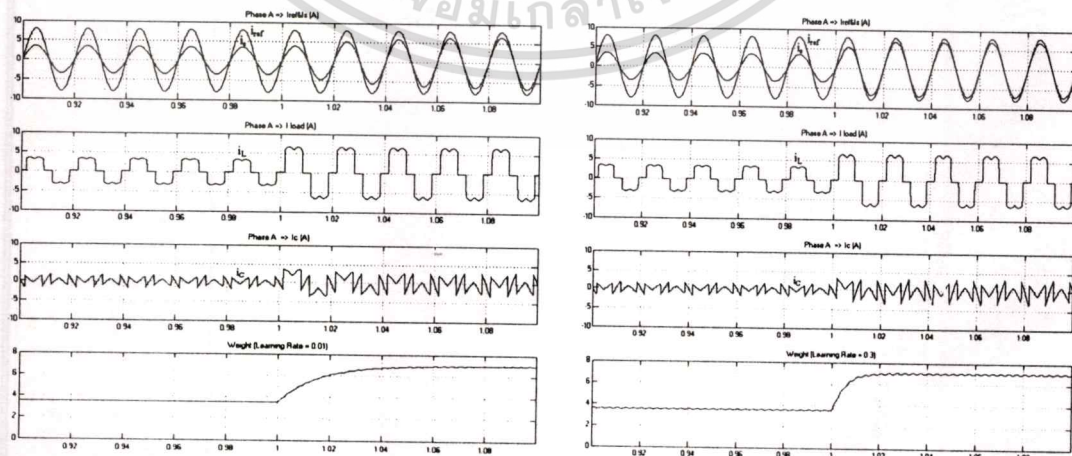
เอกสารนี้เป็นเอกสารที่สงวนไว้สำหรับใช้ภายในเพื่อการศึกษาเท่านั้น มิใช่เพื่อเผยแพร่หรือใช้โดยบุคคลอื่นใด  
ไม่ว่ากรณีใดๆทั้งสิ้น อีกทั้งห้ามมิให้ตัดแปลงเนื้อหา และต้องอ้างอิงถึงเจ้าของเอกสารทุกครั้งที่มีการนำไปใช้

สามเฟสชนิดเต็มคลื่นขนาด 3 kVA โดยรูปแบบที่ใช้ในการจำลองการทำงานของวงจรกำลัง แอคทีฟแสดงได้ดังรูปที่ 4.26



รูปที่ 4.26 รูปแบบของวงจรกรองกำลังไฟฟ้าแอคทีฟแบบขนานที่ใช้ในการจำลองการทำงานด้วยโปรแกรม Matlab & Simulink

จากรูปที่ 4.26 ได้ทำการจำลองการทำงานของวงจรตรวจสอบกระแสฮาร์โมนิกที่ใช้โครงข่ายประสาทเทียมโดยการจำลองนั้นได้กำหนดค่าอัตราการเรียนรู้ ( learning rate ) ไว้ต่างกันจำนวน 3 ค่า คือ 0.01, 0.3, 1.2 แล้วทำการเปลี่ยนแปลงโหลดอย่างฉับพลันจาก 1.5 kVA ไปเป็น 3 kVA ที่เวลา 1 วินาที



(ก) อัตราการเรียนรู้ 0.01

(ข) อัตราการเรียนรู้ 0.3

เอกสารนี้เป็นเอกสารที่สงวนไว้สำหรับการใช้งานเพื่อการศึกษาเท่านั้น ไม่อนุญาตให้นำไปใช้ประโยชน์ด้านการค้าไม่ว่ากรณีใดๆทั้งสิ้น อีกทั้งห้ามมิให้ตัดแปลงเนื้อหา และต้องอ้างอิงถึงเจ้าของเอกสารทุกครั้งที่มีการนำไปใช้

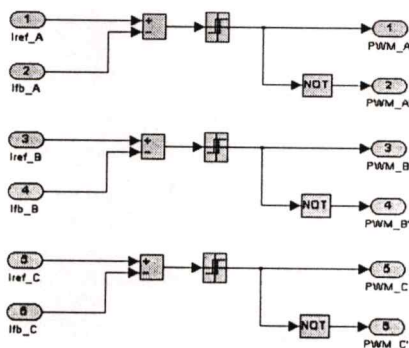


(ค) อัตราการเรียนรู้ 1.2

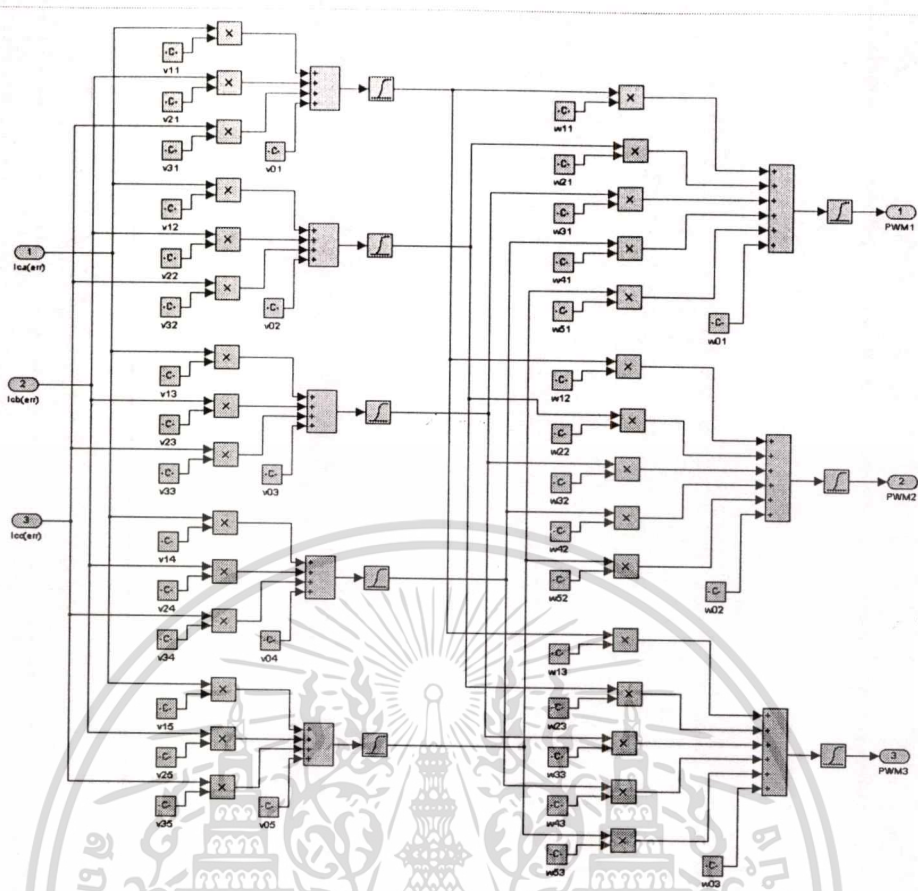
**รูปที่ 4.27** ผลการจำลองการทำงานในส่วนของการตรวจจับกระแสอาร์โมนิกที่ใช้โครงข่ายประสาทเทียมของวงจรรอกำลังแอกทีฟที่มีอัตราการเรียนรู้ต่างกัน แล้วทำการเพิ่มโหลดที่เวลา 1 วินาที

จากผลการจำลองการทำงานพบว่าการที่ให้ค่าอัตราเรียนรู้มาก จะทำให้ผลการตอบสนองต่อการเปลี่ยนแปลงของกระแสโหลดรวดเร็ว (ใช้เวลา 10 มิลลิวินาทีในการเข้าสู่สถานะอยู่ตัว) แต่ระบบจะไม่เสถียรภาพจึงทำให้สัญญาณที่ทำการชดเชยกระแสอาร์โมนิกนั้นผิดเพี้ยนไป ถ้าในกรณีที่อัตราเรียนรู้มีค่าน้อยเกินไปจะทำให้ผลการตอบสนองต่อการเปลี่ยนแปลงของกระแสโหลดช้า (ใช้เวลา 60 มิลลิวินาทีในการเข้าสู่สถานะอยู่ตัว) เพราะฉะนั้นเราจึงต้องกำหนดค่าของอัตราการเรียนรู้ให้เหมาะสมกับการใช้งาน ซึ่งอัตราการเรียนรู้ที่เลือกใช้ในงานวิจัยนี้ คือ 0.3

การจำลองการทำงานขั้นต่อมาทำการจำลองการทำงานของวงจรรอกำลังแอกทีฟแบบขนานที่ใช้ตัวควบคุมกระแสต่างกัน โดยงานวิจัยนี้ได้ทำการเปรียบเทียบตัวควบคุมกระแส 2 แบบ คือ ตัวควบคุมกระแสแบบติดตามขอบเขตฮิสเตอร์รีซีส และตัวควบคุมกระแสแบบโครงข่ายประสาทเทียม โมเดลการจำลองการทำงานของตัวควบคุมกระแสทั้งสองแบบสามารถแสดงได้ดังรูปที่ 4.28 (ก) และรูปที่ 4.28 (ข) ตามลำดับ



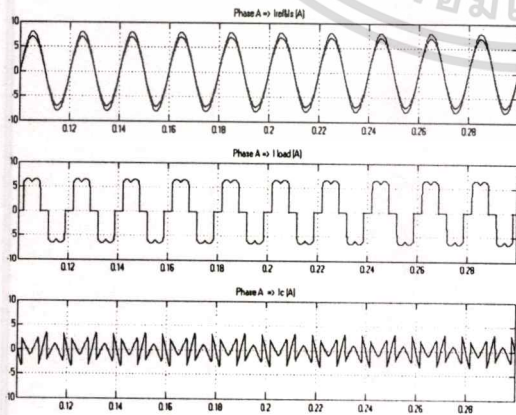
เอกสารนี้เป็นเอกสารที่สงวนไว้ซึ่งลิขสิทธิ์และสงวนลิขสิทธิ์ไว้ก่อนจะนำไปใช้ประโยชน์ด้านการค้า (ก) ตัวควบคุมกระแสแบบติดตามขอบเขตฮิสเตอร์รีซีส  
ไม่ว่ากรณีใดๆทั้งสิ้น อีกทั้งห้ามมิให้ตัดแปลงเนื้อหา และต้องอ้างอิงถึงเจ้าของเอกสารทุกครั้งที่มีการนำไปใช้



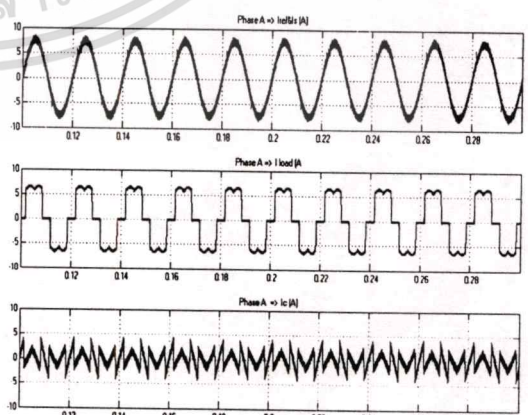
(ข) ตัวควบคุมกระแสแบบ โครงข่ายประสาทเทียม

รูปที่ 4.28 โมเดลการจำลองการทำงานของตัวควบคุมกระแส

จากผลการจำลองการทำงานของตัวควบคุมกระแสทั้งสองแบบในช่วงสภาวะคงตัวสามารถแสดงได้ดังรูปที่ 4.29 และ รูปที่ 4.30

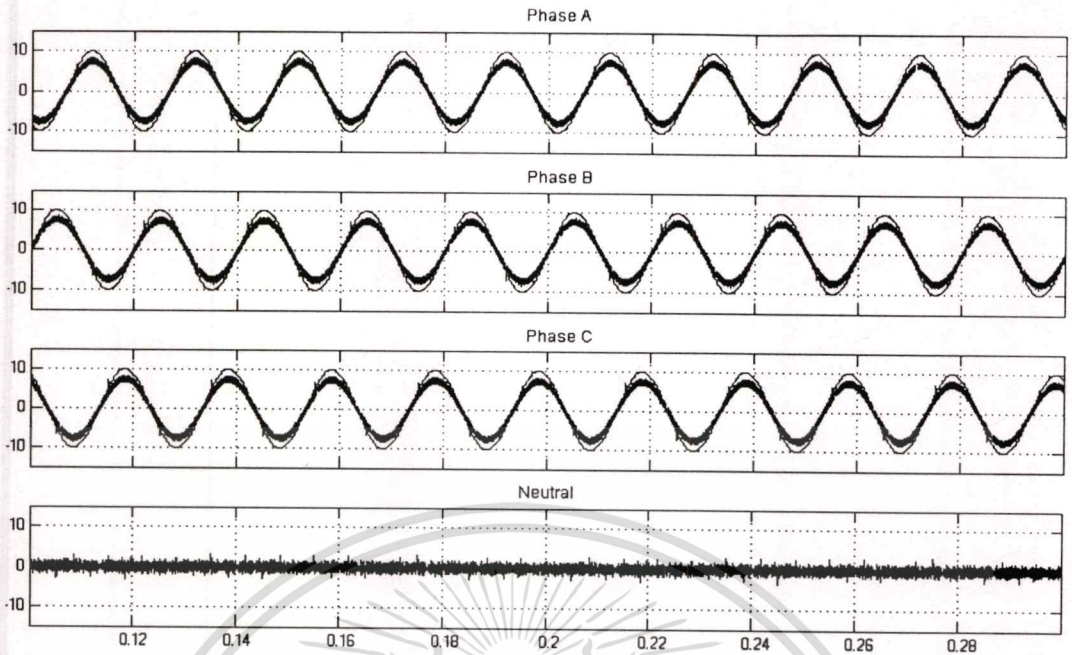


(ก) กระแสชดเชยที่ได้จากการตรวจจับกระแสอาร์โมนิก

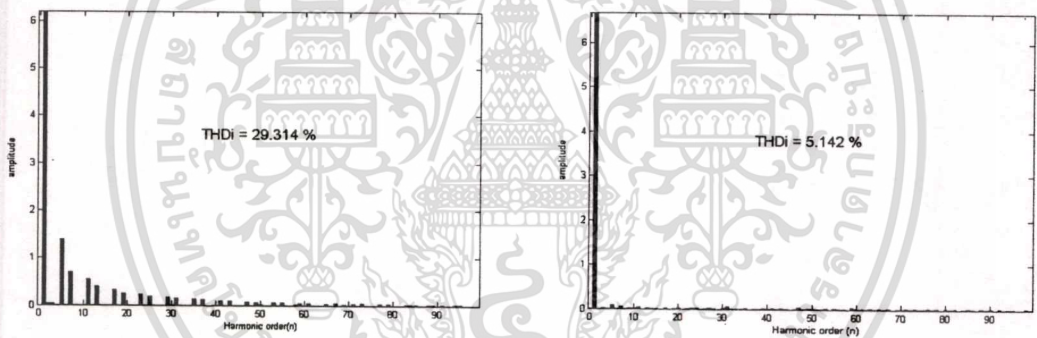


(ข) กระแสชดเชยที่ได้จากการจำลองการทำงานของระบบ

เอกสารนี้เป็นเอกสารที่สงวนไว้สำหรับการใช้งานเพื่อการศึกษาเท่านั้น ไม่อนุญาตให้นำไปใช้ประโยชน์ด้านการค้า ไม่ว่าจะกรณีใดๆทั้งสิ้น อีกทั้งห้ามมิให้ดัดแปลงเนื้อหา และต้องอ้างอิงถึงเจ้าของเอกสารทุกครั้งที่มีการนำไปใช้

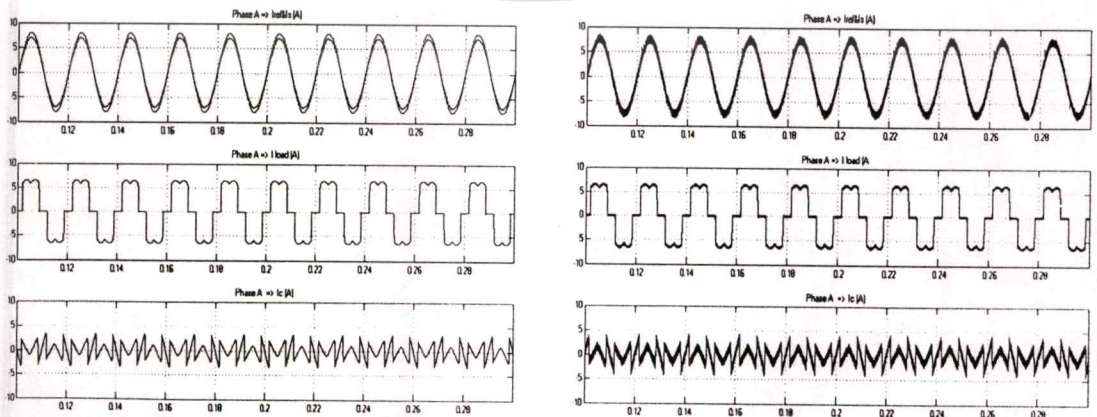


(ค) กระแสแหล่งจ่ายทั้งสามเฟสและกระแสนิวทรัลหลังจากทำการชดเชยกระแส



(ง) สเปกตรากกระแสแหล่งจ่ายก่อนการชดเชย (จ) สเปกตรากกระแสแหล่งจ่ายหลังการชดเชย

รูปที่ 4.29 ผลจำลองการทำงานของวงจรกรองกำลังแอกทีฟในช่วงสภาวะคงตัวที่ใช้ตัวควบคุมกระแสแบบติดตามขอบเขตฮิสเตอร์รีซิสต์



(ก) กระแสชดเชยที่ได้จากการตรวจจับ

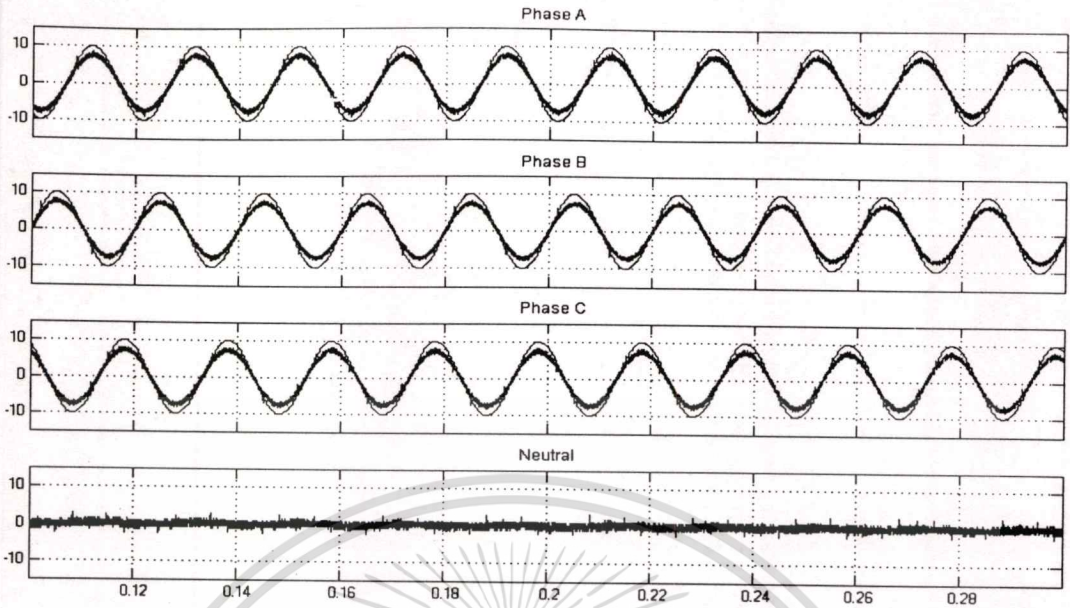
(ข) กระแสชดเชยที่ได้จากการจำลองการทำงาน

เอกสารนี้เป็นเอกสารที่สงวนลิขสิทธิ์สำหรับการใช้งานเพื่อการศึกษาเท่านั้น ไม่อนุญาตให้นำไปใช้ประโยชน์ด้านการค้า

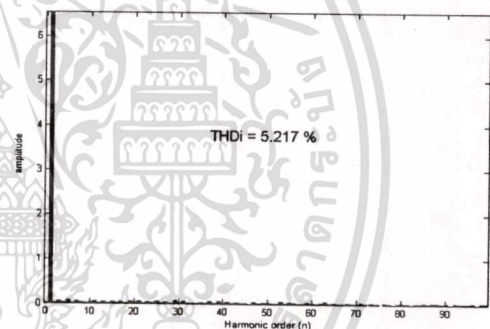
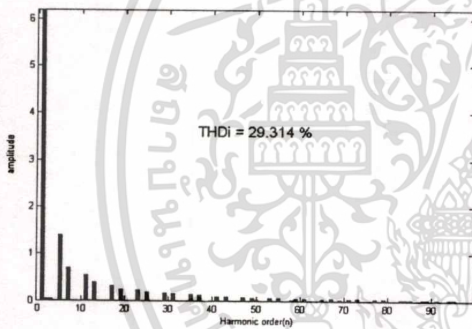
กระแสดาร์ ไมนิค

ฟังกะระบบ

ไม่ว่ากรณีใดๆทั้งสิ้น อีกทั้งห้ามมิให้ดัดแปลงเนื้อหา และต้องอ้างอิงถึงเจ้าของเอกสารทุกครั้งที่มีการนำไปใช้



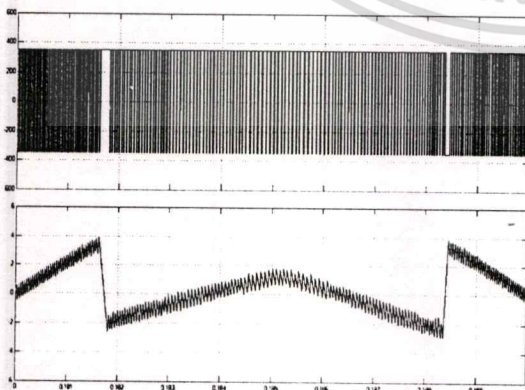
(ค) กระแสแหล่งจ่ายทั้งสามเฟสและกระแสนิวทรัลหลังจากทำการชดเชยกระแส



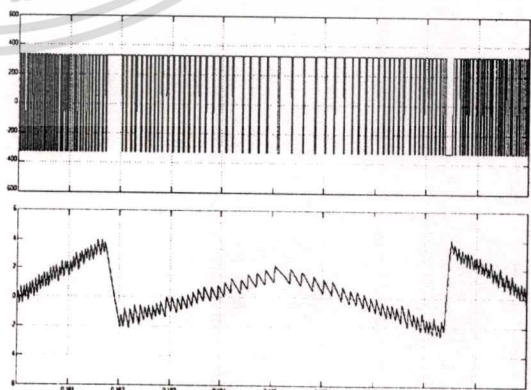
(ง) สเปกตรากะแสแหล่งจ่ายก่อนการชดเชย

(จ) สเปกตรากะแสแหล่งจ่ายหลังการชดเชย

รูปที่ 4.30 ผลจำลองการทำงานของวงจรรอกำลังแอกทีฟในช่วงสภาวะคงตัวที่ใช้ตัวควบคุมกระแสโครงข่ายประสาทเทียบ



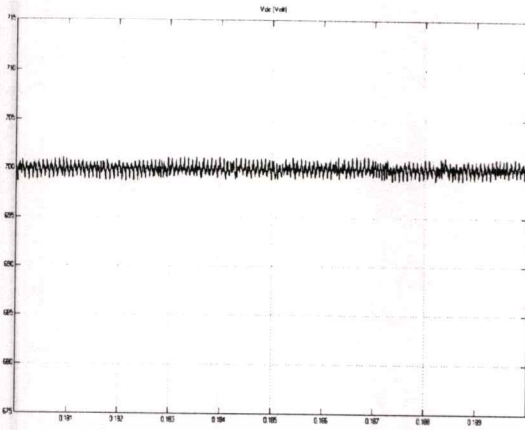
(ก) ตัวควบคุมกระแสแบบติดตามขอบเขต  
ฮีสเตอร์รีซิส



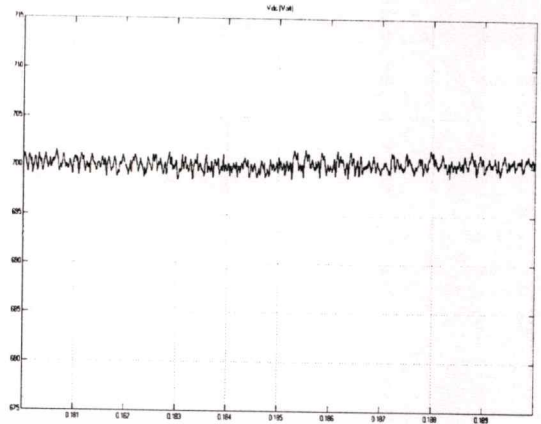
(ข) ตัวควบคุมกระแสแบบโครงข่ายประสาท  
เทียบ

รูปที่ 4.31 แรงดันการสวิตชิ่งและกระแสชดเชยของวงจรกำลังแอกทีฟ

เอกสารนี้เป็นเอกสารลิขสิทธิ์สงวนไว้สำหรับการใช้งานเพื่อการศึกษาเท่านั้น ไม่อนุญาตให้นำไปใช้ประโยชน์ด้านการค้า  
ไม่ว่ากรณีใดๆทั้งสิ้น อีกทั้งห้ามมิให้ดัดแปลงเนื้อหา และต้องอ้างอิงถึงเจ้าของเอกสารทุกครั้งที่มีการนำไปใช้



(ก) ตัวควบคุมกระแสแบบติดตามขอบเขต  
ฮีสเตอร์รีซิส

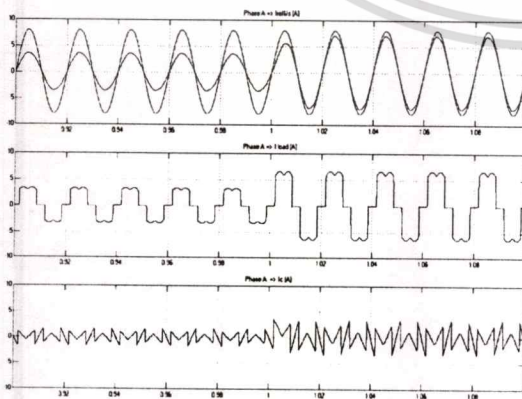


(ข) ตัวควบคุมกระแสแบบ  
โครงข่ายประสาทเทียม

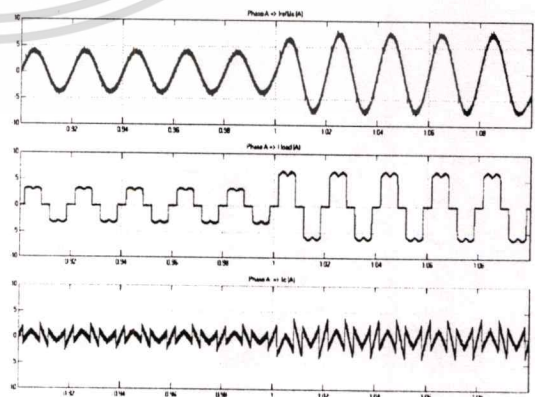
**รูปที่ 4.32 แรงดันบัลไฟตรง**

จากผลการจำลองการทำงานวงจรรอกำลั้งแอกทีฟที่ใช้ตัวควบคุมกระแสแบบติดตามขอบเขตฮีสเตอร์รีซิสและตัวควบคุมกระแสแบบโครงข่ายประสาทเทียมจะพบว่า ค่าองค์ประกอบความผิดเพี้ยนรวมของฮาร์โมนิก (THDi) ของกระแสแหล่งจ่ายหลังจากการชดเชยกระแสแล้วทั้งสองแบบมีค่าใกล้เคียงกันโดยตัวควบคุมกระแสแบบติดตามขอบเขตฮีสเตอร์รีซิสมีค่าเท่ากับ 5.142 เปอร์เซ็นต์ ส่วนที่ใช้ตัวควบคุมกระแสแบบโครงข่ายประสาทเทียมมีค่าเท่ากับ 5.217 เปอร์เซ็นต์ แต่จะพบว่าตัวควบคุมกระแสแบบโครงข่ายประสาทเทียมนั้นมีการสวิตช์ที่น้อยกว่า ซึ่งดูได้จากรูปที่ 4.31 และรูปที่ 4.32 ตามลำดับ ดังนั้นในงานวิจัยนี้จึงได้เลือกใช้การควบคุมกระแสแบบโครงข่ายประสาทเทียมเนื่องจากมีสูญเสียการสวิตช์ที่น้อยกว่า

ในการจำลองการทำงานของวงจรรอกำลั้งที่มีโหลดเปลี่ยนแปลงอย่างฉับพลันจาก 1.5 kVA ไปเป็น 3 kVA ที่เวลา 1 วินาที สามารถแสดงได้ดังรูปที่ 4.33

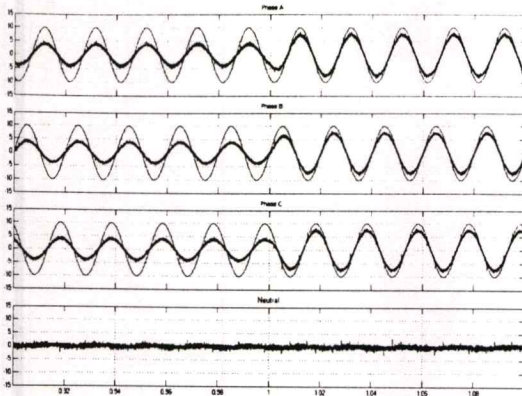


(ก) กระแสชดเชยที่ได้จากการตรวจจับ  
กระแสฮาร์โมนิก

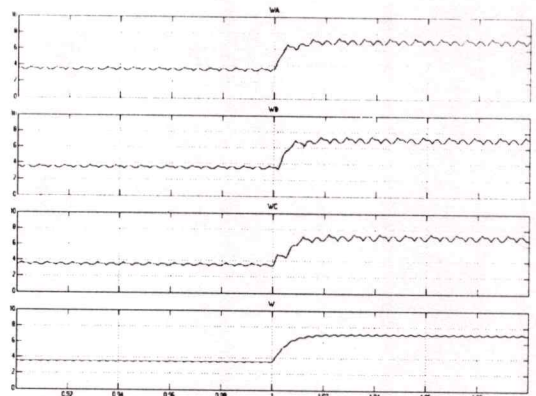


(ข) กระแสชดเชยที่ได้จากการจำลองการทำงาน  
ทั้งระบบ

เอกสารนี้เป็นเอกสารที่สงวนไว้สำหรับการใช้งานเพื่อการศึกษาเท่านั้น ไม่อนุญาตให้นำไปใช้ประโยชน์ด้านการค้า  
ไม่ว่ากรณีใดๆทั้งสิ้น อีกทั้งห้ามมิให้คัดแปลงเนื้อหา และต้องอ้างอิงถึงเจ้าของเอกสารทุกครั้งที่มีการนำไปใช้



(ค) กระแสแหล่งทั้งสามเฟส และกระแส  
นิวทรัลหลังจากทำการชดเชยกระแส



(ง) การปรับตัวของค่าถ่วงน้ำหนักทั้งสามเฟส  
และค่าถ่วงน้ำหนักรวม

รูปที่ 4.33 ผลการตอบสนองของวงจรรอกำลังแอกทีฟที่มีการเพิ่มโหลดอย่างฉับพลัน

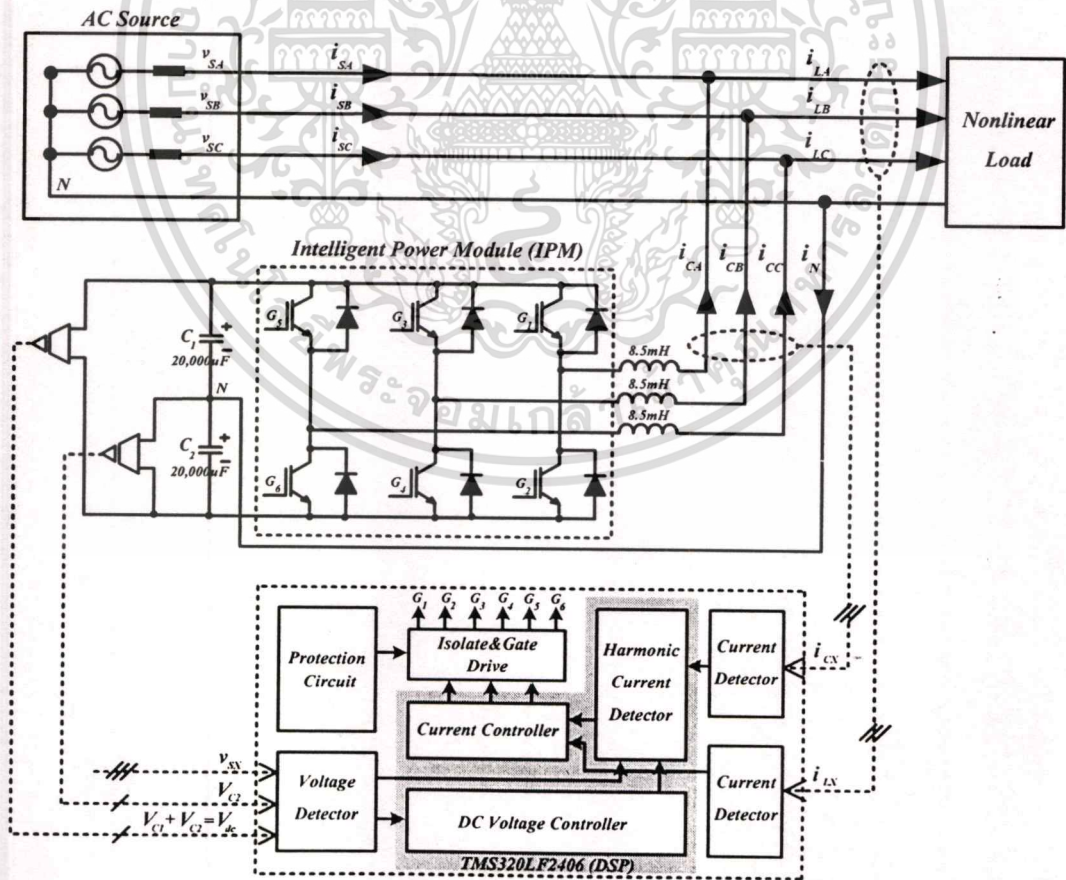
### 4.8 บทสรุป

ในบทนี้อธิบายถึงหลักการวิเคราะห์และออกแบบวงจรรอกำลังแอกทีฟแบบขนานที่ใช้หลักการตรวจจับกระแสฮาร์โมนิกด้วยโครงข่ายประสาทเทียมและการนำโครงข่ายประสาทเทียมเข้ามาประยุกต์ใช้กับตัวควบคุมกระแส พร้อมทั้งยังได้ทำการออกแบบตัวรีกัลการระดับแรงดันให้คงที่ด้วยตัวควบคุมแบบพีไอ และในบทนี้ได้นำเสนอการออกแบบและการจำลองการทำงานของวงจรรอกำลังแอกทีฟด้วยโปรแกรม Matlab&Simulink เพื่อให้รู้ถึงพฤติกรรมและทำความเข้าใจการทำงานของวงจรเพื่อให้มั่นใจว่าวงจรที่ออกแบบมีความเป็นไปได้ตามทฤษฎี ก่อนที่จะนำไปสร้างวงจรจริงและทดสอบการทำงานในทางปฏิบัติต่อไป

การออกแบบและสร้างวงจร

5.1 บทนำ

บทนี้จะกล่าวถึงลักษณะโครงสร้างของระบบควบคุมและวงจรกำลังของวงจรรอกำลังแอคทีฟที่ได้ออกแบบ โดยเครื่องต้นแบบที่สร้างขึ้นประกอบด้วย วงจรการตรวจจับกระแสและแรงดัน, วงจรควบคุมหลักที่ควบคุมโดยตัวประมวลผลสัญญาณทางด้านดิจิทัล (DSP), วงจรป้องกันและวงจรกำลังของวงจรรอกำลังแอคทีฟแบบขนานที่เป็นอินเวอร์เตอร์ชนิดแหล่งจ่ายแรงดันซึ่งจะทำหน้าที่สร้างกระแสชดเชยตามที่ได้คำนวณมาจากตัวประมวลผลสัญญาณทางด้านดิจิทัลเพื่อที่จะนำมาหักล้างกับกระแสฮาร์โมนิกที่เกิดจากโหลดไม่เป็นเชิงเส้นประเภทต่างๆ สามารถแสดงโครงสร้างส่วนประกอบของวงจรรอกำลังแอคทีฟแบบขนานที่ใช้ในงานวิจัยนี้ได้ดังรูปที่ 5.1



รูปที่ 5.1 โครงสร้างส่วนประกอบของวงจรรอกำลังแอคทีฟแบบขนาน 3 เฟส 4 สาย

เอกสารนี้เป็นเอกสารที่สงวนไว้สำหรับการใช้งานเพื่อการศึกษาเท่านั้น ไม่อนุญาตให้นำไปใช้ประโยชน์ด้านการค้า

ไม่ว่ากรณีใดๆทั้งสิ้น อีกทั้งห้ามมิให้ตัดแปลงเนื้อหา และต้องอ้างอิงถึงเจ้าของเอกสารทุกครั้งที่มีการนำไปใช้

## 5.2 การออกแบบและสร้างวงจรแปลงผันพลังงานไฟฟ้า

จากรูปที่ 5.1 พบว่าในการที่เราต้องการสร้างกระแสขึ้นมาเพื่อทำการชดเชยกระแสฮาร์โมนิกที่เกิดขึ้นเนื่องมาจากโหลดชนิดไม่เป็นลิเนียร์นั้น เราจำเป็นที่จะต้องมียังวงจรกำลังเพื่อทำหน้าที่ในการแปรผันพลังงานจากไฟตรงไปเป็นกระแสสลับ ซึ่งจะมีส่วนประกอบดังนี้

### 5.2.1 ตัวเก็บประจุไฟตรง

ตัวเก็บประจุไฟตรงเป็นอุปกรณ์ที่ใช้ในการเก็บพลังงานให้กับวงจรกำลังของวงจรรอกกำลังแอคทีฟ เนื่องจากวงจรแปรผันพลังงานที่นำมาใช้ในการวิจัยนี้เป็นชนิดแหล่งจ่ายแรงดันที่ต่อขนานอยู่กับระบบ ขนาดของตัวเก็บประจุนั้นจะขึ้นอยู่กับพิกัดกำลังไฟฟ้าของวงจรรอกกำลังแอคทีฟและชนิดของโหลด สำหรับเครื่องต้นแบบได้เลือกใช้ค่าความของตัวเก็บประจุแต่ละตัว ( $C_1$  และ  $C_2$ ) เป็นขนาด 20,000 ไมโครฟารัด เนื่องจากในการทดสอบของเครื่องต้นแบบนี้ได้ทำการทดสอบในกรณีที่ไม่มีกรรการรักษาระดับแรงดันไฟตรง จำเป็นต้องใช้ค่าความเก็บประจุที่มากพอเพื่อใช้ในจ่ายพลังงานให้แก่วงจรรอกกำลังในกรณีทำการทดสอบกับโหลดชนิดต่างๆ แต่ถ้าในกรณีที่มีการรักษาระดับแรงดันค่าความเก็บประจุของตัวเก็บประจุไม่จำเป็นต้องมีขนาดมากเท่ากับค่าที่ใช้ในงานวิจัยนี้

### 5.2.2 ตัวเหนี่ยวนำกรรองกระแส

การเชื่อมโยงระหว่างวงจรอินเวอร์เตอร์กับแหล่งจ่ายไฟฟ้าจะทำการเชื่อมโยงผ่านตัวเหนี่ยวนำ ซึ่งหน้าที่ของตัวเหนี่ยวนำคือทำการกรรองกระแสรีปเปลที่ที่เกิดจากการสวิตช์ของวงจรอินเวอร์เตอร์ ทำให้กระแสชดเชยที่จ่ายจากอินเวอร์เตอร์มีความเรียบมากขึ้นแต่ในกรณีที่เรต้องการให้ผลตอบสนองทางไดนามิกที่ดีนั้นขนาดของตัวเหนี่ยวนำควรมีขนาดเล็ก แต่อย่างไรก็ตามในกรณีที่ตัวเหนี่ยวนำมีขนาดเล็กเกินไปจะมีผลทำให้กระแสรีปเปลที่ที่เกิดจากการสวิตช์มาก ดังนั้นในการออกแบบตัวเหนี่ยวนำจึงควรออกแบบให้เหมาะสมกับการใช้งาน โดยค่าของตัวเหนี่ยวนำสามารถหาได้ดังสมการ

$$\frac{0.25 V_{dc}}{(HB) L} \left[ 1 - \frac{4 m^2 L^2}{V_{dc}^2} \right] = f_c \quad (5.1)$$

โดยที่

$L$  คือ ตัวเหนี่ยวนำที่ต่ออยู่ระหว่างอินเวอร์เตอร์และแหล่งจ่ายไฟ

$HB$  คือ ขอบเขตของฮิสเตอร์รีส

$V_{dc}$  คือ แรงดันไฟตรงที่ตกคร่อมตัวเก็บประจุ

$f_c$  คือ ความถี่ในการสวิตช์สูงสุด

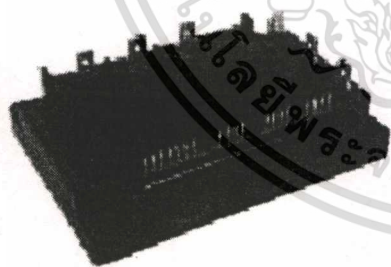
เอกสารนี้เป็น  $m$  กกลคือที่ความชันของกระแสอ้างอิง การศึกษาเท่านั้น ไม่อนุญาตให้นำไปใช้ประโยชน์ด้านการค้า

ไม่ว่ากรณีใดๆทั้งสิ้น อีกทั้งห้ามมิให้คัดแปลงเนื้อหา และต้องอ้างอิงถึงเจ้าของเอกสารทุกครั้งที่มีการนำไปใช้

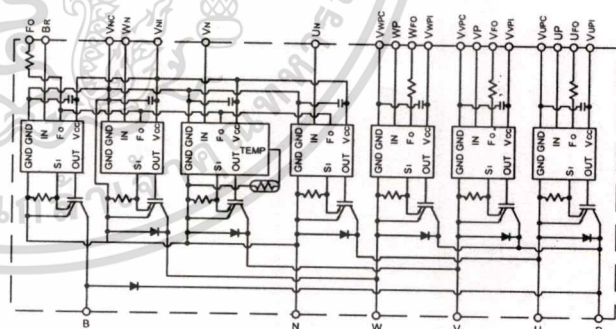
ในการสวิตช์ซึ่งมีค่าเท่ากับ 20 กิโลเฮิร์ตซ์ แล้วกำหนดให้อัตราความชันของกระแสอ้างอิงสูงสุดไม่เกิน 29.5 กิโลแอมป์ต่อวินาที ดังนั้นจะได้ค่าเหนี่ยวนำประมาณ 8.5 มิลลิเฮนรี

### 5.2.3 วงจรสวิตช์กำลัง

วงจรสวิตช์กำลังเป็นส่วนในการทำหน้าที่แปลงแรงดันไฟตรงให้เป็นกระแสด้วยเทคนิคการปรับความกว้างพัลส์ โดยการสวิตช์นั้นจะถูกควบคุมจากส่วนของการควบคุมที่ได้กำหนดไว้จากตัวประมวลผลเพื่อใช้สำหรับการสร้างกระแสของวงจร โดยอุปกรณ์กำลังที่ทำหน้าที่ในการสวิตช์จะเป็นส่วนที่มีการเสียหายบ่อยที่สุดเพราะเป็นส่วนที่ทำการแปลงจากสัญญาณควบคุมกำลังต่ำให้มาเป็นไฟกำลังงานสูง อุปกรณ์สวิตช์ที่จะนำมาใช้นี้ต้องคำนึงถึงพิกัดของขนาดแรงดัน, กระแสและความถี่ในการสวิตช์สูงสุดที่สามารถรองรับได้ ในส่วนของชุดสวิตช์กำลังนี้ได้เลือกใช้ไอจีบีทีโมดูลกำลังของบริษัทมิตซูบิชิเบอร์ PM25RSB120 (Intelligent Power Module : IPM) มีพิกัดแรงดัน 1,200 โวลต์ รองรับพิกัดกระแส 25 แอมป์ โดยภายในของไอจีบีทีโมดูลกำลังประกอบไปด้วยไอจีบีทีกำลังทั้งหมด 7 ตัว ซึ่งออกแบบมาให้ใช้งานในการควบคุมพลังงานในลักษณะ 3 เฟส ไอจีบีทีโมดูลแบบนี้มีข้อดีกว่าไอจีบีทีแบบตัวเดียว คือ สามารถส่งสัญญาณฟอลต์ (Fault) จากตัวไอจีบีทีโมดูลเพื่อใช้ในการหยุดสัญญาณขับเคลื่อนในกรณีที่เกิดการลัดวงจรภายในกึ่ง, กระแสเกินหรืออุณหภูมิภายในตัวเองมีค่าสูง ไอจีบีทีโมดูลนี้มีความสามารถในการรองรับความถี่สวิตช์สูงสุดได้ถึง 20 กิโลเฮิร์ตซ์ ซึ่งโครงสร้างของไอจีบีทีโมดูลนี้แสดงโครงสร้างดังรูปที่ 5.2



(ก) โครงสร้างภายนอกไอจีบีทีกำลัง



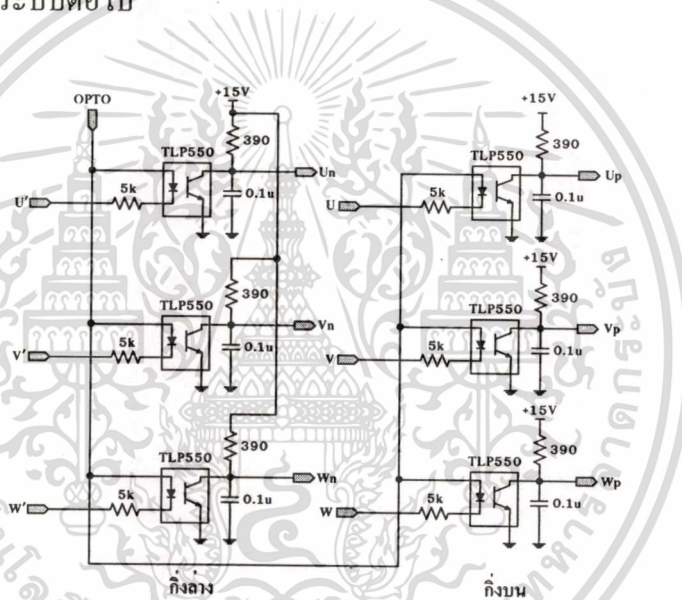
(ข) โครงสร้างภายในไอจีบีทีกำลัง

รูปที่ 5.2 โครงสร้างไอจีบีทีโมดูลกำลังเบอร์ PM25RSB120 (IPM)

การควบคุมการทำงานของ ไอจีบีทีกำลังจำเป็นต้องใช้อุปกรณ์ที่ทำการแยกแยะระหว่างสัญญาณขับเคลื่อนกับสัญญาณควบคุม ในการแยกกันของสัญญาณนี้เพื่อต้องการแยกกราวด์ไม่ให้ ไอจีบีทีกำลังตัวบนและตัวล่างในกึ่งเดียวกันเกิดการลัดวงจรเนื่องจากใช้กราวด์ร่วมกันแสดงวงจรดังรูปที่ 5.3 ซึ่งอุปกรณ์ที่ใช้ในการแยกกราวด์ได้ใช้ฮอปไดโอด (OPTO) เบอร์ HCPL4506 จำนวน 6 ตัว

โดยฮอปไดโอดที่ใช้ในการควบคุมสวิตช์ 3 กิ่งบนจะต้องทำการแยกไฟเลี้ยงขนาด 15 โวลต์ ออกจากไม่ว่ากรณีใดๆทั้งสิ้น อีกทั้งห้ามมิให้ตัดแปลงเนื้อหา และต้องอ้างอิงถึงเจ้าของเอกสารทุกครั้งที่มีการนำไปใช้

กันส่วนออปโตไดท์ที่ใช้ในการควบคุมสวิทช์ 3 กิ่งล่างจะรับไฟเลี้ยงขนาด 15 โวลต์ จากแหล่งจ่ายไฟชุดเดียวกัน สำหรับการควบคุมการทำงานของโมดูลสวิทช์นี้สามารถทำได้โดยการจ่ายแรงดันที่ขาออปโตไดท์ (U,V,W,U',V',W') ให้มีค่าเท่ากับศูนย์ ซึ่งเป็นผลทำให้มีกระแสไหลผ่านไดโอดเปล่งแสงที่อยู่ภายในออปโตไดท์จึงทำให้ชุดไอจีบีทีด้านเอาท์พุททำงาน ส่วนวงจรที่ใช้ในการส่งสัญญาณฟลัดต์ที่ออกจากตัวโมดูลเพื่อใช้หยุดสัญญาณขับเคลื่อนได้ใช้ออปโตไดท์ เบอร์ TLP521 จำนวน 4 ตัว โดยสัญญาณที่มาจากออปโตไดท์ 3 ตัวแรกนี้จะมาจากการตรวจจับบริเวณสวิทช์ 3 กิ่งบน ส่วนออปโตไดท์อีกตัวจะได้รับการตรวจจับบริเวณสวิทช์ 3 กิ่งล่าง การทำงานของวงจรนี้สามารถอธิบายได้ว่าถ้าในกรณีที่สภาวะปกติ สัญญาณฟลัดต์จะมีสถานะเป็นแรงดันขนาด 15 โวลต์ แต่ถ้ากรณีที่เกิดฟลัดต์ขึ้นจะมีส่งสัญญาณระดับแรงดันศูนย์โวลต์ออกมาแทน จากนั้นจะนำสัญญาณที่ได้เข้าสู่วงจรป้องกันเพื่อไปตัดการทำงานของระบบต่อไป

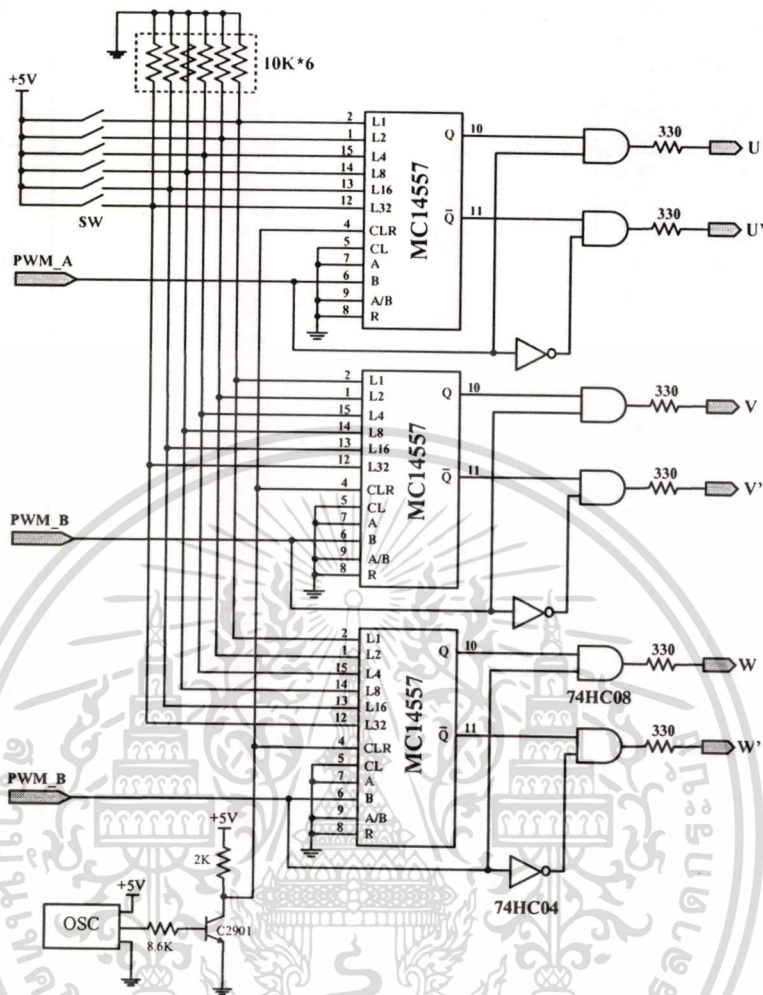


รูปที่ 5.3 วงจรแยกกราวด์ก่อนเข้าสู่ชุดขับเคลื่อนไอจีบีทีกำลัง

### 5.3 การออกแบบและสร้างวงจรประวิงเวลา

เนื่องจากการทำงานของอุปกรณ์ที่ใช้ในการสวิทช์นั้น อาจมีการที่สวิทช์ในกิ่งเดียวกันทำงานพร้อมกันจึงเป็นผลทำให้เกิดการลัดวงจรภายในกิ่งเดียวกัน และทำให้อุปกรณ์สวิทช์เสียหายได้ โดยวงจรที่ทำหน้าที่ในการสร้างสัญญาณประวิงเวลาเพื่อป้องกันไม่ให้อุปกรณ์สวิทช์เกิดการสวิทช์พร้อมกันจะใช้วงจรประวิงเวลาซึ่งสามารถแสดงได้ดังรูปที่ 5.4 สัญญาณขับเคลื่อนที่กิ่งบนและกิ่งล่างต้องมีค่าเวลาหน่วงกันเล็กน้อยและเวลาในการประวิงเวลานี้จะขึ้นอยู่กับช่วงเวลาการไต่ขึ้นและการไต่ลงของอุปกรณ์สวิทช์นั้นๆ

เอกสารนี้เป็นเอกสารที่สงวนไว้สำหรับการใช้งานเพื่อการศึกษาเท่านั้น ไม่อนุญาตให้นำไปใช้ประโยชน์ด้านการค้าไม่ว่ากรณีใดๆทั้งสิ้น อีกทั้งห้ามมิให้ดัดแปลงเนื้อหา และต้องอ้างอิงถึงเจ้าของเอกสารทุกครั้งที่มีการนำไปใช้

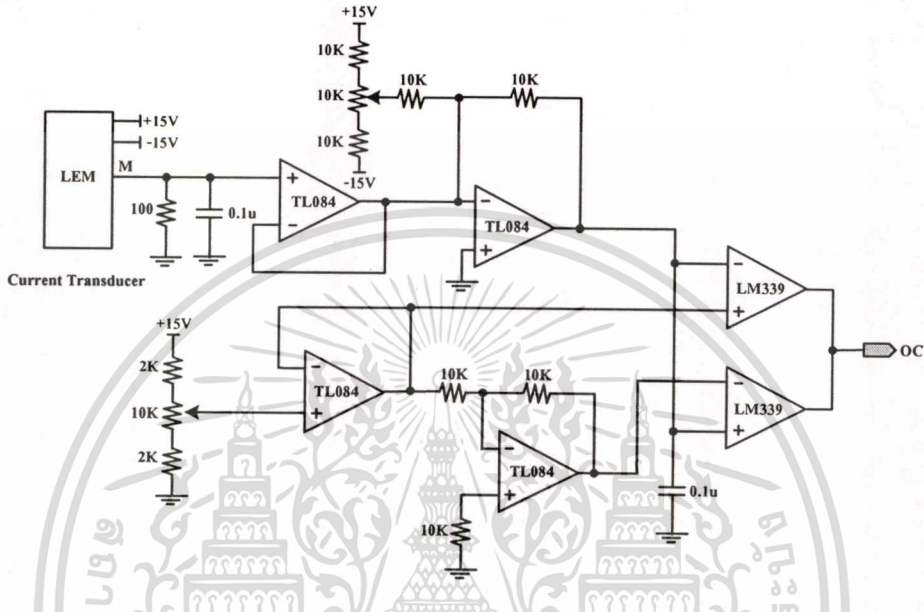


รูปที่ 5.4 วงจรสร้างช่วงการประวิงเวลา (Dead time)

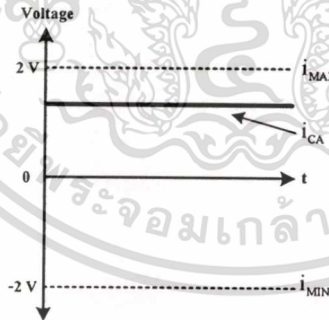
การทำงานของวงจรประวิงเวลาจากรูปที่ 5.4 นั้นจะอาศัยไอซีเบอร์ MC14557 ที่มีคุณสมบัติในการเลื่อนบิต โดยจะรับสัญญาณนาฬิกาจากภายนอกที่มีความถี่ 1 เมกะเฮิร์ตซ์ป้อนเข้าที่ขา 4 ซึ่งช่วงเวลาของการเวลาประวิงนี้สามารถกำหนดได้จากการกำหนดสภาวะสูงหรือต่ำที่ให้กับขาสัญญาณ L1 ถึง L32 ในกรณีที่ทำการป้อนแรงดัน 5 โวลต์ เข้าที่ขาเหล่านั้นจะเป็นการเพิ่มค่าการหน่วงเวลาขึ้นทีละขั้น แต่ละขั้นเวลาที่ทำการเพิ่มขึ้นนี้เพิ่มขึ้นละ 1,2,4,8,16 และ 32 ไมโครวินาที ตามลำดับยกตัวอย่างเช่น ในกรณีที่ต้องการให้เกิดการประวิงเวลา 10 ไมโครวินาทีจะต้องทำการเซตที่ขา 1 (L2) และขา 14 (L8) เป็นแรงดัน 5 โวลต์ โดยในงานวิจัยนี้เลือกค่าประวิงเวลาให้มีเท่ากับ 4 ไมโครวินาที ดังนั้นจะต้องป้อนให้ขา 15 (L4) เป็นแรงดัน 5 โวลต์ ส่วนขาที่เหลือ (L1, L2, L8, L16, L32) ป้อนแรงดัน 0 โวลต์

### 5.4 การออกแบบวงจรตรวจับกระแสเกิน

วงจรตรวจับกระแสนี้เป็นวงจที่ใช้สำหรับการป้องกันกระแสไม่ให้เกินพิกัดที่เรากำหนดไว้ งานวิจัยนี้ได้ใช้ตัวตรวจับกระแส (Current Transducer:LEM) ซึ่งอุปกรณ์นี้ใช้หลักการในการตรวจับกระแสที่เรียกว่า “ปรากฏการณ์ฮอลล์เอฟเฟค” วงจรตรวจับกระแสเกินแสดงดังรูปที่ 5.5



(ก) วงจรตรวจับกระแสพร้อมวงจรป้องกันกระแสเกิน



(ข) รูปการจำลองการตรวจับกระแสในวงจร

รูปที่ 5.5 วงจรตรวจับกระแสเกิน

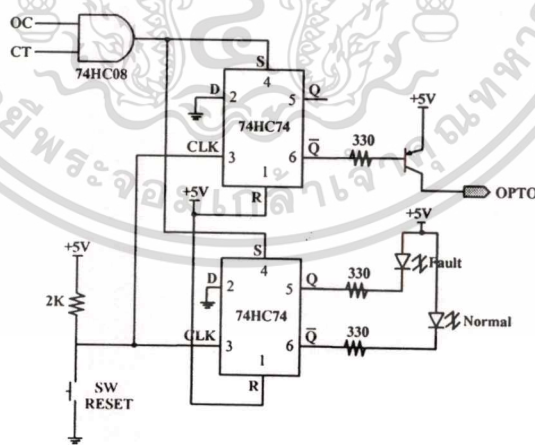
เนื่องจากการใช้ตัวตรวจับกระแสชนิดนี้มีข้อดีกว่าการใช้ Current transformer ในด้านที่สามารถตรวจับกระแสได้ทั้งไฟฟ้ากระแสตรงและกระแสสลับ มีช่วงความถี่การตอบสนอง (Bandwidth) ถึง 200 kHz สำหรับการใช้นี้ได้ตั้งอัตราส่วนของกระแสอินพุตและเอาต์พุตไว้ที่ 1 : 1000 โดยสัญญาณที่ได้จะส่งออกมายังขา M ซึ่งมีตัวต้านทานค่า 100 โอห์มต่ออยู่ระหว่างขา M

กับกราวด์ ดังนั้นในการตรวจับกระแสในกรณีที่กระแสอินพุตมีค่าเป็น 1 แอมป์ แรงดันที่ได้จะไม่ว่ากรณีใดๆทั้งสิ้น อีกทั้งห้ามมิให้ตัดแปลงเนื้อหา และต้องอ้างอิงถึงเจ้าของเอกสารทุกครั้งที่มีการนำไปใช้

มีค่าเป็น 0.1 โวลต์ สัญญาณที่ได้นี้จะถูกส่งไปยังวงจรบัฟเฟอร์และวงจรปรับค่าออฟเซต โดยสัญญาณตามรูปที่ 5.5(ข) เป็นการแสดงให้เห็นถึงขอบเขตของรูปสัญญาณกระแส ในกรณีที่กระแสมีค่าสูงหรือต่ำกว่าค่าที่ตั้งไว้สัญญาณเอาต์พุตของออปแอมป์จะมีสถานะเป็นศูนย์ ซึ่งสัญญาณที่เกิดขึ้นนี้จะถูกส่งไปในวงจรป้องกันเพื่อทำการหยุดสัญญาณขับเคลื่อนต่อไป

### 5.5 การออกแบบวงจรป้องกันภาคกำลัง

วงจรป้องกันที่สร้างขึ้นแสดงได้ดังรูปที่ 5.6 โดยวงจรนี้จะทำหน้าที่ป้องกันความเสียหายขณะที่ระบบทำงานผิดปกติ วงจรป้องกันที่ออกแบบนี้จะเป็นส่วนป้องกันที่รับสัญญาณมาจากสองส่วน คือ ส่วนแรกเป็นสัญญาณที่รับจากวงจรตรวจจับกระแสเกิน (OC) และส่วนที่สองจะรับสัญญาณมาจากส่วนป้องกันที่สร้างสัญญาณฟลัดจากตัวไอจีบีทีโมดูล (CT) โดยสัญญาณทั้งสองนี้สถานะปกติจะมีแรงดันอยู่ที่ 15 โวลต์ แรงดันที่รับเข้ามาจะส่งไปยังวงจรแอนเคดซึ่งจะได้ค่าเอาต์พุตของ 74HC74 มีค่าเป็นศูนย์โวลต์แล้วทำให้ทรานซิสเตอร์เบอร์ BC327 ชนิด PNP ทำงานจึงมีผลทำให้มีแรงดัน 5 โวลต์ ออกไปยังเอาต์พุตเพื่อนำไปเลี้ยงออปโด้ที่ใช้ในการขับเคลื่อนต่อไป เมื่อเกิดสถานะที่ระบบผิดปกติสัญญาณที่ขาอินพุตของแอนเคดอินพุตไดอินพุตหนึ่งจะมีค่าเป็นศูนย์เป็นผลให้แรงดันเอาต์พุตของ 74HC74 ที่นำไปขับทรานซิสเตอร์มีค่าเป็น 5 โวลต์ จึงทำให้ทรานซิสเตอร์ชนิด PNP ไม่ทำงานเป็นผลให้ไม่มีแรงดัน 5 โวลต์ที่เอาต์พุตเพื่อนำไปเลี้ยงออปโด้ เพราะฉะนั้นวงจรขับเคลื่อนไม่สามารถส่งสัญญาณขับไปยังไอจีบีทีโมดูลได้



รูปที่ 5.6 วงจรป้องกันภาคกำลัง

### 5.6 การออกแบบวงจรตรวจจับสัญญาณของวงจรควบคุม

เนื่องจากการประมวลผลสัญญาณของวงจรควบคุมจะต้องมีการรับสัญญาณทั้งกระแสและแรงดันตามจุดต่างๆแล้วทำการส่งมายังตัวประมวลผลสัญญาณดิจิทัล (DSP) และนำสัญญาณ  
ไม่ว่ากรณีใดๆทั้งสิ้น อีกทั้งห้ามมิให้ตัดแปลงเนื้อหา และต้องอ้างอิงถึงเจ้าของเอกสารทุกครั้งที่มีการนำไปใช้

เหล่านั้นมาทำการประมวลผลเพื่อสร้างสัญญาณที่จะนำไปใช้ในการควบคุมภาคกำลังต่อไป ซึ่งใน ส่วนของการตรวจจับกระแสจะมีทั้งหมด 6 ชุด แบ่งเป็น 2 ส่วน คือ ส่วนแรกใช้ในการตรวจจับ กระแสของโหลด ส่วนที่สองใช้ในการตรวจจับกระแสที่แหล่งจ่ายอินเวอร์เตอร์ทั้งสามเฟส โดยที่ ส่วนของการตรวจจับระดับแรงดันจะมีทั้งหมด 5 ชุด โดยแบ่งตามชนิดของแรงดันที่รับเข้ามา ออกเป็นสองประเภท คือ 1. การตรวจจับแรงดันไฟตรง 2. การตรวจจับแรงดันไฟสลับ

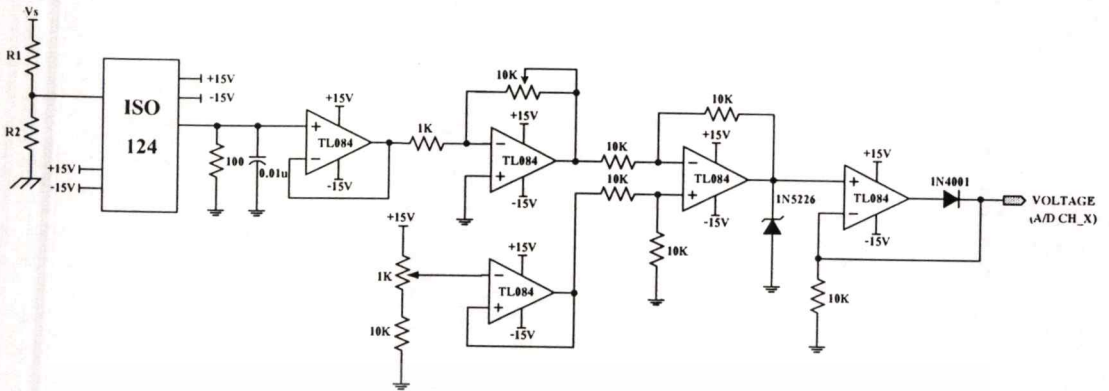
### 5.6.1 วงจรตรวจจับระดับแรงดัน

ส่วนของการตรวจจับระดับแรงดันในระบบนั้น เราจะทำการตรวจจับระดับแรงดันโดย แบ่งเป็น 2 ส่วน คือ

#### 5.6.1.1 วงจรตรวจจับระดับแรงดันไฟสลับ

การตรวจจับระดับแรงดันไฟสลับนั้นเราจะทำการจับระดับแรงดันระหว่างสายเฟสกับสาย นิวทรัลเพื่อนำสัญญาณที่ได้นี้ไปเป็นสัญญาณอ้างอิงให้กับส่วนการตรวจจับกระแสฮาร์โมนิกด้วย โครจข่ายประสาทเทียม โดยจะทำการตรวจจับแรงดันไฟสลับระหว่างสายเฟสกับสายนิวทรัลทั้ง สามเฟสเป็นจำนวน 3 ชุด

วงจรที่ใช้ในการตรวจจับแรงดันของวงจรควบคุมนั้นจะใช้ไอซีขยายสำหรับแยกโคด (Isolation Amplifiers) เบอร์ ISO124 เพื่อทำการแยกกราวด์จากแรงดันของระบบไฟฟ้า (220 โวลต์ ในแต่ละเฟส) ที่เรารับเข้ามาที่ระบบควบคุม โดยแรงดันที่รับเข้ามามีระดับแรงดันขนาด 220 โวลต์ ซึ่งเราไม่สามารถที่นำระดับแรงดันขนาดนั้นมาเข้าสู่ไอซีขยายสำหรับแยกโคดได้เพราะ สัญญาณอินพุตสูงสุดของ ไอซีขยายสำหรับแยกโคดที่สามารถรับได้จะมีค่าไม่เกิน 10 โวลต์ ดังนั้น เราจึงจำเป็นต้องทำการลดระดับแรงดันด้วยวิธีการลดทอนแรงดัน ซึ่งใช้ความต้านทานมาเป็นส่วน แบ่งของแรงดัน (Voltage Divider) เมื่อได้ระดับแรงดันที่เหมาะสมแล้วจะนำมาผ่านวงจรปรับ อัตราขยายให้เหมาะสมแล้วทำการยกกระแสระดับออฟเซตของสัญญาณไปที่ 1.65 โวลต์ จากนั้นจะส่งไป ยังวงจรปรับแต่งรูปสัญญาณเพื่อให้สัญญาณที่รับเข้ามามีระดับแรงดันเหมาะสมกับพอร์ตของตัว ประมวลผลสัญญาณดิจิทัลที่ใช้ทำหน้าที่แปลงสัญญาณอะนาลอกเป็นดิจิทัลต่อไป ซึ่งวงจร ปรับแต่งรูปสัญญาณนี้จะทำการปรับแต่งไม่ทำให้สัญญาณเอาท์พุทมีค่าเกิน 3.3 โวลต์และจะต้องเป็น ระดับแรงดันบวกโดยใช้โคโอดในการตัดแต่งสัญญาณ แล้วทำการส่งยัง ไปด้วยประมวลผลสัญญาณ ดิจิทัลเพื่อนำไปประมวลผลต่อไปสามารถแสดงได้ดังรูปที่ 5.7

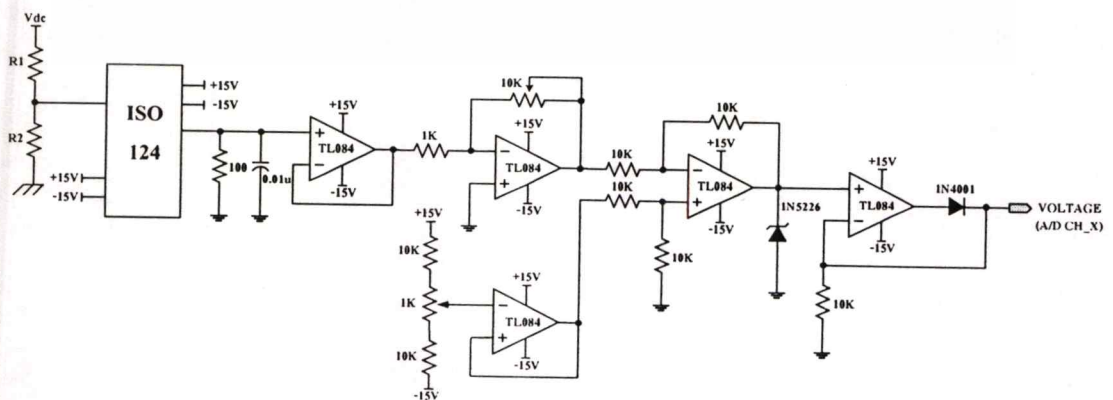


รูปที่ 5.7 วงจรตรวจจับแรงดันไฟสลับ

### 5.6.1.2 วงจรตรวจจับระดับแรงดันไฟตรง

การตรวจจับระดับแรงดันไฟตรงจะทำการจับระดับแรงดันไฟตรงเพื่อนำมาใช้ในการรักษา ระดับแรงดันของตัวเก็บประจุ โดยวงจรตรวจจับระดับแรงดันไฟตรงมีทั้งหมดอยู่ 2 ชุด คือ ชุดที่ หนึ่งไว้ทำการจับระดับแรงดันไฟตรงที่กึ่งกลางไฟตรง ( $V_{C2}$ ) ส่วนชุดที่สองจะใช้ในการจับระดับ แรงดันไฟตรงที่คร่อมระหว่างตัวเก็บประจุตัวที่หนึ่งกับตัวเก็บประจุตัวที่สอง ( $V_{C1} + V_{C2} = V_{dc}$ )

ในส่วนของวงจรตรวจจับระดับแรงดันไฟตรงนี้จะมีลักษณะเหมือนกับวงจรที่ใช้ในการ ตรวจจับระดับแรงดันไฟสลับแต่จะต่างกันตรงที่วงจรในส่วนนี้จะไม่ต้องทำการปรับระดับออฟเซต ของสัญญาณไปที่ 1.65 โวลต์ แต่จะทำการปรับระดับออฟเซตของสัญญาณไปที่ 0 โวลต์ แทน เนื่องจากในการตรวจจับระดับแรงดันไฟตรงนี้จะไม่มีส่วนของสัญญาณลบ ดังนั้นในการรับ สัญญาณของตัวประมวลผลสัญญาณดิจิทัลจะรับสัญญาณที่เป็นชนิดยูนิโพลาร์ (Unipolar) ซึ่งไม่ เหมือนกับการตรวจจับสัญญาณที่รับจะเป็นชนิดไบโพลาร์ (Bipolar) แสดงวงจรถ่ายตรวจจับระดับ แรงดันไฟตรงได้ดังรูปที่ 5.8



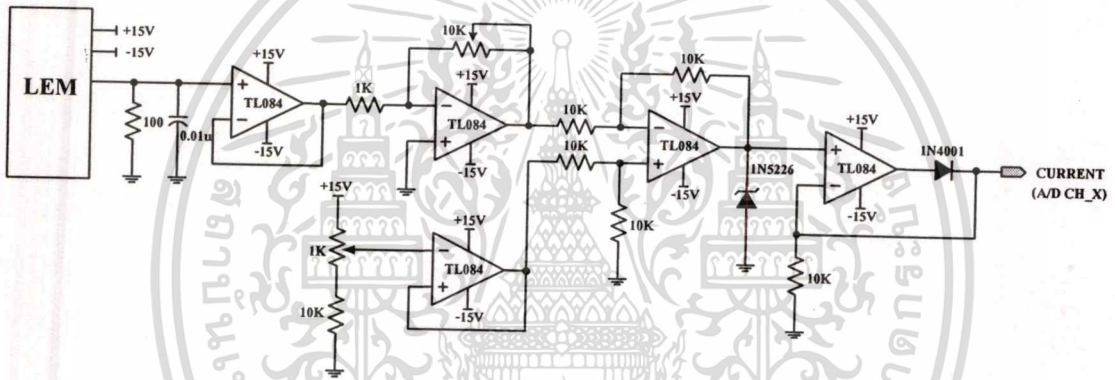
รูปที่ 5.8 วงจรตรวจจับแรงดันไฟตรง

เอกสารนี้เป็นเอกสารที่สงวนไว้สำหรับการใช้งานเพื่อการศึกษาเท่านั้น ไม่อนุญาตให้นำไปใช้ประโยชน์ด้านการค้า ไม่ว่าจะกรณีใดๆทั้งสิ้น อีกทั้งห้ามมิให้ดัดแปลงเนื้อหา และต้องอ้างอิงถึงเจ้าของเอกสารทุกครั้งที่มีการนำไปใช้

### 5.6.2 วงจรตรวจจ็บกระแส

การตรวจจ็บกระแสของวงจรควบคุมนี้สามารถแบ่งออกเป็นสองส่วน คือ 1. ส่วนการตรวจจ็บกระแสของโหลดเพื่อใช้หาค่ากระแสฮาร์โมนิกของกระแสโหลด 2. ส่วนการตรวจจ็บกระแสที่แหล่งจ่ายอินเวอร์เตอร์ โดยทั้งสองส่วนนี้จะทำการจ็บกระแสทั้ง 3 เฟส ดังนั้นในการตรวจจ็บกระแสของวงจรควบคุมจะมีจำนวนอยู่ทั้งหมด 6 ชุด

ซึ่งในงานวิจัยนี้จะใช้พิคคของกระแสไม่เกิน 25A ดังนั้นจึงเลือกใช้ตัวตรวจจ็บกระแส LEM เบอร์ LA25-NP แล้วทำการเลือกอัตรากระแสอินพุตต่อกระแสเอาต์พุตไว้ที่ 1000:1 จากนั้นสัญญาณที่ได้จากตัวตรวจจ็บกระแสจะส่งไปยังวงจรที่ทำหน้าที่ขยายสัญญาณและปรับระดับออฟเซต ซึ่งมีลักษณะวงจรเหมือนกับวงจรตรวจจ็บระดับแรงดันไฟสลับที่กล่าวมาแล้วข้างต้น แสดงไว้ดังรูปที่ 5.9



รูปที่ 5.9 วงจรตรวจจ็บกระแส

### 5.7 ตัวประมวลผลสัญญาณดิจิทัล

ความก้าวหน้าทางด้านไมโครอิเล็กทรอนิกส์ และความต้องการใช้งานทางด้านความเร็วในการประมวลผลทางคณิตศาสตร์ ส่งผลให้มีการประดิษฐ์คิดค้นตัวประมวลผลที่ออกแบบสำหรับการคำนวณทางคณิตศาสตร์ที่ต้องการความเร็วสูง โดยเฉพาะที่เรียกว่า ตัวประมวลผลสัญญาณดิจิทัล (Digital Signal Processing) หรือที่นิยมเรียกว่า ดีเอสพี (DSP) ซึ่งตัวประมวลผลดังกล่าวจะเน้นความเร็วของการทำคำสั่งทางคณิตศาสตร์ โดยมีสถาปัตยกรรมการทำงานแบบขนานด้วยฮาร์ดแวร์ เช่น มีฮาร์ดแวร์การคูณ (Multiplier), ฮาร์ดแวร์สเกลลิ่งชิฟเตอร์ (Scaling Shifter), ส่วนประมวลผลทางคณิตศาสตร์ของรีจิสเตอร์ (Auxiliary Register Arithmetic Unit) แยกอิสระเป็นต้น จึงมีผลทำให้ระบบควบคุมที่ออกแบบโดยใช้ตัวประมวลผลสัญญาณดิจิทัลจะมีความเร็วในการประมวลผลทางคณิตศาสตร์ที่เร็วกว่าเมื่อเทียบกับตัวประมวลผลแบบทั่วไปที่มีความเร็วเท่ากัน

ซึ่งทางผู้ผลิตชิปดีเอสพีในปัจจุบันมีหลายบริษัท ได้แก่ บริษัท Texas Instrument, Analog Devices, Motorola, Lucent Technology, Hitachi ฯลฯ ชิปดังกล่าวจะถูกออกแบบให้ใช้ในลักษณะที่แตกต่างไม่ว่ากรณีใดๆทั้งสิ้น อีกทั้งห้ามมิให้คัดแปลงเนื้อหา และต้องอ้างอิงถึงเจ้าของเอกสารทุกครั้งที่มีการนำไปใช้

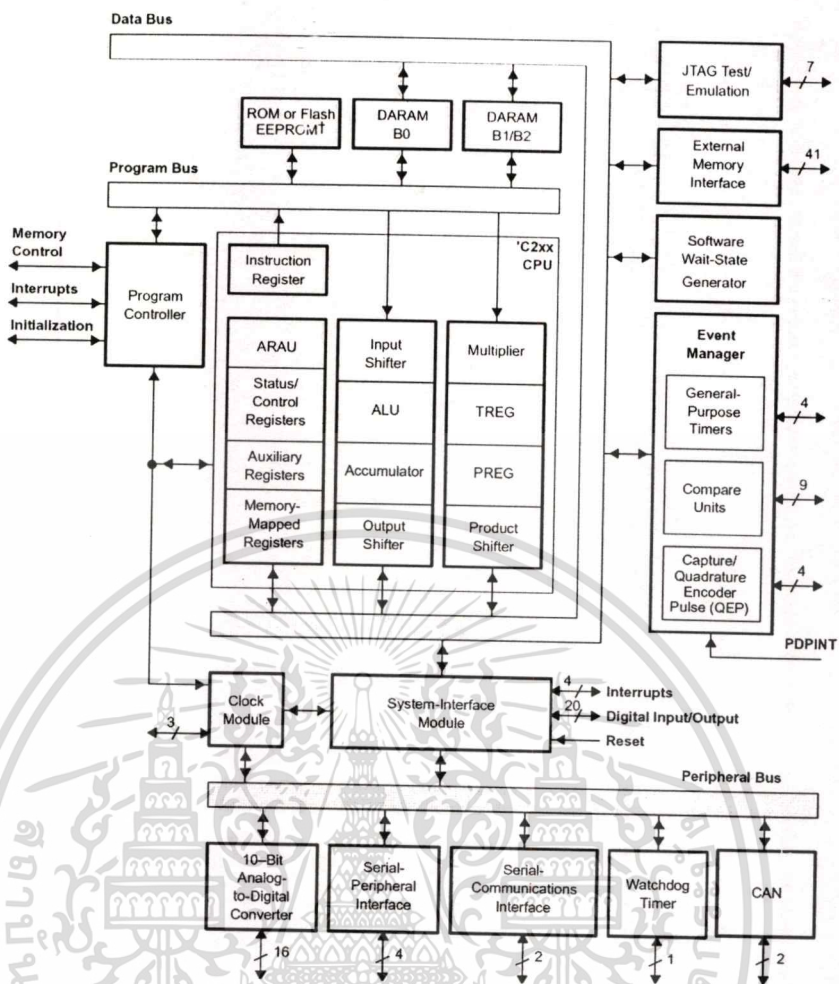
กันออกไป โดยทั่วไปมีคนนิยมใช้อยู่ 2 บริษัท คือ บริษัท เท็กซัสอินสตรูเมนต์ จำกัด และ บริษัท อะนาล็อกดีไวซ์ จำกัด ซึ่งบริษัท เท็กซัสอินสตรูเมนต์เป็นผู้นำทางด้านการผลิตชิป และตัวประมวลผลสัญญาณดิจิทัลมานานแล้ว โดยที่แต่ละบริษัทจะมีคุณสมบัติของชิปที่ใกล้เคียงกันแต่จะแตกต่างกันในเรื่องของราคาและอุปกรณ์ที่ใช้ต่อร่วมภายนอก ในงานวิจัยนี้ได้เลือกใช้ตัวประมวลผลสัญญาณดิจิทัล รุ่น TMS320LF2406A อยู่ในตระกูลของ C2000 ของบริษัท เท็กซัสอินสตรูเมนต์ ซึ่งงานวิจัยนี้ได้เลือกใช้ประมวลผลสัญญาณดิจิทัลรุ่นนี้เนื่องจากสามารถหาใช้งานได้ง่าย รวมทั้งมีคุณสมบัติโดยรวมที่คิดว่าชิปในระดับเดียวกัน โดยรายละเอียดจะกล่าวถึงในหัวข้อถัดไป

### 5.7.1 สถาปัตยกรรมของ TMS320LF2406A

ตัวประมวลผลสัญญาณดิจิทัลเบอร์ TMS320LF2406A ของบริษัทเท็กซัสอินสตรูเมนต์ ซึ่งถือว่าเป็นตัวควบคุมประมวลผลสัญญาณดิจิทัล (DSP Controller) ตระกูลแรกที่มีใช้เชิงพาณิชย์ สำหรับประยุกต์ในงานควบคุม โดยเฉพาะ โครงสร้างเน้นความอ่อนตัวในการประยุกต์ใช้งานหลายลักษณะ โครงสร้างของตัวประมวลผลสัญญาณดิจิทัลเป็นแบบจุดทศนิยมคงที่ขนาด 16 บิต (16-bit fixed-point digital signal processors) ทางด้านฮาร์ดแวร์ภายในถูกออกแบบมาเพื่อใช้งานอิเล็กทรอนิกส์กำลัง คุณสมบัติภายในตัวประมวลผลสัญญาณดิจิทัลเบอร์ TMS320LF2406A [21]

- เป็นตัวประมวลผลสัญญาณดิจิทัลขนาด 16 บิต 3.3 โวลต์
- ความเร็วในการประมวลผล 40 MIPS (ล้านคำสั่งต่อวินาที) ต่อ 1 แมกซีนไซเคิล
- ฮาร์ดแวร์การคูณแบบขนานขนาด 16 x 16 ผลลัพธ์เป็น 32 บิต
- มี Accumulator ขนาด 32 บิต และ Arithmetic Logic Unit ขนาด 32 บิต
- พอร์ตอินพุต/เอาต์พุตจำนวน 41 พอร์ต
- หน่วยความจำข้อมูล แบบแฟลช ขนาด 32 กิโลไบต์ x 16 บิต
- หน่วยความจำข้อมูลแบบแรม ชนิด DARAM ขนาด 512 ไบต์ x 16 บิต และ ชนิด SARAM ขนาด 2 กิโลไบต์ x 16 บิต
- ตัวแปลงสัญญาณอะนาลอกเป็นดิจิทัล 16 ช่อง โดยมีความละเอียด 10 บิต 2 ชุด (Dual 10 – bit analog to digital converter : A/D) ซึ่งสามารถอ่านค่าอะนาลอกได้ 2 สัญญาณในเวลาเดียวกัน
- ชุดกำหนดสัญญาณนาฬิกาจำนวน 4 ชุด
- ตัวสร้างสัญญาณพัลส์บลิวเอ็ม (Pulse Width Modulation : PWM) 16 ช่องอิสระ
- ตัวสร้างการประวิงเวลา (Dead Time) ได้ตั้งแต่ 0 – 12 ไมโครวินาที
- ตัวนับพัลส์จากเซ็น โคคเคอร์ เพื่อกำหนดตำแหน่ง
- ตัวติดต่อสื่อสาร อาทิเช่น SCI , SPI , CAN

เอกสารนี้เป็นเอกสารตัวรับอินเทอร์รัพท์จากภายนอก 5 ช่อง ไม่อนุญาตให้นำไปใช้ประโยชน์ด้านการค้า ไม่ว่ากรณีใดๆทั้งสิ้น อีกทั้งห้ามมิให้ดัดแปลงเนื้อหา และต้องอ้างอิงถึงเจ้าของเอกสารทุกครั้งที่มีการนำไปใช้

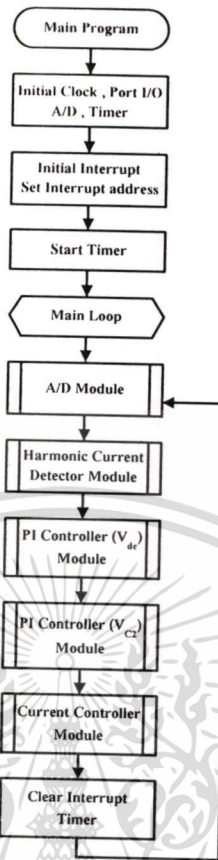


รูปที่ 5.10 โครงสร้างของตัวประมวลผลสัญญาณดิจิทัลเบอร์ TMS320LF2406A

### 5.8 การออกแบบโครงสร้างทางซอฟต์แวร์สำหรับการควบคุม

จากหัวข้อที่ผ่านมาได้กล่าวถึงการสร้างและประกอบส่วนต่างๆทางฮาร์ดแวร์ ซึ่งมีทั้งวงจรกำลัง วงจรการตรวจจับค่าแรงดันและกระแสแล้วทำการส่งมายังตัวประมวลผลสัญญาณดิจิทัลเพื่อประมวลผลสัญญาณที่ได้เหล่านั้นแล้วส่งไปยังวงจรภาคกำลังต่อไป ในการเขียนโปรแกรมเพื่อทำการควบคุมสามารถใช้ได้ทั้งภาษาระดับสูง ( ภาษาซี ) และภาษาระดับต่ำ ( แอสเซมบลี ) โดยการเขียนโปรแกรมในงานวิจัยนี้ได้เลือกใช้ภาษาระดับต่ำ เนื่องจากในการเขียนโปรแกรมที่ใช้ภาษาระดับสูงเมื่อทำการแปลง (Compile) มาเป็นภาษาระดับต่ำโปรแกรมที่ได้จะมีขนาดใหญ่ ซึ่งในงานวิจัยนี้จำเป็นต้องใช้เวลาในการประมวลผลที่น้อยที่สุดเท่าที่จะทำได้เพื่อให้ได้ผลการตอบสนองของกระแสที่ดี จึงเป็นเหตุผลทำให้ในการเขียนโปรแกรมในงานวิจัยนี้ใช้ภาษาระดับต่ำทั้งหมด โดยโปรแกรมที่ใช้กับวงจรรอกกำลังแอกทีฟนี้สามารถแสดงแผนผังการทำงานได้ดังรูปที่ 5.11

เอกสารนี้เป็นเอกสารที่สงวนไว้สำหรับการใช้งานเพื่อการศึกษาเท่านั้น ไม่อนุญาตให้นำไปใช้ประโยชน์ด้านการค้า ไม่ว่าจะกรณีใดๆทั้งสิ้น อีกทั้งห้ามมิให้ดัดแปลงเนื้อหา และต้องอ้างอิงถึงเจ้าของเอกสารทุกครั้งที่มีการนำไปใช้



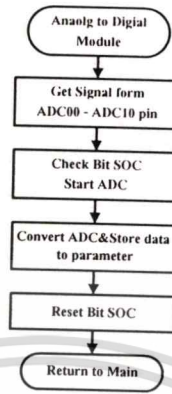
รูปที่ 5.11 โครงสร้างโปรแกรมหลักที่ใช้ในการควบคุมของวงจรรอกำลังแอกทีฟ

จากรูปที่ 5.11 เป็นผังการทำงานของโปรแกรมหลักที่ใช้ในการควบคุม โดยตัวประมวลผลสัญญาณดิจิทัลจะรับสัญญาณที่ได้จากขา A/D แล้วมาทำการแปลงสัญญาณเหล่านั้นไปเป็นดิจิทัลเพื่อทำการประมวลผล จากนั้นค่าที่ได้จะส่งไปยังส่วนการตรวจหาค่ากระแสฮาร์มอนิกซึ่งจะทำการหาค่ากระแสฮาร์มอนิกที่เกิดขึ้นกับโหลดและทำการส่งไปยังส่วนการรักษาระดับแรงดัน แล้วสัญญาณที่ได้จะถูกส่งไปเป็นสัญญาณกระแสอ้างอิงเพื่อนำไปสร้างกระแสชดเชยฮาร์มอนิก โดยในส่วนของ การสร้างกระแสรับสัญญาณกระแสอ้างอิงที่ได้มานั้นมาทำการสร้างสัญญาณ พัลส์เพื่อส่งไปยังภาคกำลังต่อไป วงรอบการทำงานของโปรแกรมทั้งหมดจะถูกกำหนดโดยตัวจับเวลา (Timer) ซึ่งในงานวิจัยนี้ในส่วน โปรแกรมหลักจะมีวงรอบการทำงานทุกๆ 16 ไมโครวินาที

### 5.8.1 โปรแกรมการแปลงสัญญาณอะนาลอกเป็นดิจิทัล (A/D Module)

ในส่วนนี้จะทำหน้าที่ในการแปลงจากสัญญาณอะนาลอกไปเป็นสัญญาณดิจิทัล ซึ่งสัญญาณที่รับเข้ามานั้นเป็นสัญญาณที่ได้จากการตรวจจับกระแสและแรงดัน โดยในงานวิจัยนี้ใช้จำนวนช่องการแปลงอะนาลอกไปเป็นดิจิทัลจำนวน 11 ชุด และสัญญาณที่รับเข้ามามีแรงดันอยู่ในช่วง 0 ถึง 3.3 โวลต์ ส่วนของโปรแกรมนี้จะทำการแปลงสัญญาณอะนาลอกไปเป็น

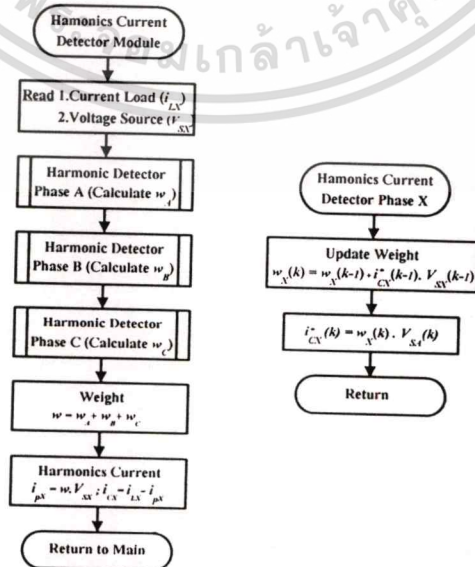
ดิจิทัลแล้วทำการเตรียมสัญญาณเพื่อที่จะส่งไปยังส่วนการประมวลผลอื่นๆ ต่อไป โครงสร้างของโปรแกรมที่ใช้ในแปลงสัญญาณอะนาลอกเป็นดิจิทัลแสดงได้ดังรูปที่ 5.12



รูปที่ 5.12 โครงสร้างโปรแกรมที่ใช้ในแปลงสัญญาณอะนาลอกเป็นดิจิทัล

### 5.8.2 โปรแกรมการตรวจจับกระแสฮาร์โมนิก (Harmonics Current Detector Module)

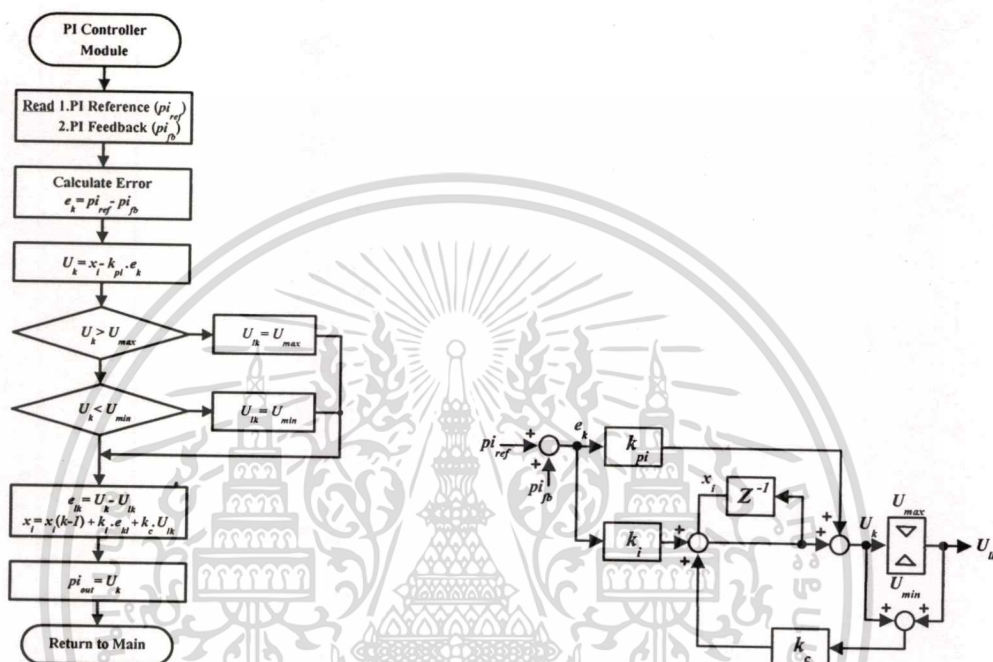
ในส่วนนี้เป็นส่วนที่ทำหน้าที่ในการตรวจหาค่ากระแสฮาร์โมนิกที่เกิดขึ้น โดยสัญญาณที่รับเข้ามาจะทำการหาค่าถ่วงน้ำหนักในแต่ละเฟสซึ่งกระบวนการที่ใช้จะเป็นเทคนิคการกำจัดสัญญาณรบกวนที่สามารถปรับตัวได้เองตามที่ได้กล่าวถึงบทที่ผ่านมา แล้วนำถ่วงน้ำหนักที่ได้มาทำการหาค่าถ่วงน้ำหนักรวมเพื่อหาค่ากระแสฮาร์โมนิกในแต่ละเฟสต่อไป โครงสร้างโปรแกรมการตรวจจับกระแสฮาร์โมนิกแสดงได้ดังรูปที่ 5.13



เอกสารนี้เป็นเอกสารที่สงวนไว้สำหรับการใช้งานเพื่อการศึกษาเท่านั้น ไม่อนุญาตให้นำไปใช้ประโยชน์ด้านการค้า  
**รูปที่ 5.13** โครงสร้าง โปรแกรมการตรวจจับกระแสฮาร์โมนิกทั้ง 3 เฟส  
 ไม่ว่าจะกรณีใดๆทั้งสิ้น อีกทั้งห้ามมิให้คัดแปลงเนื้อหา และต้องอ้างอิงถึงเจ้าของเอกสารทุกครั้งที่มีการนำไปใช้

### 5.8.3 โปรแกรมตัวควบคุมแบบพีไอ (PI Controller Module)

ในส่วนนี้จะเป็นส่วนทำหน้าที่ในการรักษาระดับแรงดันไฟตรงให้คงที่ โดยใช้ตัวควบคุมแบบพีไอซึ่งกระบวนการดังกล่าวได้มีการจำกัดค่าสูงสุดและต่ำสุดไว้เพื่อเป็นการควบคุมไม่ให้ค่าของกระแสอ้างอิงสูงเกินไป โครงสร้างโปรแกรมตัวควบคุมแบบพีไอแสดงดังรูปที่ 5.14(ก)



(ก) โครงสร้างโปรแกรมตัวควบคุมแบบพีไอ (ข) บล็อกไดอะแกรมของโปรแกรมตัวควบคุมแบบพีไอ

รูปที่ 5.14 โครงสร้างหลักการทำงานของโปรแกรมตัวควบคุมแบบพีไอ

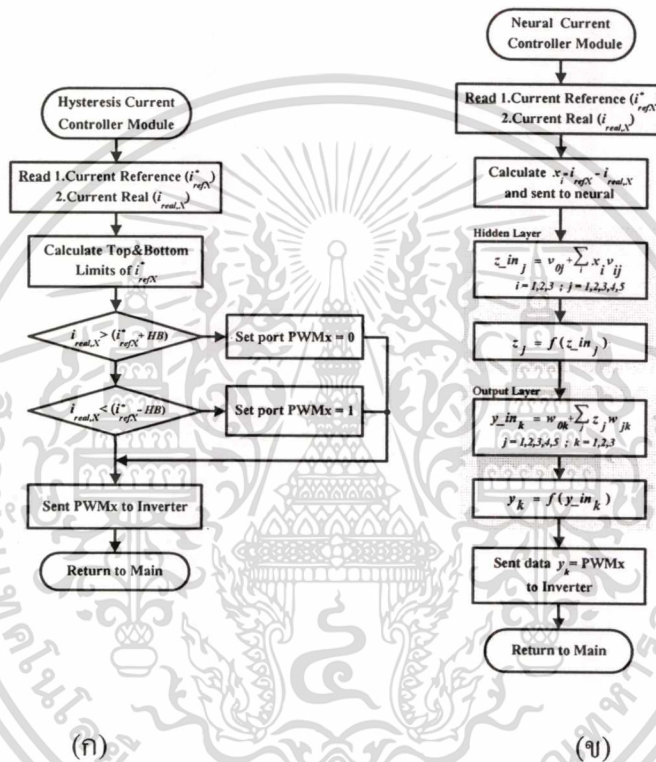
จากรูปที่ 5.14 (ข) แสดงบล็อกไดอะแกรมของโปรแกรมตัวควบคุมแบบพีไอที่มีการจำกัดค่าเอาต์พุตของตัวควบคุม ซึ่งมีส่วนการควบคุมแบบอินทิเกรตอยู่ด้วยซึ่งขณะที่ค่าเอาต์พุตติดลิมิต ส่วนการอินทิเกรตจะต้องหยุดอินทิเกรต เพื่อมิให้เกิดค่าอินทิเกรตสะสมขณะที่เอาต์พุตไม่สามารถเพิ่มขึ้นได้ (Integrator Windup)[22] มิฉะนั้นจะทำให้ผลการควบคุมเกิดโอเวอร์ชูตสูงกว่าปกติ ดังนั้นจึงต้องใช้ตัวควบคุมชนิดที่แก้ผลดังกล่าว

การแก้ผลของการอินทิเกรตสะสมขณะที่เอาต์พุตติดลิมิตนี้ จะอาศัยผลต่างของเอาต์พุตจริง ( $U_k$ ) และเอาต์พุตที่ลิมิต ( $U_{lk}$ ) ซึ่งจะได้ค่าติดลบเสมอขณะติดลิมิตคูณด้วยค่าคงที่การแก้อินทิเกรตสะสม ( $k_c$ ) แล้วนำไปบวกกับค่าที่เกิดจากส่วนการควบคุมแบบอินทิเกรต โดยค่าคงที่การแก้อินทิเกรตสะสมมีสมการเป็น

เอกสารนี้เป็นเอกสารที่สงวนไว้สำหรับการใช้งานที่  $k_c = \frac{k_i}{k_{pi}}$  เท่านั้น ไม่อนุญาตให้นำไปใช้ประโยชน์ใด ๆ (5.2) ไม่ว่ากรณีใดๆทั้งสิ้น อีกทั้งห้ามมิให้ดัดแปลงเนื้อหา และต้องอ้างอิงถึงเจ้าของเอกสารทุกครั้งที่มีการนำไปใช้

### 5.8.4 โปรแกรมส่วนควบคุมการสร้างกระแส (Current Controller Module)

ส่วนนี้จะทำหน้าที่ในการควบคุมการสร้างกระแสให้กับวงจรรอกำลึงแอกทีฟ ซึ่งจะรับสัญญาณที่ได้จากการประมวลผลที่ได้จากการตรวจจับสัญญาณกระแสฮาร์โมนิกมาเป็นกระแสอ้างอิงให้กับส่วนควบคุมกระแสเพื่อทำการฉีดกระแสเข้าไปในระบบ โดยในงานวิจัยนี้ได้ทำการทดลองแบ่งเป็นสองส่วนคือ 1. การควบคุมกระแสโดยวิธีของเขตฮีสเตอร์รีซิส 2. การควบคุมกระแสโดยวิธีโครงข่ายประสาทเทียมแสดงได้ดังรูปที่ 5.15(ก) และ 5.15(ข) ตามลำดับ



รูปที่ 5.15 (ก) โครงสร้าง โปรแกรมที่ใช้ในการควบคุมกระแสแบบขอบเขตฮีสเตอร์รีซิส (ข) โครงสร้าง โปรแกรมที่ใช้ในการควบคุมกระแสแบบโครงข่ายประสาทเทียม

### 5.9 บทสรุป

ในบทนี้ได้กล่าวถึงการออกแบบและสร้างรวมทั้งในส่วนของฮาร์แวร์และซอฟต์แวร์วงจรรอกำลึงแอกทีฟ โดยเครื่องต้นแบบที่สร้างขึ้นมานี้จะประกอบไปด้วยสองส่วนหลักๆ คือ ส่วนของวงจรกำลังซึ่งเป็นส่วนที่ใช้ในการสร้างกระแสชดเชยเพื่อฉีดเข้าไปในระบบ ส่วนที่สองจะเป็นส่วนที่ใช้ในการประมวลผลสัญญาณที่รับสัญญาณที่ตรวจวัดได้มาทำการประมวลผลแล้วส่งสัญญาณไปขับอุปกรณ์สวิตช์ของวงจรกำลังต่อไป การประมวลผลของสัญญาณทั้งหมดได้นำตัวประมวลผลสัญญาณทางด้านดิจิทัลมาทำการประมวลผลทั้งหมด ซึ่งข้อมูลการออกแบบนี้ได้ถูกนำไปสร้าง

เอกสารนี้เป็นเอกสารที่สงวนลิขสิทธิ์ของสถาบันวิจัยและพัฒนาเทคโนโลยีพลังงานทดแทน มหาวิทยาลัยเทคโนโลยีพระจอมเกล้าธนบุรี ไม่อนุญาตให้ใช้งานไปใช้ประโยชน์ด้านการค้าจริงและทำการทดสอบ เพื่อยืนยันว่าระบบที่ได้ออกแบบนี้สามารถทำงานได้อย่างถูกต้อง ไม่ว่าจะกรณีใดๆทั้งสิ้น อีกทั้งห้ามมิให้คัดแปลงเนื้อหา และต้องอ้างอิงถึงเจ้าของเอกสารทุกครั้งที่มีการนำไปใช้

## บทที่ 6

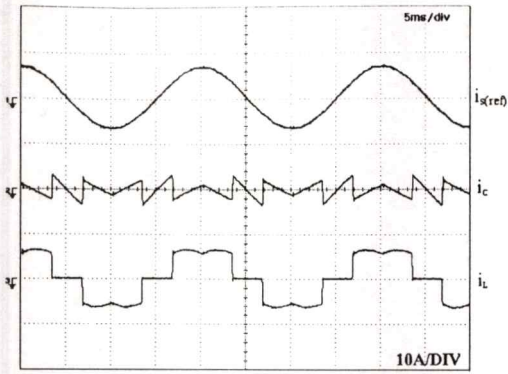
# ผลการทดลองการทำงานของวงจรกรองกำลังแอกทีฟ

### 6.1 บทนำ

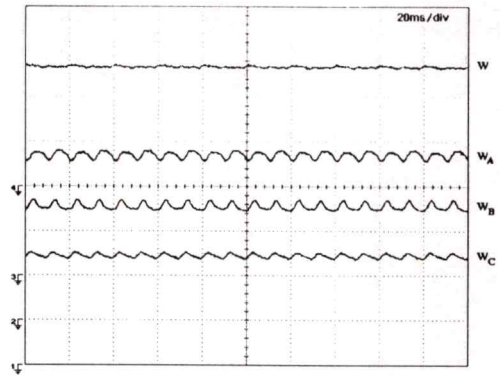
ในบทนี้จะเป็นการนำเครื่องต้นแบบที่สร้างขึ้นมาทำการทดลองความสามารถในการกำจัดกระแสฮาร์โมนิกของวงจรกรองกำลังแอกทีฟในระบบไฟฟ้า 3 เฟส 4 สาย ที่ใช้หลักการตรวจจับกระแสฮาร์โมนิกด้วยโครงข่ายประสาทเทียมทางด้านโหลด ซึ่งควบคุมด้วยตัวประมวลสัญญาณดิจิทัล TMS320LF2406A โดยระบบที่นำมาทดลองนี้เป็นระบบ 3 เฟส 4 สาย ขนาดแรงดัน 380 โวลต์ 50 เฮิร์ตซ์ ต่ออยู่กับโหลดชนิดไม่เป็นเชิงเส้นขนาดพิกัด 3 kVA ซึ่งแบ่งการทดลองออกเป็น 3 กรณี คือ 1. กรณีสมดุลด้านโหลด 2. กรณีไม่สมดุลด้านโหลด 3. กรณีแรงดันทางด้านแหล่งจ่ายไม่สมดุล รวมทั้งยังได้ทำการทดลองในกรณีที่กระแสโหลดมีการเปลี่ยนแปลงแบบฉับพลัน จากนั้นได้ทำการทดลองการรักษาระดับแรงดันให้คงที่ด้วยตัวควบคุมแบบพีไอตามที่ได้ออกแบบไว้ โดยงานวิจัยนี้แบ่งการทดลองออกเป็นหัวข้อต่างๆ ดังนี้

### 6.2 ผลการทดลองการตรวจจับกระแสฮาร์โมนิกด้วยโครงข่ายประสาทเทียมของวงจรกรองกำลังแอกทีฟ

ส่วนนี้จะเป็นการทดลองความสามารถในการตรวจจับกระแสฮาร์โมนิกของวงจรกรองกำลังแอกทีฟที่ใช้หลักการโครงข่ายประสาทเทียม โดยทำการทดลองในกรณีที่โครงข่ายประสาทเทียมมีค่าอัตราการเรียนรู้ที่ต่างกันเพื่อศึกษาการทำงานของโครงข่ายประสาทเทียมได้ที่นำมาประยุกต์ใช้ ซึ่งการทดลองนี้จะให้ค่าอัตราการเรียนรู้เป็น 0.01, 0.3 และ 1.2 ตามลำดับ แล้วทำการวัดรูปคลื่นสัญญาณที่ได้จากการประมวลผลภายในตัวประมวลผลสัญญาณดิจิทัลแล้วส่งข้อมูลผ่านทางพอร์ตและนำสัญญาณเหล่านี้ไปยังวงจรแปลงสัญญาณดิจิทัลเป็นสัญญาณอะนาลอกเพื่อทำการวัดสัญญาณต่อไป ซึ่งโหลดที่นำมาทดลองเป็นวงจรไดโอดเรียงกระแสชนิดสามเฟสแบบเต็มคลื่นที่ต่ออยู่กับตัวต้านทาน 80 โอห์ม ที่ต่ออนุกรมกับตัวเหนี่ยวนำ 20 มิลลิเฮนรี่ โดยสัญญาณกระแสอ้างอิง ( $i_{s(ref)}$ ), สัญญาณกระแสชดเชย ( $i_c$ ) และสัญญาณกระแสโหลด ( $i_L$ ) ซึ่งมีค่าถ่วงน้ำหนักรวม ( $w$ ) และค่าถ่วงน้ำหนักในแต่ละเฟส ( $w_A, w_B, w_C$ ) แสดงผลการทดลองได้ดังรูปที่ 6.1 และรูปที่ 6.2 ตามลำดับ

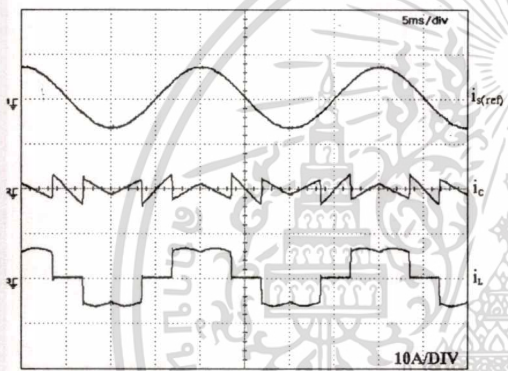


(ก) การหาค่ากระแสฮาร์โมนิกจาก  
ตัวประมวลผลทางดิจิทัล

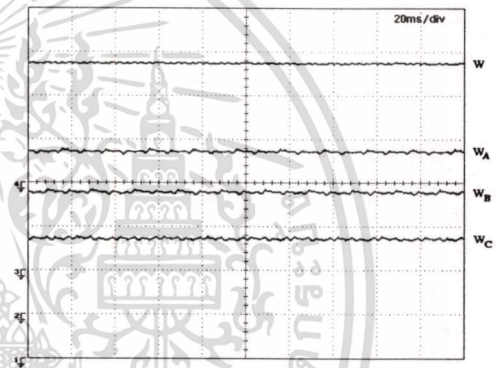


(ข) ค่าถ่วงน้ำหนักรวม (w) และค่าถ่วงน้ำหนัก  
ในแต่ละเฟส ( $w_A, w_B, w_C$ )

อัตราการเรียนรู้ 0.01

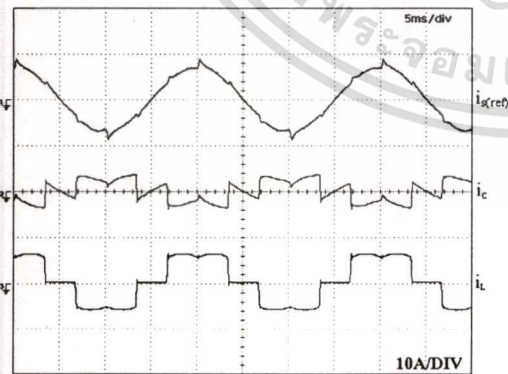


(ค) การหาค่ากระแสฮาร์โมนิกจาก  
ตัวประมวลผลทางดิจิทัล

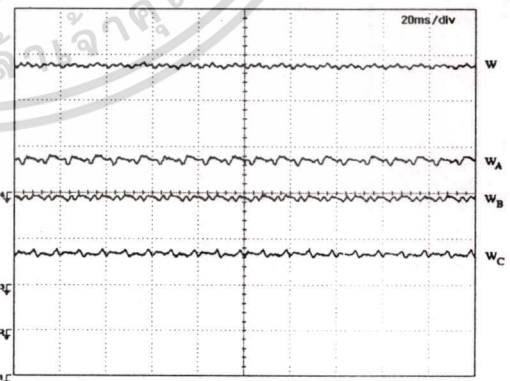


(ง) ค่าถ่วงน้ำหนักรวม (w) และค่าถ่วงน้ำหนัก  
ในแต่ละเฟส ( $w_A, w_B, w_C$ )

อัตราการเรียนรู้ 0.3



(จ) การหาค่ากระแสฮาร์โมนิกจาก  
ตัวประมวลผลทางดิจิทัล

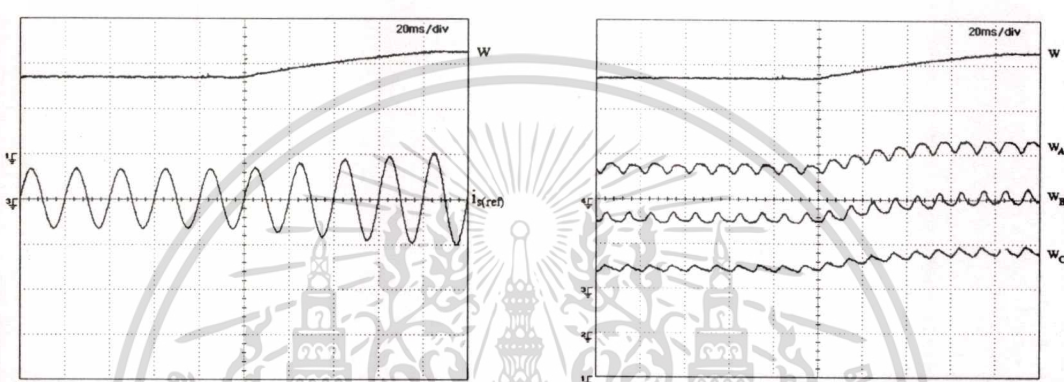


(ฉ) ค่าถ่วงน้ำหนักรวม (w) และค่าถ่วงน้ำหนัก  
ในแต่ละเฟส ( $w_A, w_B, w_C$ )

อัตราการเรียนรู้ 1.2

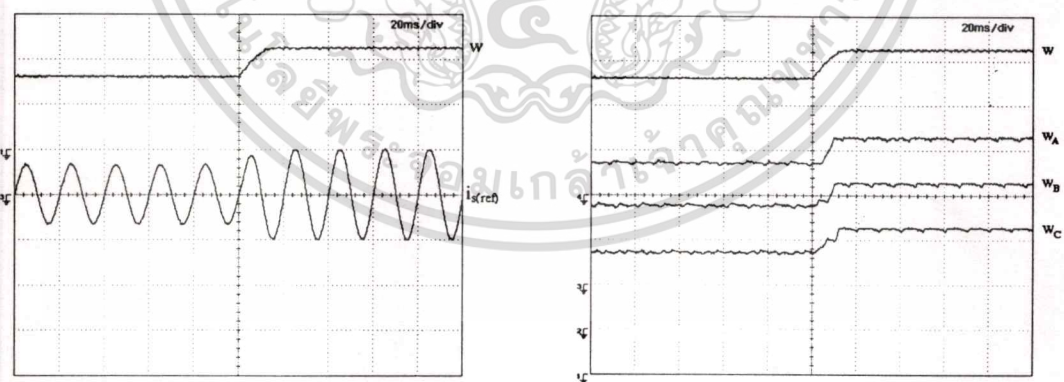
**รูปที่ 6.1** การหาค่ากระแสฮาร์โมนิกของวงจรกรองกำลังแอคทีฟที่ใช้โครงข่ายประสาทเทียมจากเอกสารนี้เป็นเอกสารที่สงวนไว้สำหรับการใช้งานเพื่อการศึกษเท่านั้น ในอนาคตให้นำไปใช้ประโยชน์ด้านการค้า ตัวประมวลผลทางดิจิทัล และค่าถ่วงน้ำหนักในกรณีมีค่าอัตราการเรียนรู้ต่างกัน ไม่ว่าจะกรณีใดๆทั้งสิ้น อีกทั้งห้ามมิให้ตัดแปลงเนื้อหา และต้องอ้างอิงถึงเจ้าของเอกสารทุกครั้งที่มีการนำไปใช้

จากรูปที่ 6.1 จะพบว่าในกรณีที่เรำให้อัตราการเรียนรู้ที่มากเกินไป ( $\eta = 1.2$ ) จะทำให้ระบบ  
 โครงข่ายประสาทเทียมไม่เสถียรจึงทำให้สัญญาณกระแสฮาร์โมนิกที่ได้มาจากโครงข่ายประสาทเทียม  
 นั้นมีลักษณะผิดเพี้ยนไป ต่อมาจะเป็นการทดลองในส่วนการตอบสนองของการตรวจจับกระแสฮาร์  
 มอนิกเมื่อกระแสโหลดมีการเปลี่ยนแปลงแบบฉับพลัน โดยในการทำการทดลองนี้จะทำการ  
 เปลี่ยนโหลดจากความต้านทานค่า 160 โอห์ม ไปเป็น 80 โอห์ม ซึ่งผลการตอบสนองแสดงได้ดัง  
 รูปที่ 6.2



(ก) สัญญาณแหล่งจ่ายกระแสอ้างอิงและ  
 ค่าถ่วงน้ำหนักรวม (ข) ค่าถ่วงน้ำหนักรวม ( $w$ ) และค่าถ่วงน้ำหนัก  
 ในแต่ละเฟส ( $w_A, w_B, w_C$ )

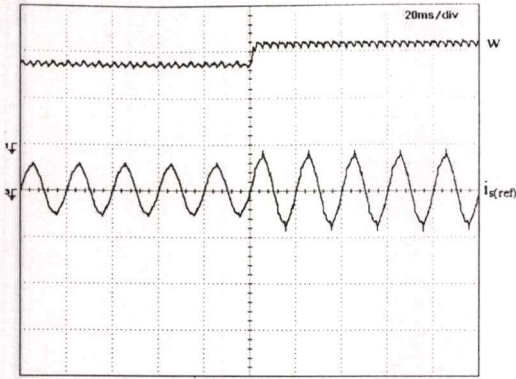
อัตราการเรียนรู้ 0.01



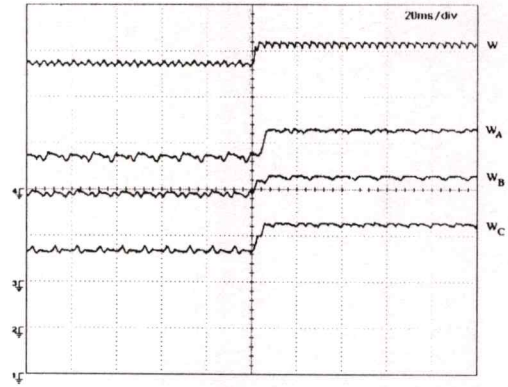
(ค) สัญญาณแหล่งจ่ายกระแสอ้างอิงและ  
 ค่าถ่วงน้ำหนักรวม (ง) ค่าถ่วงน้ำหนักรวม ( $w$ ) และค่าถ่วงน้ำหนัก  
 ในแต่ละเฟส ( $w_A, w_B, w_C$ )

อัตราการเรียนรู้ 0.3

เอกสารนี้เป็นเอกสารที่สงวนไว้สำหรับการใช้งานเพื่อการศึกษาเท่านั้น ไม่อนุญาตให้นำไปใช้ประโยชน์ด้านการค้า  
 ไม่ว่ากรณีใดๆทั้งสิ้น อีกทั้งห้ามมิให้ตัดแปลงเนื้อหา และต้องอ้างอิงถึงเจ้าของเอกสารทุกครั้งที่มีการนำไปใช้



(จ) สัญญาณแหล่งจ่ายกระแสอ้างอิงและ  
ค่าถ่วงน้ำหนักรวม



(ข) ค่าถ่วงน้ำหนักรวม (w) และค่าถ่วงน้ำหนัก  
ในแต่ละเฟส ( $w_A, w_B, w_C$ )

อัตราการเรียนรู้ 1.2

รูปที่ 6.2 การตอบสนองชั่วคราวของกระแสโหลดแบบฉับพลันและค่าถ่วงน้ำหนัก ในกรณีมีอัตราการเรียนรู้ที่ต่างกัน

จากผลการตอบสนองของการเปลี่ยนกระแสโหลดแบบฉับพลันจะพบว่าในกรณีที่ระบบมีค่าอัตราการเรียนรู้น้อยเกินไป ( $\eta = 0.01$ ) จะมีผลการตอบสนองต่อการเปลี่ยนแปลงของสัญญาณที่ช้าแต่ในกรณีที่มีค่าถ่วงน้ำหนักมากเกินไป ( $\eta = 1.2$ ) ผลการตอบสนองต่อการเปลี่ยนแปลงของสัญญาณเป็นรวดเร็วแต่ข้อเสียของการที่มีค่าอัตราการเรียนรู้ที่มากเกินไปจะทำให้ระบบจะไม่เสถียรภาพจึงทำให้สัญญาณชดเชยที่ได้มีความผิดเพี้ยนไป ซึ่งในงานวิจัยนี้ได้ทำการเลือกค่าอัตราการเรียนรู้ คือ 0.3 เนื่องจากมีผลการตอบสนองที่เป็นที่น่าพอใจ (20 มิลลิวินาที) โดยไม่ทำให้สัญญาณชดเชยมีความผิดเพี้ยนไป

6.3 ผลการทดลองวงจรรอกกำลังแอกทีฟในกรณีโหลดชนิดต่างๆ

สำหรับการทดลองการทำงานของวงจรรอกกำลังแอกทีฟในกรณีที่ทำการทดลองกับ โหลดชนิดต่างๆ โดยในงานวิจัยนี้สามารถแบ่งการทดลองออกเป็น 3 กรณี ดังนี้

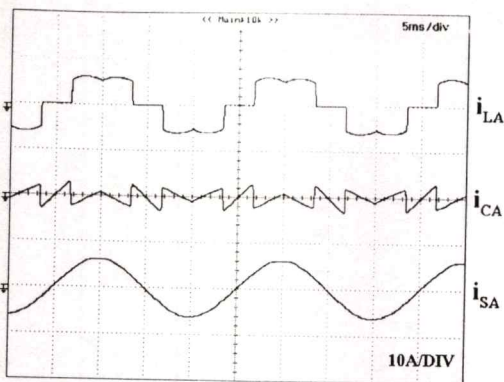
6.3.1 กรณีโหลดสมดุล

การทดลองกรณีที่โหลดสมดุลนี้ได้ทำการทดลองกับ โหลด 2 ประเภทซึ่งได้แก่ วงจรไดโอดเรียงกระแสชนิดสามเฟสแบบเต็มคลื่นและวงจร ไทริสเตอร์ที่มีการปรับมุมจุดชนวน

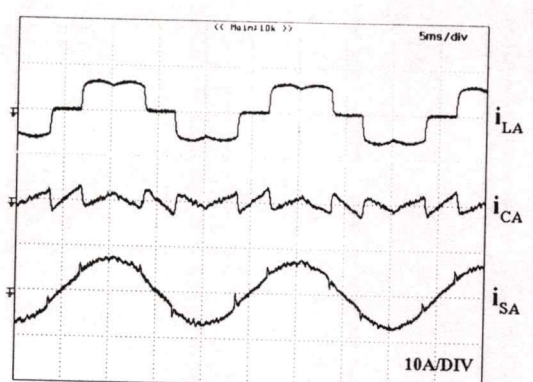
กรณีที่ 1 วงจรไดโอดเรียงกระแสชนิดสามเฟสแบบเต็มคลื่นที่ต่ออยู่กับ โหลดเป็นตัวต้านทาน

80 โอห์ม ที่ต่ออนุกรมกับตัวเหนี่ยวนำ 20 มิลลิเฮนรี่ โดยผลการทดลองแสดงได้ดังนี้

เอกสารนี้เป็นเอกสารที่สงวนลิขสิทธิ์ภายใต้การแก้ไขเพิ่มเติม เมื่อผู้ดูแลเห็นชอบที่จะดำเนินการค้า  
ไม่ว่ากรณีใดๆทั้งสิ้น อีกทั้งห้ามมิให้คัดแปลงเนื้อหา และต้องอ้างอิงถึงเจ้าของเอกสารทุกครั้งที่มีการนำไปใช้

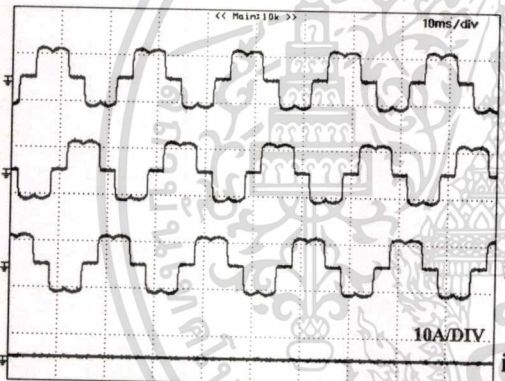


(ก) ผลการประมวลผลของตัวประมวลผลสัญญาณดิจิทัลที่เฟส A

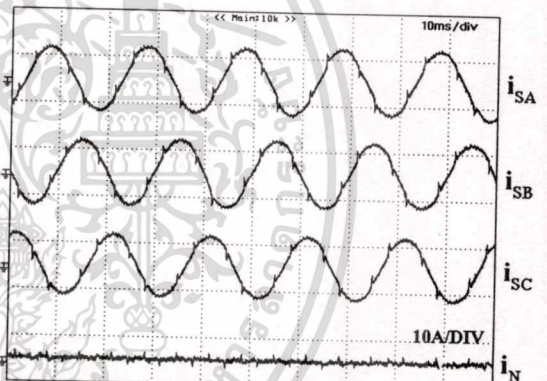


(ข) ผลการชดเชยกระแสจริงของเฟส A

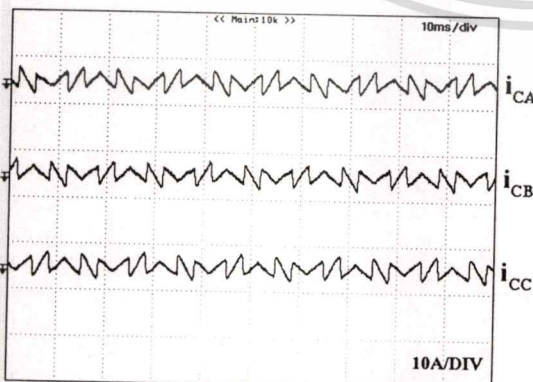
**รูปที่ 6.3** ผลการประมวลผลของตัวประมวลผลสัญญาณดิจิทัลและการชดเชยกระแสจริงของกระแสเฟส A กรณีโหลดเป็นวงจรไดโอดเรียงกระแสชนิดสามเฟสแบบเต็มคลื่น



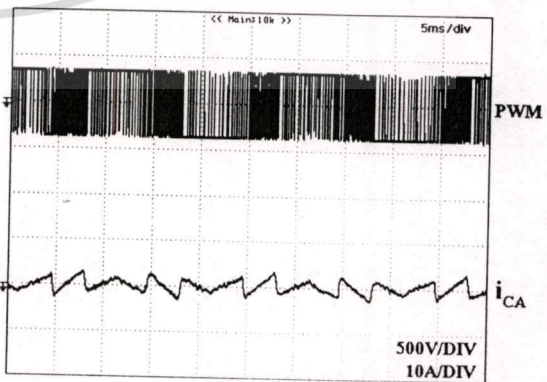
(ก) กระแสแหล่งจ่ายก่อนการชดเชยทั้งสามเฟส และกระแสที่สายนิวทรัล



(ข) กระแสแหล่งจ่ายหลังการชดเชยทั้งสามเฟส และกระแสที่สายนิวทรัล

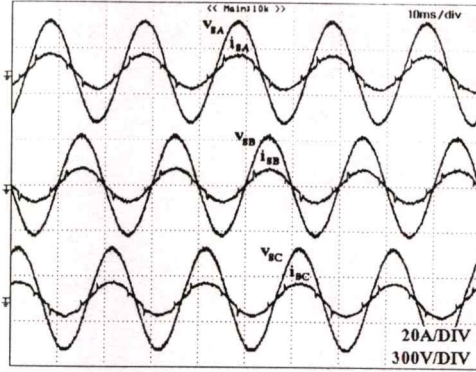


(ค) กระแสที่ทำการชดเชยทั้งสามเฟส



(ง) สัญญาณพีดีบีบลิวและกระแสชดเชยเฟส A

เอกสารนี้เป็นเอกสารที่สงวนไว้สำหรับการใช้งานเพื่อการศึกษาเท่านั้น ไม่อนุญาตให้นำไปใช้ประโยชน์ด้านการค้า ไม่ว่าจะกรณีใดๆทั้งสิ้น อีกทั้งห้ามมิให้ดัดแปลงเนื้อหา และต้องอ้างอิงถึงเจ้าของเอกสารทุกครั้งที่มีการนำไปใช้



(จ) กระแสและแรงดันแหล่งจ่ายทั้งสามเฟส

**รูปที่ 6.4** รูปคลื่นกระแสและแรงดันที่จุดต่างๆในกรณีโหลดเป็นวงจรไดโอดเรียงกระแสชนิดสามเฟสแบบเต็มคลื่น



(ก) สเปกตรากะแสฮาร์โมนิกแหล่งจ่ายก่อนทำการชดเชย

(ข) สเปกตรากะแสฮาร์โมนิกแหล่งจ่ายหลังทำการชดเชย

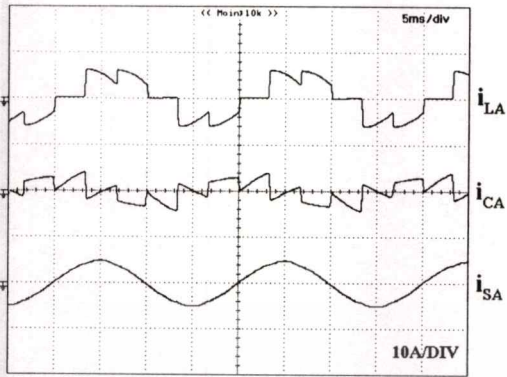
**รูปที่ 6.5** สเปกตรากะแสแหล่งจ่ายที่ได้จากรูปที่ 6.4 (ก) และรูปที่ 6.4 (ข) ตามลำดับ

จากผลการทดลองในกรณีโหลดเป็นวงจรไดโอดเรียงกระแสชนิดสามเฟสแบบเต็มคลื่นพบว่า วงจรรอกกำลังแอคทีฟสามารถทำการชดเชยกระแสฮาร์โมนิกที่เกิดจากโหลดได้ ซึ่งจะเห็นว่ากระแสของแหล่งจ่ายมีลักษณะใกล้เคียงขายน้่มากขึ้น โดยค่าความผิดเพี้ยนรวมของฮาร์โมนิกมีค่าลดลงจาก 29.16 เปอร์เซ็นต์ ไปเป็น 5.74 เปอร์เซ็นต์

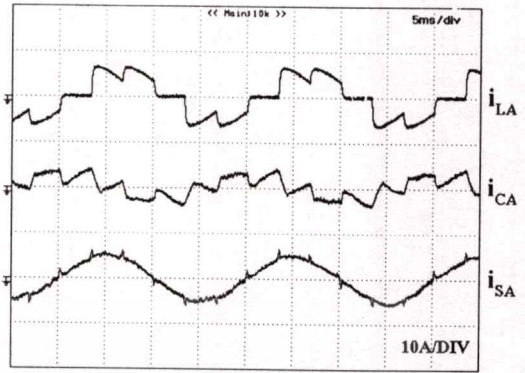
**กรณีที่ 2** วงจรไทรสเตอร์ที่มีการปรับมุมจุดชนวนแบบเต็มคลื่น โดยต่ออยู่กับโหลดที่เป็นตัวต้านทาน 80โอห์ม ที่ต่ออนุกรมกับตัวเหนี่ยวนำ 20 มิลลิเฮนรี่ ซึ่งการทดลองได้ทำการปรับมุมจุดชนวนไว้ 2 กรณี ดังนี้

เอกสารนี้เป็นเอกสารที่สงวนไว้สำหรับการใช้งานเพื่อการศึกษาเท่านั้น ไม่อนุญาตให้นำไปใช้ประโยชน์ด้านการค้า ไม่ว่าจะกรณีใดๆทั้งสิ้น อีกทั้งห้ามมิให้คัดแปลงเนื้อหา และต้องอ้างอิงถึงเจ้าของเอกสารทุกครั้งที่มีการนำไปใช้

กรณีศึกษาที่ 2.1 วงจรไทรสเตอร์ที่มีการปรับมุมจุดชนวนไว้ที่ 30 องศา

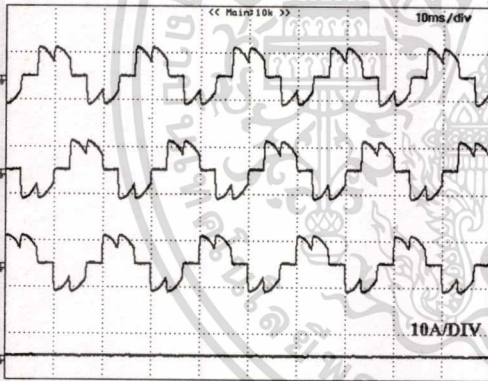


(ก) ผลการประมวลผลของตัวประมวลผลสัญญาณดิจิทัลที่เฟส A

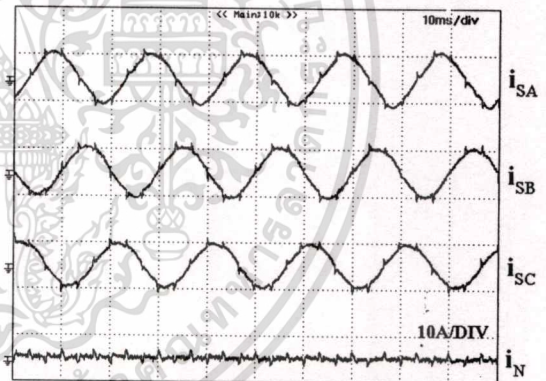


(ข) ผลการชดเชยกระแสจริงของเฟส A

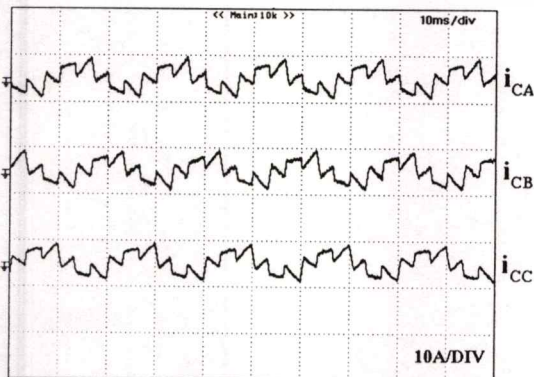
รูปที่ 6.6 ผลการประมวลผลของตัวประมวลผลสัญญาณดิจิทัลและการชดเชยกระแสจริงของกระแสเฟส A กรณีโหลดเป็นวงจรไทรสเตอร์ที่มีการปรับมุมจุดชนวนไว้ที่ 30 องศา



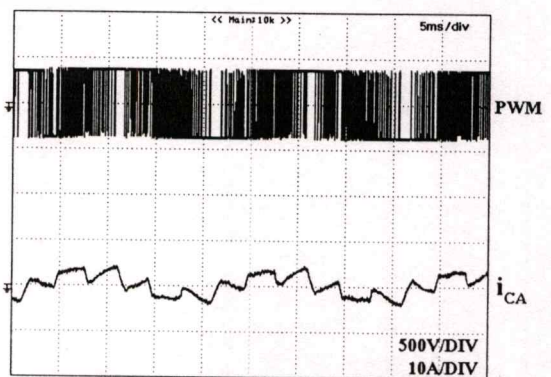
(ค) กระแสแหล่งจ่ายก่อนการชดเชยทั้งสามเฟสและกระแสที่สายนิวทรัล



(ข) กระแสแหล่งจ่ายหลังการชดเชยทั้งสามเฟสและกระแสที่สายนิวทรัล

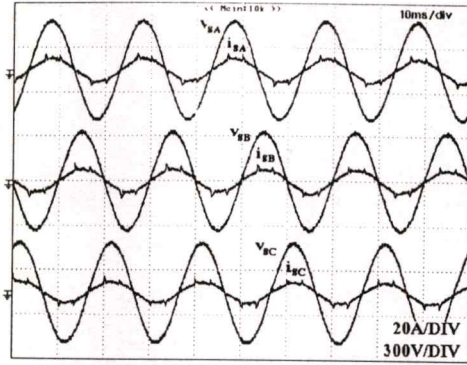


(ค) กระแสที่ทำการชดเชยทั้งสามเฟส



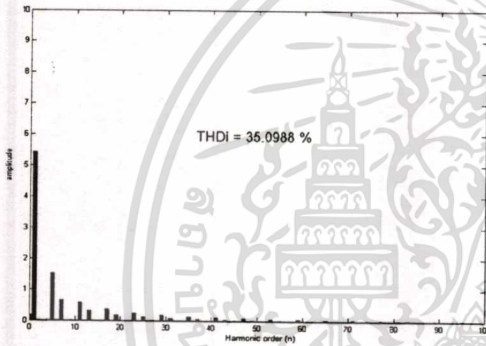
(ง) สัญญาณพีดับบลิวและกระแสชดเชยเฟส A

เอกสารนี้เป็นเอกสารที่สงวนลิขสิทธิ์ไว้เพื่อการศึกษาเท่านั้น เมื่ออนุญาตให้เผยแพร่โดยไม่เสียค่าใช้จ่าย  
ไม่ว่ากรณีใดๆทั้งสิ้น อีกทั้งห้ามมิให้ดัดแปลงเนื้อหา และต้องอ้างอิงถึงเจ้าของเอกสารทุกครั้งที่มีการนำไปใช้

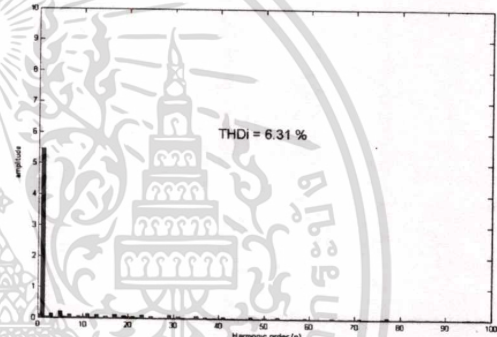


(จ) กระแสและแรงดันแหล่งจ่ายทั้งสามเฟส

รูปที่ 6.7 รูปคลื่นกระแสและแรงดันที่จุดต่างๆในกรณีโหลดเป็นวงจรทริสเตอร์ที่มีการปรับมุมจุดชนวนไว้ที่ 30 องศา



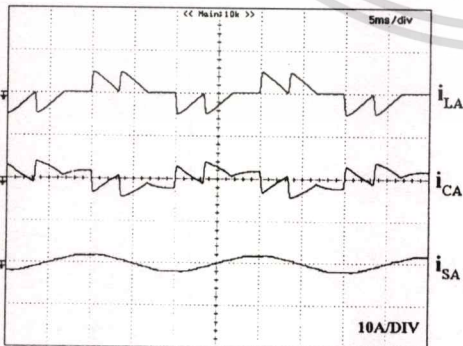
(ก) สเปกตรากะแสฮาร์โมนิกแหล่งจ่ายก่อนทำการชดเชย



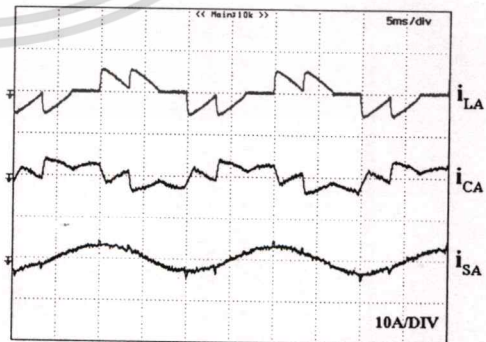
(ข) สเปกตรากะแสฮาร์โมนิกแหล่งจ่ายหลังทำการชดเชย

รูปที่ 6.8 สเปกตรากะแสแหล่งจ่ายที่ได้จากรูปที่ 6.7 (ก) และรูปที่ 6.7 (ข) ตามลำดับ

กรณีที่ 2.2 วงจรทริสเตอร์ที่มีการปรับมุมจุดชนวนไว้ที่ 60 องศา

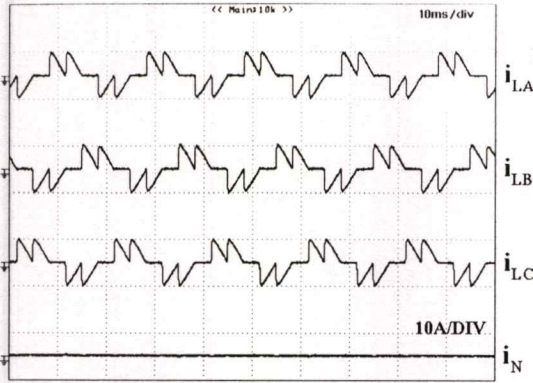


(ก) ผลการประมวลผลของตัวประมวลผลสัญญาณดิจิทัลที่เฟส A

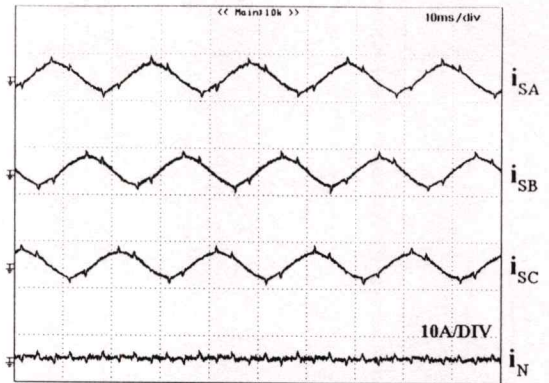


(ข) ผลการชดเชยกระแสจริงของเฟส A

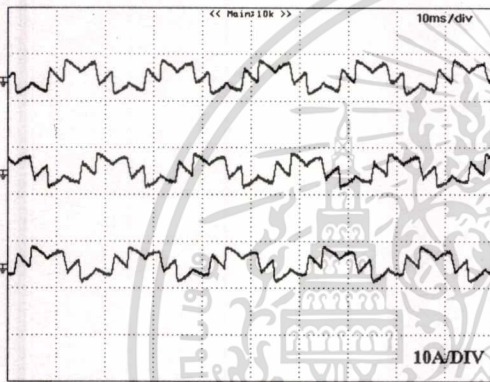
รูปที่ 6.9 ผลการประมวลผลของตัวประมวลผลสัญญาณดิจิทัลและการชดเชยกระแสจริงของเอกสารนี้เป็นเอกสารที่สงวนไว้สำหรับการใช้งานเพื่อการศึกษาเท่านั้น เมื่ออนุญาตให้ท่านไปใช้ประโยชน์ด้านการค้า กระแสเฟส A กรณีโหลดเป็นวงจรทริสเตอร์ที่มีการปรับมุมจุดชนวนไว้ที่ 30 องศา ไม่ว่าจะกรณีใดๆทั้งนั้น อีกทั้งห้ามเผยแพร่ลงเนื้อหา และต้องอ้างอิงถึงเจ้าของเอกสารทุกครั้งที่มีการนำไปใช้



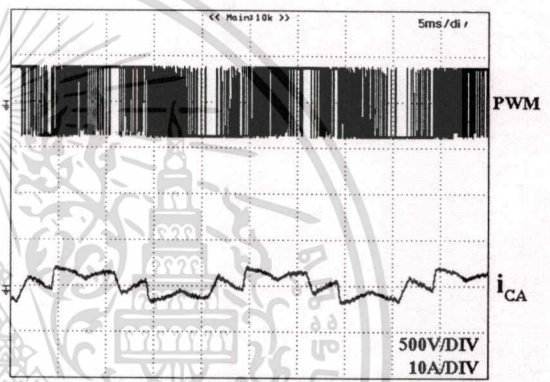
(ก) กระแสแหล่งจ่ายก่อนการชดเชยทั้งสามเฟส และกระแสที่สายนิวทรัล



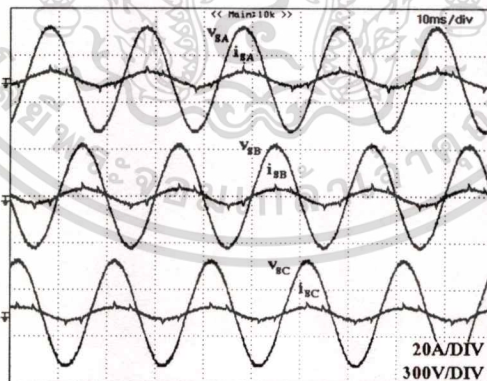
(ข) กระแสแหล่งจ่ายหลังการชดเชยทั้งสามเฟส และกระแสที่สายนิวทรัล



(ค) กระแสที่ทำการชดเชยทั้งสามเฟส



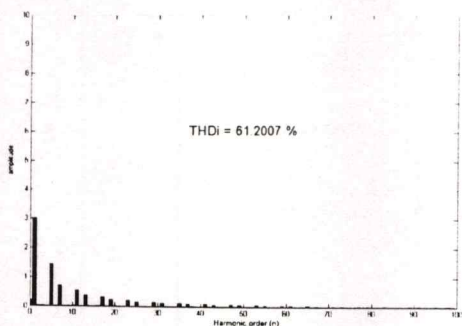
(ง) สัญญาณพีดีบีบลิวและกระแสชดเชยเฟส A



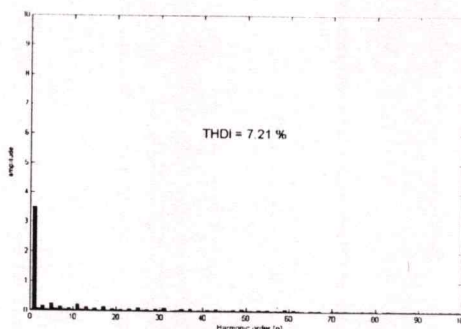
(จ) กระแสและแรงดันแหล่งจ่ายทั้งสามเฟส

รูปที่ 6.10 รูปคลื่นกระแสและแรงดันที่จุดต่างๆในกรณีโหลดเป็นวงจร ทรินสเตอร์ที่มีการปรับมุมจุดชนวน ไร่ที่ 60 องศา

เอกสารนี้เป็นเอกสารที่สงวนไว้สำหรับการใช้งานเพื่อการศึกษาเท่านั้น ไม่อนุญาตให้นำไปใช้ประโยชน์ด้านการค้า ไม่ว่าจะกรณีใดๆทั้งสิ้น อีกทั้งห้ามมิให้ดัดแปลงเนื้อหา และต้องอ้างอิงถึงเจ้าของเอกสารทุกครั้งที่มีการนำไปใช้



(ก) สเปกตราระยะแสะฮาร์โมนิกแหล่งจ่ายก่อนทำการชดเชย



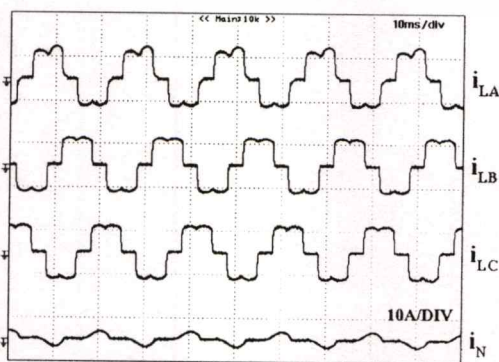
(ข) สเปกตราระยะแสะฮาร์โมนิกแหล่งจ่ายหลังทำการชดเชย

รูปที่ 6.11 สเปกตราระยะแสะแหล่งจ่ายที่ได้จากรูปที่ 6.10 (ก) และรูปที่ 6.10 (ข) ตามลำดับ

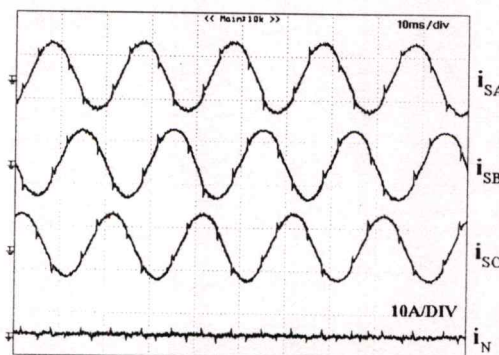
จากการทดลองในกรณีที่โหลดเป็นวงจรไทรสเตอร์ที่มีการปรับมุมจุดชนวนจะพบว่ากระแสแหล่งจ่ายก่อนทำการชดเชยเฟสของกระแสถูกเลื่อนไปตามมุมของการจุดชนวน แต่หลังจากทำการชดเชยกระแสฮาร์โมนิกแล้วจะพบว่ากระแสฮาร์โมนิกของแหล่งจ่ายจะมีค่าลดลงรวมทั้งเฟสของกระแสแหล่งจ่ายหลังทำการชดเชยแล้วจะอินเฟสกับเฟสของแรงดันมากขึ้น ซึ่งทำให้ค่าประกอบกำลังมีค่าเพิ่มขึ้นจาก 0.827 เฟอร์เซ็นต์ไปเป็น 0.98 เฟอร์เซ็นต์ ในกรณีที่มุมจุดชนวนเท่ากับ 30 องศา จะค่าประกอบกำลังมีค่าเพิ่มขึ้นจาก 0.483 เฟอร์เซ็นต์ไปเป็น 0.97 เฟอร์เซ็นต์ ในกรณีมุมจุดชนวนเท่ากับ 60 องศา ซึ่งเป็นการแสดงให้เห็นว่าวงจรรอกกำลังแอคทีฟนี้สามารถทำการชดเชยในส่วนที่เป็นกระแสรีแอคทีฟได้

### 6.3.2 กรณีโหลดไม่สมดุล

สำหรับการทดลองกรณีที่โหลดไม่สมดุลนี้ได้ทำการทดลองโดยต่อโหลดเป็นวงจรไดโอดเรียงกระแสนิดสามเฟสเต็มคลื่นที่มีโหลดเป็นตัวต้านทาน 80 โอห์มต่ออนุกรมกับตัวเหนี่ยวนำ 20 มิลลิเฮนรี่ และที่เฟส A ต่อวงจรไดโอดเรียงกระแสนิดหนึ่งเฟสที่มีตัวรอกเป็นตัวเหนี่ยวนำ 100 มิลลิเฮนรี่ ต่ออยู่กับตัวเก็บประจุ 2,200 ไมโครฟารัด ที่มีโหลดเป็นตัวต้านทาน 200 โอห์ม

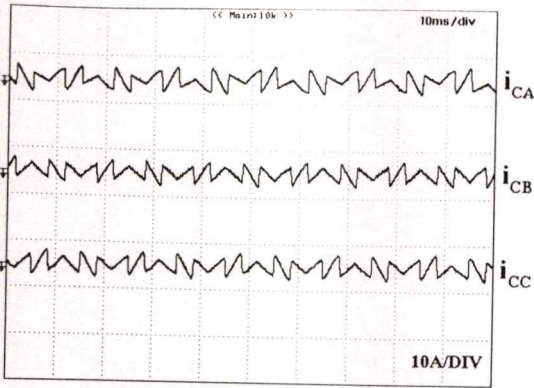


(ก) กระแสแหล่งจ่ายก่อนการชดเชยทั้งสามเฟส และกระแสที่สายนิวทรัล

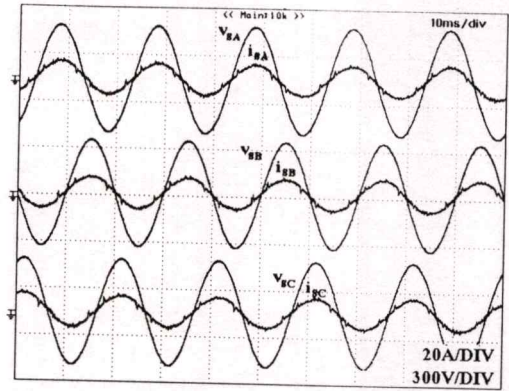


(ข) กระแสแหล่งจ่ายหลังการชดเชยทั้งสามเฟส และกระแสที่สายนิวทรัล

เอกสารนี้เป็นเอกสารที่สมมุติไว้สำหรับการใช้งานเพื่อการศึกษาเท่านั้น ไม่อนุญาตให้นำไปใช้ประโยชน์ด้านการค้า ไม่ว่าจะกรณีใดๆทั้งสิ้น อีกทั้งห้ามมิให้ตัดแปลงเนื้อหา และต้องอ้างอิงถึงเจ้าของเอกสารทุกครั้งที่มีการนำไปใช้



(ก) กระแสที่ทำการชดเชยทั้งสามเฟส



(ง) กระแสและแรงดันแหล่งจ่ายทั้งสามเฟส

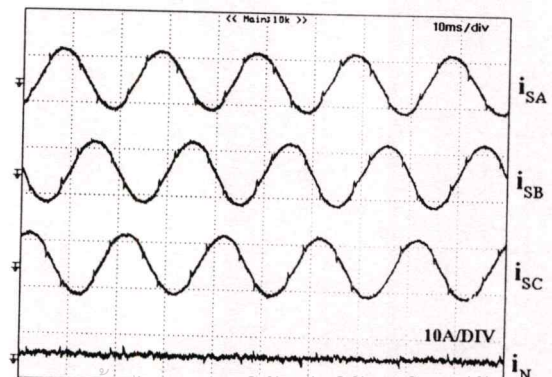
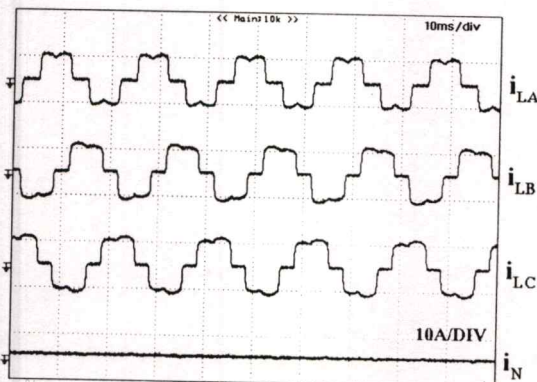
รูปที่ 6.12 รูปคลื่นกระแสและแรงดันที่จุดต่างๆในกรณีโหลดเกิดการไม่สมดุล

จากผลการทดลองในกรณีที่มีโหลดชนิดไม่สมดุลต่ออยู่ในระบบจะมีกระแสเกิดขึ้นกระแสในสายนิวทรัล แต่เมื่อทำการชดเชยกระแสฮาร์โมนิกด้วยวงจรกรองกำลังแอกทีฟแล้วกระแสที่แหล่งจ่ายจะมีลักษณะใกล้เคียงขายน้ามากขึ้น รวมทั้งสามารถทำการชดเชยกระแสของแหล่งจ่ายที่เกิดการไม่สมดุลให้กระแสของแหล่งจ่ายเกิดการสมดุลได้จึงเป็นผลทำให้กระแสที่สายนิวทรัลมีขนาดลดลง โดยสามารถดูได้จากผลการทดลองรูปที่ 6.13 (ข)

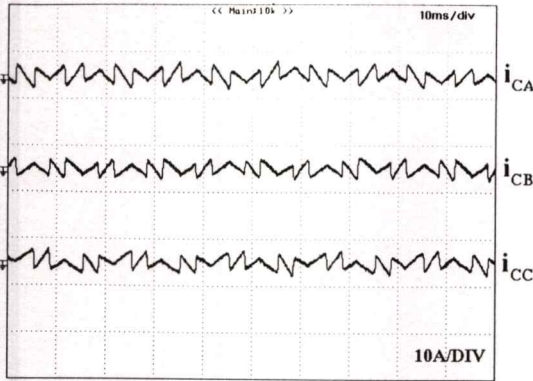
### 6.3.3 กรณีแหล่งจ่ายแรงดันไม่สมดุล

ในการทดลองกรณีที่แหล่งจ่ายแรงดันไม่สมดุลนั้นได้แบ่งการทดลองออกเป็น 2 กรณี คือกรณีที่แหล่งจ่ายมีแรงดันไม่สมดุล 1 เฟส และกรณีที่แหล่งจ่ายมีแรงดันไม่สมดุล 2 เฟส โดยโหลดที่ต่อในระบบเป็นวงจรไดโอดเรียงกระแสชนิดสามเฟสแบบเต็มคลื่นต่ออยู่กับโหลดที่เป็นตัวต้านทาน 80 โอห์ม ต่ออนุกรมอยู่กับตัวเหนี่ยวนำ 20 มิลลิเฮนรี่

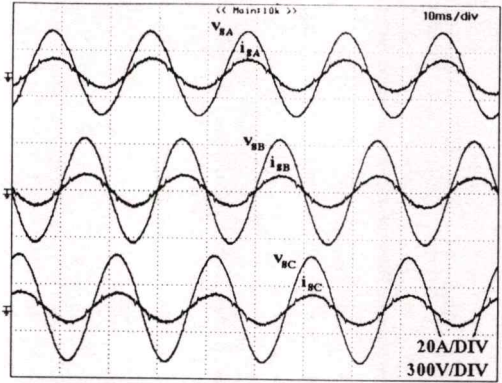
**กรณีที่ 1** แหล่งจ่ายแรงดันเกิดการไม่สมดุล 1 เฟส ซึ่งการทดลองนี้ได้ทำการทดลองโดยการปรับแรงดันของระบบให้ เฟส A มีแรงดันเป็น 200 โวลต์ (ลดลง 10 เปอร์เซ็นต์จาก 220 โวลต์) ส่วนเฟส B และเฟส C มีแรงดันเป็น 220 โวลต์



(ก) กระแสแหล่งจ่ายก่อนการชดเชยทั้งสามเฟส (ข) กระแสแหล่งจ่ายหลังการชดเชยทั้งสามเฟส



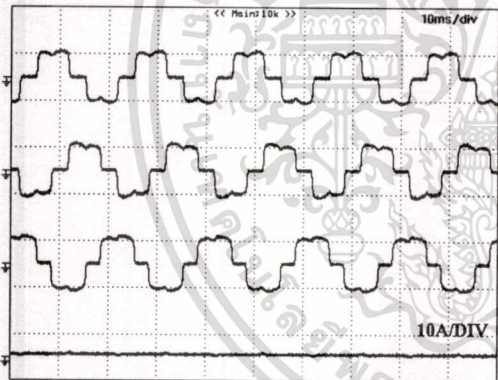
(ก) กระแสที่ทำการชดเชยทั้งสามเฟส



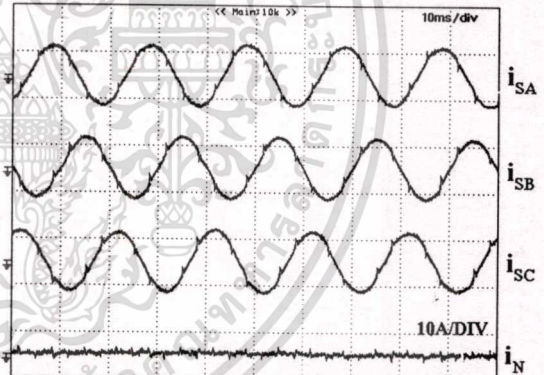
(ง) กระแสและแรงดันแหล่งจ่ายทั้งสามเฟส

รูปที่ 6.13 รูปคลื่นกระแสและแรงดันที่จุดต่างๆในกรณีแหล่งจ่ายแรงดันเกิดการไม่สมดุล 1 เฟส

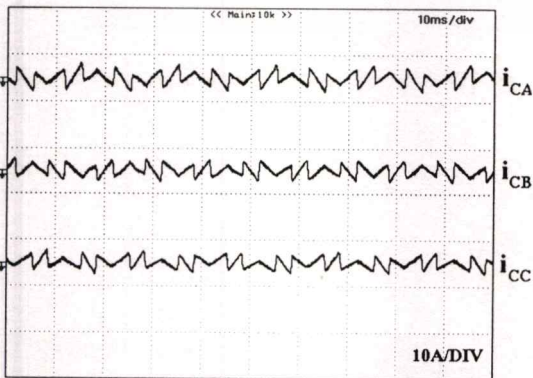
กรณีที่ 2 กรณีแหล่งจ่ายแรงดันเกิดไม่สมดุล 2 เฟส ซึ่งการทดลองนี้ได้ทำการทดลองโดยการปรับแรงดันของระบบให้ เฟส A มีแรงดันเป็น 180 โวลต์ (ลดลง 20 เปอร์เซ็นต์จาก 220 โวลต์) ส่วนเฟส B มีแรงดันเป็น 200 โวลต์ (ลดลง 20 เปอร์เซ็นต์จาก 220 โวลต์) และเฟส C มีแรงดันเป็น 220 โวลต์



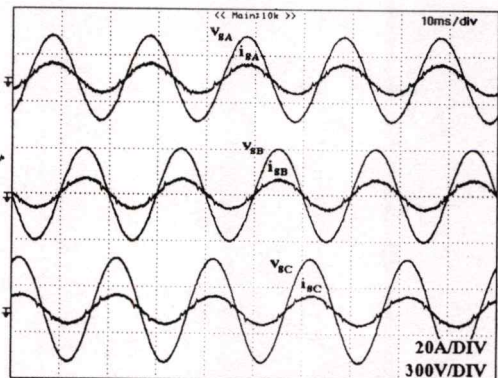
(ก) กระแสแหล่งจ่ายก่อนการชดเชยทั้งสามเฟส และกระแสที่สายนิวทรัล



(ข) กระแสแหล่งจ่ายหลังการชดเชยทั้งสามเฟส และกระแสที่สายนิวทรัล



(ค) กระแสที่ทำการชดเชยทั้งสามเฟส



(ง) กระแสและแรงดันแหล่งจ่ายทั้งสามเฟส

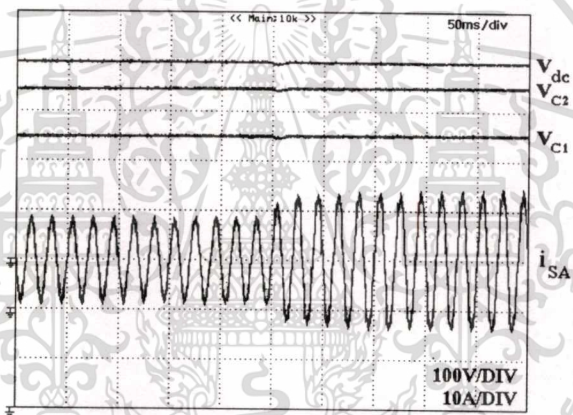
รูปที่ 6.14 รูปคลื่นกระแสและแรงดันที่จุดต่างๆในกรณีแหล่งจ่ายแรงดันเกิดการไม่สมดุล 2 เฟส

เอกสารนี้เป็นเอกสารลิขสิทธิ์สงวนไว้สำหรับการใช้ภายในเพื่อการศึกษาเท่านั้น ไม่อนุญาตให้นำไปใช้ประโยชน์ด้านการค้า  
ไม่ว่ากรณีใดๆทั้งสิ้น อีกทั้งห้ามมิให้ดัดแปลงเนื้อหา และต้องอ้างอิงถึงเจ้าของเอกสารทุกครั้งที่มีการนำไปใช้

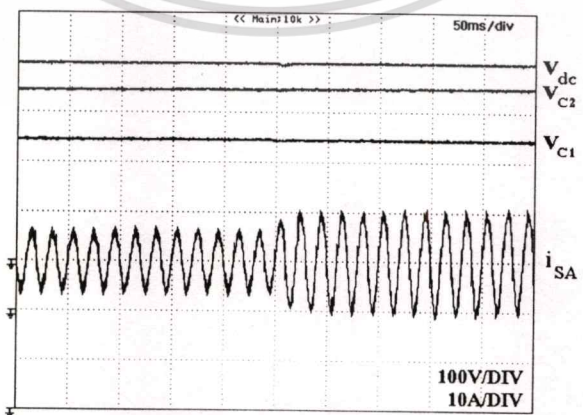
จากผลการทดลองในกรณีที่แหล่งจ่ายเกิดการไม่สมดุลทั้งในกรณีไม่สมดุลทางด้านแรงดัน  $i$  เฟส และแรงดันไม่สมดุล 2 เฟส จะพบว่าวงจรรอกำลังแอกทีฟในงานวิจัยนี้ยังคงสามารถทำการชดเชยกระแสฮาร์โมนิกที่เกิดขึ้นในระบบได้

### 6.4 ผลการตอบสนองชั่วคราวของการทำงาน

การทดลองส่วนนี้จะเป็นการทดลองวงจรรอกำลังแอกทีฟที่ได้สร้างขึ้นเพื่อทำการศึกษารถึงผลการตอบสนองในกรณีที่กระแสโหลดมีการเปลี่ยนแปลงฉับพลันแบบขั้น โดยโหลดที่นำมาทดลองประกอบไปด้วย วงจรไดโอดเรียงกระแส และวงจรไทรสเตอร์ที่มีการปรับมุมจุดชนวนชนิดสามเฟสแบบเต็มคลื่น การทดลองนี้ได้ทำการเปลี่ยนแปลงค่าโหลดของวงจรจากตัวต้านทาน 160 โอห์มไปเป็นตัวต้านทาน 80 โอห์ม ซึ่งต่ออนุกรมกับตัวเหนี่ยวนำ 20 มิลลิเฮนรี่

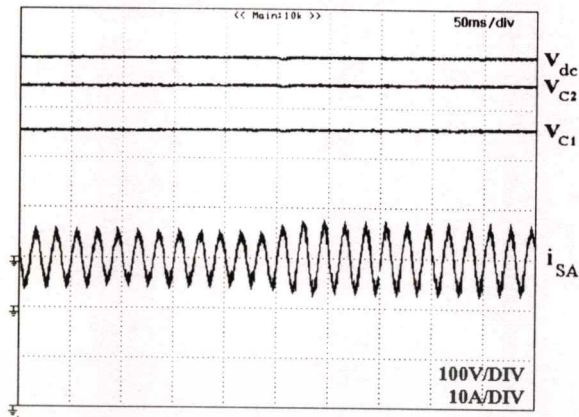


รูปที่ 6.15 ผลตอบสนองสถานะชั่วคราวขณะเพิ่มกระแสโหลดแบบฉับพลันที่มีโหลดเป็นวงจรไดโอดเรียงกระแสชนิดสามเฟสแบบเต็มคลื่น



รูปที่ 6.16 ผลตอบสนองสถานะชั่วคราวขณะเพิ่มกระแสโหลดแบบฉับพลันที่มีโหลดเป็นวงจรไทรสเตอร์

เอกสารนี้เป็นเอกสารที่จัดทำขึ้นไว้เพื่อใช้ในการศึกษาวิจัยเท่านั้น ไม่สามารถนำข้อมูลไปใช้ประโยชน์ด้านการค้า ไม่ว่าจะกรณีใดๆทั้งสิ้น อีกทั้งห้ามมิให้คัดแปลงเนื้อหา และต้องอ้างอิงถึงเจ้าของเอกสารทุกครั้งที่มีการนำไปใช้

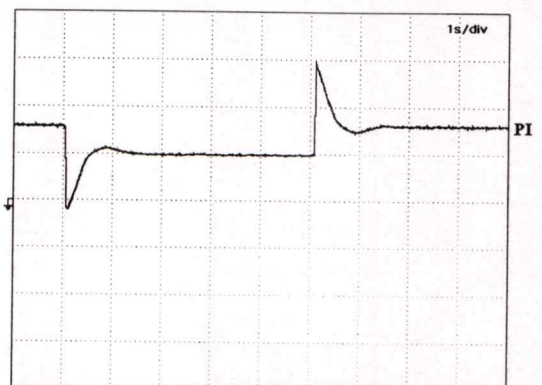
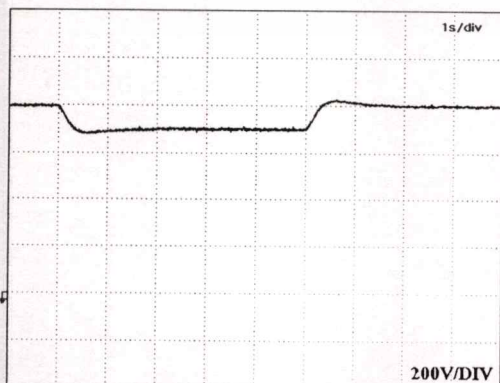


รูปที่ 6.17 ผลตอบสนองสถานะชั่วคราวขณะเพิ่มกระแสโหลดแบบฉับพลันที่มีโหลดเป็นวงจรทรินสโตรที่มีการปรับมุมจุดชนวนแบบเต็มคลื่นซึ่งปรับมุมจุดชนวนที่ 60 องศา

จากผลการทดลองพบว่าวงจรรอกำลังแอกทีฟที่ได้ออกแบบนี้มีผลการตอบสนองต่อการเปลี่ยนแปลงของกระแสโหลดแบบฉับพลันค่อนข้างรวดเร็วโดยใช้เวลาเพียงประมาณ 20 มิลลิวินาที ในการติดตามรูปคลื่นกระแสสัญญาณ และจะพบอีกว่าแรงดันของตัวเก็บประจุทั้งสองตัวสามารถทำการรักษาระดับแรงดันให้คงที่ได้ โดยแรงดันจะตกเพียงเล็กน้อยในช่วงการเปลี่ยนแปลงค่ากระแสโหลด

### 6.5 ผลการทดลองระบบรักษาระดับแรงดันไฟตรง

ในส่วนนี้จะเป็นการทดลองการทำงานของระบบรักษาระดับแรงดันไฟตรงให้คงที่ได้ ออกแบบไว้ ซึ่งในการทดลองนี้จะเป็นการทดลองโดยทำการเปลี่ยนแปลงค่าคำสั่งของระดับแรงดันไฟตรงอ้างอิงไปมาระหว่างค่า 700 โวลต์ และ 800 โวลต์ ซึ่งลักษณะของคำสั่งจะเป็นแบบขั้น ผลการทดลองแสดงได้ดังรูปที่ 6.18



(ก) แรงดันบัสไฟตรงตกคร่อมตัวเก็บประจุ ( $V_{dc}$ )

(ข) สัญญาณขาออกของส่วนควบคุมพีไอ

เอกสารนี้เป็นเอกสารที่สงวนไว้สำหรับการใช้งานเพื่อการศึกษาเท่านั้น เมื่อนุญาตให้มาใช้ประโยชน์ด้านการค้า  
รูปที่ 6.18 ผลการทำงานของระบบรักษาระดับไฟตรง  
ไม่ว่ากรณีใดๆทั้งสิ้น อีกทั้งห้ามมีเหตุดัดแปลงเนื้อหา และต้องอ้างอิงถึงเจ้าของเอกสารทุกครั้งที่มีการนำไปใช้

จากรูปที่ 6.18 แสดงถึงขนาดของสัญญาณขาออกของตัวควบคุมแบบพีไอที่ใช้ในการควบคุมระดับแรงดันไฟตรง ซึ่งจะเห็นว่าระดับแรงดันไฟตรงที่ได้มีการเปลี่ยนแปลงตามคำสั่งแบบขั้น โดยระบบสามารถควบคุมให้ค่าระดับแรงดันบัสไฟตรงมีค่าตามต้องการได้ และมีความเร็วในการตอบสนองใกล้เคียงกับที่ได้ออกแบบไว้คือ 2 วินาที

## 6.6 การประเมินสมรรถนะของวงจรรอกำลังแอกทีฟ

การทดลองเพื่อประเมินสถานะของวงจรรอกำลังแอกทีฟที่ใช้ในงานวิจัยนี้ได้ทำการทดลองกับโหลด ประเภทต่างๆ ซึ่งได้แก่ วงจรไดโอดเรียงกระแสชนิดสามเฟสแบบเต็มคลื่น และวงจรทรินสเตอร์ที่มีการปรับมุมจุดชนวนแบบเต็มคลื่น ซึ่งการทดลองนี้เป็นการเปรียบเทียบเปอร์เซ็นต์ของค่าองค์ประกอบความผิดเพี้ยนรวม ( $THD$ ), ค่าประสิทธิภาพ ( $\eta$ ), ค่าตัวประกอบกำลังไฟฟ้า ( $PF$ ), ค่าตัวประกอบการกระจัด ( $DPF$ ) เมื่อมีการเปลี่ยนแปลงโหลดชนิดไม่เป็นเชิงเส้นจาก 1 kW จนถึง 3 kW

ตารางที่ 6.1 การทดลองวงจรรอกำลังแอกทีฟที่มีโหลดเป็นวงจรไดโอดเรียงกระแสชนิดสามเฟสแบบเต็มคลื่น

Voltage Input (Volt <sub>rms</sub> )			Current Input (Amp <sub>rms</sub> )			Power Input (kW)			Voltage Output (Volt)	Current Output (Amp)
V <sub>SA</sub>	V <sub>SB</sub>	V <sub>SC</sub>	I <sub>SA</sub>	I <sub>SB</sub>	I <sub>SC</sub>	P <sub>SA</sub>	P <sub>SB</sub>	P <sub>SC</sub>	V <sub>o</sub>	I <sub>o</sub>
220.19	221.07	219.76	1.764	1.776	1.742	0.376	0.381	0.371	513.4	1.94
219.78	221.13	219.23	2.098	2.095	2.111	0.447	0.448	0.449	513.3	2.32
220.03	220.78	219.84	2.475	2.490	2.449	0.531	0.536	0.524	513.2	2.76
220.14	220.93	220.09	2.784	2.841	2.695	0.597	0.614	0.579	513.2	3.11
219.98	220.42	220.13	3.004	2.973	3.215	0.645	0.641	0.693	513.1	3.46
220.13	219.49	219.67	3.386	3.391	3.391	0.732	0.731	0.730	513.0	3.87
219.75	220.98	219.52	3.594	3.592	3.855	0.774	0.782	0.832	513.1	4.23
221.04	221.47	220.74	3.951	3.944	3.924	0.862	0.863	0.855	513.4	4.59
220.37	220.61	219.88	4.377	4.372	4.368	0.956	0.955	0.950	513.1	5.10
220.19	219.83	220.72	4.642	4.622	4.699	1.012	1.007	1.028	513.1	5.42
220.43	220.12	221.36	4.843	4.822	4.937	1.059	1.054	1.082	513.3	5.81

เอกสารนี้เป็นเอกสารที่สงวนไว้สำหรับการใช้งานเพื่อการศึกษาเท่านั้น ไม่อนุญาตให้นำไปใช้ประโยชน์ด้านการค้า ไม่ว่าจะกรณีใดๆทั้งสิ้น อีกทั้งห้ามมิให้ดัดแปลงเนื้อหา และต้องอ้างอิงถึงเจ้าของเอกสารทุกครั้งที่มีการนำไปใช้

ตารางที่ 6.1 (ต่อ)

Power Output (kW)	efficiency (%)	Total Harmonic Distortion (%)			Power Factor			Displacement Power Factor		
		THD <sub>iA</sub>	THD <sub>iB</sub>	THD <sub>iC</sub>	PF <sub>A</sub>	PF <sub>B</sub>	P <sub>SC</sub>	DPF <sub>A</sub>	DPF <sub>B</sub>	DPF <sub>C</sub>
0.996	88.23	7.261	7.238	7.310	0.968	0.970	0.969	0.970	0.970	0.971
1.190	88.57	7.133	7.181	7.248	0.969	0.967	0.970	0.971	0.971	0.972
1.416	89.02	7.028	7.105	7.059	0.975	0.975	0.973	0.977	0.977	0.975
1.596	89.13	6.744	6.769	6.712	0.974	0.978	0.976	0.976	0.976	0.978
1.775	89.67	6.637	6.607	6.615	0.976	0.978	0.979	0.978	0.978	0.981
1.867	90.52	6.576	6.532	6.538	0.982	0.982	0.980	0.984	0.984	0.982
2.169	90.87	6.430	6.462	6.434	0.980	0.985	0.983	0.982	0.982	0.985
2.356	91.33	6.228	6.197	6.270	0.987	0.988	0.987	0.988	0.988	0.988
2.616	91.46	6.051	5.973	6.122	0.991	0.990	0.989	0.992	0.992	0.990
2.781	91.25	5.843	5.850	5.875	0.990	0.991	0.991	0.991	0.991	0.992
2.982	93.32	5.682	5.641	5.632	0.992	0.993	0.990	0.993	0.993	0.991

ตารางที่ 6.2 การทดลองวงจรกรองกำลังแอกทีฟที่มีโหลดเป็นวงจรไทรสเตอร์ที่มีมุมจุดชนวน 30 องศา

Voltage Input (Volt <sub>rms</sub> )			Current Input (Amp <sub>rms</sub> )			Power Input (kW)			Voltage Output (Volt)	Current Output (Amp)
V <sub>SA</sub>	V <sub>SB</sub>	V <sub>SC</sub>	I <sub>SA</sub>	I <sub>SB</sub>	I <sub>SC</sub>	P <sub>SA</sub>	P <sub>SB</sub>	P <sub>SC</sub>	V <sub>o</sub>	I <sub>o</sub>
220.13	219.54	220.34	2.011	2.087	1.965	0.402	0.412	0.395	445.3	2.27
220.84	220.18	220.65	2.393	2.421	2.350	0.482	0.492	0.471	445.6	2.70
219.52	220.21	219.37	2.616	2.565	2.668	0.526	0.518	0.535	445.7	2.91
219.37	220.36	220.83	2.975	2.906	2.942	0.607	0.597	0.601	445.3	3.42
218.46	219.89	220.14	3.234	3.321	3.341	0.672	0.691	0.698	445.1	3.93
220.15	220.14	219.67	3.353	3.325	3.325	0.711	0.702	0.702	445.4	4.13
220.33	219.85	219.93	3.909	3.952	3.972	0.833	0.835	0.843	445.3	4.97
221.63	219.87	220.74	4.058	4.059	4.105	0.868	0.863	0.879	445.4	5.25
220.38	220.92	221.86	4.402	4.409	4.382	0.943	0.945	0.949	445.7	5.76
220.84	221.61	220.72	4.6161	4.5078	4.715	0.997	0.982	1.019	445.7	6.11
219.57	220.43	219.58	4.9397	4.9902	5.086	1.064	1.078	1.098	445.5	6.62

ตารางที่ 6.2 (ต่อ)

Power Output (kW)	efficiency (%)	Total Harmonic Distortion (%)			Power Factor			Displacement Power Factor		
		$\eta$	THD <sub>IA</sub>	THD <sub>IB</sub>	THD <sub>IC</sub>	PF <sub>A</sub>	PF <sub>B</sub>	PF <sub>C</sub>	DPF <sub>A</sub>	DPF <sub>B</sub>
1.010	83.59	7.283	7.318	7.307	0.908	0.899	0.912	0.910	0.901	0.914
1.203	83.24	7.131	7.121	7.113	0.912	0.923	0.908	0.914	0.925	0.910
1.297	82.12	7.025	7.145	7.146	0.916	0.917	0.914	0.918	0.919	0.916
1.522	84.35	7.032	7.057	7.087	0.930	0.932	0.925	0.932	0.934	0.927
1.749	84.87	6.988	6.912	6.931	0.951	0.946	0.949	0.953	0.948	0.951
1.839	86.94	6.743	6.734	6.780	0.963	0.959	0.961	0.965	0.961	0.963
2.213	88.12	6.697	6.706	6.706	0.967	0.961	0.965	0.969	0.963	0.967
2.338	89.56	6.691	6.688	6.693	0.965	0.967	0.970	0.967	0.969	0.972
2.567	90.47	6.423	6.437	6.524	0.972	0.970	0.976	0.974	0.972	0.978
2.723	90.83	6.324	6.381	6.402	0.978	0.983	0.979	0.980	0.985	0.981
2.949	91.02	6.289	6.303	6.295	0.981	0.980	0.983	0.982	0.981	0.984

ตารางที่ 6.3 การทดลองวงจรกรองกำลังแอกทีฟที่มีโหลดเป็นวงจรไทรสเตอร์ที่มีมุมจุดชนวน 60 องศา

Voltage Input (Volt <sub>rms</sub> )			Current Input (Amp <sub>rms</sub> )			Power Input (kW)			Voltage Output (Volt)	Current Output (Amp)
V <sub>SA</sub>	V <sub>SB</sub>	V <sub>SC</sub>	I <sub>SA</sub>	I <sub>SB</sub>	I <sub>SC</sub>	P <sub>SA</sub>	P <sub>SB</sub>	P <sub>SC</sub>	V <sub>o</sub>	I <sub>o</sub>
219.83	220.46	220.95	2.056	2.221	2.278	0.397	0.431	0.444	257.6	4.03
219.34	220.31	220.68	2.501	2.452	2.463	0.484	0.482	0.486	257.6	4.61
220.32	220.47	219.66	2.851	2.713	3.009	0.561	0.533	0.599	257.5	5.42
220.14	219.83	220.78	3.219	3.184	3.064	0.635	0.621	0.615	257.6	6.01
220.38	219.92	220.53	3.580	3.616	3.521	0.722	0.734	0.716	257.7	6.97
220.42	220.18	220.18	3.836	3.851	3.831	0.794	0.781	0.782	257.8	7.64
221.25	220.74	220.54	4.112	4.094	4.154	0.859	0.856	0.854	257.9	8.43
220.91	220.65	219.83	4.286	4.250	4.285	0.891	0.891	0.895	257.7	9.12
220.33	220.32	221.65	4.571	4.581	4.521	0.963	0.962	0.963	257.9	9.87
220.61	220.43	220.37	4.762	4.747	4.710	1.016	1.014	1.010	257.8	10.66
219.85	220.57	220.49	5.042	5.019	5.031	1.082	1.086	1.085	257.8	11.43

ตารางที่ 6.3 (ต่อ)

Power Output (kW)	efficiency (%)	Total Harmonic Distortion (%)			Power Factor			Displacement Power Factor		
		THD <sub>iA</sub>	THD <sub>iB</sub>	THD <sub>iC</sub>	PF <sub>A</sub>	PF <sub>B</sub>	PF <sub>C</sub>	DPF <sub>A</sub>	DPF <sub>B</sub>	DPF <sub>C</sub>
1.038	81.57	7.561	7.608	7.583	0.878	0.880	0.882	0.880	0.882	0.884
1.187	81.74	7.608	7.523	7.542	0.882	0.892	0.894	0.884	0.894	0.896
1.395	82.39	7.432	7.426	7.468	0.893	0.891	0.906	0.895	0.893	0.908
1.548	82.71	7.221	7.217	7.239	0.896	0.887	0.909	0.898	0.889	0.911
1.796	82.67	7.109	7.185	7.151	0.915	0.923	0.922	0.917	0.925	0.924
1.969	83.53	7.027	7.122	7.037	0.939	0.921	0.927	0.941	0.923	0.929
2.174	84.61	6.923	6.978	7.004	0.944	0.947	0.932	0.946	0.949	0.934
2.350	87.78	6.731	6.824	6.780	0.941	0.950	0.950	0.943	0.952	0.952
2.545	88.12	6.698	6.719	6.718	0.956	0.953	0.961	0.958	0.955	0.963
2.748	90.39	6.535	6.522	6.556	0.967	0.969	0.973	0.969	0.971	0.975
2.946	90.54	6.482	6.437	6.471	0.976	0.981	0.978	0.978	0.983	0.980

โดยผลการประเมินสถานะของวงจรรอกำลังแอกทีฟที่ทำการทดลองกับกรณีต่างๆดังที่ได้ทำการทดลองมาแล้วตามหัวข้อที่ 6.3.2 สามารถแสดงได้ดังตารางที่ 6.4 และ ตารางที่ 6.5

ตารางที่ 6.4 การทดลองวงจรรอกำลังแอกทีฟในสถานะต่างๆ ในช่วงก่อนทำการชดเชยกระแสฮาร์โมนิก

เงื่อนไขของระบบที่นำมาทำการทดลอง	Apparent Power (kVA)	Active Power (kW)	PF	THDi <sub>A</sub> (%)	THDi <sub>B</sub> (%)	THDi <sub>C</sub> (%)	
1. ระบบสมดุลด้านโหลด	3.207	3.072	0.958	29.18	29.23	29.21	
2. ระบบไม่สมดุลด้านโหลด	3.524	3.390	0.962	32.41	29.23	29.19	
3. แรงดันแหล่งจ่าย ระบบไม่สมดุล	ไม่สมดุลหนึ่งเฟส	3.153	3.027	0.960	29.21	30.64	30.58
	ไม่สมดุลสองเฟส	2.957	2.851	0.964	30.12	30.83	29.89

เอกสารนี้เป็นเอกสารที่สงวนไว้สำหรับการใช้งานเพื่อการศึกษาเท่านั้น ไม่อนุญาตให้นำไปใช้ประโยชน์ด้านการค้า ไม่ว่าจะกรณีใดๆทั้งสิ้น อีกทั้งห้ามมิให้คัดลอกเนื้อหา และต้องอ้างอิงถึงเจ้าของเอกสารทุกครั้งที่มีการนำไปใช้

ตารางที่ 6.5 การทดลองวงจรรอกกำลังแอกทีฟในสภาวะต่างๆ ในช่วงหลังทำการชดเชยกระแสฮาร์โมนิก

เงื่อนไขของระบบที่นำมาทำการทดลอง		Apparent Power (kVA)	Active Power (kW)	PF	THDi <sub>A</sub> (%)	THDi <sub>B</sub> (%)	THDi <sub>C</sub> (%)
1. ระบบสมดุลด้านโหลด		3.221	3.195	0.991	5.682	5.641	5.632
2. ระบบไม่สมดุลด้านโหลด		3.517	3.482	0.990	5.692	5.675	5.668
3. แรงดันแหล่งจ่าย ระบบไม่สมดุล	ไม่สมดุลหนึ่งเฟส	3.172	3.137	0.989	5.687	5.692	5.713
	ไม่สมดุลสองเฟส	3.049	3.018	0.990	5.694	5.702	5.683

จากตารางที่ 6.4 และตารางที่ 6.5 พบว่าวงจรรอกกำลังแอกทีฟที่ใช้การตรวจจับกระแสฮาร์โมนิกด้วยโครงข่ายประสาทเทียมนี้มีความยืดหยุ่นในการใช้งาน โดยสามารถทำการชดเชยกระแสฮาร์โมนิกได้แม้ในกรณีที่ระบบเกิดการไม่สมดุลทางโหลดหรือแหล่งจ่ายไฟ โดยการเปรียบเทียบปริมาณฮาร์โมนิกตามมาตรฐาน IEC 61000-3-2 Class A หลังจากทำการชดเชยกระแสฮาร์โมนิกจากผลการทดลองในหัวข้อที่ 6.31 ที่มีโหลดเป็นวงจรไดโอดเรียงกระแสชนิดสามเฟสแบบเต็มคลื่นและวงจรไทรสเตอร์ แสดงได้ดังตารางที่ 6.6 ถึง ตารางที่ 6.8 ตามลำดับ

ตารางที่ 6.6 เปรียบเทียบปริมาณฮาร์โมนิกกรณีโหลดวงจรเรียงกระแสชนิดสามเฟสแบบเต็มคลื่น

ฮาร์โมนิกอันดับที่	ค่าตามมาตรฐาน (A <sub>rms</sub> )	กระแสแหล่งจ่ายหลังชดเชย (A <sub>rms</sub> )
3	2.30	0.03
5	1.14	0.12
7	0.77	0.65
9	0.40	0.30
11	0.33	0.07
13	0.21	0.05
15 < n < 39	0.15 (15/n)	0.05

เอกสารนี้เป็นเอกสารที่สงวนไว้สำหรับการใช้งานเพื่อการศึกษาเท่านั้น ไม่อนุญาตให้นำไปใช้ประโยชน์ด้านการค้า ไม่ว่าจะกรณีใดๆทั้งสิ้น อีกทั้งห้ามมิให้คัดลอกเนื้อหา และต้องอ้างอิงถึงเจ้าของเอกสารทุกครั้งที่มีการนำไปใช้

ตารางที่ 6.6 (ต่อ)

ฮาร์โมนิก อันดับที่	ค่าตามมาตรฐาน ( $A_{rms}$ )	กระแสแหล่งจ่ายหลังชดเชย ( $A_{rms}$ )
2	1.08	0.01
4	0.43	0.01
6	0.30	0.01
$8 < n < 40$	$0.23 (8/n)$	0.05

ตารางที่ 6.7 เปรียบเทียบปริมาณฮาร์โมนิกกรณีโหลดคงจรวงจร ทรานซิสเตอร์ที่มีมุมจุกชนวน 30 องศา

ฮาร์โมนิก อันดับที่	ค่าตามมาตรฐาน ( $A_{rms}$ )	กระแสแหล่งจ่ายหลังชดเชย ( $A_{rms}$ )
3	2.30	0.09
5	1.14	0.15
7	0.77	0.07
9	0.40	0.02
11	0.33	0.09
13	0.21	0.07
$15 < n < 39$	$0.15 (15/n)$	0.01

ฮาร์โมนิก อันดับที่	ค่าตามมาตรฐาน ( $A_{rms}$ )	กระแสแหล่งจ่ายหลังชดเชย ( $A_{rms}$ )
2	1.08	0.01
4	0.43	0.02
6	0.30	0.01
$8 < n < 40$	$0.23 (8/n)$	0.01

เอกสารนี้เป็นเอกสารที่สงวนไว้สำหรับการใช้งานเพื่อการศึกษาเท่านั้น ไม่อนุญาตให้นำไปใช้ประโยชน์ด้านการค้า  
ไม่ว่ากรณีใดๆทั้งสิ้น อีกทั้งห้ามมิให้ดัดแปลงเนื้อหา และต้องอ้างอิงถึงเจ้าของเอกสารทุกครั้งที่มีการนำไปใช้

ตารางที่ 6.8 เปรียบเทียบปริมาณฮาร์โมนิกกรณีโหลดวงจรวงจร ไทริสเตอร์ที่มีมุมจุดชนวน 60 องศา

ฮาร์โมนิก อันดับที่	ค่าตามมาตรฐาน ( $A_{rms}$ )	กระแสแหล่งจ่ายหลังชดเชย ( $A_{rms}$ )
3	2.30	0.1
5	1.14	0.2
7	0.77	0.13
9	0.40	0.07
11	0.33	0.18
13	0.21	0.09
15 < n < 39	0.15 (15/n)	0.07

ฮาร์โมนิก อันดับที่	ค่าตามมาตรฐาน ( $A_{rms}$ )	กระแสแหล่งจ่ายหลังชดเชย ( $A_{rms}$ )
2	1.08	0.02
4	0.43	0.01
6	0.30	0.01
8 < n < 40	0.23 (8/n)	0.01

## 6.7 สรุป

จากการทดลองวงจรรอกกำลังแอกทีฟแบบขนานที่นำเสนอในงานวิจัยนี้พบว่าวงจรสามารถกำจัดกระแสฮาร์โมนิกที่ต่อกับโหลดชนิดไม่เป็นเชิงเส้น รวมทั้งในกรณีที่โหลดในกรณีสมดุลและกรณีที่โหลดไม่สมดุล พบว่าขนาดของกระแสฮาร์โมนิกมีขนาดลดลงทำให้กระแสแหล่งจ่ายมีลักษณะใกล้เคียงขายน้ามากขึ้นรวมทั้งกระแสที่สายนิวทรัลมีขนาดลดลงหลังจากชดเชยกระแสฮาร์โมนิกด้วย โดยวงจรรอกกำลังแอกทีฟที่นำเสนอนี้มีปริมาณกระแสฮาร์โมนิกหลังจากการชดเชยกระแสเป็นไปตามมาตรฐาน IEC 61000-3-2 Class A ซึ่งผลการตอบสนองต่อการเปลี่ยนแปลงโหลดอย่างฉับพลันและการรักษาระดับแรงดันไฟตรงเชื่อมโยงเป็นที่น่าสนใจ โดยผลการทดลองที่ได้มีความสอดคล้องและเป็นไปตามทฤษฎี

เอกสารนี้เป็นเอกสารที่สงวนไว้สำหรับการใช้งานเพื่อการศึกษาเท่านั้น ไม่อนุญาตให้นำไปใช้ประโยชน์ด้านการค้า  
ไม่ว่ากรณีใดๆทั้งสิ้น อีกทั้งห้ามมิให้ตัดแปลงเนื้อหา และต้องอ้างอิงถึงเจ้าของเอกสารทุกครั้งที่มีการนำไปใช้

## บทที่ 7

### บทสรุปและข้อเสนอแนะ

งานวิจัยนี้ได้วิเคราะห์ และออกแบบวงจรรอกกำลังแอกทีฟแบบขนานที่ใช้การตรวจจับกระแสด้วยโครงข่ายประสาทเทียมที่นำมาทำการทดสอบกับระบบ 3 เฟส 4 สาย ที่พิกัดแรงดัน 380 V โดยโหลดที่นำมาทดสอบเพื่อสร้างกระแสฮาร์โมนิกในระบบเป็นวงจรเรียงกระแสที่เป็นไดโอดแบบเต็มคลื่นชนิด 3 เฟส และวงจรไทรสเตอร์ที่มีการปรับมุมจุดชนวนขนาด 3 kVA ซึ่งในการทดสอบนี้ได้ทำการทดสอบกับระบบทั้งในกรณีโหลดที่สมดุลและไม่สมดุล รวมทั้งกรณีที่แหล่งจ่ายแรงดันเกิดการไม่สมดุลอีกด้วย โดยผลการทดสอบผลตอบสนองของวงจรรอกกำลังแอกทีฟในสภาวะที่โหลดเปลี่ยนแปลงแบบฉับพลันระบบมีการตอบสนองเป็นที่น่าพอใจ จากการศึกษาครั้งนี้ว่าและทดลองงานวิจัยดังกล่าวสามารถสรุปได้ดังนี้

#### 7.1 สรุปผลการวิจัย

- 7.1.1 การคำนวณหาค่ากระแสชดเชยอ้างอิงที่ใช้โครงข่ายประสาทเทียมที่ได้นำเสนอเป็นหลักการที่ง่าย ๆ ไม่ยุ่งยากซับซ้อน เหมาะกับการนำไปประยุกต์ใช้งานได้จริง
- 7.1.2 การนำโครงข่ายประสาทเทียมเข้ามาใช้ในการตรวจจับกระแสฮาร์โมนิกในระบบจากการทดลองพบว่า การตรวจจับกระแสแบบนี้มีความยืดหยุ่นในการใช้งานสูง
- 7.1.3 การกำจัดกระแสฮาร์โมนิกเมื่อกระแสโหลดมีการเปลี่ยนแปลงแบบฉับพลัน วงจรรอกกำลังแอกทีฟที่ทำการทดสอบในงานวิจัยนี้ยังคงสามารถทำงานได้เป็นอย่างดี
- 7.1.4 ในกรณีที่ระบบไฟฟ้า 3 เฟส 4 สาย มีกระแสโหลดที่ไม่สมดุลจึงเป็นผลทำให้เกิดกระแสที่สายนิวทรัลขึ้น โดยวงจรรอกกำลังแอกทีฟที่นำเสนอนี้สามารถทำการชดเชยกระแสฮาร์โมนิกรวมทั้งยังสามารถทำการชดเชยกระแสของแหล่งจ่ายให้เกิดการสมดุลได้ จึงทำให้กระแสที่สายนิวทรัลลดลง
- 7.1.5 จากการทดลองพบว่านอกจากกรณีที่โหลดเกิดการสมดุลแล้ววงจรรอกกำลังแอกทีฟที่ออกแบบยังสามารถใช้งานได้ดีแม้ในกรณีที่แหล่งจ่ายแรงดันเกิดการไม่สมดุล
- 7.1.6 ผลการทดสอบการทำงานของระบบแสดงให้เห็นว่าวงจรรอกกำลังแอกทีฟแบบขนานที่ได้ทำการวิจัยนี้สามารถทำการกำจัดกระแสฮาร์โมนิก อยู่ในเกณฑ์ที่ยอมรับได้ตามมาตรฐาน IEC 61000-3-2 Class A

เอกสารนี้เป็นเอกสารที่สงวนไว้สำหรับการใช้งานเพื่อการศึกษาเท่านั้น ไม่อนุญาตให้นำไปใช้ประโยชน์ด้านการค้า ไม่ว่าจะกรณีใดๆทั้งสิ้น อีกทั้งห้ามมิให้ตัดแปลงเนื้อหา และต้องอ้างอิงถึงเจ้าของเอกสารทุกครั้งที่มีการนำไปใช้

## 7.2 ข้อเสนอแนะในการพัฒนางานวิจัยต่อไป

- 7.2.1 การตรวจจับกระแสฮาร์โมนิกด้วยวิธีโครงข่ายประสาทเทียมที่นำมาใช้ในงานวิจัยนี้เป็นหลักการอย่างง่าย ๆ ที่ใช้หลักการ LMS ซึ่งใช้หลักการในการประมาณค่าเกรเดียนต์ ดังนั้นในการพัฒนาควรทำการศึกษาและเปรียบเทียบว่าวิธีใดสามารถทำการหาค่าเกรเดียนต์ที่ถูกต้องและรวดเร็วกว่าวิธี LMS แล้วจึงนำวิธีที่หาค่าเกรเดียนต์ที่ดีที่สุดนั้นมาทำการประยุกต์ใช้ในการตรวจจับกระแสฮาร์โมนิกของวงจรรอกกำลังแอคทีฟต่อไป
- 7.2.2 สำหรับพารามิเตอร์ที่ใช้ในการปรับแต่งของการตรวจจับกระแสฮาร์โมนิกด้วยโครงข่ายประสาทเทียมนั้นมีพารามิเตอร์เพียงตัวเดียวคือ อัตราการเรียนรู้ซึ่งเราไม่สามารถหาค่าเหมาะสมที่ได้แน่นอนเพียงแต่รู้ขอบเขตที่มากที่สุดเท่านั้น จึงต้องอาศัยการประมาณเอา ดังนั้นแนวทางในการพัฒนานั้นควรหาวิธีที่ทำการเลือกค่าอัตราการเรียนรู้ที่เหมาะสม
- 7.2.3 การนำเอาวงจรรอกกำลังแอคทีฟแบบขนานไปใช้งานจริงจำเป็นต้องพิจารณาในการตัดต่อวงจรรอกกำลังแอคทีฟเข้าออกจากระบบกำลัง ดังนั้นจึงควรพัฒนาระบบให้มีส่วนที่ทำหน้าที่ในการตัดต่อระบบวงจรรอกกำลังแอคทีฟเข้าออกจากระบบกำลังรวมอยู่ด้วย
- 7.2.4 เนื่องจากตัวประมวลผลสัญญาณทางด้านดิจิทัลที่นำไปใช้ในวงจรควบคุมจะทำการประมวลผลสัญญาณทั้งหมดสามเฟส ดังนั้นจึงมีการประมวลผลที่มาก ในการพัฒนาต่อไปจึงควรใช้ตัวประมวลผลสัญญาณที่มีความเร็วมากขึ้นเพื่อให้การควบคุมกระแสมีการตอบสนองที่รวดเร็วมมากขึ้น
- 7.2.5 เนื่องจากวงจรรอกกำลังแอคทีฟที่ได้ทำการวิจัยนี้ในส่วนการควบคุมกระแสใช้การควบคุมกระแสแบบ โครงข่ายประสาทเทียมจึงทำให้การกระจายของกลุ่มสเปกตร้าของฮาร์โมนิกของการสวิตช์มีมาก และทำให้การกำจัดฮาร์โมนิกเหล่านั้นออกไปได้ยาก การพัฒนาต่อไปควรใช้การควบคุมกระแสให้มีความถี่ในการสวิตช์ที่เกิดขึ้นมีค่าคงที่ เพื่อให้ง่ายต่อการกำจัดฮาร์โมนิกในส่วนที่เกิดจากการสวิตช์

## เอกสารอ้างอิง

- [1] J.Arrillaga, D.A.Bradley and P.s.Bodger. **Power System Harmonics**. John Wiley&Sons. 1985
- [2] สมบูรณ์ แสงวงศ์วณิชย์. “ชนิด หลักการและการประยุกต์ใช้วงจรกรองแอกทีฟ.” เอกสารประกอบการอบรมการไฟฟ้านครหลวง ภาควิชาไฟฟ้า จุฬาลงกรณ์มหาวิทยาลัย, หน้า 1-47
- [3] Singh B., Al – Haddad, K. and Chandra A. , “ Harmonic Elimination, Reactive Power Compensation and Load Balancing in Three-Phase” , Four-Wire Electric Distribution Systems Supplying Non-Linear Loads. Electric Power Systems Research, vol. 44, 1998. pp. 93 – 100.
- [4] วิรัตน์ เกตุสวัสดิ์สมคร. “การวิเคราะห์และออกแบบวงจรกรองกำลังแบบผสมเพสซีฟและแอกทีฟที่มีการชดเชยกระแสรีแอกทีฟและฮาร์มอนิก.” วิทยานิพนธ์วิศวกรรมศาสตรมหาบัณฑิต สาขาวิชาวิศวกรรมไฟฟ้า, สถาบันเทคโนโลยีพระจอมเกล้าเจ้าคุณทหารลาดกระบัง. 2546.
- [5] Martin T.Hagan, Howard B.Demuth and Mark H. Beale. **Neural Network Design**. Newyork : PWS Publishing Company. 1995.
- [6] Laurene Fausett. **Fundamentals of Neural Networks**. Prentice Hall International, Inc. 1994.
- [7] Haykin Simon. **Adaptive filter theory**. 2nd. Englewood Cliffs : Prentice-Hall, Inc. 1990.
- [8] Sa. H. Bang and B. J. Sheu. “A Neural Network for Detection of Signals in Communication” , IEEE Trans on. Circuits Syst.I, vol. 43, Aug. 1996. pp. 4-22
- [9] Fabiana Pottker and Ivo Barbi. “Power Factor Correction of Non-linear Loads Employing a Single Phase Active Power Filter” , IEEE/PESC’97,1997. pp. 412-417.
- [10] Dawei Ga Chen Weiji. “ An Adaptive Noise Canceling Theory Based Single-Phase Shunt Active Power Filter ” , in conf. Rec. IEEE/PESC’97., 1997, pp.191-196.
- [11] S. Valivita and S.J.Ovaska. “ Delayless Method to Generate Current Reference for Active Filters” , IEEE Trans on. Industrial Electronics., vol. 45, Aug. 1998. pp. 559 – 567.
- [12] Dawei Gao and Xiaorui Sun. “A New Method to Generate Current Reference for Active Power Filters” ,Power Electronics Congress, 2000. CIEP 2000., 2000. pp. 99–103.
- [13] Qun Wang, Ning Wu and Zhaoan Wang. “A Neuron Adaptive Detecting Approach of Harmonic Current for APF and Its Realization of Analog Circuit”, IEEE Trans on. Instrument., vol.50, Feb. 2001. pp. 77-84.

## เอกสารอ้างอิง(ต่อ)

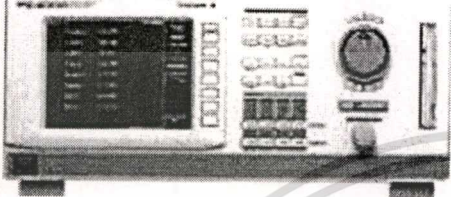
- [14] Bernard Windrow, Michael A. Lehr. “30 years of Adaptive Neural Networks : Perceptron, Madaline and Backpropagation.”, Proc. of the IEEE, vol. 78, Dec. 1995. pp. 636-641.
- [15] C. K. Lin. “Orthogonal Functions and Their Applications”, National Defense Industry Press, 1982.
- [16] B.K.BOSE. “An Adaptive Hysteresis-Band Current Control Technique of a Voltage-Feed PWM Inverter for Machine Drive System”, IEEE Trans on industrial electronics., vol.37, no.5, 1990. pp.402-408.
- [17] Bor-Ren Lin and Richard G. Hoft. “Power Electronics Converter Control based on Neural Network and Fuzzy Logic Methods”, IEEE Trans on Power Electronics., 1993. pp 900-906.
- [18] Fumio Harshima, Yuzo Demizu, Seiji Kondo and Hideki Hashimoto. “Application of Neural Network to Power Converter Control ” , IEEE Trans on Power Electronics., 1989. pp 1086 -1091.
- [19] Bor-Ren Lin and Richard G. Hoft. “ Power Electronics Inverter Control with Neural Networks”,IEEE Trans on Power Electronics.,1993. pp. 128-134.
- [20] ประจวบ บุญศรีรัมย์. “ วงจรรอกกำลังแอกที่พจนานสำหรับระบบ 3 เฟส 4 สาย ที่ใช้รีเคอร์ซีฟดีเอพ และควบคุมกระแสแบบวิธีซ้า ” วิทยานิพนธ์วิศวกรรมศาสตรมหาบัณฑิต สาขาวิชาวิศวกรรมไฟฟ้า, จุฬาลงกรณ์มหาวิทยาลัย. 2545.
- [21] Texas Instruments. **TMS320C24x DSP Controllers Reference Set Vol 1 : CPU, System and Instruction Set.** Texas Instruments. Sep. 1997
- [22] Texas Instruments. **Digital Motor Control Software Library.** Texas Instruments. Sep. 2000. pp. 109-114.

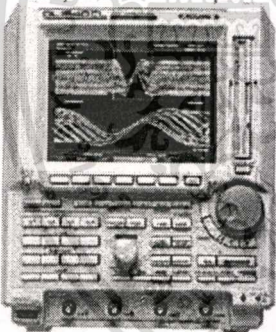


เอกสารนี้เป็นเอกสารที่สงวนไว้สำหรับการใช้งานเพื่อการศึกษาเท่านั้น ไม่อนุญาตให้นำไปใช้ประโยชน์ด้านการค้า  
ไม่ว่ากรณีใดๆทั้งสิ้น อีกทั้งห้ามมิให้ดัดแปลงเนื้อหา และต้องอ้างอิงถึงเจ้าของเอกสารทุกครั้งที่มีการนำไปใช้




## ภาคผนวก ก.

## เครื่องมือวัดที่ใช้ในงานวิทยานิพนธ์

	<p>ผลิตภัณฑ์ Power Analyzer (YAKOGAWA)          รุ่น PZ4000          รายละเอียด Wide Measurement Bandwidth          (DC to 2 MHz)          Accurately Sampling 5 MS/s          Harmonic Analysis (up to 500<sup>th</sup>) Order</p>
---	---

	<p>ผลิตภัณฑ์ Digital Oscilloscope(YOKOGA)          รุ่น DL1540 /DL (4 Channel)          รายละเอียด 150 MHz Analog Bandwidth          120 MS/s on two channel          8 bit vertical resolution          DC to 30 MHz, 850V(DC+AC peak) ,          2% DC accuracy          Internal low pass filter</p>
---	---

	<p>ผลิตภัณฑ์ Power Harmonics Analyzer (FLUKE)          รุ่น FLUKE 41B          รายละเอียด 5 to 600 Vrms, 1.00 to 1000 Arms          up to 600 kw., 6 Hz to 99.9 Hz          Indicates fundamental to 13 th          hamonics.          Measures crest factor, PF, DPF,          K-factor          %THD, %THD-R</p>
---	--

	<p>ผลิตภัณฑ์ Multi Meter (Hewlett Packard)</p> <p>รุ่น 973 A</p> <p>รายละเอียด True RMS 20 kHz Accuracy = 0.1 % Vac or Vdc : 0 to 1000 V. Iac or Idc : 0 to 10 A.</p>
	<p>ผลิตภัณฑ์ Band Differential Probe</p> <p>รุ่น 700924</p> <p>รายละเอียด 100 MHz</p> <p>A probe lets you make wide-band differential input measurements</p>
	<p>ผลิตภัณฑ์ Current Probe(CHAUVIN ARNOUX)</p> <p>รุ่น E3N</p> <p>รายละเอียด Current Probe 10-100 Ampere /1 Volt Input 100 A Peak Max Frequency: DC to 100 kHz .(@3 db) Output 10 mV/A, 100 mV/A CATIII</p>

เอกสารนี้เป็นเอกสารที่สงวนไว้สำหรับการใช้งานเพื่อการศึกษาเท่านั้น ไม่อนุญาตให้นำไปใช้ประโยชน์ด้านการค้า  
ไม่ว่ากรณีใดๆทั้งสิ้น อีกทั้งห้ามมิให้ดัดแปลงเนื้อหา และต้องอ้างอิงถึงเจ้าของเอกสารทุกครั้งที่มีการนำไปใช้



ภาคผนวก ข.

**โปรแกรม Matlab ที่ใช้ในการสอนโครงข่ายประสาทเทียม**

เอกสารนี้เป็นเอกสารที่สงวนไว้สำหรับการใช้งานเพื่อการศึกษาเท่านั้น ไม่อนุญาตให้นำไปใช้ประโยชน์ด้านการค้า  
ไม่ว่ากรณีใดๆทั้งสิ้น อีกทั้งห้ามมิให้ดัดแปลงเนื้อหา และต้องอ้างอิงถึงเจ้าของเอกสารทุกครั้งที่มีการนำไปใช้

```

%***** %
% Program : Train Back Propagation Neural Network for Current Controller %
%           (Active Power Filter : APF) %
% %
% Structure of Neural Networks : 3-5-3 %
% %
% INPUT LAYER : 3 input (3*8 patterns) %
% HIDDEN LAYER : 5 unit %
% OUTPUT LAYER : 3 output (3*8 patterns) %
% %
% Activation function = logsig %
% Error value = 1e-3 %
%***** %
echo off
clear

% Input pattens (3*8)

P = [ 0.5 -0.5 0.5 0.5 0.5 -0.5 -0.5 -0.5 ;
      0.5 0.5 -0.5 0.5 -0.5 0.5 -0.5 -0.5 ;
      0.5 0.5 0.5 -0.5 -0.5 -0.5 0.5 -0.5];

% Output pattens (3*8)

T = [ 1 0 1 1 1 0 0 0 ;
      1 1 0 1 0 1 0 0 ;
      1 1 1 0 0 0 1 0];

%***** %
% Set Initial of weights and Biases for Neural Network %
%***** %
[w1,b1,w2,b2] = initff(P,5,'logsig',T,'logsig');

%***** %
% Training Neural Network (Backpropragation Training) %
%***** %
df = 10;
me = 5000000;
eg = 1e-3;
lr = 0.1;
tp = [ df me eg lr];
[w1,b1,w2,b2,ep,tr] = trainbp(w1,b1,'logsig',w2,b2,'logsig',P,T,tp);

%*****%
% Test Neural Network after training %
%*****%
p = [ 0.5 ; -0.5 ; -0.5 ] % INPUT FOR TEST
test_nnt = simuff( p,w1,b1,'logsig',w2,b2,'logsig')
echo off

%*****%
% Training Neural Network (Backpropragation Training) %
%*****%
disp(' SHOW => WEIGHT AND BIAS ')
w1
w2
b1
b2

```

เอกสารนี้เป็นเอกสารที่สงวนไว้สำหรับการใช้งานเพื่อการศึกษาเท่านั้น ไม่อนุญาตให้นำไปใช้ประโยชน์ด้านการค้า  
 ไม่ว่าจะกรณีใดๆทั้งสิ้น อีกทั้งห้ามมิให้ดัดแปลงเนื้อหา และต้องอ้างอิงถึงเจ้าของเอกสารทุกครั้งที่มีการนำไปใช้



เอกสารนี้เป็นเอกสารที่สงวนไว้สำหรับการใช้งานเพื่อการศึกษาเท่านั้น ไม่อนุญาตให้นำไปใช้ประโยชน์ด้านการค้า  
ไม่ว่ากรณีใดๆทั้งสิ้น อีกทั้งห้ามมิให้ดัดแปลงเนื้อหา และต้องอ้างอิงถึงเจ้าของเอกสารทุกครั้งที่มีการนำไปใช้

```

; System Name      : ACTIVE POWER FILTER USING NEURAL NETWORK (ADALINE)
;
; OPTION          : 1.CURRENT CONTROL USING HYS BAND & NNT
;                 : 2.CONTROL DC LINK VOLTAGE(C1+C2) BY PI
;                 : 3.CONTROL DC LINK VOLTAGE C2 BY PI
;
; File Name       : ACTIVE_3PH.ASM
;
; Description     : ACTIVE POWER FILTER
;
; Originator      : i_vain@hotmail.com
;
; Target Device   : TMS320LF2407
;                 : To Select the target device see x24x_app.h file.

```

```

; History:

```

```

; 11-23-2002      Release  Rev 1.0

```

```

; External references

```

```

.include "x24x_app.h"

.ref      SYS_INIT

.ref      ADC010_DRV, ADC010_DRV_INIT      ; function call
.ref      A10_ch_sel,A10_ch_sel_1,A10_ch_sel_2 ; inputs
.ref      C1_out, C2_out, C3_out, C4_out   ; Outputs
.ref      C5_out, C6_out, C7_out, C8_out   ; Outputs
.ref      C9_out, C10_out ,C11_out        ; Outputs

.ref      LMS_A,LMS_INIT_A                 ; function call
.ref      D_A,X_A                          ; input
.ref      Y_A,ERR_A,ERRF_A,ERR_OUTA        ; output
.ref      U_A,WN_A,WM                      ; parameters

.ref      LMS_B,LMS_INIT_B                 ; function call
.ref      D_B,X_B                          ; input
.ref      Y_B,ERR_B,ERRF_B,ERR_OUTB        ; output
.ref      U_B,WN_B                        ; parameters

.ref      LMS_C,LMS_INIT_C                 ; function call
.ref      D_C,X_C                          ; input
.ref      Y_C,ERR_C,ERRF_C,ERR_OUTC        ; output
.ref      U_C,WN_C                        ; parameters

.ref      CUR_CLK_A, CUR_CLK_INIT_A        ; function call
.ref      cur_ref_A, cur_real_A            ; Inputs
.ref      cur_out_A                        ; Output

.ref      CUR_CLK_B, CUR_CLK_INIT_B        ; function call
.ref      cur_ref_B, cur_real_B            ; Inputs
.ref      cur_out_B                        ; Output

.ref      CUR_CLK_C, CUR_CLK_INIT_C        ; function call
.ref      cur_ref_C, cur_real_C            ; Inputs
.ref      cur_out_C                        ; Output

.ref      CUR_NUR, CUR_NUR_INIT            ; function call
.ref      cur_ref_A_NNT, cur_real_A_NNT    ; Inputs
.ref      cur_ref_B_NNT, cur_real_B_NNT    ; Inputs
.ref      cur_ref_C_NNT, cur_real_C_NNT    ; Inputs

.ref      PORT_BEF, PORT_BEF_INIT          ; function call
.ref      da_01, da_02, da_03              ; Inputs
:
.ref      FC_PWM_O_DRV                     ; function call
:
.ref      FC_PWM_O_DRV_INIT                ; function call
.ref      Mfunc_c1, Mfunc_c2, Mfunc_c3, Mfunc_p ; Inputs
.ref      limit                             ; Input

```

เอกสารนี้เป็นเอกสารที่สงวนลิขสิทธิ์ไว้เพื่อใช้ภายในหน่วยงานเท่านั้น การอนุญาตให้นำไปใช้ประโยชน์ด้านการค้า

ไม่ว่ากรณีใดๆทั้งสิ้น อีกทั้งห้ามมิให้ดัดแปลงเนื้อหา และต้องอ้างอิงถึงเจ้าของเอกสารทุกครั้งที่มีการนำไปใช้

```

.ref      PID_REG2, PID_REG2_INIT                ; function call
.ref      pid_fb_reg2, pid_ref_reg2              ; Inputs
.ref      pid_out_reg2, pid_out1_reg2           ; Output
.ref      pid_max_reg2, pid_min_reg2
.ref      K0_reg2, K1_reg2, Kc_reg2

.ref      PID_REG3, PID_REG3_INIT                ; function call
.ref      pid_fb_reg3, pid_ref_reg3              ; Inputs
.ref      pid_out_reg3, pid_out1_reg3           ; Output
.ref      pid_max_reg3, pid_min_reg3
.ref      K0_reg3, K1_reg3, Kc_reg3

;-----
; Local Variable Declarations
;-----

.def      GPR0                                  ;General purpose registers.
.def      GPR1
.def      GPR2
.def      GPR3
.def      GPR4

.bss      GPR0,1                               ;General purpose registers.
.bss      GPR1,1
.bss      GPR2,1
.bss      GPR3,1
.bss      GPR4,1

;-----
; VECTOR TABLE ( including RT monitor traps )
;-----

.sect "vectors"
.def      _c_int0

RESET    B      _c_int0                        ; 00
INT1     B      PHANTOM                        ; 02
INT2     B      TI_PERIOD_ISR                  ; 04
INT3     B      PHANTOM                        ; 06
INT4     B      PHANTOM                        ; 08
INT5     B      PHANTOM                        ; 0A
INT6     B      PHANTOM                        ; 0C

        .include "rtvecs.h"

; Note : The above include line must be AFTER the user configurable
;        vectors. Do not change the place where this line is included.

;-----
; MAIN CODE - starts here
;-----

_c_int0:
        .text
        CALL    SYS_INIT
        CALL    ADC010_DRV_INIT

        CALL    LMS_INIT_A
;        CALL    LMS_INIT_B
;        CALL    LMS_INIT_C

        CALL    CUR_CLK_INIT_A
        CALL    CUR_CLK_INIT_B
        CALL    CUR_CLK_INIT_C
        CALL    CUR_NUR_INIT

        CALL    PID_REG2_INIT
        CALL    PID_REG3_INIT

        CALL    PORT_BEF_INIT

        CALL    FC_PWM_O_DRV_INIT

;
;        LDP     #MCRA>>7                      ; TEST LOOP PROGRAM
;        SPLK   #0000H,OCRA                     ;
;        SPLK   #0FF00H,PBDATDIR                ; END TEST LOOP PROGRAM

```

```

-----
;System Interrupt Init.
-----
;Event Manager
POINT_EV
SPLK #0000001000000000b,IMRA ;Enable T1 Underflow Int (i.e. Period)
;||||||||||||
;5432109876543210

SPLK #0FFFFh,IFRA ; Clear all Group A interrupt flags
SPLK #0FFFFh,IFRB ; Clear all Group B interrupt flags
SPLK #0FFFFh,IFRC ; Clear all Group C interrupt flags

;C2xx Core
POINT_PG0

SPLK #0000000000000010b,IMR ;En Int lvl 2 (T1 ISR)
;||||||||||||
;5432109876543210

SPLK #0FFFFh,IFR ;Clear any pending Ints
EINT ;Enable global Ints

=====
MAIN: ;Main system background loop
=====
M_1 B MAIN
=====

;Routine Name : T1_PERIOD_ISR Routine Type: ISR
;
;Description :
;
;Originator : I_VAIN@HOTMAIL.COM
;
;History :
;
;Last Update : 8-12-2003
=====
T1_PERIOD_ISR:
;Context save regs
MAR *,AR1 ;AR1 is stack pointer
MAR *+ ;skip one position
SST #1, *+ ;save ST1
SST #0, *+ ;save ST0
SACH *+ ;save acc high
SACL * ;save acc low

=====
;Start main section of ISR
=====

PI_VDC:
CALL ADC010_DRV

LDP #pid_fb_reg2
SPLK #01666H,pid_ref_reg2 ;SET: Vdc(max) = 1000V = 3.30V (DSP)
; Vdc(ref) = 700V = 1666H (Q13)
BLDD #C10_out,pid_fb_reg2 ;CALL PID_REG2

PI_VDC1:

LDP C11_out
LACC C11_out ;Vc2
SUB #0B33H ;Vc2-(700V/2)

LDP #pid_fb_reg3
SPLK #0000H,pid_ref_reg3 ;SET: Verr(max) = 0V = 3.3 V (DSP)
SACL pid_fb_reg3
CALL PID_REG3

PRO_LMS:

```

เอกสารนี้เป็นเอกสารที่สงวนลิขสิทธิ์สำหรับการใช้งานเพื่อการศึกษาเท่านั้น ไม่สามารถนำออกจำหน่ายหรือทำซ้ำโดยไม่ได้รับอนุญาต LMS (HARMONIC CURRENT DETECTOR) ราคา

ไม่ว่ากรณีใดๆทั้งสิ้น อีกทั้งห้ามมิให้ดัดแปลงเนื้อหา และต้องอ้างอิงถึงเจ้าของเอกสารทุกครั้งที่มีการนำไปใช้

```

BLDD #C7_out,X_A
BLDD #C3_out,D_B
BLDD #C8_out,X_B
BLDD #C5_out,D_C
BLDD #C9_out,X_C

CALL LMS_A
B NNT_CUR_CON

HYS_CUR_CON:

LDP #cur_ref_A ; HYS CURRENT CONTROL
BLDD #ERR_OUTA,cur_ref_A
BLDD #C2_out,cur_real_A

CALL CUR_CLK_A

LDP #cur_ref_B
BLDD #ERR_OUTB,cur_ref_B
BLDD #C4_out,cur_real_B

CALL CUR_CLK_B

LDP #cur_ref_C
BLDD #ERR_OUTC,cur_ref_C
BLDD #C6_out,cur_real_C

CALL CUR_CLK_C

NNT_CUR_CON:

LDP #cur_ref_A_NNT
BLDD #ERR_OUTA,cur_ref_A_NNT
BLDD #ERR_OUTB,cur_ref_B_NNT
BLDD #ERR_OUTC,cur_ref_C_NNT

BLDD #C2_out,cur_real_A_NNT
BLDD #C4_out,cur_real_B_NNT
BLDD #C6_out,cur_real_C_NNT

CALL CUR_NUR
B END_END

SHOW_D_A: ; SHOW DATA TO A/D
LDP #da_01
BLDD #ERR_OUTA,da_01
BLDD #ERR_OUTB,da_02
BLDD #Y_A,da_03

CALL PORT_BEF

END_END:

;=====
;End main section of ISR
;=====
;Context restore regs

END_ISR:
POINT_PG0

MAR *,AR1 ;make stack pointer active
LACL *- ;Restore Acc low
ADDH *- ;Restore Acc high
LST #0,*- ;load ST0
LST #1,*- ;load ST1
EINT ;Equal CLRC INTM - Enable interrupts

RET

```

เอกสารนี้เป็นเอกสารที่สงวนไว้สำหรับการใช้งานเพื่อการศึกษาเท่านั้น ไม่อนุญาตให้นำไปใช้ประโยชน์ด้านการค้า  
ไม่ว่ากรณีใดๆทั้งสิ้น อีกทั้งห้ามมิให้ดัดแปลงเนื้อหา และต้องอ้างอิงถึงเจ้าของเอกสารทุกครั้งที่มีการนำไปใช้

---



---

: I S R - PHANTOM

: Description:       Dummy ISR, used to trap spurious interrupts.

: Modifies:

: Last Update:       16-06-95

---



---

PHANTOM	B	PHANTOM
PHANTOM1	B	PHANTOM1
PHANTOM2	B	PHANTOM2
PHANTOM3	B	PHANTOM3
PHANTOM4	B	PHANTOM4
PHANTOM5	B	PHANTOM5
PHANTOM6	B	PHANTOM6

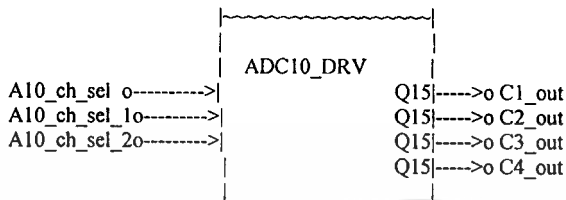


เอกสารนี้เป็นเอกสารที่สงวนไว้สำหรับการใช้งานเพื่อการศึกษาเท่านั้น ไม่อนุญาตให้นำไปใช้ประโยชน์ด้านการค้า  
ไม่ว่ากรณีใดๆทั้งสิ้น อีกทั้งห้ามมิให้ดัดแปลงเนื้อหา และต้องอ้างอิงถึงเจ้าของเอกสารทุกครั้งที่มีการนำไปใช้

```

; File Name      :      Adc_10drv.asm
; Module Name    :      ADC10_DRV
; Initialization Routine: ADC10_DRV_INIT
; Originator     :      i_vain@hotmail.com
; Description    :      This module performs 10-channel A/D conversion of bipolar signals.(ADC10 is Unipolar_Q13)

```



- Notes:
1. Cx\_gain has = 1.000000 (i.e. Q15)
  2. Cx\_offset has = 0.000000 (i.e. Q15)
  3. Cx\_out has range -0.999999 --> +0.999999 (i.e. Q15)
- with:
- 1.0 x (VrefHi - VrefLo) = +0.999999 (7FFFh)
  - 0.5 x (VrefHi - VrefLo) = 0 (0000/FFFFh)
  - 0.0 x (VrefHi - VrefLo) = -0.999999 (8000h)

ADC\_ch\_sel HEX values vs Channels selected (1)

| C4 select | C3 select | C2 select | C1 select |

ADC\_ch\_sel\_1 HEX values vs Channels selected (1)

| C8 select | C7 select | C6 select | C5 select |

ADC\_ch\_sel\_2 HEX values vs Channels selected (1)

| C12 select| C11 select| C10 select| C9 select|

For x2407

C1/C2/C3/C4 select: 0,1,2...F --> Ch0,1,2,...15

```

; Target dependency: TMS320LF240X
; To Select the target device see x24x_app.h file.

```

(To use this Module, copy this section to main system file)

```

.ref      ADC010_DRV, ADC010_DRV_INIT      ;function call
.ref      A10_ch_sel,A10_ch_sel_1,A10_ch_sel_2 ;inputs
.ref      C1_out, C2_out, C3_out, C4_out    ;Outputs
.ref      C5_out, C6_out, C7_out, C8_out    ;Outputs
.ref      C9_out, C10_out                   ;Outputs

```

```

.def      ADC010_DRV, ADC010_DRV_INIT      ;function call
.def      A10_ch_sel,A10_ch_sel_1,A10_ch_sel_2 ;inputs
.def      C1_out, C2_out, C3_out, C4_out    ;Outputs
.def      C5_out, C6_out, C7_out, C8_out    ;Outputs
.def      C9_out, C10_out ,C11_out         ;Outputs

```

```
.include x24x_app.h
```

```
;Variable Definitions for ADC010_DRV module
```

```
A10_ch_sel .usect "adc10drv",1
A10_ch_sel_1 .usect "adc10drv",1
A10_ch_sel_2 .usect "adc10drv",1
C1_out .usect "adc10drv",1
C2_out .usect "adc10drv",1
C3_out .usect "adc10drv",1
C4_out .usect "adc10drv",1
C5_out .usect "adc10drv",1
C6_out .usect "adc10drv",1
C7_out .usect "adc10drv",1
C8_out .usect "adc10drv",1
C9_out .usect "adc10drv",1
C10_out .usect "adc10drv",1
C11_out .usect "adc10drv",1
```

```
ADC010_DRV_INIT:
```

```
LDP #ADCL_CNTL1>>7
SPLK #0, CALIBRATION ;Zero the Cal reg.
SPLK #010000000000000b,ADCL_CNTL1 ;Reset entire Module
; SPLK #001000000010000b,ADCL_CNTL1 ;Acq = 2 x Clks
; SPLK #0010000100010000b,ADCL_CNTL1 ;Acq = 4 x Clks
; SPLK #0010001000010000b,ADCL_CNTL1 ;Acq = 6 x Clks
; SPLK #0010001100010000b,ADCL_CNTL1 ;Acq = 8 x Clks
; ;|||||!!!! ;Cascaded mode
; ;5432109876543210

SPLK #10, MAXCONV ;Setup for 10 conversions
ldp #A10_ch_sel
SPLK #3210h, A10_ch_sel ;default to Ch 0,1,2,3
SPLK #7654h, A10_ch_sel_1 ;default to Ch 4,5,6,7
SPLK #0BA98h, A10_ch_sel_2 ;default to Ch 8,9,10,11
RET
```

```
ADC010_DRV:
```

```
;Read 1st converted value
```

```
LDP #ADCL_CNTL1>>7
LACC ADC_RESULT0
XOR #8000h ;Convert to Q15
ldp #C1_out
SACL C1_out
```

```
;Read 2nd converted value
```

```
LDP #ADCL_CNTL1>>7
LACC ADC_RESULT1
XOR #8000h ;Convert to Q15
ldp #C1_out
SACL C2_out
```

```
;Read 3rd converted value
```

```
LDP #ADCL_CNTL1>>7
LACC ADC_RESULT2
XOR #8000h ;Convert to Q15
ldp #C1_out
SACL C3_out
```

```
;Read 4th converted value
```

```
LDP #ADCL_CNTL1>>7
LACC ADC_RESULT3
XOR #8000h ;Convert to Q15
ldp #C1_out
SACL C4_out
```

```

;Read 5th converted value
LDP #ADCL_CNTL1>>7
LACC ADC_RESULT4
XOR #8000h ;Convert to Q15
ldp #C1_out
SACL C5_out

;Read 6th converted value
LDP #ADCL_CNTL1>>7
LACC ADC_RESULT5
XOR #8000h ;Convert to Q15
ldp #C1_out
SACL C6_out

;Read 7th converted value
LDP #ADCL_CNTL1>>7
LACC ADC_RESULT6
XOR #8000h ;Convert to Q15
ldp #C1_out
SACL C7_out

;Read 8th converted value
LDP #ADCL_CNTL1>>7
LACC ADC_RESULT7
XOR #8000h ;Convert to Q15
ldp #C1_out
SACL C8_out

;Read 9th converted value
LDP #ADCL_CNTL1>>7
LACC ADC_RESULT8
XOR #8000h ;Convert to Q15
ldp #C1_out
SACL C9_out

;Read 10th converted value
LDP #ADCL_CNTL1>>7 ;Unipolar (Q13)
LACC ADC_RESULT9
SFR
AND #7FFFH ;Q15
SFR
SFR
LDP #C1_out ;Q13
SACL C10_out

;Read 11th converted value
LDP #ADCL_CNTL1>>7 ;Unipolar (Q13)
LACC ADC_RESULT10
SFR
AND #7FFFH ;Q15
SFR
SFR
LDP #C1_out ;Q13
SACL C11_out

;Start another conversion
START_NXT:
LACC A10_ch_sel
LDP #ADCL_CNTL1>>7
SACL CHSELSEQ1

SPLK #011000000000000b,ADCL_CNTL2 ;Reset + SOC SEQ1
;|||||!!!!|!!!!
;5432109876543210

RET
;-----

```

เอกสารนี้เป็นเอกสารที่สงวนไว้สำหรับการใช้งานเพื่อการศึกษาเท่านั้น ไม่อนุญาตให้นำไปใช้ประโยชน์ด้านการค้า  
ไม่ว่ากรณีใดๆทั้งสิ้น อีกทั้งห้ามมิให้ดัดแปลงเนื้อหา และต้องอ้างอิงถึงเจ้าของเอกสารทุกครั้งที่มีการนำไปใช้

```

*****
*
*   LMS      :      Adaptive Filter using Transversal Structure
*               and LMS Algorithm
*
*   Algorithm :
*
*   N-1
*   y(n)     =      SUM w(k)*x(n-k) , k = 0,1,2,.....,N-1
*                   k=0
*
*   e(n)     =      d(n) - y(n)
*
*   w(k)     =      w(k) + u*e(n)*x(n-k) , k = 0,1,2,.....,N-1
*
*   Initial conditions :
*       1) Data memory one should be equal to 1.
*       2) Data memory U should be equal to MU (Q15 Format).
*       3) PM status bit should be equal to 01.
*       4) SXM status bit should be set to logic 1.
*       5) OVM status bit should be set to 1.
*       6) The current DP should be page 0.
*
*   Other :
*       1) The return current auxiliary register will be AR2.
*       2) AR1,AR3 have been use in this subroutine.
*
*-----*
* History:
*-----*
* 01-01-2003   Release   Rev 1.00 ( i_vain@hotmail.com )
*****
;               .ref      LMS_A,LMS_INIT_A           ; function call
;               .ref      D_A,X_A                   ; input
;               .ref      Y_A,ERR_A,ERR_OUTA        ; output
;               .ref      U_A                       ; parameters
;
;               .ref      LMS_B,LMS_INIT_B           ; function call
;               .ref      D_B,X_B                   ; input
;               .ref      Y_B,ERR_B,ERR_OUTB        ; output
;               .ref      U_B                       ; parameters
;
;               .ref      LMS_C,LMS_INIT_C           ; function call
;               .ref      D_C,X_C                   ; input
;               .ref      Y_C,ERR_C,ERR_OUTC        ; output
;               .ref      U_C                       ; parameters
;
*****
*   Define and refer symbols
*****
               .def      LMS_A,LMS_INIT_A           ; function call
               .def      D_A,X_A                   ; input
               .def      Y_A,ERR_A,ERRF_A,ERR_OUTA  ; output
               .def      U_A,WN_A,WM               ; parameters

               .def      LMS_B,LMS_INIT_B           ; function call
               .def      D_B,X_B                   ; input
               .def      Y_B,ERR_B,ERRF_B,ERR_OUTB  ; output
               .def      U_B,WN_B                 ; parameters

               .def      LMS_C,LMS_INIT_C           ; function call
               .def      D_C,X_C                   ; input
               .def      Y_C,ERR_C,ERRF_C,ERR_OUTC  ; output
               .def      U_C,WN_C                 ; parameters

               .include  x24x_app.h

ORDER          .set      1                          ; Order of LMS

*****
*   DEFINE ADDRESS OF BUFFER AND COFFICIENTS
*****
X0_A           .usect    "buffer",ORDER-1
XN_A           .usect    "buffer",1
FREE_A         .usect    "buffer",1

```

```

X0_B      .usect    "buffer",ORDER-I
XN_B      .usect    "buffer",I
FREE_B    .usect    "buffer",I                               ; Using for free data

X0_C      .usect    "buffer",ORDER-I
XN_C      .usect    "buffer",I
FREE_C    .usect    "buffer",I                               ; Using for free data

WN_A      .usect    "coeffs",ORDER
WN_B      .usect    "coeffs",ORDER
WN_C      .usect    "coeffs",ORDER

```

```

*****
*          RESERVE ADDRESS FOR PARAMETERS
*****

```

```

D_A       .usect    "para",I                               ; Store parameters of LMS
X_A       .usect    "para",I
Y_A       .usect    "para",I
ERR_A     .usect    "para",I
U_A       .usect    "para",I
ERRF_A    .usect    "para",I
ERR_OUTA  .usect    "para",I

D_B       .usect    "para",I
X_B       .usect    "para",I
Y_B       .usect    "para",I
ERR_B     .usect    "para",I
U_B       .usect    "para",I
ERRF_B    .usect    "para",I
ERR_OUTB  .usect    "para",I

D_C       .usect    "para",I
X_C       .usect    "para",I
Y_C       .usect    "para",I
ERR_C     .usect    "para",I
U_C       .usect    "para",I
ERRF_C    .usect    "para",I
ERR_OUTC  .usect    "para",I

WM        .usect    "para",I
GPR_RAM   .usect    "para",I
INV_THREE .usect    "para",I

SAVE1     .usect    "para",I
SAVE2     .usect    "para",I
SAVE3     .usect    "para",I
SAVE4     .usect    "para",I
SAVE5     .usect    "para",I
SAVE6     .usect    "para",I

```

```

*****
*          PERFORM THE ADAPTIVE FILTER
*****

```

```

LMS_INIT_A:
    LDP    #D_A
    SPLK   #3D7H,U_A                               ; Set learning rate equal 0.03(Q15)=3D7H
                                                - : 255

LMS_INIT_B:
    LDP    #D_B
    SPLK   #3D7H,U_B                               ; Set learning rate equal 0.01(Q15)=3D7H
                                                : 255

LMS_INIT_C:
    LDP    #D_C
    SPLK   #3D7H,U_C                               ; Set learning rate equal 0.01(Q15)=3D7H

    SPLK   #2AAAH,INV_THREE                       ; 1/3 (Q15) = 2AAAH

RET

```

เอกสารนี้เป็นเอกสารที่สงวนไว้สำหรับการใช้งานเพื่อการศึกษาเท่านั้น ไม่อนุญาตให้拿去ใช้ประโยชน์ด้านการค้า  
ไม่ว่ากรณีใดๆทั้งสิ้น อีกทั้งห้ามมิให้ตัดแปลงเนื้อหา และต้องอ้างอิงถึงเจ้าของเอกสารทุกครั้งที่มีการนำไปใช้

\*\*\*\*\*  
 \* PROGRAM LMS 3 PHASE: \*  
 \*\*\*\*\*

\*\*\*\*\*  
 \* PHASE A \*  
 \*\*\*\*\*

```

LMS_A:
    SETC    SXM                                ; Use sign-extension Mode
    SETC    OVM                                ; Set Overflow mode
    SPM     1                                  ; shift output after multiplier

    POINT_PG0                                  ; Open Page0
    LARP    AR3                                ; Set current register
    SAR     AR1,SAVE1
    SAR     AR2,SAVE2
    SAR     AR3,SAVE3
    SAR     AR4,SAVE4
    SAR     AR5,SAVE5
    SAR     AR6,SAVE6

    LRLK    AR3,X_A
    LACC    *
    LRLK    AR3,X0_A
    SACL    *

    CNFP
    MPY     #0                                  ; Config B0 as program memory
    LACC    #1,15                              ; Clear PREG
    LRLK    AR3,XN_A                          ; Using rounding
                                                ; Point to the oldest sample

LOOP_A:
    RPTK    ORDER-1                          ; Repeat N times
    MACD    WN_A+0FD00H,*-                   ; Estimate Y(n)
    CNFD
    APAC
    SACH    Y_A                                ; Config B0 as data memeory
                                                ; Store output

*** CALCULATE ERROR
    NEG
    ADDH    D_A                                ; ACC = -Y(n)
    SACH    ERR_A                            ;
                                                ; ERR(n) = D(n) - Y(n)

*** UPDATE THE WEIGHTS
    LT      ERR_A                              ; T = ERR(n)
    MPY     U_A                                ; P = U*ERR(n)
    PAC
    ADD     #1,15                              ; round the result
    SACH    ERRF_A                          ; ERRF = U*ERR(n)

    LRLK    AR1,ORDER-1                      ; Set up Counter
    LRLK    AR2,WN_A                          ; Point to the coefficient
    LRLK    AR3,XN_A+1                       ; Point to the data sample
    LT      ERRF_A                            ; TREG = U*ERR(n)
    MPY     *-,AR2                            ; PREG = U*ERR(n)*X(n-k)

ADAPT_A:
    ZALR    *,AR3                            ; Load ACCH => A(k,n) & round
    MPYA    *-,AR2                            ; W(k,n+1) = W(k,n)+PREG
                                                ; PREG = U*ERR(n)*X(n-k)
    SACH    *+,0,AR1                          ; Store W(K,n+1)
    BANZ   ADAPT_A,*-,AR2
    
```

\*\*\*\*\*  
 \*PHASE B \*  
 \*\*\*\*\*

```

LMS_B:
    POINT_PG0
    LARP    AR3                                ; Set current register
    LRLK    AR3,X_B
    LACC    *
    LRLK    AR3,X0_B
    SACL    *
    
```

```

CNFP                                     ; Config B0 as program memory
MPY   #0                                 ; Clear PREG
LACC  #1,15                              ; Using rounding
LRLK  AR3,XN_B                           ; Point to the oldest sample

LOOP_B:
RPTK  ORDER-1                             ; Repeat N times
MACD  WN_B+0FD00H,*-                     ; Estimate Y(n)
CNFD                                     ; Config B0 as data memeory
APAC
SACH  Y_B                                 ; Store output

*** CALCULATE ERROR
NEG                                     ; ACC = -Y(n)
ADDH  D_B                                 ;
SACH  ERR_B                               ; ERR(n) = D(n) - Y(n)

*** UPDATE THE WEIGHTS
LT    ERR_B                               ; T = ERR(n)
MPY   U_B                                 ; P = U*ERR(n)
PAC
ADD   #1,15                              ; round the result
SACH  ERRF_B                             ; ERRF = U*ERR(n)

LARK  AR1,ORDER-1                        ; Set up Counter
LRLK  AR2,WN_B                            ; Point to the coefficient
LRLK  AR3,XN_B+1                          ; Point to the data sample
LT    ERRF_B                              ; TREG = U*ERR(n)
MPY   *-,AR2                              ; PREG = U*ERR(n)*X(n-k)

ADAPT_B:
ZALR  *,AR3                               ; Load ACCH => A(k,n) & round
MPYA  *-,AR2                              ; W(k,n+1) = W(k,n)+PREG
SACH  *+,0,AR1                            ; PREG = U*ERR(n)*X(n-k)
BANZ  ADAPT_B,*-,AR2                      ; Store W(K,n+1)

*****
*PHASE C *
*****

LMS_C:
POINT_PG0
LARP  AR3                                 ; Set current register
LRLK  AR3,X_C
LACC  *
LRLK  AR3,X0_C
SACL  *

CNFP                                     ; Config B0 as program memory
MPY   #0                                 ; Clear PREG
LACC  #1,15                              ; Using rounding
LRLK  AR3,XN_C                           ; Point to the oldest sample

LOOP_C:
RPTK  ORDER-1                             ; Repeat N times
MACD  WN_C+0FD00H,*-                     ; Estimate Y(n)
CNFD                                     ; Config B0 as data memeory
APAC
SACH  Y_C                                 ; Store output

*** CALCULATE ERROR
NEG                                     ; ACC = -Y(n)
ADDH  D_C                                 ;
SACH  ERR_C                               ; ERR(n) = D(n) - Y(n)

*** UPDATE THE WEIGHTS
LT    ERR_C                               ; T = ERR(n)
MPY   U_C                                 ; P = U*ERR(n)
PAC
ADD   #1,15                              ; round the result
SACH  ERRF_C                             ; ERRF = U*ERR(n)

LARK  ARI,ORDER-1                        ; Set up Counter

```

```

LRLK AR2,WN_C ; Point to the coefficient
LRLK AR3,XN_C+1 ; Point to the data sample
LT ERRF_C ; TREG = U*ERR(n)
MPY *-,AR2 ; PREG = U*ERR(n)*X(n-k)

ADAPT_C:
ZALR *,AR3 ; Load ACCH => A(k,n) & round
MPYA *-,AR2 ; W(k,n+1) = W(k,n)+PREG
; PREG = U*ERR(n)*X(n-k)
SACH *+,0,AR1 ; Store W(K,n+1)
BANZ ADAPT_C,*-,AR2

*****
* OUTPUT OF LMS *
*****

OUT_LMS:
POINT_PG0

LRLK AR4,WN_A
LRLK AR5,WN_B
LRLK AR6,WN_C
LARP AR4
LACC *,14,AR5
ADD *,14,AR6
ADD *,14 ; ACC = WN_A + WN_B + WN_C
SACH WM ; WM = ACC
LT INV_THREE ; TREG = WN_A + WN_B + WN_C
MPY WM ; MPY ( 1/3 => Q15 )
PAC
SACH WM,2 ; WM = 1/3(WN_A + WN_B + WN_C)

OUT_LMS0A:
LDP #pid_out_reg2
LT pid_out1_reg2

POINT_PG0
MPY X_A
PAC

LDP #pid_out_reg3
ADDH pid_out1_reg3

POINT_PG0
SACH GPR_RAM,2
LT GPR_RAM ; CAL OUTPUT PHASE A
MPY WM ;
PAC ; PREG = WM * XN_A
; ACC = -Y(n)
NEG
ADDH D_A
NEG
SACH ERR_OUTA ; ERR_OUT(n) = D(n) - Y(n)

OUT_LMS0B:
LDP #pid_out_reg2
LT pid_out1_reg2

POINT_PG0
MPY X_B
PAC

LDP #pid_out_reg3
ADDH pid_out1_reg3

POINT_PG0
SACH GPR_RAM,2

LT GPR_RAM ; CAL OUTPUT PHASE B
MPY WM ;
PAC ; PREG = WM * XN_B
NEG ; ACC = -Y(n)
ADDH D_B
NEG
SACH ERR_OUTB ; ERR_OUT(n) = D(n) - Y(n)

```

เอกสารนี้เป็นเอกสารสงวนลิขสิทธิ์การใช้งานเพื่อการศึกษาเท่านั้น ไม่อนุญาตให้นำไปใช้ประโยชน์ด้านการค้า

ไม่ว่ากรณีใดๆทั้งสิ้น อีกทั้งห้ามมิให้ตัดแปลงเนื้อหา และต้องอ้างอิงถึงเจ้าของเอกสารทุกครั้งที่มีการนำไปใช้





```

SACL.   cur_lo_A

LACC    cur_hi_A
SUB     cur_real_A
BCND    CUR_LO_A,GT

CUR_HI_A:
SPLK    #111111110000100B,cur_buff1_A           ; CASE HIGHER HYS BAND => A0=1 ,A1=0
SPLK    #11111111110111B,cur_buff2_A
POINT_PF2                                     ; ( PHASE A )
;
SPLK    #0000H,OCRA
LACC    PADATDIR
OR      #111111110000100B
AND     #11111111110111B
SACL    PADATDIR
B       CUR_EXT_A

CUR_LO_A:
LACC    cur_real_A                               ; CASE LOWER HYS BAND => A0=0 ,A1=1
SUB     cur_lo_A
BCND    CUR_MID_A,GEQ

SPLK    #111111110000100B,cur_buff1_A
SPLK    #11111111110111B,cur_buff2_A
POINT_PF2
;
SPLK    #0000H,OCRA
LACC    PADATDIR
OR      #111111110000100B
AND     #11111111110111B
SACL    PADATDIR
B       CUR_EXT_A

CUR_MID_A:
POINT_PF2                                       ; CASE INNER BAND => NOT CHANGE
;
SPLK    #0000H,OCRA
LACC    PADATDIR
LDP     #cur_ref_A
OR      cur_buff1_A
AND     cur_buff2_A
POINT_PF2
SACL    PADATDIR

CUR_EXT_A:
RET
;-----

```

เอกสารนี้เป็นเอกสารที่สงวนไว้สำหรับการใช้งานเพื่อการศึกษาเท่านั้น ไม่อนุญาตให้นำไปใช้ประโยชน์ด้านการค้า  
ไม่ว่ากรณีใดๆทั้งสิ้น อีกทั้งห้ามมิให้ตัดแปลงเนื้อหา และต้องอ้างอิงถึงเจ้าของเอกสารทุกครั้งที่มีการนำไปใช้



```

POINT_PF2                                     ; ( PHASE B )
SPLK #0000H,OCRA
LACC PADATDIR
OR #1111111100010000B
AND #111111111011111B
SACL PADATDIR
B CUR_EXT_B

CUR_LO_B:
LACC cur_real_B                               ; CASE LOWER HYS BAND => A2=0 ,A3=1
SUB cur_lo_B
BCND CUR_MID_B,GEQ

SPLK #1111111100100000B,cur_buff1_B
SPLK #111111111101111B,cur_buff2_B
POINT_PF2
; SPLK #0000H,OCRA
LACC PADATDIR
OR #1111111100100000B
AND #111111111101111B
SACL PADATDIR
B CUR_EXT_B

CUR_MID_B:                                   ; CASE INNER BAND => NOT CHANGE
POINT_PF2
; SPLK #0000H,OCRA
LACC PADATDIR
LDP #cur_ref_B
OR cur_buff1_B
AND cur_buff2_B
POINT_PF2
SACL PADATDIR

CUR_EXT_B:
RET
;-----

```

เอกสารนี้เป็นเอกสารที่สงวนไว้สำหรับการใช้งานเพื่อการศึกษาเท่านั้น ไม่อนุญาตให้นำไปใช้ประโยชน์ด้านการค้า  
ไม่ว่ากรณีใดๆทั้งสิ้น อีกทั้งห้ามมิให้ดัดแปลงเนื้อหา และต้องอ้างอิงถึงเจ้าของเอกสารทุกครั้งที่มีการนำไปใช้



```

POINT_PF2                                ; ( PHASE C )
;
SPLK #0000H,OCRA
LACC PADATDIR
OR #1111111101000000B
AND #1111111101111111B
SACL PADATDIR
B CUR_EXT_C

CUR_LO_C:
LACC cur_real_C                            ; CASE LOWER HYS BAND => A0=0 ,A1=1
SUB cur_lo_C
BCND CUR_MID_C,GEQ

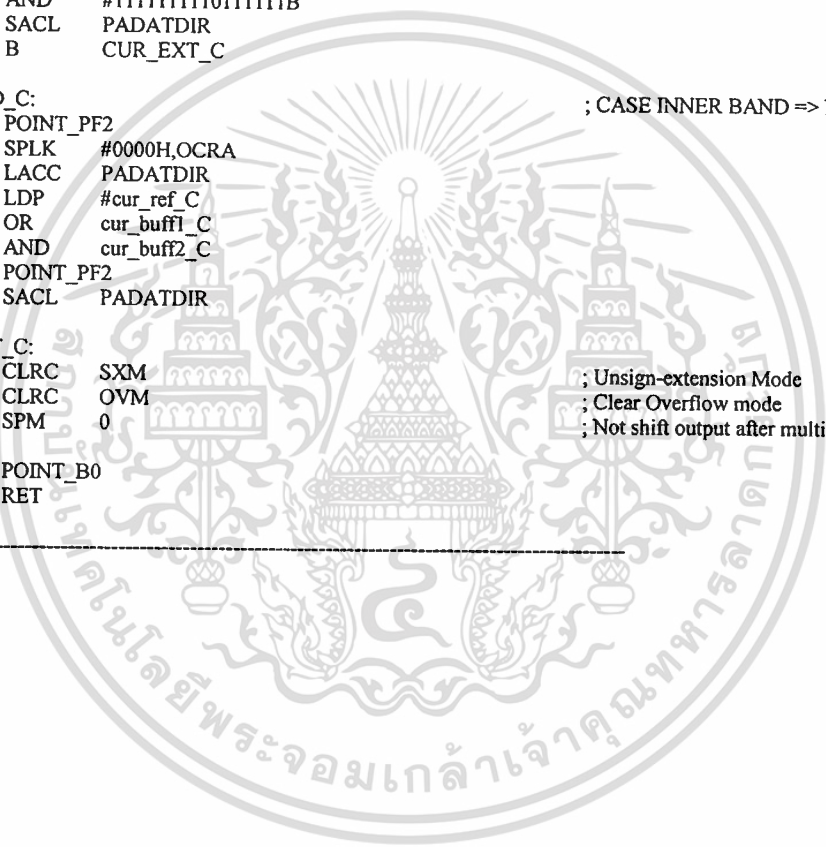
SPLK #1111111110000000B,cur_buff1_C
SPLK #1111111110111111B,cur_buff2_C
POINT_PF2
;
SPLK #0000H,OCRA
LACC PADATDIR
OR #1111111110000000B
AND #1111111110111111B
SACL PADATDIR
B CUR_EXT_C

CUR_MID_C:                                ; CASE INNER BAND => NOT CHANGE
POINT_PF2
;
SPLK #0000H,OCRA
LACC PADATDIR
LDP #cur_ref_C
OR cur_buff1_C
AND cur_buff2_C
POINT_PF2
SACL PADATDIR

CUR_EXT_C:
CLRC SXM                                    ; Unsign-extension Mode
CLRC OVM                                    ; Clear Overflow mode
SPM 0                                       ; Not shift output after multiplier

POINT_B0
RET

```



เอกสารนี้เป็นเอกสารที่สงวนไว้สำหรับการใช้งานเพื่อการศึกษาเท่านั้น ไม่อนุญาตให้นำไปใช้ประโยชน์ด้านการค้า  
 ไม่ว่าจะกรณีใดๆทั้งสิ้น อีกทั้งห้ามมิให้ตัดแปลงเนื้อหา และต้องอ้างอิงถึงเจ้าของเอกสารทุกครั้งที่มีการนำไปใช้



---



---

:SET CONSTANCE

---



---

\*\*\*\*\*  
 \*\*\*\* CONSTANCE LAYER 1 \*\*\*\*  
 \*\*\*\*\*

NET_A_11	.set	001B411	
NET_A_12	.set	0054FH	; 1.0655 =001B4H(Q13)
NET_A_13	.set	00F9D1H	; 3.3182 =0054FH(Q13)
			; 9.7590 =00F9DH(Q13)
NET_A_21	.set	004E6H	; 3.0663 =004E6H(Q13)
NET_A_22	.set	0FF71H	; -9.7246 =0FF71H(Q13)
NET_A_23	.set	0FD4CH	; -1.6900 =0FD4CH(Q13)
NET_A_31	.set	00D7FH	; 8.4370 =00D7FH(Q13)
NET_A_32	.set	009A5H	; 6.0302 =009A5H(Q13)
NET_A_33	.set	00069H	; -0.2576 =00069H(Q13)
NET_A_41	.set	0F686H	; -5.9241 =0F686H(Q13)
NET_A_42	.set	00723H	; 4.4607 =00723H(Q13)
NET_A_43	.set	0F682H	; -5.9341 =0F682H(Q13)
NET_A_51	.set	0FB05H	; -3.1142 =0FB05H(Q13)
NET_A_52	.set	006C6H	; 4.2341 =006C6H(Q13)
NET_A_53	.set	00E2BH	; 8.8564 =00E2BH(Q13)

; CONSTANCE LAYER 1 (CON)

NET_AC_1	.set	000C1H	; 0.4718 =000C1H(Q13)
NET_AC_2	.set	0002BH	; 0.1070 =0002BH(Q13)
NET_AC_3	.set	0008AH	; 0.3377 =0008AH(Q13)
NET_AC_4	.set	00038H	; 0.1381 =00038H(Q13)
NET_AC_5	.set	00097H	; 0.3691 =00097H(Q13)

\*\*\*\*\*  
 \*\*\*\* CONSTANCE LAYER 2 \*\*\*\*  
 \*\*\*\*\*

NET_B_11	.set	00450H	; 2.6954 =00450H(Q13)
NET_B_12	.set	0FFB8H	; -0.1768 =0FFB8H(Q13)
NET_B_13	.set	0F14FH	; -9.1831 =0F14FH(Q13)
NET_B_14	.set	0F84FH	; -4.8092 =0F84FH(Q13)
NET_B_15	.set	0F5BBH	; -6.4196 =0F5BBH(Q13)
NET_B_21	.set	000EDH	; 0.5793 =000EDH(Q13)
NET_B_22	.set	0F1E2H	; -8.8223 =0F1E2H(Q13)
NET_B_23	.set	00689H	; 4.0854 =00689H(Q13)
NET_B_24	.set	00535H	; 3.2562 =00535H(Q13)
NET_B_25	.set	00100H	; 0.6252 =00100H(Q13)
NET_B_31	.set	0089AH	; 5.3768 =0089AH(Q13)
NET_B_32	.set	0FF9AH	; -0.2512 =0FF9AH(Q13)
NET_B_33	.set	0F9EAH	; -3.8054 =0F9EAH(Q13)
NET_B_34	.set	0F947H	; -4.2034 =0F947H(Q13)
NET_B_35	.set	009E5H	; 6.1852 =009E5H(Q13)

; CONSTANCE LAYER 2 (CON)

NET_BC_1	.set	0FF9DH	; -0.2421 =0FF9DH(Q13)
NET_BC_2	.set	0FF68H	; -0.1767 =0FF68H(Q13)
NET_BC_3	.set	0FD36H	; -1.7445 =0FD36H(Q13)

---



---

CUR\_NUR\_INIT:

---



---

```

POINT_PF2
SPLK #0000H,MCRA ; PORT_A is output
SPLK #1111111010100B,PAIDATDIR ; Initial case HIGH ALL PHASE
: SPLK #0FF00h,PBIDATDIR
LDP #cur_ref_A_NNT
SPLK #11111110000100B,cur_buff1_A_NNT
SPLK #11111111110111B,cur_buff2_A_NNT

```

เอกสารนี้เป็นเอกสารที่สงวนไว้สำหรับการใช้งานเพื่อการศึกษาเท่านั้น ไม่อนุญาตให้นำไปใช้ประโยชน์ด้านการค้า  
 ไม่ว่าจะกรณีใดๆทั้งสิ้น อีกทั้งห้ามมิให้คัดลอกเนื้อหา และต้องอ้างอิงถึงเจ้าของเอกสารทุกครั้งที่มีการนำไปใช้

```

SPLK #111111100010000B,cur_buff1_B_NNT
SPLK #11111111011111B,cur_buff2_B_NNT

SPLK #111111101000000B,cur_buff1_C_NNT
SPLK #11111110111111B,cur_buff2_C_NNT

RET

```

```

=====
CUR_NUR:
=====

```

```

SETC SXM ; Sign extension mode
SETC OVM ; Overflow mode
SPM 2 ; set SPM = 2 For shift left 4 (Q13*Q13)

```

```

LDP #cur_ref_A_NNT
LACC cur_ref_A_NNT,14
SUB cur_real_A_NNT,14
SACH cur_out_A_NNT

```

```

LACC cur_ref_B_NNT,14
SUB cur_real_B_NNT,14
SACH cur_out_B_NNT

```

```

LACC cur_ref_C_NNT,14
SUB cur_real_C_NNT,14
SACH cur_out_C_NNT

```

```

*****
** LAYER ONE **
*****

```

```

NODE_ONE_A:

```

```

SPLK #NET_AC_1,buff_free
LACC buff_free,16
SPLK #NET_A_11,buffer_cu
LT cur_out_A_NNT
MPY buffer_cu
APAC

```

```

SPLK #NET_A_12,buffer_cu
LT cur_out_B_NNT
MPY buffer_cu
APAC

```

```

SPLK #NET_A_13,buffer_cu
LT cur_out_C_NNT
MPY buffer_cu
APAC

```

```

SACH test_bit_cu
BIT test_bit_cu,BIT15
BCND NEG_CU_1,TC
SPLK #2000H,sw_cu_1
B NODE_TWO_A

```

```

NEG_CU_1:

```

```

SPLK #0E000H,sw_cu_1

```

```

NODE_TWO_A:

```

```

SPLK #NET_AC_2,buff_free
LACC buff_free,16
SPLK #NET_A_21,buffer_cu
LT cur_out_A_NNT
MPY buffer_cu
APAC

```

```

SPLK #NET_A_22,buffer_cu
LT cur_out_B_NNT
MPY buffer_cu
APAC

```

```

SPLK #NET_A_23,buffer_cu
LT cur_out_C_NNT

```

เอกสารนี้เป็นเอกสารสงวนลิขสิทธิ์เพื่อการศึกษาเท่านั้น ไม่อนุญาตให้นำไปใช้ประโยชน์ด้านการค้า  
 ไม่ว่ากรณีใดๆทั้งสิ้น อีกทั้งห้ามมิให้ดัดแปลงเนื้อหา และต้องอ้างอิงถึงเจ้าของเอกสารทุกครั้งที่มีการนำไปใช้

```

MPY    buffer_cu
APAC

SACH   test_bit_cu
BIT    test_bit_cu,BIT15
BCND   NEG_CU_2,TC
SPLK   #2000H,sw_cu_2
B      NODE_THREE_A

NEG_CU_2:
SPLK   #0E000H,sw_cu_2

NODE_THREE_A:
SPLK   #NET_AC_3,buff_free
LACC   buff_free,16
SPLK   #NET_A_31,buffer_cu
LT     cur_out_A_NNT
MPY    buffer_cu
APAC

SPLK   #NET_A_32,buffer_cu
LT     cur_out_B_NNT
MPY    buffer_cu
APAC

SPLK   #NET_A_33,buffer_cu
LT     cur_out_C_NNT
MPY    buffer_cu
APAC

SACH   test_bit_cu
BIT    test_bit_cu,BIT15
BCND   NEG_CU_3,TC
SPLK   #2000H,sw_cu_3
B      NODE_FOUR_A

NEG_CU_3:
SPLK   #0E000H,sw_cu_3

NODE_FOUR_A:
SPLK   #NET_AC_4,buff_free
LACC   buff_free,16
SPLK   #NET_A_41,buffer_cu
LT     cur_out_A_NNT
MPY    buffer_cu
APAC

SPLK   #NET_A_42,buffer_cu
LT     cur_out_B_NNT
MPY    buffer_cu
APAC

SPLK   #NET_A_43,buffer_cu
LT     cur_out_C_NNT
MPY    buffer_cu
APAC

SACH   test_bit_cu
BIT    test_bit_cu,BIT15
BCND   NEG_CU_4,TC
SPLK   #2000H,sw_cu_4
B      NODE_FIVE_A

NEG_CU_4:
SPLK   #0E000H,sw_cu_4

NODE_FIVE_A:
SPLK   #NET_AC_5,buff_free
LACC   buff_free,16
SPLK   #NET_A_51,buffer_cu
LT     cur_out_A_NNT
MPY    buffer_cu
APAC

```

เอกสารนี้เป็นเอกสารที่สงวนไว้สำหรับการใช้งานเพื่อการศึกษาเท่านั้น ไม่อนุญาตให้นำไปใช้ประโยชน์ด้านการค้า  
ไม่ว่ากรณีใดๆทั้งสิ้น อีกทั้งห้ามมิให้ตัดแปลงเนื้อหา และต้องอ้างอิงถึงเจ้าของเอกสารทุกครั้งที่มีการนำไปใช้

```

SPLK    #NET_A_52,buffer_cu
LT      cur_out_B_NNT
MPY     buffer_cu
APAC

SPLK    #NET_A_53,buffer_cu
LT      cur_out_C_NNT
MPY     buffer_cu
APAC

SACH    test_bit_cu
BIT     test_bit_cu,BIT15
BCND    NEG_CU_5,TC
SPLK    #200011,sw_cu_5
B       NODE_ONE_B

NEG_CU_5:
SPLK    #0E000H,sw_cu_5

*****
** LAYER TWO **
*****
; PORT A ;

NODE_ONE_B:
SPLK    #NET_BC_1,buff_free
LACC    buff_free,16
SPLK    #NET_B_11,buffer_cu
LT      sw_cu_1
MPY     buffer_cu
APAC

SPLK    #NET_B_12,buffer_cu
LT      sw_cu_2
MPY     buffer_cu
APAC

SPLK    #NET_B_13,buffer_cu
LT      sw_cu_3
MPY     buffer_cu
APAC

SPLK    #NET_B_14,buffer_cu
LT      sw_cu_4
MPY     buffer_cu
APAC

SPLK    #NET_B_15,buffer_cu
LT      sw_cu_5
MPY     buffer_cu
APAC

SACH    test_bit_cu
BIT     test_bit_cu,BIT15
BCND    NEG_PORT_1,TC

SPLK    #1111111000001001B,cur_buf1_A_NNT           :CASE HIGH
SPLK    #111111111110111B,cur_buf2_A_NNT

B       NODE_TWO_B

NEG_PORT_1:
SPLK    #111111100001000B,cur_buf1_A_NNT           :CASE LOW
SPLK    #111111111110111B,cur_buf2_A_NNT

; PORT B ;

NODE_TWO_B:
SPLK    #NET_BC_2,buff_free
LACC    buff_free,16
SPLK    #NET_B_21,buffer_cu
LT      sw_cu_1

```



```

MPY    buffer_cu
APAC

SPLK   #NET_B_22,buffer_cu
LT     sw_cu_2
MPY    buffer_cu
APAC

SPLK   #NET_B_23,buffer_cu
LT     sw_cu_3
MPY    buffer_cu
APAC

SPLK   #NET_B_24,buffer_cu
LT     sw_cu_4
MPY    buffer_cu
APAC

SPLK   #NET_B_25,buffer_cu
LT     sw_cu_5
MPY    buffer_cu
APAC

SACH   test_bit_cu
BIT    test_bit_cu,BIT15
BCND   NEG_PORT_2,TC

;
SPLK   #1111111100010000B,cur_buff1_B_NNT
SPLK   #1111111110111111B,cur_buff2_B_NNT

B      NODE_THREE_B
NEG_PORT_2:
SPLK   #1111111100100000B,cur_buff1_B_NNT
SPLK   #1111111111011111B,cur_buff2_B_NNT

;
; PORT C ;
;

NODE_THREE_B:
SPLK   #NET_BC_3,buff_free
LACC   buff_free,16
SPLK   #NET_B_31,buffer_cu
LT     sw_cu_1
MPY    buffer_cu
APAC

SPLK   #NET_B_32,buffer_cu
LT     sw_cu_2
MPY    buffer_cu
APAC

SPLK   #NET_B_33,buffer_cu
LT     sw_cu_3
MPY    buffer_cu
APAC

SPLK   #NET_B_34,buffer_cu
LT     sw_cu_4
MPY    buffer_cu
APAC

SPLK   #NET_B_35,buffer_cu
LT     sw_cu_5
MPY    buffer_cu
APAC

SACH   test_bit_cu
BIT    test_bit_cu,BIT15
BCND   NEG_PORT_3,TC

SPLK   #111111110000000B,cur_buff1_C_NNT
SPLK   #111111110111111B,cur_buff2_C_NNT
;CASE HIGH
SEND_PORT

```

เอกสารนี้เป็นเอกสารที่สงวนไว้สำหรับการใช้งานเพื่อการศึกษาเท่านั้น ไม่อนุญาตให้นำไปใช้ประโยชน์ด้านการค้า  
 ไม่ว่ากรณีใดๆทั้งสิ้น อีกทั้งห้ามมิให้ดัดแปลงเนื้อหา และต้องอ้างอิงถึงเจ้าของเอกสารทุกครั้งที่มีการนำไปใช้



SPLK #200011,ONE\_Q13

RET

PID\_REG2:

```

SETC   SXM
SETC   OVM                ; Sign extension mode
SPM    0                  ; Overflow mode

ldp    #pid_ref_reg2
LACC   pid_ref_reg2
SUB    pid_fb_reg2
SACL   En0_reg2

lacc   Un_reg2,9
LT     En0_reg2          ;ACC(32-bit)(Q24), Un(Q15)
MPY    K0_reg2          ;Q9*Q15

APAC                                       ;Q24

rpt    #6
norm   *
sach   Upi_reg2          ;Q31
                                ;Q15

LACC   Upi_reg2
SUB    pid_min_reg2
BCND   SAT_MINUS_IO,LT

LACC   Upi_reg2
SUB    pid_max_reg2
BCND   SAT_PLUS_IO,GEQ
lacc   Upi_reg2
sach   pid_out_reg2
B      FWD_IO           ;Q15
                                ;saturation control

SAT_MINUS_IO
lacc   pid_min_reg2
sach   pid_out_reg2
B      FWD_IO

SAT_PLUS_IO
lacc   pid_max_reg2
sach   pid_out_reg2

FWD_IO:
LACC   pid_out_reg2
SUB    Upi_reg2
sach   epi_reg2        ;Q15
                                ;Q15
                                ;Q15

lt     epi_reg2
mpy    Kc_reg2          ;Q15
pac                                       ;Q15*Q13
                                ;Q28

lt     En0_reg2
mpy    K1_reg2          ;Q15
pac                                       ;Q15*Q13
                                ;Q28

ADD    Un_reg2,13
rpt    #2
norm   *
sach   Un_reg2          ;Q31
                                ;Q15

LACC   pid_out_reg2
ADD    ONE_Q13
SACL   pid_outl_reg2

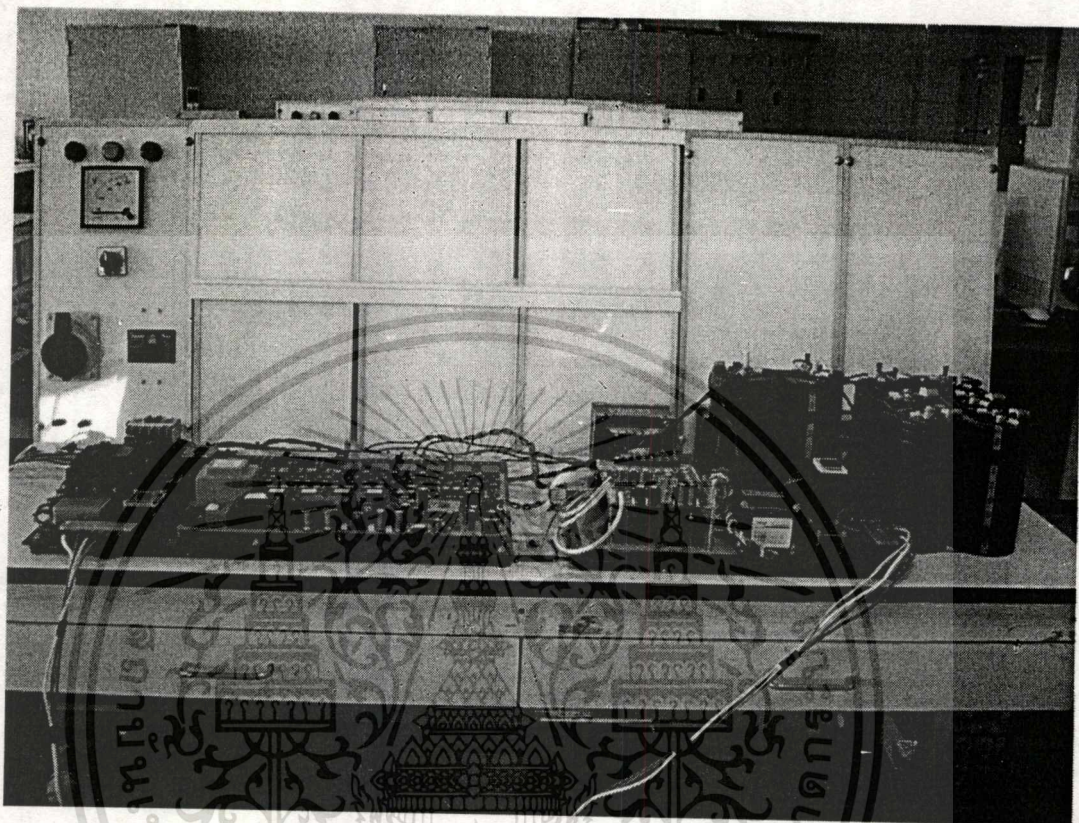
RET

```

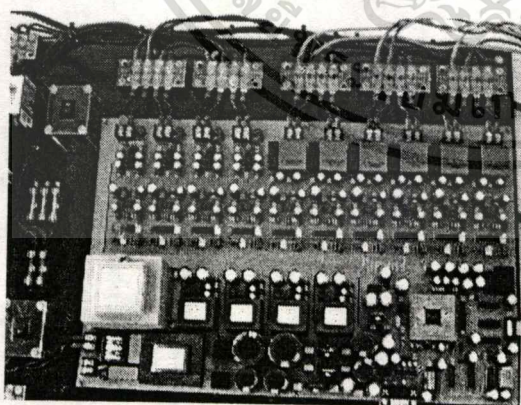
เอกสารนี้เป็นเอกสารที่สงวนไว้สำหรับการใช้งานเพื่อการศึกษาเท่านั้น ไม่อนุญาตให้นำไปใช้ประโยชน์ด้านการค้า  
ไม่ว่ากรณีใดๆทั้งสิ้น อีกทั้งห้ามมิให้ตัดแปลงเนื้อหา และต้องอ้างอิงถึงเจ้าของเอกสารทุกครั้งที่มีการนำไปใช้



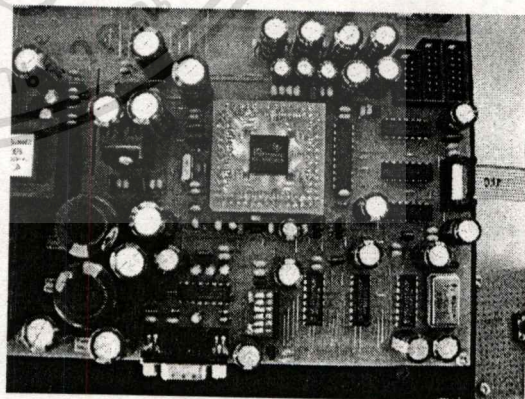
เอกสารนี้เป็นเอกสารที่สงวนไว้สำหรับการใช้งานเพื่อการศึกษาเท่านั้น ไม่อนุญาตให้นำไปใช้ประโยชน์ด้านการค้า  
ไม่ว่ากรณีใดๆทั้งสิ้น อีกทั้งห้ามมิให้ดัดแปลงเนื้อหา และต้องอ้างอิงถึงเจ้าของเอกสารทุกครั้งที่มีการนำไปใช้



ภาพที่ 1 แสดงระบบโดยรวมของวงจรรอกำตั้งแอกทีฟแบบขนาน 3 เฟส 4 สาย

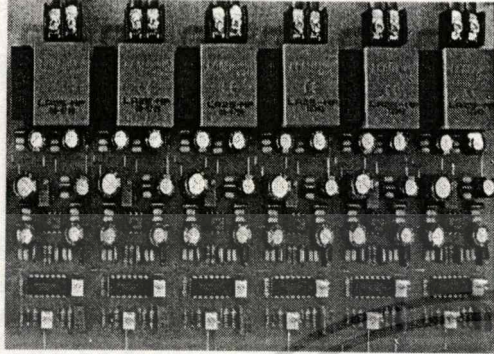


ภาพที่ 2 แสดงวงจรชุดการควบคุม

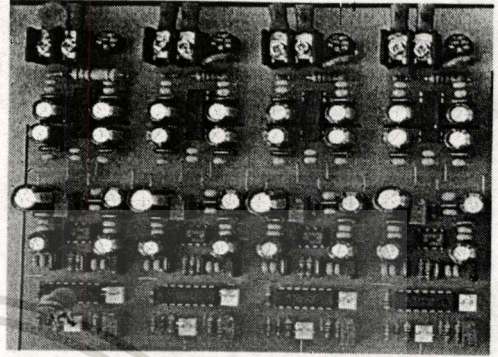


ภาพที่ 3 แสดงตัวประมวลผลสัญญาณดิจิทัล

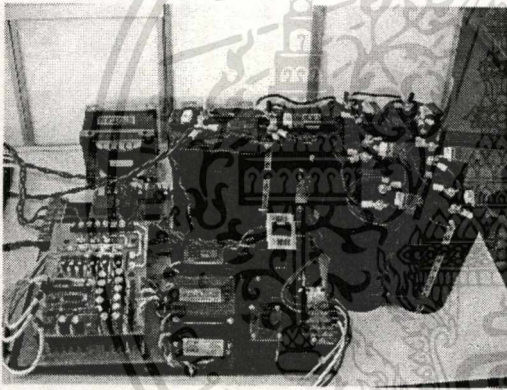
เอกสารนี้เป็นเอกสารที่สงวนไว้สำหรับการใช้งานเพื่อการศึกษาเท่านั้น ไม่อนุญาตให้นำไปใช้ประโยชน์ด้านการค้า  
ไม่ว่ากรณีใดๆทั้งสิ้น อีกทั้งห้ามมิให้ตัดแปลงเนื้อหา และต้องอ้างอิงถึงเจ้าของเอกสารทุกครั้งที่มีการนำไปใช้



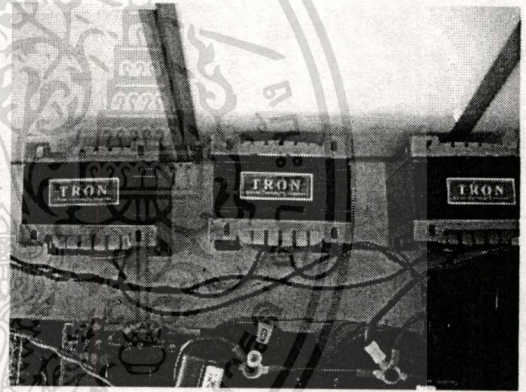
ภาพที่ 4 แสดงวงจรตรวจจ็ับกระแส



ภาพที่ 5 แสดงวงจรตรวจจ็ับแรงดัน



ภาพที่ 6 แสดงวงภาคกำลัง



ภาพที่ 7 แสดงตัวต้านทานความเหนี่ยวนำ

เอกสารนี้เป็นเอกสารที่สงวนไว้สำหรับการใช้งานเพื่อการศึกษาเท่านั้น ไม่อนุญาตให้นำไปใช้ประโยชน์ด้านการค้า  
ไม่ว่ากรณีใดๆทั้งสิ้น อีกทั้งห้ามมิให้ดัดแปลงเนื้อหา และต้องอ้างอิงถึงเจ้าของเอกสารทุกครั้งที่มีการนำไปใช้

ภาคผนวก จ.

**ผลงานวิจัยที่ได้รับการเผยแพร่**

1. ลิขิต ชูทรัพย์ และ วิจิตร กิณเรศ, “ วงจรกรองแอกทีฟแบบขนาน 3 เฟสที่ใช้ตัวตรวจจับกระแสฮาร์โมนิกด้วยโครงข่ายประสาทเทียมโดยใช้ตัวประมวลผลสัญญาณดิจิทัล ”, วิศวกรรมลาดกระบัง, หน้าที่ 29-34, ปีที่ 21 ฉบับที่ 1 มีนาคม 2547.

เอกสารนี้เป็นเอกสารที่สงวนไว้สำหรับการใช้งานเพื่อการศึกษาเท่านั้น ไม่อนุญาตให้นำไปใช้ประโยชน์ด้านการค้า ไม่ว่าจะกรณีใดๆทั้งสิ้น อีกทั้งห้ามมิให้ดัดแปลงเนื้อหา และต้องอ้างอิงถึงเจ้าของเอกสารทุกครั้งที่มีการนำไปใช้



ISSN 0125-1724

วิศวกรรมศาสตร์

# ลาดกระบัง

มหาวิทยาลัยเทคโนโลยีพระจอมเกล้าลาดกระบัง

## ADKRABANG ENGINEERING JOURNAL

ปีที่ 21 ฉบับที่ 1

มีนาคม 2547

- |     |  |    |
|-----|--|----|
| 1.  | กระบวนการโฟโตลิโกราฟีบนชั้นซิลิคอนไดออกไซด์สำหรับสร้างลวดลายวงจรรวมแบบเทคโนโลยีซีมอสขนาด 5 ไมครอน<br>ชลิลา คูหาเรือง วีระ เพ็งจันทร์ สุรศักดิ์ เนียมเจริญ สมเกียรติ สุขเดช | 1  |
| 2.  | วงจรถ่ายภาพสองแบบ เรล ชู เรล<br>สุพจน์ หุ่นย่อง กอบชัย เดชหาญ อธิพงษ์ ชัยสายัณห์   | 7  |
| 3.  | วงจรเรียงกระแสแบบเต็มคลื่นความถี่สูงและเที่ยงตรงสูงด้วยเทคโนโลยีซีมอส<br>มนตรี คำเงิน สุรพันธุ์ สุวรรณโพบูลย์ ทิพัฒน์ พรหมมี กอบชัย เดชหาญ                                 | 12 |
| 4.  | การวิเคราะห์และประเมินค่าสมรรถนะของการเข้ารหัส MC DS-SS-CDMA โดยใช้ช่องสัญญาณการจางแบบนาคากามิ<br>ธเนศ พลชายเพชร กอบชัย เดชหาญ   | 17 |
| 5.  | การวิเคราะห์สมรรถนะของระบบเครือข่ายท้องถิ่น WDM Bus ที่มีวิธีการเข้าถึงแบบ CSMA/CA<br>อัญชลา ราศรีมินทร์ กฤษณะพงศ์ พันธุ์ศรี สุวิมล สิทธิวิชาภาศ เกียรติกร วงศ์โรจน์ภรณ์   | 23 |
| 5.  | วงจรถ่ายภาพสองแบบเรลชูลูแบบขนาน 3 เฟสที่ใช้ตัวตรวจจับกระแสฮาร์โมนิก ด้วยโครงข่ายประสาทเทียมโดยใช้ตัวประมวลผลสัญญาณดิจิทัล<br>ลิขิต ชูทรัพย์ วิจิตร กิณเรศ                  | 29 |
| 7.  | การวิเคราะห์การกระจายของความเข้มข้นบนผิวตัวเร่งปฏิกิริยาที่มีรูพรุนในการทดลองแทป<br>ก่อพงศ์ หงษ์ศรี ผึ้งผาย พรรณวดี  | 35 |
| 8.  | อิทธิพลของปัจจัยทางกายภาพที่มีต่อความรู้สึกทางความร้อนของคนไทยในสภาพแวดล้อมแบบสำนักงาน<br>บุภาพ แยมไครพัฒน์ โจเซฟ เคนารี จงจิตร หิรัญลาภ                                   | 41 |
| 9.  | คุณลักษณะในการลดเสียงของตัวเก็บเสียงชนิดกล่องกังวานคู่แบบเฮลิคัมไฮลทซ์<br>มิ่ง โลกิจแสงทอง ณัฐวุฒิ วิริยะจิตรสมบูรณ์   | 47 |
| 10. | การพัฒนาเรบบอสโมซิสย้อนกลับโดยใช้คอมพิวเตอร์<br>ธเนศ หาญพัฒนะบุสรณ์ มณฑล ลีลาจินดาไกรฤกษ์  | 52 |

เอกสารนี้เป็นเอกสารที่สงวนไว้สำหรับการใช้งานเพื่อการศึกษาเท่านั้น ไม่อนุญาตให้นำไปใช้ประโยชน์ด้านการค้า  
ไม่ว่ากรณีใดๆทั้งสิ้น อีกทั้งห้ามมิให้ตัดแปลงเนื้อหา และต้องอ้างอิงถึงเจ้าของเอกสารทุกครั้งที่มีการนำไปใช้

วงจรรองกำลังแอคทีฟแบบขนาน 3 เฟสที่ใช้ตัวตรวจจับ  
กระแสฮาร์มอนิก ด้วยโครงข่ายประสาทเทียม  
โดยใช้ตัวประมวลผลสัญญาณดิจิทัล

A 3- $\phi$  Shunt Active Power Filter with Harmonic Current

Detection Based on Neural Network Using Digital Signal Processor

ลิขิต ชูทรัพย์ วิจิตร กิณเรศ

ภาควิชาวิศวกรรมไฟฟ้า คณะวิศวกรรมศาสตร์ สถาบันเทคโนโลยีพระจอมเกล้าเจ้าคุณทหารลาดกระบัง

บทคัดย่อ

บทความนี้นำเสนอวงจรรองกำลังไฟฟ้าแอคทีฟแบบขนานสำหรับโหลดไม่เชิงเส้นในระบบไฟฟ้า 3 เฟส 4 สาย เพื่อลดปริมาณกระแสฮาร์มอนิกทั้งในสายเฟส และสายนิวทรัล มีการตรวจจับกระแสฮาร์มอนิกด้วยโครงข่ายประสาทเทียม สำหรับสร้างกระแสอ้างอิงให้แก่ตัวควบคุมกระแสแบบฮิสเตอร์รีซิส นอกจากนี้ยังมีการรักษาระดับแรงดันไฟตรงเชื่อมโยงให้คงที่โดยใช้ตัวควบคุมแบบพีไอ ระบบทั้งหมดถูกควบคุมและประมวลผลโดยใช้ตัวประมวลผลสัญญาณดิจิทัล TMS320LF2406 (DSP) และในบทความนี้ยังได้เสนอการทำงานของวงจรรองกำลัง , ออกแบบตัวเหนี่ยวนำ และตัวควบคุมที่พีไอ จากผลการทดลองพบว่าวงจรรองกำลังสามารถทำการชดเชยกระแสฮาร์มอนิกของโหลดไม่เชิงเส้นเป็นที่น่าพอใจทั้งในกรณีที่กระแสโหลดสมดุล และไม่สมดุล

Abstract

This paper presents a shunt active power filter a 3-phase, 4 wire non-linear load system in order to reduce harmonic currents in all phase and neutral wires. A technique of harmonic current detection is based on neural network in order to produce reference current for hysteresis current controller. Additionally, PI controller is used for keeping dc link voltage constant. All systems are controlled and processed by a digital signal processor TMS320LF240 (DSP). In this paper, power circuit operation, inductor and PI design one also given. The results show that the proposed circuit is capable of compensating harmonic currents of non-linear loads both in balanced and unbalanced load currents with satisfaction.

1. บทนำ

ปัจจุบันเทคโนโลยี และอุปกรณ์เครื่องใช้ไฟฟ้า มีส่วนประกอบของอุปกรณ์อิเล็กทรอนิกส์กำลัง ซึ่งเป็น โหลดชนิดไม่เป็นเชิงเส้น(Non-linear Load) โดยอุปกรณ์

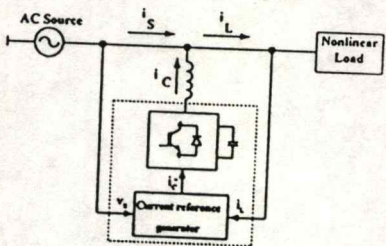
เหล่านี้ก่อให้เกิดกระแสฮาร์มอนิกขึ้นในระบบ รวมทั้งยังส่ง ผลให้คุณภาพกำลังไฟฟ้ามีค่าลดลง สำหรับแนวทางในการ แก้ปัญหากระแสฮาร์มอนิกที่ผ่านมาจะนำวงจรรองกำลัง แบบพาสซีฟ(Passive Power Filter)เข้ามาติดตั้ง เพื่อกรอง

กระแสอาร์โมนิคออกไปจากระบบ แต่เนื่องจากวงจรกรองแบบพาสซีฟที่นำมาใช้มีข้อจำกัด เช่น ปัญหาเรื่องเรโซแนนซ์กับระบบไฟฟ้า, อุปกรณ์ที่ใช้ต้องมีความแม่นยำสูง และมีขนาดใหญ่ ฯลฯ ดังนั้นจึงมีการนำวงจรกรองกำลังแอกทีฟ (Active Power Filter) เข้ามาใช้งานซึ่งมีคุณสมบัติที่ดีกว่าในการชดเชยกระแสอาร์โมนิค โดยที่ผ่านมานั้นจะใช้การตรวจจับกระแสอาร์โมนิคที่มีวงจรกรองความถี่ต่ำผ่าน (Low Pass Filter) จึงเป็นผลให้การตอบสนองค่อนข้างช้า, ส่วนการตรวจจับกระแสอาร์โมนิคที่ใช้การวิเคราะห์FFT นั้นจะมีการคำนวณที่ยุ่งยากซับซ้อน

ดังนั้นในงานวิจัยนี้ได้ทำการออกแบบวงจรกรองกำลังแอกทีฟแบบขนานชนิด 3 เฟส 4 สายที่ใช้วิธีการตรวจจับกระแสอาร์โมนิคด้วยวิธีโครงข่ายประสาทเทียม (Neural Network) ซึ่งจะมีโครงสร้างที่ไม่ยุ่งยากซับซ้อน, มีการตอบสนองที่รวดเร็ว, ไม่เกิดการเลื่อนเฟสทางสัญญาณ และมีความยืดหยุ่นในการทำงานสูง ซึ่งแนวคิดที่นำเสนอนี้ สามารถนำไปใช้ได้ทั้งในกรณีโหลดไม่เป็นเชิงเส้นชนิดสมดุล (Non-Linear Balance Load) และกรณีโหลดไม่เป็นเชิงเส้นชนิดไม่สมดุล (Non-Linear Unbalance Load)

2. หลักการพื้นฐานของวงจรกรองกำลังแอกทีฟแบบขนาน

โครงสร้างพื้นฐานของวงจรกรองกำลังแอกทีฟแบบขนานแสดงดังรูปที่ 1 โดยวงจรกรองกำลังแอกทีฟ จะทำหน้าที่เสมือนแหล่งกำเนิดกระแส โดยจะสร้างกระแส ( $i_c$ ) เป็นกระแสอาร์โมนิคที่เกิดจากโหลดซึ่งมีทิศตรงข้ามกับกระแสของโหลด ( $i_L$ ) เข้าไปสู่ระบบ จึงเป็นผลให้กระแสแหล่งจ่าย ( $i_s$ ) เหลือกระแสที่มีความถี่มูลฐานเพียงอย่างเดียว



รูปที่ 1. วงจรกรองกำลังไฟฟ้าแอกทีฟแบบขนาน

สมมุติว่าแหล่งจ่ายแรงดันไฟฟ้าเป็นสัญญาณซายน์จริงๆ

$$V_s(t) = V_m \sin(\omega t) \quad (1)$$

กระแสของโหลดไม่เป็นเชิงเส้นสามารถแสดงได้ดังสมการ

$$i_L(t) = \sum_{n=1}^{\infty} I_n \sin(n\omega t + \phi_n) \quad (2)$$

โดยที่

$$i_L(t) = I_p \cos \phi_p \sin(\omega t) + I_q \sin \phi_q \cos(\omega t) + \sum_{n=2}^{\infty} I_n \sin(n\omega t + \phi_n) \\ = i_p(t) + i_q(t) + i_h(t) \quad (3)$$

เมื่อ  $i_p(t)$  คือ กระแสแอกทีฟ

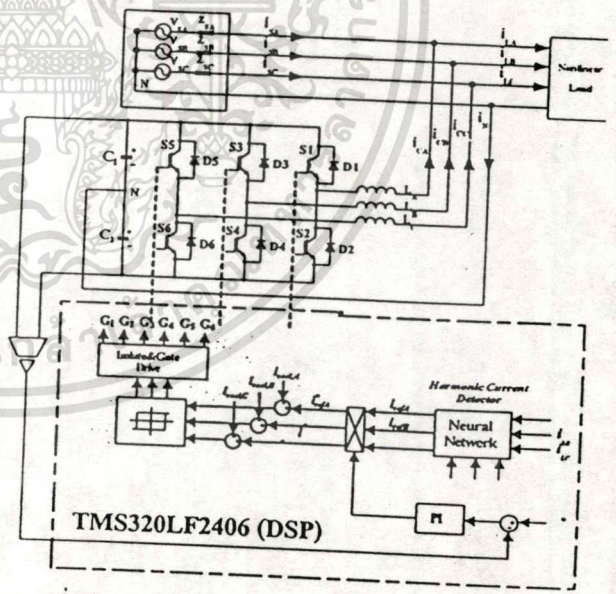
$i_q(t)$  คือ กระแสรีแอกทีฟ

$i_h(t)$  คือ กระแสอาร์โมนิค

จะพบว่าถ้าวงจรกรองกำลังแอกทีฟสามารถสร้างกระแส  $i_c(t)$  มีค่าเท่ากับผลรวมของกระแส  $i_p(t) + i_h(t)$  จะเป็นผลให้กระแสที่แหล่งจ่ายจะเหลือกระแสแอกทีฟเพียงอย่างเดียวดังนี้

$$i_c(t) = i_L(t) - i_p(t) \quad (4)$$

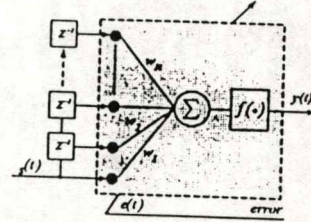
3. โครงสร้างของระบบ



รูปที่ 2 โครงสร้างวงจรควบคุมวงจรกรองกำลังแอกทีฟแบบขนาน 3 เฟส 4 สาย

จากรูปที่ 2 เป็นโครงสร้างวงจรควบคุมของวงจรกรองกำลังแอกทีฟแบบขนาน 3 เฟส 4 สายที่นำเสนอประกอบไปด้วย ส่วนแรกเป็นการตรวจจับกระแสอาร์โมนิคที่เกิดจากโหลดไม่เป็นเชิงเส้น ( $i_{La}, i_{Lb}, i_{Lc}$ ) ด้วยวิธีโครงข่ายประสาทเทียม โดยสัญญาณกระแสอาร์โมนิคที่

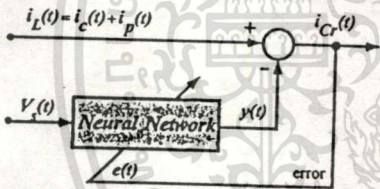
หาได้ในแต่ละเฟส ( $i_{refA}$ ,  $i_{refB}$ ,  $i_{refC}$ ) จะนำไปคูณกับค่าที่ได้ จากตัวควบคุมที่โอซึ่งเป็นส่วนของการควบคุมรักษาระดับ แรงดันไฟตรงเชื่อมโยงให้คงที่ จากนั้นจะนำสัญญาณ ( $i_{refA}$ ,  $i_{refB}$ ,  $i_{refC}$ ) มาใช้เป็นสัญญาณอ้างอิงให้กับตัวควบคุมกระแสแบบฮิสเตอร์รีซิส โดยการประมวลผลทั้งหมด จะกระทำภายในตัวประมวลผลดิจิทัล TMS320LF2406 (DSP)



รูปที่ 4 โครงข่ายประสาทเทียมที่นำมาใช้ตรวจจิบ กระแสฮาร์มอนิก

3.1 การตรวจจิบกระแสฮาร์มอนิกด้วยวิธีโครงข่ายประสาทเทียม

สำหรับกระบวนการที่ใช้ในการตรวจจิบกระแสฮาร์มอนิกของวงจรกรองกำลังแอกทีฟนั้นจะใช้กระบวนการ Adaptive Noise Canceling Technology (ANCT) ซึ่งเป็นเทคนิคที่ใช้แยกสัญญาณที่ต้องการผสมรวมมา กับสัญญาณที่เราไม่ต้องการ ซึ่งมีโครงสร้าง[2]ดังรูปที่ 3



รูปที่ 3 โครงสร้างของเทคนิคการกำจัดสัญญาณรบกวนที่สามารถปรับตัวได้เอง(ANCT)ที่ใช้กับวงจรกรองกำลัง

โครงสร้างของโครงข่ายประสาทเทียมที่ใช้ในบทความนี้จะเป็นโครงสร้างแบบง่ายๆแสดงไว้ดังรูปที่ 4 ซึ่งเป็นโครงข่ายประสาทเทียมแบบลิเนียร์ชนิดที่สามารถปรับตัวได้เอง(ADALINE) [1] โดยมีลักษณะเป็นแบบป้อนไปข้างหน้าประกอบไปด้วย 2 ชั้น (Layer) คือ 1. ชั้นอินพุท (Input layer) 2. ชั้นเอาต์พุท (Output layer) ส่วนของชั้นอินพุทจะรับสัญญาณที่มาจากอินพุทที่ถูกหน่วง ( $V_s(k)$ ,  $V_s(k-1)$ ,  $V_s(k-2)$ , ...,  $V_s(k-n)$ ) ด้วยคาบเวลาในการสุ่ม (sampling) แต่ละขั้วเชื่อมโยงจะถูกเชื่อมโยงโดยค่าถ่วงน้ำหนัก (Weight) คือ  $w_1, w_2, w_3, \dots, w_n$  แล้วนำค่าถ่วงน้ำหนักนี้ไปคูณกับสัญญาณอินพุทเพื่อส่งออกไปยังนิวรอนถัดไป จากนั้นจะนำค่าที่รับจากการคูณของค่าถ่วงน้ำหนักมาผ่านฟังก์ชันการเร่งเร็ว (Activation function) ที่ใช้ คือ " ฟังก์ชันแบบลิเนียร์ "

จากสมการที่ (4) สามารถเขียนใหม่ได้เป็น

$$i_c(t) = i_L(t) - W \cdot v_s(t) \tag{5}$$

$$W = i_r \cdot \cos \phi_r / V_s \tag{6}$$

โดยที่

$$e(t) = i_{cr} = i_L - y = i_c + (i_p - y) \tag{7}$$

ทำการยกกำลังสองทั้งสองข้าง

$$e^2(t) = i_{cr}^2 = i_c^2 + (i_p - y)^2 + 2i_c(i_p - y) \tag{8}$$

ถ้า  $i_c$  และ  $i_p$  ไม่มีความสัมพันธ์กัน โดยผลจาก orthogonal ทางตรีโกณมิติจะได้

$$E[e^2(t)] = E[i_{cr}^2] = E[i_c^2] + E[(i_p - y)^2] + E[2i_c(i_p - y)] = E[i_c^2] + E[(i_p - y)^2] \tag{9}$$

เมื่อโครงข่ายประสาทเทียมจะต้องปรับตัวให้  $E[i_{cr}^2]$  มีค่าผิดพลาดน้อยที่สุด

$$\min E[i_{cr}^2] = E[i_c^2] + \min E[(i_p - y)^2]$$

โดยที่เอาต์พุทของโครงข่ายประสาทเทียม ( $y$ ) จะต้องทำให้มีค่าใกล้เคียงกับ  $i_p$  ดังนั้น

$$E[i_{cr}^2] \approx E[i_c^2] \tag{10}$$

จากสมการที่ (10) จึงสรุปได้ว่าค่ากระแส  $i_{cr}$  จะมีค่าประมาณ  $i_c$  และหลักการที่ใช้ในการเรียนรู้ของโครงข่ายประสาทเทียมใช้กระบวนการ LMS ซึ่งใช้ปรับค่าถ่วงน้ำหนักของโครงข่ายประสาทให้มามีค่าผิดพลาดน้อยที่สุด

อินพุท :  $x(k) = [V_s(k), V_s(k-1), \dots, V_s(k-n)]^T$  (11)

เอาต์พุท :  $i_i(k) = \sum_{i=1}^n w_i(k) x_i(k)$  (12)

โดยที่ :  $W(k) = W(k-1) + \eta I_c(k-1) \cdot V_s(k-1)$  (13)

$$i_c(k) = i_L(k) - W(k) \cdot V_s(k) \tag{14}$$

เมื่อ  $k$  คือ อันดับการหน่วงของเวลาในการสุ่มสัญญาณ

$W$  คือ ค่าถ่วงน้ำหนัก

$\eta$  คือ อัตราการเรียนรู้

การเลือกค่าอัตราการเรียนรู้เราจะออกแบบให้มีค่าอยู่ในช่วงตั้งแต่ 0.1 ถึง 1 โดยถ้าระบบมีอัตราการเรียนรู้ต่ำจะทำให้ระบบเข้าสู่สถานะเสถียรภาพได้ช้า แต่ถ้าระบบมีอัตราการเรียนรู้ที่มากเกินไประบบอาจจะไม่เสถียรภาพได้

$$0.1 < \eta < 1 \quad (14)$$

ในระบบแหล่งจ่ายกำลังแบบสามเฟสแน่นอน จะทำการหาค่าตัวนำหนักแยกกันในแต่ละเฟส  $W_A, W_B, W_C$  แล้วนำมาเฉลี่ยกันตามสมการที่ (15) ถึง (18) เพื่อหาค่ากระแสชดเชยดังสมการที่ (19) ถึง (20) ตามลำดับ

$$i_{pA} = W \cdot V_{sA} \quad (15)$$

$$i_{pB} = W \cdot V_{sB} \quad (16)$$

$$i_{pC} = W \cdot V_{sC} \quad (17)$$

เมื่อ

$$W = (W_A + W_B + W_C) / 3 \quad (18)$$

∴

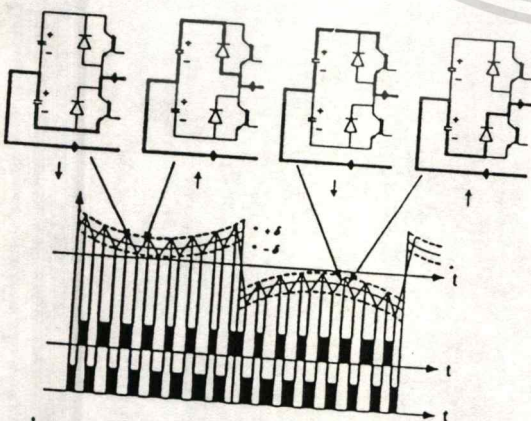
$$i_{cA} = i_{LA} - i_{pA} \quad (19)$$

$$i_{cB} = i_{LB} - i_{pB} \quad (20)$$

$$i_{cC} = i_{LC} - i_{pC} \quad (21)$$

### 3.2 การควบคุมกระแสด้วยวิธีฮิสเตอร์รีซิส

ภาคกำลังของวงจรกรองกำลังแอคทีฟจะใช้ IGBT ทำการสวิตซ์จำนวน 6 ตัว โดยใช้แบบที่สวิตซ์นิวทรัลค้อยู่กับจุดกึ่งกลางของบัสไฟตรงคั้งรูปที่ 2 ซึ่งหลักการควบคุมกระแสจะเป็นการควบคุมกระแสแบบฮิสเตอร์รีซิส ซึ่งมีวงจร และรูปแบบในการสวิตซ์ของแต่ละเฟสจะแบ่งออกเป็น 4 รูปแบบ คั้งรูปที่ 5



รูปที่ 5 รูปคลื่นของกระแส และการสวิตซ์ของอินเวอร์เตอร์

ตามสถานะการควบคุมกระแสแบบฮิสเตอร์รีซิส

ความถี่การสวิตซ์ของอินเวอร์เตอร์ที่ใช้การควบคุมกระแสแบบฮิสเตอร์รีซิส[3]หาได้จาก

$$f_c = \frac{0.125 V_{dc}}{(HB) L} \left[ 1 - \frac{4 m^2 L^2}{V_{dc}^2} \right] \quad (22)$$

จากสมการที่(22)พบว่า ถ้าอัตราการเปลี่ยนแปลงของกระแสอ้างอิงต่อเวลา ( $m$ ) มีค่าน้อยจะเป็นผลทำให้ความถี่ในการสวิตซ์นั้นมีค่าสูงสุดคั้งนั้น

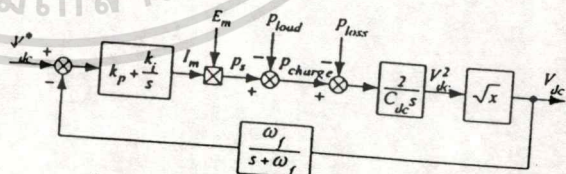
$$f_{max} = \frac{0.125 V_{dc}}{(HB) L} \quad (23)$$

จะพบว่าขณะที่แรงดันตกคร่อมตัวเก็บประจุ ( $V_{dc}$ ) เป็นค่าคงที่ คั้งนั้นความถี่ในการสวิตซ์สูงสุดจะขึ้นอยู่กับขนาดของตัวเหนี่ยวนำ ( $L$ ) และความกว้างของฮิสเตอร์รีซิส ( $HB$ ) ซึ่งในทางปฏิบัติเราไม่สามารถใช้ตัวเหนี่ยวนำ และความกว้างของฮิสเตอร์รีซิสมีค่าเล็กมากๆ เพราะจะทำให้ความถี่สวิตซ์สูงเกินที่กคของอุปกรณ์สวิตซ์

### 3.3 การควบคุมระดับแรงดันเชื่อมโยงไฟตรงให้คงที่

การควบคุมระดับแรงดันเชื่อมโยงไฟตรงให้คงที่นั้นจะใช้ตัวควบคุมแบบพีไอ[4] โดยสมการจำลองทางคณิตศาสตร์ของตัวเก็บประจุที่อาศัยสมการพลังงานซึ่งเขียนได้คั้งสมการที่ (24) และโครงสร้างของระบบกรองสัญญาณ และตัวควบคุมพีไอสามารถแสดงคั้งรูปที่ 6

$$P_{charge} - P_{loss} = E_m(t) i_{dc}(t) = V_{dc}(t) C \frac{dV_{dc}(t)}{dt} = -C \frac{dV_{dc}^2(t)}{2 dt} \quad (24)$$



รูปที่ 6 โครงสร้างของระบบควบคุมแรงดันไฟตรง

จากโครงสร้างของระบบพบว่ามีส่วนของการอดรกที่สอง ซึ่งเป็นส่วนที่ไม่เชิงเส้นจึงทำให้เกิดความยุ่งยากในการออกแบบ คั้งนั้นเราจะต้องทำการประมาณค่าให้อยู่ในรูปเชิงเส้นช่วงจุดรอบการทำงานแคบๆ โดยใช้อนุกรมเทเลอร์อันดับที่ 1 โดยการประมาณค่ารากในรอบๆจุดการทำงานที่  $\sqrt{x_0} = V_x = 350 \text{ V}$  สามารถแสดงได้คั้งนี้

$$y(x) = \sqrt{x} = \sqrt{x_0 + \Delta x} \approx \sqrt{x_0} + \frac{d\sqrt{x}}{dx} \Big|_{x=x_0} \Delta x$$

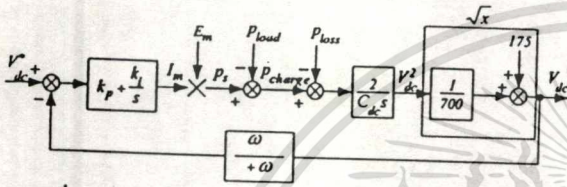
เอกสารนี้เป็นเอกสารที่สงวนไว้สำหรับการใช้งานเพื่อการศึกษาเท่านั้น เมื่อผู้ใช้งานในโปรแกรมนี้ใช้โปรแกรมดำเนินการคำนวณแล้วการตีความหรือการนำข้อมูลไปใช้โดยไม่ผ่านการพิจารณาจากผู้จัดทำเอกสารนี้ ผู้ใช้ต้องรับผิดชอบต่อความเสียหายที่เกิดขึ้น

$$\approx \sqrt{x_o} + \frac{1}{2\sqrt{x_o}} (x-x_o) \quad (25)$$

แทนค่า  $\sqrt{x_o} = 350$  V ลงในสมการที่ (25) จะได้

$$y(x) \approx 350 + \frac{1}{700} (x - 350^2) \approx 350 + \frac{1}{700} x \quad (26)$$

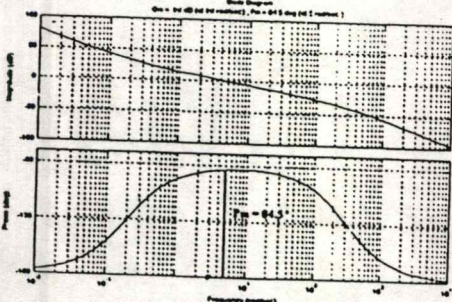
เมื่อประมาณเป็นเชิงเส้นแล้วสามารถเขียนเป็นโครงสร้างระบบใหม่ได้ดังรูปที่ 7 และฟังก์ชันการโอนย้ายวงรอบปิดในการหาค่า  $k_p$  และ  $k_i$  เขียนได้เป็นสมการ (27)



รูปที่ 7 โครงสร้างของระบบควบคุมแรงดันไฟตรงให้คงที่ หลังจากการประมาณค่าให้เป็นเชิงเส้น

$$G_c(s) = \left( k_p + \frac{k_i}{s} \right) \times \left( \frac{\omega_f}{s + \omega_f} \right) \times \left( \frac{1}{350 \cdot C_{dc} \cdot s} \right) \quad (27)$$

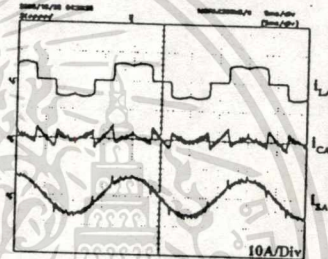
โดยที่ค่าตัวแปรต่างๆของระบบมีค่าเป็น  $C_{dc} = 10,000 \mu F$ ,  $E_m = 350$  V,  $\omega_f = 100\pi$  rad/s เมื่อเราพิจารณาเรื่องความเร็วในการตอบสนองเราไม่ควรออกแบบให้ระบบควบคุมแรงดันไฟตรงมีความเร็วในการตอบสนองถึงย่านความถี่รบกวนเพราะจะทำให้วงจรกรองแอกทีฟไม่สามารถชดเชยกระแสรบกวนนั้นได้ ดังนั้นงานวิจัยนี้จึงเลือกความเร็วในการตอบสนองไว้ที่ประมาณ 0.2 วินาที โดยเลือกความถี่ตัดข้าม  $\omega_o = 5$  rad/s และเลือกความถี่หักมุมของตัวควบคุมที่  $\omega_c = 0.2$  rad/s ซึ่งจะได้ค่า  $k_p = 0.050118$  และ  $k_i = 0.009523$  เมื่อทำการเขียนแผนภาพโบคจะได้อ้างรูปที่ 8 และพบว่าระบบมีช่วงปลอดภัยเชิงเฟส (Phase Margin) เท่ากับ  $95.5^\circ$



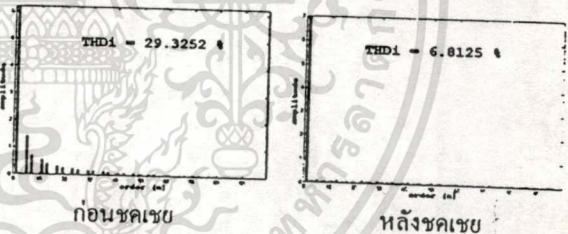
รูปที่ 8 แผนภาพโบคระบบควบคุมแรงดันเชื่อม โขงไฟตรง

4. ผลการทดลอง

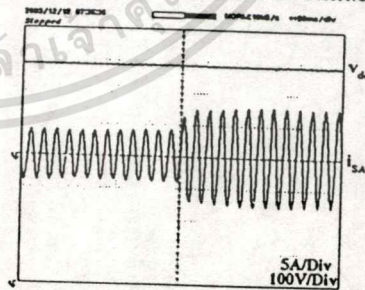
จากรูปร่างแบบที่สร้างขึ้นได้ทำการทดสอบกับระบบไฟฟ้าชนิด 3 เฟส 4 สาย ซึ่งมีแรงดันระหว่างสาย 350 V และความถี่ 50 Hz ภาคกำลังใช้ IGBT เป็นอุปกรณ์ทำการสวิตช์ โดยมีค่า  $L_A, L_B, L_C = 8.5$  mH,  $C_1 = C_2 = 10,000 \mu F$ ,  $V_{dc} = 700$  V ขณะที่  $HB = 1.5$  A ในส่วนของ การควบคุมใช้ TMS320LF2406 (DSP) เพื่อทำการประมวลผล ความถี่ในการสุ่มเท่ากับ 60 kHz โหลดที่นำมาทำการทดสอบเป็นวงจรไดโอดเรียงกระแสแบบบริดจ์ 3 เฟส ขนาด 3 kVA ต่ออยู่กับตัวต้านทาน  $70 \Omega$



รูปที่ 8 สัญญาณกระแสเฟส A หลังจากทำการชดเชย



รูปที่ 9 สเปกตรัมของกระแสแหล่งจ่ายก่อนและหลังชดเชย



รูปที่ 10 ผลการตอบสนองเมื่อโหลดมีการเปลี่ยนแปลงทันที

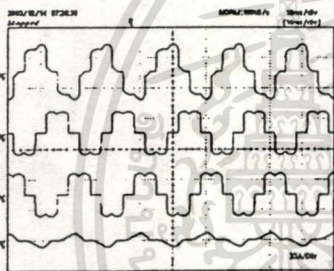
รูปที่ 8 แสดงสัญญาณกระแสโหลด  $i_{LA}$ , กระแสชดเชย  $i_{cA}$  และกระแสแหล่งจ่าย  $i_{SA}$  หลังทำการชดเชยแล้วที่ เฟส A จากผลการทดลองพบว่าสัญญาณกระแสแหล่งจ่ายหลังจากที่ได้ทำการชดเชยด้วยวงจรกรองกำลังแอกทีฟแล้วจะมีลักษณะสัญญาณใกล้เคียงขาขึ้นมากขึ้น สเปกตรัมของกระแสแหล่งจ่ายก่อน และหลังจากการชดเชยแสดงได้

เอกสารนี้เป็นเอกสารที่สงวนไว้สำหรับการใช้งานเพื่อการศึกษาเท่านั้น ไม่นับญาติให้นำไปเผยแพร่โดยไม่ได้รับอนุญาต

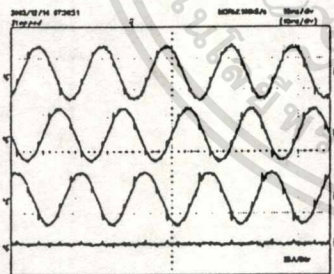
ไม่ว่ากรณีใดๆทั้งสิ้น อีกทั้งห้ามมิให้ตัดแปลงเนื้อหา และต้องอ้างอิงถึงเจ้าของเอกสารทุกครั้งที่มีการนำไปใช้

คังรูปที่ 9 โดยเปอร์เซ็นต์ค่าความผิดเพี้ยนรวมกระแส (THDi) แหล่งจ่ายก่อนชดเชยกระแสมีค่า 29.32% และหลังจากชดเชยกระแสแล้วมีค่าลดลงเป็น 6.81%

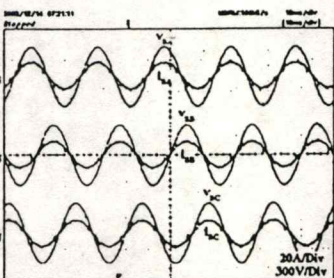
รูปที่ 10 เป็นทดสอบเมื่อโหลดมีการเปลี่ยนแปลงแบบทันทีทันใดทำการทดสอบโดยเพิ่มพิกัดของโหลดจาก 1.5 kVA ไปเป็น 3 kVA พบว่าผลการตอบสนองต่อการเปลี่ยนแปลงของโหลดมีการตอบสนองที่รวดเร็ว โดยที่วงจรสามารถรักษาระดับแรงดันไฟตรงเชื่อมโยงให้คงที่ได้ การทดลองต่อมาทำการทดสอบกรณีที่โหลดเกิดไม่สมดุล โดยต้องวงจรเรียงกระแสแบบบริดจ์หนึ่งเฟสที่มี L-C ฟิลเตอร์เป็นตัวเหนี่ยวนำ 100 mH และตัวเก็บประจุ 2,200  $\mu$ F มีโหลดเป็นความต้านทาน 200  $\Omega$  เพิ่มที่เฟส A



รูปที่ 11 กระแสแหล่งจ่ายทั้งสามเฟส และกระแสอินเวอร์เตอร์ ก่อนทำการชดเชยกระแส



รูปที่ 12 กระแสแหล่งจ่ายทั้งสามเฟส และกระแสอินเวอร์เตอร์ หลังทำการชดเชยกระแส



รูปที่ 14 แรงดันและกระแสทั้งสามเฟส

รูปที่ 11 แสดงกระแสแหล่งจ่ายทั้งสามเฟสกรณีที่มี โหลดเกิดการไม่สมดุล จึงทำให้กระแสที่สายนิวตรอนมีค่า ไม่เป็นศูนย์ และรูปที่ 12 แสดงสัญญาณกระแสแหล่งจ่าย หลังจากชดเชยแล้วพบว่าวงจรกรองกำลังสามารถทำงาน ได้ดี โดยกระแสในแต่ละเฟสจะมีสัญญาณใกล้เคียงขายน มากขึ้น และกระแสที่สายนิวตรอนมีค่าลดลง รูปที่ 13 เป็นการแสดงสัญญาณแรงดันวัดเทียบกับกระแสทั้งสามเฟส จะพบว่าตัวประกอบกำลังมีค่าเป็น 0.99

### 5. สรุปผลการทดลอง

บทความนี้ได้นำเสนอวงจรกรองกำลังแอคทีฟที่แบบ ขนานสำหรับระบบไฟฟ้า 3 เฟส 4 สาย ที่ใช้ตัวประมวลผล สัญญาณดิจิทัลที่ใช้การตรวจจับกระแสด้วย โครงข่าย ประสาทเทียมซึ่งมีโครงสร้างที่ไม่ยุ่งยาก, ซับซ้อน, มีการ ตอบสนองที่รวดเร็ว จากผลการทดลองพบว่ากระแสแหล่ง จ่ายหลังจากทำการชดเชยแล้วจะมีค่าความผิดเพี้ยนรวม กระแสมีค่าลดลง และค่าของตัวประกอบกำลังมีค่าใกล้ เคียงหนึ่ง โดยที่วงจรที่นำเสนอนี้สามารถใช้ได้ทั้งในกรณี กระแสทางค่าน โหลดเกิดการสมดุล และ ไม่สมดุล

### 6. เอกสารอ้างอิง

- [1] Haykin Simon, " Adaptive filter theory ", 2<sup>nd</sup> Englewood Cliffs , Prentice-Hall,1990
- [2] Dawei Ga Chen Weiji, "An Adaptive Noise Canceling Theory Based Single - Phase Shunt Active Power Filter", in conf. Rec. IEEE/PESC'97, 1997, pp.191-196.
- [3] B.K.BOSE, " An Adaptive Hysteresis-Band Current Control Technique of a Voltage-Fed PWM Inverter for Machine Drive System", IEEE Transactions on industrial electronics,vol.37, no.5, 1990. pp.402-408
- [4] ประจวบ บุญศรีรัมย์, " วงจรกรองกำลังแอคทีฟขนาน สำหรับระบบ 3 เฟส ที่สายที่ใช้รีเคอร์ซีฟลิคิเฟ และควบคุมกระแสแบบวิธีทำซ้ำ " , วิทยานิพนธ์ วิศวกรรมศาสตรมหาบัณฑิต ภาควิชาวิศวกรรมไฟฟ้า จุฬาลงกรณ์มหาวิทยาลัย , 2545.

เอกสารนี้เป็นเอกสารที่สงวนไว้สำหรับการใช้งานเพื่อการศึกษาเท่านั้น ไม่อนุญาตให้นำไปใช้ประโยชน์ด้านการค้า ไม่ว่าจะกรณีใดๆทั้งสิ้น อีกทั้งห้ามมิให้คัดลอกเนื้อหา และต้องอ้างอิงถึงเจ้าของเอกสารทุกครั้งที่มีการนำไปใช้

## ประวัติผู้เขียน

นาย ลิขิต ชูทรัพย์ เกิดเมื่อวันที่ 2 กุมภาพันธ์ พ.ศ. 2522 จังหวัดกรุงเทพมหานคร  
สำเร็จการศึกษาวិชากรรมศาสตรบัณฑิต สาขาวิศวกรรมอิเล็กทรอนิกส์ (เกียรตินิยม) จากสถาบัน  
เทคโนโลยีพระจอมเกล้าเจ้าคุณทหารลาดกระบัง ปีการศึกษา 2544

